

---

RACCORDEMENT DU COMPLEXE DE LA ROMAINE  
AU RÉSEAU DE TRANSPORT

---



Étude de potentiel archéologique

VOLUME 1 - Rapport

*ethnoscop*

DÉCEMBRE 2008

---

RACCORDEMENT DU COMPLEXE DE LA ROMAINE  
AU RÉSEAU DE TRANSPORT

Étude de potentiel archéologique

VOLUME 1 - Rapport

---

*Illustration de la page couverture :*

*Rivière Moisie, à 10 kilomètres au nord du corridor sud. Vers le nord-ouest (photo Jean Poirier, juillet 2006).*

*Ce rapport remplace celui déposé en avril 2007*

## RÉSUMÉ

---

Hydro-Québec réalise actuellement les études environnementales et techniques du projet de raccordement du complexe de la Romaine au réseau de transport existant. Le projet comprend la construction d'environ 500 km de lignes de transport conçues à 315 kV et à 735 kV, mais qui seront exploitées à 315 kV. Ces lignes relieront les futures centrales de la Romaine-1, la Romaine-2, la Romaine-3 et la Romaine-4 au réseau de transport d'Hydro-Québec Trans-Énergie. Enfin, le projet comprend la construction d'un petit tronçon de ligne à 161 kV pour faire le lien avec le réseau régional entre les postes de Havre-Saint-Pierre et Baie-Johan-Beetz.

Dans le cadre de l'évaluation environnementale, Hydro-Québec Équipement, mandataire d'Hydro-Québec Trans-Énergie, a confié à Ethnoscop le mandat de réaliser une étude de potentiel archéologique qui va permettre d'identifier des zones sensibles dans les corridors à l'étude où passeront les nouvelles lignes de transport.

La zone étudiée est délimitée par deux corridors de largeurs variables (entre 2 et 10 km) ayant une longueur d'environ 200 km pour celui situé au nord, reliant la centrale de la Romaine-3 et le poste Montagnais en passant par la centrale de la Romaine-4, et d'environ 300 km pour celui au sud, reliant la centrale de la Romaine-1 au poste Arnaud, en passant par la centrale de la Romaine-2 et en faisant une petite extension au sud de la centrale de la Romaine-1 vers la ligne de transport existante 1652 à 161 kV.

Le potentiel d'occupation humaine des deux corridors à l'étude est très grand, à la mesure de l'ampleur du territoire étudié. Il concerne surtout les occupations amérindiennes, qui peuvent reculer au moins jusqu'à 4000 ans avant aujourd'hui à l'intérieur des terres, et au moins jusqu'à 6000 ans avant aujourd'hui dans la plaine côtière. Ces occupations amérindiennes se poursuivent de façon continue jusqu'à aujourd'hui, tant à l'intérieur des terres que sur la côte. En ce qui a trait à l'occupation euro-québécoise, elle reste très peu touchée par le tracé des corridors à l'étude. Le corridor nord nous apparaît dénué de potentiel euro-québécois alors que celui au sud, bien que près de la côte, ne croise qu'un seul endroit avec un tel potentiel.

Dans la présente étude, nous avons subdivisé l'ensemble du projet en deux régions. La région nord, où passe le corridor nord, correspond à un territoire difficile d'accès et fortement accidenté. Il est distant de 100 à 170 km de la côte du golfe du Saint-Laurent et ne comporte aucun espace urbanisé. La région sud, où passe le corridor sud, correspond en grande partie à la plaine littorale, parsemée de villages reliés par la route 138. Dans sa portion orientale, le corridor sud remonte un peu dans le piedmont mais ne s'éloigne de la côte que d'environ 40 km à l'endroit de la future centrale de la Romaine-2.

Pour couvrir les 60 000 km<sup>2</sup> de territoire qu'exigent les deux corridors de l'aire d'étude, le graphe topologique a été construit sur l'ensemble du territoire à partir de

## RÉSUMÉ

---

différentes échelles. Nous avons identifié dans l'ensemble des deux corridors à l'étude un total de 1027 zones à potentiel archéologique. Dans le corridor nord, 323 zones à potentiel amérindien ont été relevées. Dans le corridor sud, on dénombre 704 zones à potentiel amérindien dont une zone à potentiel à la fois amérindien et euro-québécois et une dernière zone à potentiel euro-québécois . Ainsi, près de 70 % des zones identifiées concernent le corridor sud, un tracé qui fait environ 60 % de la longueur totale des deux corridors. La légère différence entre la proportion du nombre de zones et la proportion de la longueur du tracé souligne la situation presque littorale du corridor sud, un contexte qui favorise l'existence d'espaces de convergence plus propices aux établissements humains.

Bien entendu, ce n'est qu'une partie de ces zones à potentiel qui seront touchées par le tracé définitif de la ligne et des travaux nécessaires à sa construction. Chacun des espaces identifiés pour les occupations amérindiennes et euro-québécoises constitue un secteur sensible dont le potentiel archéologique et patrimonial devra être pris en considération. Les connaissances archéologiques de l'occupation humaine de la Moyenne-Côte-Nord restent à ce jour peu nombreuses, tant à l'intérieur des terres (comme c'est le cas du corridor nord) ainsi qu'à une courte distance de la rive du Saint-Laurent (comme c'est le cas pour le corridor sud). Un inventaire archéologique devrait être effectué sur chacune des zones à potentiel croisée par le tracé des lignes de transport à 735kV, 315 kV et 161 kV, et également sur chacune des zones à potentiel affectée par les travaux de construction et les aménagements connexes à ces lignes.

## LISTE DES PARTICIPANTS

---

### HYDRO-QUÉBEC

Christiane Rompré	Chargée de projets Environnement
André Burroughs	Conseiller Environnement
Richard Perreault	Conseiller système d'information à référence spatiale

### ETHNOSCOPE INC.

Jean Poirier	Coordonnateur et géomorphologue
Roland Tremblay	Archéologue préhistorien
Gilles Brochu	Archéologue historien
Patrick Laurin	Historien
Liliane Carle	Géographe-cartographe
Armelle Ménard	Chargée d'édition
Isabelle Hade	Édition



# TABLE DES MATIÈRES

---

## VOLUME 1

RÉSUMÉ.....	i
LISTE DES PARTICIPANTS.....	iii
TABLE DES MATIÈRES.....	v
LISTE DES TABLEAUX.....	vii
LISTE DES FIGURES.....	vii
LISTE DES PHOTOGRAPHIES.....	ix
1. INTRODUCTION.....	1
1.1 MANDAT.....	1
1.2 CORRIDORS D'ÉTUDE.....	1
1.3 MÉTHODE.....	2
1.3.1 Archéologie préhistorique et historique amérindienne.....	2
1.3.2 Archéologie historique euro-qubécoise.....	6
2. PÉRIODE PRÉHISTORIQUE.....	9
2.1 PAYSAGE NATUREL ANCIEN.....	9
2.1.1 Contexte temporel.....	9
2.1.2 Contexte spatial.....	15
2.2 CADRE CULTUREL.....	26
2.2.1 Ressources archéologiques connues.....	26
2.2.2 Histoire de l'occupation amérindienne.....	38
2.3 DÉRIVATION ARCHÉOLOGIQUE.....	45
3. PÉRIODE HISTORIQUE EURO-QUÉBÉCOISE.....	123
3.1 CADRE HISTORIQUE.....	123
3.2 RESSOURCES ARCHÉOLOGIQUES CONNUES.....	128
3.3 ZONES À POTENTIEL ARCHÉOLOGIQUE HISTORIQUE EUROQUÉBÉCOIS.....	129
4. CONCLUSION ET RECOMMANDATIONS.....	135
BIBLIOGRAPHIE.....	137

# TABLE DES MATIÈRES

---

## VOLUME 2

### Carte 1, corridor sud

Feuillet 9	Étude de potentiel archéologique, corridor sud
Feuillet 8	Étude de potentiel archéologique, corridor sud
Feuillet 7	Étude de potentiel archéologique, corridor sud
Feuillet 6	Étude de potentiel archéologique, corridor sud
Feuillet 5	Étude de potentiel archéologique, corridor sud
Feuillet 4	Étude de potentiel archéologique, corridor sud
Feuillet 3	Étude de potentiel archéologique, corridor sud
Feuillet 2	Étude de potentiel archéologique, corridor sud
Feuillet 1	Étude de potentiel archéologique, corridor sud
Feuillet 1A	Étude de potentiel archéologique, corridor sud

## VOLUME 3

### Carte 2, corridor nord

Feuillet 6	Étude de potentiel archéologique, corridor nord
Feuillet 5	Étude de potentiel archéologique, corridor nord
Feuillet 4	Étude de potentiel archéologique, corridor nord
Feuillet 3	Étude de potentiel archéologique, corridor nord
Feuillet 2	Étude de potentiel archéologique, corridor nord
Feuillet 1	Étude de potentiel archéologique, corridor nord

## **LISTE DES TABLEAUX**

---

Tableau 1 :	Nombre de sites amérindiens selon les feuillets topographiques .....	27
Tableau 2 :	Sites amérindiens (préhistoriques et historiques) connus en périphérie de l'aire d'étude.....	29
Tableau 3 :	Liste des secteurs .....	45
Tableau 4A :	Zones à potentiel archéologique préhistorique et historique, corridor sud.....	51
Tableau 4B :	Zones à potentiel archéologique préhistorique et historique, corridor nord .....	99
Tableau 5 :	Sites historiques connus en périphérie de l'aire d'étude.....	130

## **LISTE DES FIGURES**

---

Figure 1 :	Graphe topologique théorique .....	4
Figure 2 :	Styles géomorphologiques.....	15
Figure 3 :	Graphe topologique de la Côte-Nord .....	23



## LISTE DES PHOTOGRAPHIES

---

Note générale : Les photos du rapport ont été prises par Jean Poirier, en juillet 2006.

Photo 1 :	Arc morainique ou esker. Vers le sud. ....	11
Photo 2 :	Arc morainique ou esker. Vers l'est. ....	12
Photo 3 :	Terrasse fluviale, née d'une terrasse d'obturation latérale. On remarque, dans la zone 2.07.001, les traces de nombreux paléo-méandres. Vers le nord-ouest. ....	13
Photo 4 :	L'île au Renard sur la rivière Tortue. Vers le sud-est. ....	14
Photo 5 :	De la pointe Saint-Charles vers la baie de Sept-Îles avec, au second plan, un méandre de la rivière Moisie. Vers l'ouest. ....	16
Photo 6 :	Zone 1.12.054. Terrasse marine à 45-50 mètres d'altitude avec à l'arrière-plan, des terrasses à 70 mètres. Au tout premier plan, tourbière réticulée. Vers le nord-nord-est. ....	16
Photo 7 :	Juste à l'ouest de la rivière Fréchette. Le photographe est sur la ligne d'interfluve de l'arc morainique et regarde derrière cet arc. L'hélicoptère qu'on voit sur la photo est à 670 mètres d'altitude. Vue vers le nord-nord-ouest. ....	17
Photo 8 :	Piedmont sur la rivière Moisie, à la limite nord du corridor sud. On aperçoit, à droite de la photo, le début de la zone 1.12.035. Vers l'est. ....	18
Photo 9 :	Un sommet des contreforts (820 mètres) qui épouse le style du piedmont à cause d'un gneiss granitique qui donne l'allure d'une roche sédimentaire par ses pseudo-strates. Au second plan, le piedmont à 600 mètres et à l'arrière plan, la rivière Moisie. À une cinquantaine de kilomètres au nord de Sept-Îles. Vers l'est. ....	18
Photo 10 :	Une encoche perpendiculaire à la côte. Le lac Manitou, vers le nord. ....	19
Photo 11 :	Vallée en auge. Rivière au Bouleau, à une quarantaine de kilomètres de la côte. Vers le nord-nord-ouest. ....	20
Photo 12 :	Relief des contreforts très moutonné par l'érosion glaciaire. Au centre de la vallée, serpente la rivière Tortue. Vers le nord-nord-ouest. ....	20
Photo 13 :	Moutonnement glaciaire sur les contreforts; ce paysage nous donne le style et l'allure des massifs. Près du futur poste de la Romaine-3. Vers le nord. ....	21

## **LISTE DES PHOTOGRAPHIES**

---

- Photo 14 : Zone 2.04.036. Rivage lacustre à 685 mètres d'altitude, perché sur l'abrupt occidental du massif des lacs Belmont. À l'arrière plan, la vallée que cette zone domine. Vue vers l'ouest. .... 21
- Photo 15 : Zone 2.04.004. Partie d'un esker de 2 kilomètres de long, dont la ligne d'interfluve n'est pas trop marquée. Vers l'ouest-nord-ouest. .... 46
- Photo 16 : Zones 2.05.001 et 2.05.002 au centre des lacs Belmont. Belle capacité horizontale d'accueil. Vers le nord-nord-ouest. .... 47
- Photo 17 : Zone 2.09.042 qui présente un environnement de formes de décrépitude. Au premier plan, la pointe qui s'avance dans le lac s'associe à un esker. Vers le sud-est. .... 47
- Photo 18 : Zone 2.10.019. Terrasse fluviale dont la pointe donne sur un lac sans nom. Vers le nord. .... 48
- Photo 19 : Zone 1.03.021. Sur la rive gauche de la rivière Moisie, à potentiel préhistorique et historique. Vers le sud-sud-est. .... 48

# **1. INTRODUCTION**

## **1.1 MANDAT**

Hydro-Québec réalise actuellement les études environnementales et techniques du projet de raccordement du complexe de la Romaine au réseau de transport existant. Le projet comprend la construction d'environ 500 km de lignes de transport conçues à 315 kV et à 735 kV, mais qui seront exploitées à 315 kV. Ces lignes relieront les futures centrales de la Romaine-1, la Romaine-2, la Romaine-3 et la Romaine-4 au réseau de transport d'Hydro-Québec Trans-Énergie. Enfin, le projet comprend la construction d'un petit tronçon de ligne à 161 kV pour faire le lien avec le réseau régional entre les postes de Havre-Saint-Pierre et Baie-Johan-Beetz.

Dans le cadre de l'évaluation environnementale, Hydro-Québec Équipement, mandataire d'Hydro-Québec Trans-Énergie, a confié à Ethnoscop le mandat de réaliser une étude de potentiel archéologique qui va permettre d'identifier des zones sensibles dans les corridors à l'étude où passeront les nouvelles lignes de transport.

À la suite d'une légère modification dans le tracé du corridor sud, Hydro-Québec a fait reprendre l'étude déjà réalisée en avril 2007. Ce travail récupère donc les données déjà traitées, en y ajoutant celles relatives à la nouvelle zone d'étude.

## **1.2 CORRIDORS D'ÉTUDE**

La zone étudiée est délimitée par deux corridors de largeurs variables (entre 2 et 10 km) ayant une longueur d'environ 200 km pour celui situé au nord, reliant la centrale de la Romaine-3 et le poste Montagnais en passant par la centrale de la Romaine-4, et d'environ 300 km pour celui au sud, reliant la centrale de la Romaine-1 au poste Arnaud, en passant par la centrale de la Romaine-2 et en faisant une petite extension au sud de la centrale de la Romaine-1 vers la ligne de transport existante 1652 à 161 kV.

Dans la présente étude, nous avons subdivisé l'ensemble du projet en deux régions. La région nord, où passe le corridor nord, correspond à un territoire difficile d'accès et fortement accidenté. Il est distant de 100 à 170 km de la côte du golfe du Saint-Laurent et ne comporte aucun espace urbanisé. La région sud, où passe le corridor sud, correspond en grande partie à la plaine littorale, parsemée de villages reliés par la route 138. Dans sa portion orientale, le corridor sud remonte un peu dans le piedmont mais ne s'éloigne de la côte que d'environ 40 km à l'endroit de la future centrale de la Romaine-2.

## 1.3 MÉTHODE

### 1.3.1 Archéologie préhistorique et historique amérindienne

La période préhistorique correspond à l'époque qui précède l'apparition de documents écrits. Pour le Québec, elle fait référence aux populations amérindiennes qui ont précédé l'arrivée des premiers Européens dans le Nouveau Monde. Cette recherche se base sur un premier postulat qui prête à la culture amérindienne des périodes préhistorique et historique une définition de la relation entre l'homme et la nature qui n'est pas moins scientifique même si elle est différente de l'approche encyclopédique du XIX<sup>e</sup> siècle. Autrement dit, la connaissance de la nature qu'avaient les Amérindiens de cette époque était autre chose que bêtement empirique même s'ils ne passaient pas par une terminologie encyclopédique telle que esker, arc morainique ou vecteur d'appropriation. Ce postulat se décrit comme suit :

Les groupes humains dont le mode de vie est basé sur l'exploitation d'un espace territorial possèdent une connaissance culturelle de leur environnement et ils entretiennent avec la nature une relation dynamique par le biais d'un système cognitif. Ce mode de connaissance s'applique particulièrement au milieu physique dont la structure doit être décodée, comprise et utilisée pour y circuler, l'exploiter ou se l'approprier. La structure du paysage physique est non seulement lue, elle est aussi intégrée de façon abstraite sous forme de réseau et elle peut même être appliquée à d'autres espaces, par inférence.

Or, pour satisfaire ce postulat sur la connaissance culturelle de la nature, l'analyse archéologique doit intégrer non seulement une connaissance particulière des avantages et des contraintes d'un environnement naturel récepteur, mais elle doit surtout chercher à comprendre dans quel cadre a pu s'opérer la relation dynamique entre l'homme et la nature. Ce cadrage, cette cognition horizontale de la nature exige la mise en place d'un second postulat :

Les formes du relief sont organisées et structurées selon une logique géométrique qu'il nous est possible de décoder par une analyse en géomorphologie structurale et de transposer graphiquement par le biais d'un graphe topologique.

Ainsi donc, pour répondre à ces deux postulats et en même temps répondre au devis d'Hydro-Québec qui doit modifier l'environnement pour y construire une nouvelle infrastructure, l'étude de potentiel va délimiter des zones où existe une probabilité de retrouver des traces d'une occupation humaine au cours de la période préhistorique en se concentrant sur deux volets.

- Une cueillette des données concernant l'évolution du paysage naturel dont l'objectif est de mettre en contexte temporel (géochronologie) et spatial

(topologie) la zone d'étude. Cet exercice permet de connaître l'habitabilité du secteur visé à travers le temps et sa place dans un espace plus vaste.

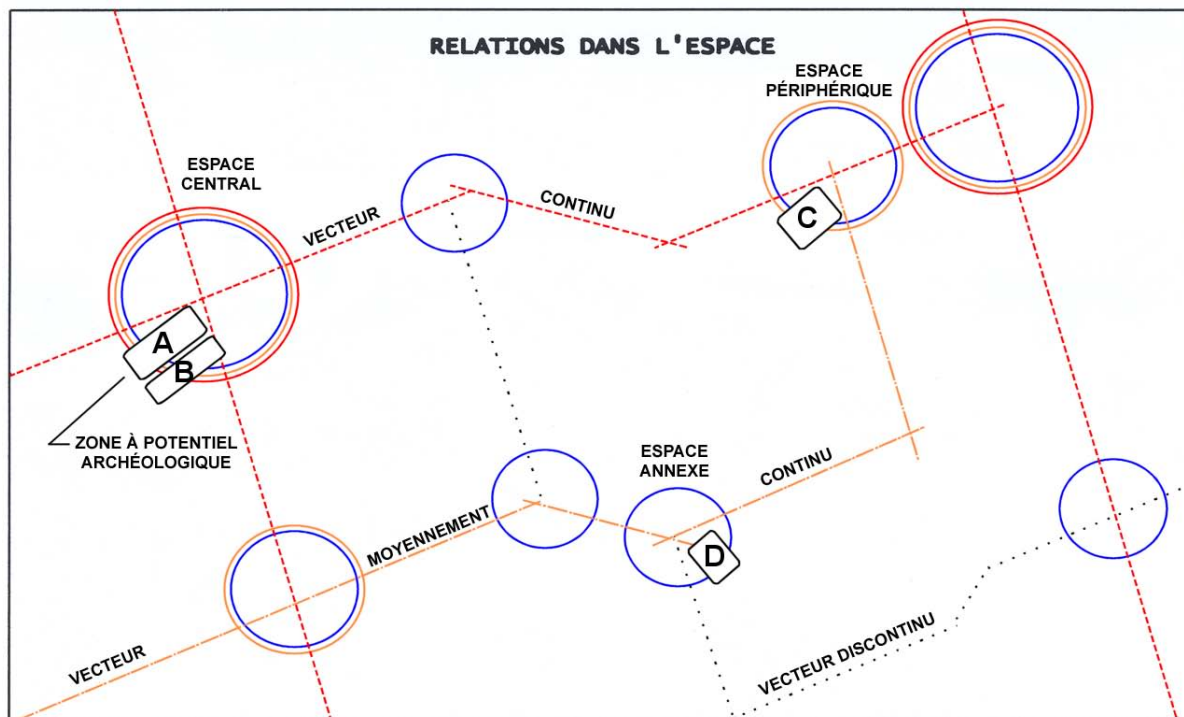
- L'élaboration d'un cadre culturel qui puise en anthropologie les données sur les populations amérindiennes dont on pourrait s'attendre à retrouver des traces. Ce volet inclut les sites archéologiques connus à proximité de la zone d'étude, au moment de l'analyse.

Ces deux étapes permettent de construire une dérivation archéologique basée sur la photo-interprétation. Ici, les zones à potentiel archéologique sont délimitées pour produire des espaces concrets. Les formes du paysage servent donc à circonscrire des espaces présentant des qualités d'accueil pour des populations humaines.

Le cadrage dans l'espace fait appel à la topologie mathématique. La géomorphologie structurale permet de découvrir le schéma géométrique sur lequel se calque le territoire et la topologie permet ensuite de traduire ce schéma en réseau spatial. Ce dernier possède des antennes (*des vecteurs d'appropriation*) ainsi que des espaces de convergence situés au croisement de ces antennes. Cette analyse propose donc de relativiser l'importance de la zone d'étude par rapport à un ensemble régional plus vaste et permet aussi, à l'intérieur de cette même zone d'étude, d'identifier des points chauds du réseau. Pour se familiariser avec les mécanismes de l'analyse topologique et bien comprendre la pondération que suggère le graphe, voici quelques explications.

## TOPOLOGIE MATHÉMATIQUE

Le graphe topologique prend forme autour des premiers indices fournis par la géomorphologie structurale tout en imitant sa méthodologie : ce ne sont pas les limites entre les différents espaces qui sont retenues, mais plutôt les relations entre ces espaces. Ces relations peuvent se faire par contiguïté ou par des axes naturels de communication qui agissent comme des antennes entre les composantes.



**Figure 1 : Graphe topologique théorique**

Or, ces multiples relations peuvent devenir très complexes : ce qui nous importe de savoir c'est, par exemple, la relation entre quatre espaces, soit les zones A, B, C et D (voir figure 1 ci-dessus). A pourrait être relié à B par contiguïté et à C par une vallée inondée par un cours d'eau navigable; B pourrait être relié à C en traversant A et/ou par une série de vallons en échelons, vallons dont les profils longitudinaux sont relativement réguliers. On pourrait retrouver l'espace D à la convergence de ces derniers vallons et d'un vecteur dont le profil longitudinal serait encore plus « discontinu ». D serait en communication avec A, B et C par un vecteur « moyennement continu », mais également en communication avec l'espace C par un vecteur « discontinu » et un segment du vecteur « continu ». Deux séries de variables dépendantes sont donc mises en jeu en même temps : la position relative des espaces et le type de communication qui, le cas échéant, les relie. Si le nombre de possibilités est déjà grand avec quatre espaces et trois catégories de vecteurs de communication, la complexité de l'échiquier devient difficile à concevoir avec mille espaces.

C'est ici qu'intervient la topologie mathématique : elle concrétise ces interconnexions en nous permettant de les cartographier sous forme de réseau et l'archéologie emprunte à la topologie les concepts de « segment » et de « point ». Évidemment, ces derniers prennent une autre signification; les segments deviennent des vecteurs d'appropriation plus ou moins continus selon la régularité de leur profil longitudinal et

les points sont associés à des espaces stratégiques dont l'importance varie en fonction de l'étendue territoriale à laquelle ils donnent accès.

Ainsi, le graphe topologique dessine un espace théorique qui suppose une lecture particulière de l'information : les vecteurs d'appropriation sont symbolisés par des lignes dont la trame illustre la plus ou moins grande continuité du profil longitudinal de l'axe. Chaque ligne doit être perçue comme une droite inscrite au centre de l'axe; sa largeur n'est donc pas concrète mais symbolique.

Les lieux de convergence sont représentés par des cercles. Cette géométrie suggère en soi un espace dont les limites sont abstraites.

En langage topologique, le graphe que nous produisons est considéré comme un graphe formel, c'est-à-dire un réseau abstrait d'interrelations qui s'appuie sur un espace concret, par opposition à un graphe conditionnel qui ne traite que du réseau d'interrelations déconnecté de l'espace territorial. Le graphe topologique suit des règles de construction très strictes et propose l'emploi d'un vocabulaire particulier. Un glossaire est donc nécessaire pour préciser le sens qui est donné à une expression.

#### *VECTEUR D'APPROPRIATION*

Correspond à un axe entre les différents espaces (centraux, périphériques et annexes). *Vecteur* a été choisi dans son sens premier, celui de « conducteur »; ceci suppose un segment de droite sur lequel on peut faire une opération mathématique, c'est-à-dire une abstraction. Il correspond en partie à un « axe de circulation » dans la mesure où il se définit comme étant le premier choix pour circuler d'un espace à un autre, mais « circulation » porte à confusion : en effet, il peut ne faire référence qu'à la circulation « concrète » sans englober la circulation « abstraite », celle des idées par exemple. *Appropriation* vient justement appuyer cette abstraction. Ici le « a- » est employé dans le sens grec de la négation; comme dans « apolitique », appropriation est une négation de la propriété. Il désigne donc, non pas un contrôle du territoire par la valeur d'échange, par le contrôle sur la rente foncière, mais plutôt un contrôle du territoire par la connaissance. Le vecteur d'appropriation suppose donc un échange symbolique entre la nature et la culture.

Ce vecteur est catégorisé à l'aide de critères géomorphologiques reliés à son profil longitudinal. Ainsi, il pourra être :

-*continu* : la régularité du profil longitudinal l'associe à des surfaces gisantes; dans la plupart des cas, cette recherche se localise le long de talwegs, le plan d'eau répondant le mieux à cette horizontalité.

-*moyennement continu* : le profil est légèrement ondulant. Comme son nom l'indique, la caractéristique principale de ce vecteur est de le situer entre les deux autres, avec une prédominance vers le vecteur continu.

*-discontinu* : dessine un tracé souvent abstrait, qui rejoint quelquefois les talwegs de petits ruisseaux ou suit d'autres fois une ligne d'interfluve. Il représente toujours le trajet le moins accidenté dans un espace relativement morcelé.

#### *ESPACE CENTRAL*

Espace à la convergence d'au moins deux vecteurs continus. Cet espace permet donc l'accessibilité à un vaste territoire.

#### *ESPACE PÉRIPHÉRIQUE*

Espace à la convergence d'un vecteur continu et d'un vecteur moyennement continu. Comme son nom l'indique, cet espace gravite autour d'un espace central, mais il peut également se rattacher à plus d'un espace central selon l'importance et l'organisation des vecteurs d'appropriation qui le traversent.

#### *ESPACE ANNEXE*

Espace qui se définit par la rencontre d'un vecteur continu ou moyennement continu et d'un vecteur discontinu et/ou par la rencontre de deux vecteurs moyennement continu. Cet espace donne accès à un territoire plus restreint.

S'ajoutent à ces définitions, des règles qui permettent au graphe topologique de transcender le réseau hydrographique et qui lui donnent son autonomie propre par rapport au croquis géomorphologique :

1. Tout vecteur continu doit commencer par un espace central et se terminer par un espace central.
2. Tout vecteur moyennement continu doit commencer par un espace périphérique et se terminer par un espace périphérique.
3. Tout vecteur discontinu doit commencer par un espace annexe et se terminer par un espace annexe.

Donc, pour aborder un espace aussi vaste que celui qui est abordé ici (60 000 km<sup>2</sup>), le processus que le graphe topologique met le plus en valeur en est un de hiérarchisation.

### **1.3.2 Archéologie historique euro-qubécoise**

La démarche adoptée pour la réalisation de l'étude de potentiel archéologique euro-qubécois de la période historique a nécessité la participation d'une équipe multidisciplinaire composée d'un archéologue, d'un historien et d'une géographe-cartographe. Cette démarche est ponctuée par trois grandes étapes :

### *Acquisition de données documentaires*

Cette première étape a consisté à recueillir un maximum d'informations (documents historiques, iconographiques, cartographiques et archéologiques), provenant de différentes sources :

- Archives nationales du Québec à Québec : documentation historique et cartographie ancienne;
- Archives nationales du Québec à Montréal : documentation historique et cartographie ancienne;
- Bibliothèque nationale du Québec : documents cartographiques et iconographiques;
- Bibliothèque et Archives du Canada à Ottawa : cartographie ancienne;
- Archives de l'Archevêché de Québec;
- Archives du Séminaire de Québec;
- « Notre mémoire en ligne », [www.canadiana.org](http://www.canadiana.org)
- Centre de documentation en archéologie du ministère de la Culture et des Communications du Québec à Québec : données sur les sites archéologiques connus.

### *Compréhension de l'évolution de l'occupation humaine*

L'aire d'étude du présent mandat englobe un vaste territoire de forme linéaire où le processus d'appropriation au cours de la période historique est sensiblement homogène. À cette étape de la recherche, il s'agit donc de procéder à l'analyse de l'évolution historico-spatiale de l'espace étudié, en confrontant les différentes informations recueillies à l'étape précédente.

### *Identification des zones à potentiel archéologique*

Les résultats de cette analyse qui intègrent les données historiques, archéologiques et cartographiques ont permis de définir des zones à potentiel archéologique circonscrites à l'aire d'étude.



## 2. PÉRIODE PRÉHISTORIQUE

### 2.1 PAYSAGE NATUREL ANCIEN

#### 2.1.1 Contexte temporel

Ce chapitre n'a pas la prétention de détailler l'évolution morphogénétique du paysage dans lequel s'inscrivent les deux corridors à l'étude, mais plutôt de jeter les balises permettant de répondre aux conditions minimales d'habitabilité du territoire. On sait que les paysages hydrographique, climatique, végétal et faunique devaient être très changeants entre la fin du Pléistocène et disons, 3000 ans avant aujourd'hui. Les recherches récentes, entre autres celles de Jean-Claude Dionne sur le Bas-Saint-Laurent et la Gaspésie, précisent que le retrait de la calotte d'inlandis et la transgression marine qui l'accompagnait ne suivaient pas du tout une progression linéaire dans le temps : ils répondaient à des oscillations sinusoïdales qui, à l'échelle des intérêts archéologiques peuvent avoir un très fort impact. En outre, les travaux de Jean-Marie Dubois permettent de poser quelques jalons par rapport à l'évolution quaternaire de la frange côtière entre Sept-Îles et Havre-Saint-Pierre (région sud), mais on ne dispose que de très peu d'informations sur la région nord. Quoiqu'il en soit, les prochains paragraphes vont essayer de broser un tableau du paysage dans lequel vivaient les populations anciennes de cette partie du territoire québécois en synthétisant les connaissances actuelles et en ajoutant les données recueillies au pré-inventaire.

Malheureusement, les dates fournies pour chacun des environnements seront tout à fait relatives. En effet, les sources les plus fiables sont les cartes isochrones de déglaciation de Dyke et Prest (1987) et de Dyke et al. (2003b) et l'article de Vincent sur le quaternaire du sud-est du bouclier canadien (1989). Or, les datations proposées par ces sources sont remises en question par les articles de Occhietti et Richard (2003 et 2005). Selon ces derniers, à partir de macrorestes terricoles pris à la base des sédiments du lac Hertel, lui-même au sommet du mont Saint-Hilaire, la datation des coquilles marines sur laquelle se base la chronologie de la déglaciation de l'estuaire est complètement à réévaluer dans la mesure où les âges coquilles conventionnels ont tendance à vieillir les coquilles marines. Occhietti (2003) propose une « datation croisée de macrorestes terricoles et de coquilles marines » pour l'ensemble de l'Amérique du Nord et Richard (2005) dit que « this chronology (la nouvelle) is 400 ± 100 years younger than what is proposed in the most recent synthesis on the chronology of ice retreat at the continent scale (Dyke et al., 2003) and ca. 1 000 years younger than the still widely cited Dyke and Prest (1987) chronology. ». Mais, même si nous adhérons aux conclusions de ces articles, il est très difficile, sinon impossible, de rajeunir de 500 ans les données de Dyke (2003) dans la mesure où il est impossible de connaître « l'effet de réservoir océanique » qu'il y avait pendant tout le quaternaire, sur le versant nord de l'estuaire du Saint-Laurent actuel. Donc les dates proposées, qui seront celles de Dyke et al. (2003), pourront être révisées à la baisse, lorsqu'il y aura une analyse géochronologique complète de la région sud de l'aire d'étude.

## *Un paysage périglaciaire*

Il y a 10 500 ans commence la déglaciation de la Basse et de la Moyenne-Côte-Nord par la mise à l'air libre du versant nord du détroit de Belle-Isle. Il faudra attendre encore mille ans pour que la moraine frontale du lac Daigle et celle du lac Mercier (de part et d'autre de la rivière Moisie) se mettent en place. À cette époque, la frange côtière, encore affaissée par le poids du glacier, est submergée par la mer de Goldthwait et le front glaciaire baigne dans la mer (Poly-Géo, 2005a). Cette transgression marine atteint 130 mètres d'altitude entre les rivières Sainte-Marguerite et Romaine et le territoire est encore inhabitable parce qu'il est sous la glace ou sous la mer.

Vers 8000 ans AA, suite à un relèvement glacio-isostatique, au moment où le niveau de la mer est à 110 mètres (Dyke et Prest, 1987) et que le glacier couvre toujours la région nord de l'aire d'étude, se mettent en place de grands delta-sandurs dans la région sud de l'aire d'étude. En 1971, Poirier et Ritchot ont observé une structure ocellée (qualifie une disposition orientée des grains de sable qui évoque un œil en stratigraphie) dans une coupe stratigraphique juste derrière la zone 1.03.13, au nord-est de Sept-Îles. Une seconde observation de ces sandurs en formation en Islande, explique ces « yeux » par la présence de séries de chenaux anastomosés qui se superposent dans le temps et dans lesquels s'accumulent du sable très fin jusqu'aux cailloutis. Évidemment, ces chenaux se mettent en place à l'air libre. Sous cette structure ocellée apparaissait une couche indurée d'une cinquantaine de centimètres. Sa couleur brun-rouille était un indicateur de sa teneur en fer et cet ortstein était suffisamment dur pour résister au piolet. Bref, ces delta-sandurs ont été mis en place par des écoulements fluvio-glaciaires qui venaient de la fonte des glaciers pas très loin au nord et qui accumulaient des sables ferrugineux. Par percolation, une couche indurée s'est formée et elle a eu pour conséquence de protéger la surface du delta, ce qui explique, par exemple, la continuité de la zone 1.03.012. Par ailleurs, l'autre conséquence a été de rendre la surface du delta imperméable, donc de faciliter la formation de vastes tourbières.

Ce n'est qu'entre 7000 et 6000 ans AA que la région sud de l'aire d'étude peut être habitable. C'est l'époque où Dyke et Prest (1989) situe le niveau marin à 35 mètres, donc celle où émergent les zones 1.03.001 à l'ouest et 1.16.60 à l'est. À cette époque, le glacier vient tout juste de libérer la région nord de l'aire d'étude et les écoulements fluvio-glaciaires accumulent des eskers sous les langues de glace encore présentes dans certaines vallées, alors que d'autres retiennent encore des eaux de fonte. Dans la région sud, les conditions de vie étaient celles d'un milieu périglaciaire au sens strict : un pergélisol qui supposait que toute surface gisante était mal drainée en été, quelque soit la composition des dépôts et indépendamment de la présence d'un ortstein. Les surfaces les plus accueillantes étaient alors les affleurements rocheux en pente faible, ou encore de petites surfaces sablonneuses prises entre des ressauts en roche en place comme l'environnement du site EdBj-4 (Chevrier, 1977). Le paysage végétal en était un de toundra éparse avec une couverture de plantes herbacées et quelques rares arbustes.

Nous avons observé ce que nous croyons être un arc morainique ou une moraine frontale (photos 1 et 2) et ce que nos collègues associent à un esker (Poly-Géo, 2006). En fait, à l'est de la rivière Fréchette, un esker s'engouffre dans une vallée orientée nord-ouest/sud-est, pour déboucher dans la vallée Kuekuan Pahkahuau d'orientation nord/sud et cet esker est presque en ligne avec l'arc morainique. Cet arc, long d'une trentaine de kilomètres, s'appuie d'une part sur l'abrupt est du massif des lacs Belmont (tout près d'une chute magnifique et des zones 2.05.001 et 2.05.002) et d'autre part, sur l'abrupt ouest du massif Kuekuan Pahkahuau. Il fermait la grande vallée empruntée par les rivières Magpie, Magpie est et Fréchette. Aujourd'hui, cet arc est discontinu, mais la photo 1 nous en montre une partie, à l'ouest de la rivière Fréchette. La ligne d'interfluve est sans aucune végétation et on devine facilement l'arc. L'hélicoptère est au-dessus de l'ancienne langue glaciaire et on voit, à gauche de la photo, juste avant l'horizon montrant les contreforts, une grande cuvette occupée par des milliers de petits lacs et par le lac Verrier qui devait, il y a 6500 ans (Dyke et al., 2003), constituer un lac pro-glaciaire. Sur la photo 2, le photographe est sur la ligne d'interfluve de la moraine et regarde vers l'est. L'horizon montre le massif Kuekuan Pahkahuau et l'arc morainique se dirige vers la gauche. Cette photo nous montre également la dissymétrie des deux versants de l'arc : un talus à pente plus faible vers le sud et à pente forte vers le nord.



**Photo 1 : Arc morainique ou esker. Vers le sud.**



**Photo 2 : Arc morainique ou esker. Vers l'est.**

Dans la région nord de l'aire d'étude, l'habitabilité du territoire n'a pu se faire avant 5500 à 5000 ans AA. À cette époque, cette région présentait elle aussi, un paysage périglaciaire au sens strict. À cause de l'altitude, on retrouve même aujourd'hui, des lambeaux de pergélisol relique sur les sommets de certains massifs (Archambault, 2002, p.30).

Dans ce pays de froidure où le couvert végétal commençait à s'implanter, les milieux sableux présentaient des paysages désertiques qui ont favorisé des processus de déflation éolienne importants. Des champs de dunes paraboliques, parfois encore actives, ont été observés à l'est de la région sud, dans le secteur de la rivière Romaine et dans l'ouest de la région nord, aux environs du poste Montagnais.

### *Un environnement fini-glaciaire*

Entre 5000 et 3000 ans AA, les derniers culots de glace fondent et les barrières retenant les lacs pro-glaciaires se brisent. Aidées par les derniers réajustements glacio-isostatiques, la terrasse de 25 mètres d'altitude (zone 1.09.063, près de la rivière au Tonnerre) et les basses terrasses marines (en dehors de l'aire d'étude) se mettent en place. Même chose pour les moyennes et les basses terrasses fluviales.

Vers la fin de cette époque, commencent à se mettre en place les nombreux paléo-méandres qui laissent dans le paysage les traces, parfois inextricables, d'un enchevêtrement d'anciens chenaux (photo 3).



**Photo 3 : Terrasse fluviale, née d'une terrasse d'obturation latérale. On remarque, dans la zone 2.07.001, les traces de nombreux paléo-méandres. Vers le nord-ouest.**

Donc, pour l'ensemble de l'aire d'étude, l'environnement de cette époque devenait beaucoup plus riche pour toute fréquentation humaine que l'environnement actuel. En effet, si on ajoute disons 5 mètres d'eau au niveau actuel, le régime fluvial change complètement ce territoire. Les choix que propose le graphe topologique (chapitre suivant) deviennent beaucoup plus évidents : dans ce contexte, les vecteurs continus supposent une circulation en canots avec quelques portages et dans certains cas les vecteurs moyennement continus, comme par exemple ceux empruntés par les rivières au Bouleau, Tortue, Manitou, au Tonnerre, deviennent facilement navigables. Si on ajoute à ce réseau de circulation une végétation plus variée et une faune plus riche, on obtient un milieu très attirant et ceci, même pour la région nord.

### *Un milieu qui se stabilise*

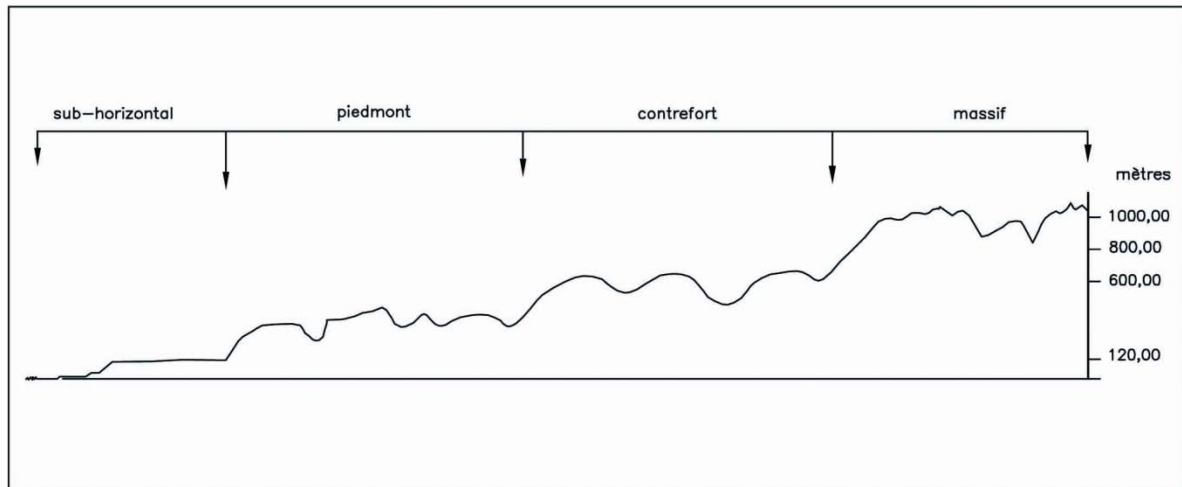
On ne connaît que très peu l'évolution géochronologique des trois derniers millénaires et ceci, pas uniquement pour l'aire d'étude mais pour l'ensemble du territoire québécois. Des études menées il y a une dizaine d'années par Dionne et Coll pour la région de Matane (1995) ou par Dionne et Occhietti pour la région du Saguenay (1996) et des études récentes comme celle de Dionne (2002) pour la terrasse Micmac et la terrasse Mitis, à l'instar de ce qui se pense en Scandinavie ou au Groenland, permettent d'imaginer une évolution du niveau de l'eau qui n'est pas si linéaire, qui n'est pas si « statique ». Par exemple, au Saguenay, ils avancent, preuves au  $^{14}\text{C}$  à l'appui (mais pas encore corrigées par les nouveaux éléments de Richard et Occhietti), que le niveau marin relatif était voisin du niveau actuel il y a 6000 ans mais qu'il est ensuite remonté pour construire une terrasse à 6 mètres d'altitude entre 1200 et 1600 ans AA. Évidemment, un tel exemple n'a pas d'incidence directe pour l'aire d'étude de la Romaine : le corridor sud évite la côte et les basses terrasses marines. Mais il peut quand même avoir un impact dans l'interprétation d'un site qu'on pourrait découvrir, disons dans la zone 1.05.004, sur une île de la rivière Tortue (photo 4)...



**Photo 4 : L'île au Renard sur la rivière Tortue. Vers le sud-est.**

## 2.1.2 Contexte spatial

### *Géomorphologie*



**Figure 2 : Styles géomorphologiques**

Le trait qui dessine les différents styles de formes rencontrées dans l'aire d'étude, c'est-à-dire l'abscisse de la figure 2, représente vraiment la réalité. Mais l'ordonnée qui nous donne les altitudes auxquelles ces formes se retrouvent est en partie exagérée, comme on va le démontrer plus loin. L'ordonnée n'est qu'un guide qui nous indique qu'à telle altitude, la majorité des formes se comportent de cette façon.

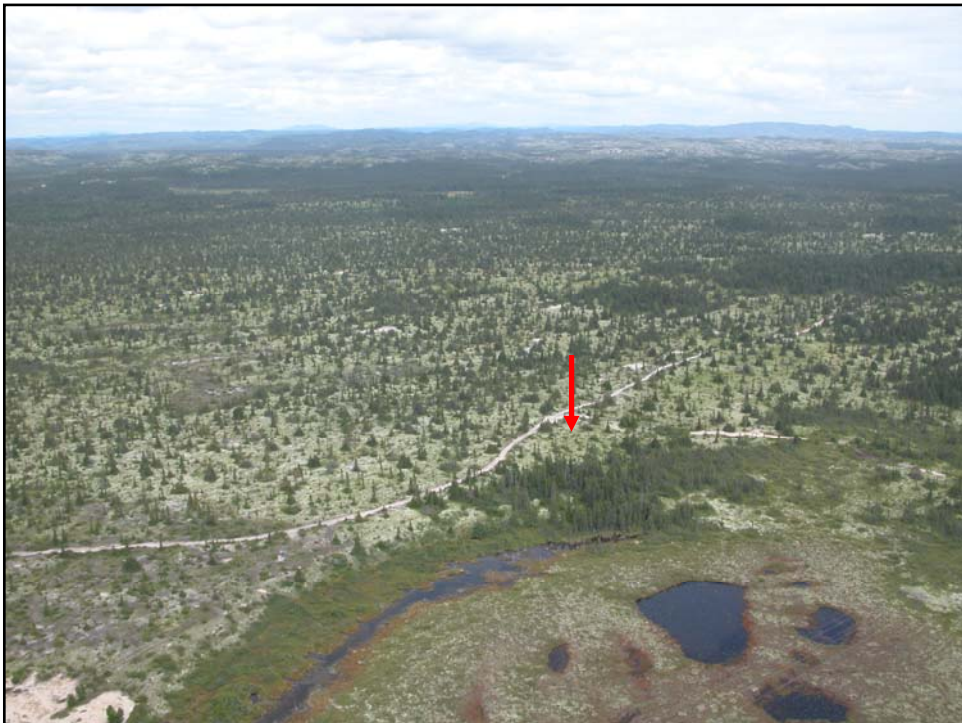
Les paysages sub-horizontaux localisent la majorité des zones à potentiel archéologique amérindien. Comme le montrent les photos 5 et 6, le paysage se présente en une succession de replats dont la genèse est ou bien marine dans ces grandes terrasses souvent striées de cordons pré-littoraux, ou bien fluviale encore une fois dans des terrasses qui se localisent de part et d'autre des cours d'eau ou bien fluvio-glaciaire dans ces immenses delta-sandurs ou sur des terrasses de kame. Cette unité physiographique correspond à la frange côtière qui borde le Saint-Laurent de Sept-Îles à la baie Nickerson. Ce style sub-horizontale se rencontre aux deux extrémités de la région sud, soit autour des rivières Sainte-Marguerite et Moisie et entre les rivières Magpie et Romaine. Dans ce contexte, l'altitude des sommets varie entre 130 et 170 mètres.

Mais ce style se rencontre également dans la région nord de l'aire d'étude, particulièrement à deux endroits : dans la vallée du lac Bellanca (photo 7) et dans celle du lac Éric, près du poste Montagnais. À ces deux endroits, l'altitude frôle les 600 à 700 mètres.

Le style géomorphologique du piedmont est beaucoup plus bosselé que le précédent. Une roche en place dont les anfractuosités sont camouflées par du till (photo 8), des blocs basculés et des dénivelés moins prononcés que dans les



**Photo 5 :** De la pointe Saint-Charles vers la baie de Sept-Îles avec, au second plan, un méandre de la rivière Moisie. Vers l'ouest.



**Photo 6 :** Zone 1.12.054. Terrasse marine à 45-50 mètres d'altitude avec à l'arrière-plan, des terrasses à 70 mètres. Au tout premier plan, tourbière réticulée. Vers le nord-nord-est.



**Photo 7 :** Juste à l'ouest de la rivière Fréchette. Le photographe est sur la ligne d'interfluve de l'arc morainique et regarde derrière cet arc. L'hélicoptère qu'on voit sur la photo est à 670 mètres d'altitude. Vue vers le nord-nord-ouest.

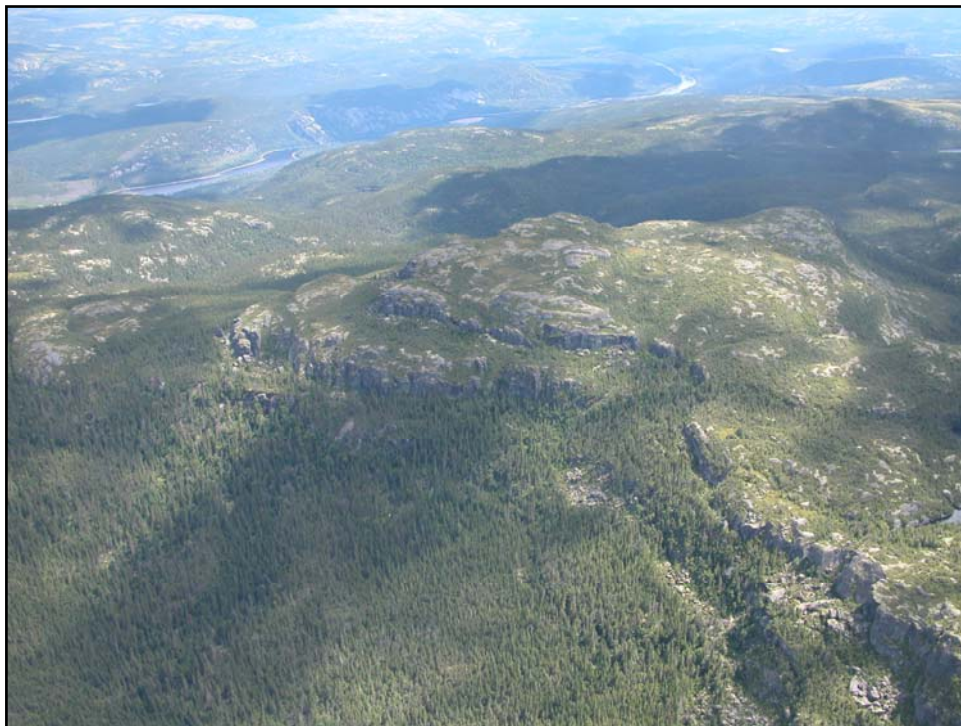
contreforts (photo 9). Généralement, ce style se rencontre de la rivière aux Loups Marins jusqu'à la rivière Magpie et dans la partie nord-est du corridor sud, lorsque le tracé de ligne quitte la côte pour aller rejoindre le futur poste de la Romaine 2.

C'est dans les contreforts que se lisent mieux les grandes cassures qui affectent le paysage, étant caricaturées par de forts dénivelés. Souvent ces cassures vont être inondées par des lacs comme le Nipisso, le Manitou (photo 10) ou le Magpie. Ces lacs sont en dehors de l'aire d'étude, étant localisés entre la région sud et la région nord, mais ils nous renseignent sur l'orientation générale des vallées qui vont devenir les vecteurs du graphe topologique dans le prochain chapitre. Tout est orienté nord/sud, vers le réservoir Smalwood et la baie d'Ungava.

Responsable du polissage des vallées et de l'accumulation des dépôts qui constituent plusieurs zones à potentiel archéologique, soit directement par les dépôts de till, soit indirectement par les dépôts associés à la fonte, l'action glaciaire se lit particulièrement bien dans les contreforts. La photo 11 nous montre une vallée en auge typique. Cette vallée, modelée par une langue glaciaire, se définit par son



**Photo 8 :** Piedmont sur la rivière Moisie, à la limite nord du corridor sud. On aperçoit, à droite de la photo, le début de la zone 1.12.035. Vers l'est.



**Photo 9 :** Un sommet des contreforts (820 mètres) qui épous le style du piedmont à cause d'un gneiss granitique qui donne l'allure d'une roche sédimentaire par ses pseudostrates. Au second plan, le piedmont à 600 mètres et à l'arrière plan, la rivière Moisie. À une cinquantaine de kilomètres au nord de Sept-Îles. Vers l'est.



**Photo 10 :** Une encoche perpendiculaire à la côte. Le lac Manitou, vers le nord.

profil transversal en U. Dans ce cas-ci, le fond plat qui contraste vigoureusement avec les bords de l'auge est dû aux accumulations fluvio-glaciaires et post-glaciaires (fluviales). La photo 12, quant à elle, met l'accent sur le moutonnement glaciaire. Sous le lit de l'inlandsis se forment des bosses convexes portant des empreintes glaciaires (cannelures, stries, broutures, polissage...). La répartition des formes moutonnées est en liaison directe avec la fracturation de la roche en place.

Dans l'aire d'étude, ces contreforts se localisent principalement entre le futur poste de la Romaine 3, même si les alentours de ce poste suggèrent plus un relief de massif (Photo 13), et le massif Kuekuan Pahkahuau. Autrement, on retrouve des reliefs qui font penser aux contreforts à l'intérieur même des massifs de la région nord.

L'allure des deux massifs traversés par le tracé de ligne dans la région nord, nous est déjà donné par la photo 13. C'est un relief très disséqué qui accuse de bonnes dénivellations, surtout sur les versants qui délimitent ces massifs (photo 14). L'altitude des sommets augmente graduellement d'est en ouest passant de 750 à 1 000 mètres et les cassures dans la roche ne sont pas du tout camouflées par du till.



**Photo 11 :** Vallée en auge. Rivière au Bouleau, à une quarantaine de kilomètres de la côte. Vers le nord-nord-ouest.



**Photo 12 :** Relief des contreforts très moutonné par l'érosion glaciaire. Au centre de la vallée, serpente la rivière Tortue. Vers le nord-nord-ouest.



**Photo 13 :** Moutonnement glaciaire sur les contreforts; ce paysage nous donne le style et l'allure des massifs. Près du futur poste de la Romaine-3. Vers le nord.



**Photo 14 :** Zone 2.04.036. Rivage lacustre à 685 mètres d'altitude, perché sur l'abrupt occidental du massif des lacs Belmont. À l'arrière plan, la vallée que cette zone domine. Vue vers l'ouest.

Donc, si on récapitule d'est en ouest pour la région nord, l'aire d'étude commence par une toute petite section qui suggère un massif, traverse ensuite des contreforts, franchit le premier massif Kuekuan Pahkahuau dans lequel on retrouve à quelques reprises le style des contreforts, s'abaisse ensuite dans la vallée du lac Bellanca où le relief sub-horizontal domine, remonte sur le deuxième massif des lacs Belmont qui possède lui aussi, à certains endroits, le style des contreforts et redescend brusquement vers la plaine du lac Éric, en traversant un relief dont les ondulations se calment du lac Véron vers le poste des Montagnais.

### *Grappe topologique*

Comme nous venons de le voir, la catégorisation des formes du paysage par l'altitude est presque impossible. Or ici, la démarche propose une véritable lecture horizontale de l'information, par opposition à une lecture verticale. En effet, le graphe topologique propose à l'archéologie un réseau spatial qui intègre les différentes fonctions de l'environnement. Ce réseau est constant dans le temps, supporte toute projection diachronique et permet d'intégrer les autres variables du milieu biophysique. Prenons par exemple le réseau hydrographique qui a traditionnellement constitué l'unité d'attention majeure en archéologie préhistorique : le graphe topologique l'intégrera et précisera même les limites de son évolution diachronique. Toutefois, il ira au-delà de cette identification en ne basant pas son analyse sur les limites entre bassins versants ou en ne limitant pas les possibilités de circulation dans l'espace aux seuls vecteurs inondés par des lacs ou des rivières. De la même façon, la qualité d'accueil d'une zone donnée, habituellement définie par la nature des dépôts qui la composent, la densité des ressources fauniques exploitables ou la disponibilité de matières premières essentielles, pourra être pondérée par sa localisation stratégique dans l'espace. Dans l'analyse topologique, l'intérêt ne se base pas sur les caractéristiques d'emplacements ponctuels mais sur les relations qui existent entre ces emplacements.

Pour couvrir les 60 000 km<sup>2</sup> de territoire qu'exigent les deux corridors de l'aire d'étude, le graphe topologique a été construit sur trente-deux feuillets topographiques à 1 : 50 000. Ces feuillets, montés en mosaïques de quatre, comprennent l'ensemble des vecteurs – du vecteur continu au vecteur discontinu – et restent à l'état de brouillon. Pour définir les vecteurs continus et moyennement continus il a été nécessaire d'ajouter une vingtaine de feuillets supplémentaires pour rejoindre la section nord à la section sud. Une mosaïque de six feuillets à l'échelle de 1 : 250 000 était également nécessaire. Ce graphe topologique a ensuite été transféré à l'intérieur des limites de l'aire d'étude, sur des feuillets à 1 : 20 000.

Enfin, pour donner à ce graphe une connotation anthropologique c'est-à-dire pour pouvoir inscrire les données culturelles dans un cadrage naturel, le graphe topologique a également été transféré à 1 : 1 000 000, sans toutefois dessiner les vecteurs discontinus qui aurait eu tendance à faire ressembler le graphe à une toile d'araignée. Dans ce contexte, l'architecture du paysage devient le canevas sur



Verso blanc

lequel s'inscrit la connaissance des habitudes et de l'organisation socio-économique des populations humaines étudiées.

Huit espaces de contrôle ressortent de l'analyse. Pour les nommer, le réseau hydrographique est le seul outil dont nous disposons. Mais cette nomenclature ne veut pas dire qu'un des deux vecteurs continus ne s'associe qu'à ce cours d'eau. Par exemple, l'espace central Sheldrake fait référence à la rivière du même nom, sauf qu'un des deux vecteurs n'est pas suivi tout au long par la rivière Sheldrake. Il est emprunté également par la rivière Magpie et par la rivière Fréchette avant d'atteindre un autre espace central. De la même façon, le vecteur continu du Saint-Laurent est également emprunté par le lac Ontario, le lac Érié, l'Ohio et le Mississippi. La lecture du graphe topologique accuse encore une grande difficulté : celle d'imaginer que le vecteur inondé, par exemple, par le lac Manitou (photo 10) est un vecteur moyennement continu et non pas un vecteur continu ! Autrement dit, la difficulté consiste à s'éloigner du réseau hydrographique en sachant très bien que celui-ci va profiter du graphe. Ce n'est pas inutilement qu'est employé la terminologie *vecteur d'appropriation* et non pas *axe de circulation*.

Les deux espaces centraux de Sainte-Marguerite et de Moisie sont situés de part et d'autre de la baie de Sept-Îles. Ensuite on doit parcourir une centaine de kilomètres de long de la côte, traversant cinq espaces périphériques, pour atteindre l'espace Sheldrake. En suivant toujours cette côte, on franchit quarante kilomètres et deux espaces périphériques pour atteindre l'espace Rivière-Saint-Jean et rapidement, deux autres espaces, celui de Mingan et celui de la Romaine. Tous ces espaces qui naissent de la rencontre avec le vecteur continu emprunté par le Saint-Laurent, sont accrochés à des antennes qui sont reliées à la grande cuvette du réservoir Smalwood. De là, il pourront rejoindre l'Atlantique par le lac Melville, la baie d'Ungava par la rivière George, ou la baie d'Hudson par le lac Bienville et la Grande rivière de la Baleine. Mais avant d'aller aussi loin vers le nord, le graphe rencontre deux autres espaces centraux, tout près de l'aire d'étude : il s'agit de l'espace Bernard, sur la rivière Romaine et de l'espace Bellanca.

Dans la région nord, l'aire d'étude ne fait que frôler l'espace central Bellanca alors que dans la région sud, elle englobe les espaces centraux Moisie et Mingan en diachronie et l'espace central Sheldrake, actuel et en diachronie. Par contre, elle traverse les espaces périphériques Matamec, Bouleau et Tortue actuels, Manitou et Chaloupe, en diachronie et Tonnerre et Magpie actuels et en diachronie.

À la préhistoire, ces pôles d'attraction du réseau topologique permettent d'ores et déjà de proposer des hypothèses culturelles très différentes de celle de l'archéologie traditionnelle. Au lieu d'enfermer, par exemple, des groupes culturels dans les limites de bassins-versants (*catchment analysis*), l'analyse propose un ou des groupes qui pouvaient occuper tout le territoire par le contrôle du mouvement dans l'espace, c'est-à-dire par la perception cognitive du « plan » de ce territoire. Ces gens pouvaient sédentariser d'autres groupes culturels qui n'avaient donc pas le choix, pas de liberté de mouvement ou moins de liberté de mouvement. Par

exemple, ceux qui occupaient les espaces centraux de la côte contrôlaient l'espace maritime et l'hinterland par les axes de pénétration, alors que les habitants du plateau pouvaient être sédentarisés à l'intérieur des terres, surtout si on pouvait leur couper l'accès aux autres espaces centraux. Mais l'équilibre de ces rapports de force devait être très précaire et des renversements devaient se jouer à toutes les échelles. Il s'agit d'adapter le graphe topologique aux paradigmes mis en place par le cadre naturel.

## **2.2 CADRE CULTUREL**

### **2.2.1 Ressources archéologiques connues**

Le territoire dans lequel s'inscrit cette étude est situé en Moyenne Côte-Nord, entre le littoral du golfe Saint-Laurent au sud et la frontière du Labrador au nord, et entre les 67<sup>e</sup> et 63<sup>e</sup> degrés de longitude. Il est clair que les recherches archéologiques qui ont été effectuées à ce jour dans cette région ont touché essentiellement la frange littorale. Ce constat peut être étendu à l'ensemble de la Moyenne Côte-Nord, et même à l'ensemble de la Côte-Nord (Chevrier 1996a: 85). Il existe néanmoins quelques concentrations de sites vers l'intérieur des terres, le long de certains bassins hydrographiques, comme la Manicouagan, la Sainte-Marguerite, la Romaine et la Saint-Augustin. Une telle distribution géographique des sites archéologiques reflète bien entendu la répartition spatiale de la population actuelle mais encore plus la répartition spatiale des projets de développement d'envergure qui ont nécessité des études d'impact.

Parmi ces grands projets, notons principalement la construction de la route 138 ainsi que les projets de centrales hydro-électriques et de lignes de transport d'énergie qui leurs sont associées. Au sein du territoire spécifique à cette étude, les premiers inventaires archéologiques d'importance ont été réalisés au début des années 1970 lors de la construction de la route 15, qui allait bientôt devenir la route 138 (Chevrier 1972, 1973a, 1973b, 1974, 1977). Au tournant des années 1990, le Conseil des Attikamekw et des Montagnais procédait à des interventions archéologiques sur le tracé de lignes électriques dans la région de Mingan pour le compte d'Hydro-Québec, notamment dans le cadre d'un plan quinquennal (Somcynsky 1987, 1990, 1992a, 1992b, 1993, 1994). Ces deux grands projets ont permis la découverte de la plus grande part des sites archéologiques connus situés près de la côte au sein du territoire touché par la présente étude. Au même moment s'amorçait le projet d'aménagement hydroélectrique de Sainte-Marguerite-3 qui allait mener à neuf campagnes d'interventions archéologiques le long du bassin hydrographique de la rivière Sainte-Marguerite, situé juste à l'ouest du territoire de la présente étude (Cérane 2000). Puis, à l'extrémité orientale de ce même territoire, s'amorçait en 1999 un programme d'interventions archéologiques sur le bassin de la rivière Romaine dans le cadre du projet de dérivation partielle de cette rivière vers le nord, dans le réservoir Smallwood. Ce projet allait être abandonné peu de temps après, mais il avait néanmoins permis la découverte de plusieurs sites le long de cette rivière en amont de la confluence avec la rivière Garneau, jusqu'à la hauteur

du lac Atikonak (Archéotec 2000a, 2000b, 2000c). Dès que ce projet de dérivation fut abandonné, Hydro-Québec est revenu à la charge dans ce même bassin en réactualisant d'anciens projets de centrales le long de la rivière, ce qui a mené à la poursuite des interventions archéologiques concentrées dorénavant en aval de la confluence de la rivière aux Sauterelles jusqu'à l'embouchure de la rivière Romaine (Archéotec 2002, 2003, 2006a, 2006b).

À ces interventions archéologiques liées aux grands projets de développement, s'ajoutent plusieurs petites interventions de moindre envergure qui ont eu lieu au cours des années surtout le long de la côte, notamment dans les secteurs de Sept-Îles et de Mingan où se trouvent les deux plus importantes concentrations de sites du territoire, tant pour la période préhistorique qu'historique.

Les deux corridors de la présente étude occupent des environnements fort différents. Par conséquent, ils offrent des modalités d'occupations humaines tout aussi différentes. Nous aborderons ce point plus loin, mais notons d'abord, sur le plan purement quantitatif, combien les ressources archéologiques entre ces deux régions sont également contrastées.

Le corridor sud est présent sur 11 feuillets topographiques à 1 : 50 000. Ceux-ci dénombrent un total de 102 sites détenant au moins une composante amérindienne (préhistorique ou historique) selon les données de l'I.S.A.Q en date de juin 2006. De ceux-ci, 65 se situent à moins de 5 kilomètres des limites de l'aire d'étude, dont 11 qui se situent à l'intérieur même de l'aire d'étude. Quant au corridor nord, il est présent sur 8 feuillets topographiques à 1 : 50 000. Ceux-ci dénombrent un total de 15 sites détenant au moins une composante amérindienne (préhistorique ou historique) selon les données de l'I.S.A.Q. en date de juin 2006. De ceux-ci, 6 se situent à moins de 5 kilomètres des limites de l'aire d'étude et aucun ne se retrouve à l'intérieur de l'aire d'étude. Le tableau 1 donne le nombre de sites selon chacun des feuillets pour les deux corridors à l'étude.

**Tableau 1 : Nombre de sites amérindiens selon les feuillets topographiques**

Feuille 1:50 000	Nombre de sites amérindiens	Nombre de sites amérindiens en périphérie (<5km) de l'aire d'étude	Nombre de sites amérindiens à l'intérieur de l'aire d'étude
<b>Corridor Sud</b>			
22 J/2	2	0	0
22 J/7	0	0	0
22 J/1	4	2	0
22 J/8	3	3	2
22 I/5	14	14	2
22 I/6	0	0	0
22 I/7	7	7	0
22 I/8	12	8	0
12 L/5	47	27	5
12 L/6	11	3	2
12 L/11	1	1	0
<b>Total du corridor sud</b>	<b>102</b>	<b>65</b>	<b>11</b>

Feuille 1:50 000	Nombre de sites amérindiens	Nombre de sites amérindiens en périphérie (<5km) de l'aire d'étude	Nombre de sites amérindiens à l'intérieur de l'aire d'étude
<b>Corridor Nord</b>			
22 P/13	0	0	0
22 P/14	0	0	0
22 P/11	0	0	0
22 P/10	0	0	0
22 P/9	0	0	0
12 M/12	6	0	0
12 M/5	9	6	0
12 M/6	0	0	0
<b>Total du corridor nord</b>	<b>15</b>	<b>6</b>	<b>0</b>
<b>Total des deux corridors</b>			
	<b>117</b>	<b>71</b>	<b>11</b>

Bien entendu, tous les sites archéologiques connus du territoire sont pertinents pour l'élaboration de l'étude de potentiel et nous en avons tenu compte. Cependant, afin de mettre en lumière l'impact potentiel du tracé à l'étude, nous avons mis en relief les sites d'occupation amérindienne (préhistoriques et historiques) situés à l'intérieur des deux corridors à l'étude ainsi que ceux situés à moins de 5 km de leurs limites. Un coup d'œil au tableau 1 nous permet de voir, par exemple, que le corridor sud constitue une menace directe pour à peu près 10% des sites connus et qu'il passe à moins de 5 km de près de 2/3 des sites connus. Dans le cas du corridor nord, il ne menace aucun site connu à ce jour et passe à moins de 5 km d'un peu plus du tiers du peu de sites connus, tous concentrés sur les rives de la rivière Romaine, sur deux feuillets topographiques. Le tableau 2 donne le détail des sites archéologiques amérindiens situés à l'intérieur ou en périphérie de 5 km des deux corridors à l'étude.

Soulignons qu'un seul site à code Borden temporaire (EbDn-a, sur le lac Daigle dans le feuillet 22 J/8) a été retenu dans notre tableau. Il en existe cependant quelques autres dans le secteur de Sept-Îles (EbDo-a, b, c, d et e) ainsi que dans le secteur de Mingan (EbDa-a et b) mais les informations dont nous disposons sur ces sites (souvent des cas de trouvailles fortuites) sont trop vagues ou trop fragmentaires pour que nous puissions les utiliser de façon cohérente. Les sites à codes temporaires ne sont pas compilés dans la banque informatisée de l'I.S.A.Q, mais des indications sur les feuillets topographiques marquent leur existence.

Bien que la proportion entre les sites situés à l'intérieur des corridors à l'étude et ceux situés à l'extérieur semble démontrer un impact somme toute assez mineur sur les ressources archéologiques, même dans le corridor sud, il faut rappeler qu'il s'agit bien des ressources archéologiques connues. En effet, les recherches se sont essentiellement déroulées à l'extérieur des deux corridors.

Dans le cas du corridor sud, son trajet est en retrait de la rive du golfe bien qu'il s'en approche à quelques occasions à moins d'un kilomètre, notamment dans les

**Tableau 2 : Sites amérindiens (préhistoriques et historiques) connus en périphérie de l'aire d'étude**

Code Borden	Feuillet 1 : 50 000	Localisation	Altitude	Secteur de l'étude de potentiel	Distance du corridor à l'étude	Période	Commentaire	Sources
EbDo-1	22 J/1	Rive de la baie de Sept-Îles près de l'embouchure de la rivière du Poste	± 5 m	Moisie	à 5 km au sud	préhistorique indéterminé et amérindien historique	Il s'agit du Vieux Poste de Sept-Îles. Occupations multiples incluant également de l'amérindien historique et de l'euro-québécois à partir du début du XVIIe siècle.	Chism 1980 Fortin 1978 Gaumond s.d., Laplante 1966 Lévesque 1981 MacLeod 1968
EbDo-6	22 J/1	Rive de la baie de Sept-Îles À l'arrière des garages de la Ville de Sept-Îles sur le boulevard des Montagnais	± 5 m	Moisie	à 5 km au sud	préhistorique indéterminé	À proximité du site du Vieux-Poste (EbDo-1); il s'agit vraisemblablement de la continuité de ce dernier. Associé à une occupation euro-québécoise	Dubreuil 1997
EbDn-a	22 J/8	Rive du lac Daigle (possiblement au fond de la baie au nord-est)	132 m	Moisie	à l'intérieur du corridor. Sur vecteur discontinu, conjonction possible avec les zones 1.03-010 et 1.03-011	préhistorique indéterminé	Un « site de campement » retrouvé en 1966, « avec quelques pierres qui pourraient être des outils indiens »	Laplante 1966
EbDn-1	22 J/8	Portage sur la rive gauche de la rivière Moisie, à 1,5 km de la rivière et à 13 km du Saint-Laurent	110 m	Moisie	à l'intérieur du corridor. Dans un espace central en diachronie	préhistorique indéterminé	Une pointe et quelques éclats récoltés le long d'un portage	Chevrier 1972 Chevrier 1973b Chevrier 1974
EbDm-2	22 J/8	À 160 m de la rive du Saint-Laurent, à mi-chemin entre l'embouchure de la Moisie et de la Matamek	8 m	Moisie	à 3,25 km au sud	préhistorique indéterminé	Occupation brève. Un fragment d'outil taillé dans le verre, une meule à main et quelques éclats	Chevrier 1972 Chevrier 1973a Chevrier 1973b
EbDI-1	22 I/5	À 450 m de la rive du Saint-Laurent et à 300 m de la rive droite de la rivière Matamek	16 m	Moisie	900 m au sud	Archaïque	Site détruit par la construction de la route 138, nombreux outils taillés (pointes lancéolées et à pédoncule, couteaux, grattoirs- dont 2 bifaciaux...) outils polis (hache, grattoirs...), près de 700 éclats	Chevrier 1973a Chevrier 1973b
EbDI-2	22 I/5	À 350 m de la rive du Saint-Laurent et à 525 m de la rive droite de la rivière Matamek	10 m	Moisie	1,1 km au sud	préhistorique indéterminé	Quelques éclats en contexte perturbé	Chevrier 1973a Chevrier 1973b
EbDI-3	22 I/5	À 150 m de la rive du Saint-Laurent et à 50 m de la rive gauche de la rivière Matamek	10 m	Moisie	1 km au sud	préhistorique indéterminé	Racloir et quelques éclats. Surface très restreinte	Chevrier 1972 Chevrier 1973a Chevrier 1973 b

Code Borden	Feuillet 1 : 50 000	Localisation	Altitude	Secteur de l'étude de potentiel	Distance du corridor à l'étude	Période	Commentaire	Sources
EbDI-4	22 I/5	À 600 m de la rive gauche de la rivière Matamek	16 m	Moisie	300 m au sud	préhistorique indéterminé	Occupation brève. Une trentaine d'éclats	Chevrier 1972 Chevrier 1973a Chevrier 1973 b
EbDI-5	22 I/5	À 300 m de la rive gauche de la rivière Matamek	± 10 m	Moisie	350 m au sud	préhistorique indéterminé	Un couteau, nucléus et 160 éclats	Chevrier 1972 Chevrier 1973a Chevrier 1973 b
EbDI-6	22 I/5	À 450 m de la rive du Saint-Laurent et à 400 m de la rive gauche de la rivière Matamek	13 m	Moisie	450 m au sud	préhistorique indéterminé	Possible cache de 3 bifaces et 5 préformes, plus de 80 éclats autour.	Chevrier 1972 Chevrier 1973a Chevrier 1973 b
EbDI-7	22 I/5	À 25 m au sud-ouest de EbDI-6	13 m	Moisie	450 m au sud	préhistorique indéterminé	25 éclats en quartz	Chevrier 1972 Chevrier 1973a Chevrier 1973 b
EbDI-8	22 I/5	À 40 m au sud-ouest de EbDI-7	11-12 m	Moisie	500 m au sud	préhistorique indéterminé	25 éclats en chert	Chevrier 1972 Chevrier 1973a Chevrier 1973 b
EbDI-9	22 I/5	sans objet	s. o.	Moisie	s. o.	Archaïque	Un grande pointe lancéolée à encoche en chert, trouvée dans des remblais de sable rapportés	Chevrier 1972 Chevrier 1973b
EbDI-10	22 I/5	À 6 km à l'est de Matamek, à 200 m de la rive ouest de l'anse Seal House	20 m	Moisie	à 150 m au sud	préhistorique indéterminé	Site détruit (ancienne sablière), 2 racloirs, 122 éclats	Chevrier 1972 Chevrier 1973b
EbDj-1	22 I/5	Au fond d'une baie derrière l'ancien village de Pigou	± 8 m	Bouleau	à 200 m au sud	préhistorique indéterminé	Herminette trouvée en surface, sondages négatifs	Chevrier 1972 Chevrier 1973b
EbDj-2	22 I/5	Rive droite de l'embouchure de la rivière au Bouleau, à 60 m de celle-ci et à 200 m de la rive du Saint-Laurent	10 m	Bouleau	à 350 m au sud	Sylvicole moyen (entre 1500 et 1000 av. aj.)	Fouille de 165 m <sup>2</sup> , 3 niveaux dont le principal (niveau 2) contient des aménagements et des aires d'activités. 120 outils, plus de 7500 éclats, poterie décorée de cordelette et incisions, objet en Cu natif.	Chevrier 1972 Chevrier 1973a Chevrier 1973b Chevrier 1974 Chevrier 1977
EbDj-3	22 I/5	À 430 m de la rive droite de la rivière au Bouleau, à 915 m de la rive du Saint-Laurent	90 m	Bouleau	à l'intérieur du corridor, dans un espace périphérique	Archaïque (entre 5500 et 4500 av. aj.)	Fouille de 37 m <sup>2</sup> , 94 outils (dont 51 grattoirs), 9500 éclats.	Chevrier 1974 Chevrier 1977
EbDj-4	22 I/5	À 420 m de la rive droite de la rivière au Bouleau, à 975 m de la rive du Saint-Laurent	98 m	Bouleau	à l'intérieur du corridor, dans un espace périphérique	Archaïque (entre 6000 et 5000 av. aj.)	Fouille de 90 m <sup>2</sup> , Aires d'activités, 105 outils, 13 700 éclats.	Chevrier 1974 Chevrier 1977
EbDf-1	22 I/7	À 430 m de la rive du Saint-Laurent et à 750 m à l'est de l'embouchure de la rivière Sheldrake.	20 m	Sheldrake	1,6 km au sud	préhistorique indéterminé	Récolte de surface, 2 éclats	Chevrier et Castonguay 1976

Code Borden	Feuillet 1 : 50 000	Localisation	Altitude	Secteur de l'étude de potentiel	Distance du corridor à l'étude	Période	Commentaire	Sources
EbDf-2	22 I/7	Rive droite de la rivière Couture	s.o.	Sheldrake	s.o.	préhistorique indéterminé	Racloir en chert trouvé dans les remblais de la route 138	Chevrier et Castonguay 1976
EbDe-1	22 I/7	À 35 m de la rive gauche de la rivière au Tonnerre et à 510 m de la rive du Saint-Laurent	16 m	Tonnerre	600 m au sud	préhistorique indéterminé	Quelques sondages et collectes de surface, 5 outils, 638 éclats	Chevrier et Castonguay 1976 Somcynsky 1993 Somcynsky 1994
EbDe-2	22 I/7	À 130 m de la rive, sur le tombolo de la pointe au Tonnerre, à 2,5 km à l'est de l'embouchure de la rivière au Tonnerre	8 à 11 m	Tonnerre	1,4 km au sud	préhistorique indéterminé	Deux zones, sondages négatifs, 2 outils, 18 éclats	Chevrier et Castonguay 1976
EbDe-3	22 I/7	Rive droite d'un petit ruisseau, à 115 m de la rive du Saint-Laurent, à 5,5 km à l'est de la rivière au Tonnerre	15 m	Tonnerre	400 m au sud	préhistorique indéterminé	Complètement remanié, récolte de surface, sondages négatifs, 23 éclats	Chevrier et Castonguay 1976
EbDd-1	22 I/7	Rive droite d'un petit ruisseau, à 115 m de la rive du Saint-Laurent, à 3 km à l'est de EbDe-3	16 m	Tonnerre	1 km au sud	préhistorique indéterminé	Complètement remanié, récolte de surface sondages négatifs, 2 éclats	Chevrier et Castonguay 1976 Archéotec 1978
EbDd-2	22 I/7	À 25 m de la rive droite d'un petit ruisseau, à 200 m de la rive du Saint-Laurent, à 900 m à l'est de EbDd-1	8 m	Tonnerre	1 km au sud	préhistorique indéterminé	Complètement remanié, 3 zones, récoltes de surface, sondages négatifs, 1 pointe, 7 éclats	Chevrier et Castonguay 1976 Archéotec 1978
EbDc-1	22 I/8	À 25 m de la rive droite de l'embouchure de la rivière Magpie, à 50 m de la rive du Saint-Laurent	5 m	Magpie	700 m au sud	préhistorique indéterminé	Récolte de surface dans déflation de sable, 1 pointe et 233 éclats	Chevrier et Castonguay 1976
EbDb-1	22 I/8	Au début d'une pointe de sable de la rive droite de l'embouchure de la rivière Saint-Jean, à 50 m de la rivière et à 100 m de la rive du Saint-Laurent	5 m	Saint-Jean	4,5 km au sud	préhistorique indéterminé	Récolte de surface, 1 éclat	Chevrier et Castonguay 1976
EbDa-4	22 I/8	Rive droite de la rivière Mingan, sur la pointe Matsiteuw, à moins de 100 m de la rive du Saint-Laurent	8 m	Mingan-Romaine	5 km au sud	Sylvicole supérieur. Archaïque	Intègre les données de EbDa-1, sondages et fouilles, aménagements et foyer, céramique, environ 90 outils taillés et près de 35 000 éclats	Chevrier 1978 Chevrier et Castonguay, 1976 Lévesque 1966 Somcynsky 1987
EbDa-5	22 I/8	Rive droite de la rivière Mingan, au début de la pointe Matsiteuw	8 m	Mingan-Romaine	5 km au sud	préhistorique indéterminé	Récoltes de surface, 124 éclats	Chevrier et Castonguay 1996 Somcynsky 1987
EbDa-44	22 I/8	Rive droite de la rivière Mingan, au nord du village	7 m	Mingan-Romaine	5 km au sud	préhistorique indéterminé	Sondages, 5 éclats	Somcynsky 1990a

Code Borden	Feuillet 1 : 50 000	Localisation	Altitude	Secteur de l'étude de potentiel	Distance du corridor à l'étude	Période	Commentaire	Sources
EbDa-48	22 I/8	Rive du Saint-Laurent, sur la pointe Matsiteuw	8 m	Mingan-Romaine	5 km au sud	préhistorique indéterminé	Sondages, 180 éclats	Somcynsky 1994
EbDa-49	22 I/8	Rive gauche de la rivière Mingan, un peu au nord-ouest du pont de la route 138	15 m	Mingan-Romaine	3,5 km au sud	préhistorique indéterminé	Sondages et récolte de surface. 23 éclats	Somcynsky 1992b Somcynsky 1993
EbDa-50	22 I/8	Rive gauche de la rivière Mingan, au pied du pont de la route 138	16 m	Mingan-Romaine	3,5 km au sud	préhistorique indéterminé	1 grattoir	Somcynsky 1993
EbCx-2	12 L/5	Rive du Saint-Laurent, de part et d'autre de l'embouchure de la rivière Apokusis sipis (L'Échouerie, toponyme mal situé sur le feuillet à 1 : 50 000)	5 à 10 m	Mingan-Romaine	1,7 km au sud	Sylvicole indéterminé, amérindien historique	Récoltes de surface et sondages, 2 à 5 aires, pierres à fusil, plus d'une vingtaine d'outils. plus de 900 éclats, céramique, ossements	Chevrier et Castonguay 1976 Archéotec 1978 Somcynsky 1987 Somcynsky 1993
EbCx-3	12 L/5	Rive du Saint Laurent, à l'embouchure de la rivière Oniko sipis	7 m	Mingan-Romaine	2,2 km au sud	préhistorique indéterminé	Récoltes de surface et sondages, près d'une dizaine d'outils, près de 2500 éclats, ossements	Chevrier 1975 Chevrier et Castonguay 1976 Archéotec 1978 Somcynsky 1987
EbCx-4	12 L/5	Rive gauche de l'embouchure de la rivière Mingan	16 m	Mingan-Romaine	2,3 km au sud	préhistorique indéterminé	Sur un portage reliant l'embouchure de la rivière Mingan et la première chute. Sondages et fouilles, 2 à 5 aires, foyer, cache de 120 outils, recouverts de coquillages, plus de 325 éclats	Chevrier et Castonguay 1976 Archéotec 1978 Somcynsky 1987
EbCx-5	12 L/5	À 500 mètres au nord-est de la rivière Mingan	16,5 m	Mingan-Romaine	2 km au sud	préhistorique indéterminé	Sur un portage reliant l'embouchure de la rivière Mingan et la première chute. Récoltes de surface, sondages, un foyer, 7 outils et près de 3700 éclats	Chevrier et Castonguay 1976 Somcynsky 1987
EbCx-6	12 L/5	À 1 km au nord de la rivière Mingan et à 1,4 km de la rive du Saint-Laurent	17 m	Mingan-Romaine	1,8 km au sud	préhistorique indéterminé	Sur un portage reliant l'embouchure de la rivière Mingan et la première chute. Récoltes de surface, sondages négatifs. 4 outils, 210 éclats	Chevrier et Castonguay 1976 Somcynsky 1987 Somcynsky 1992b Somcynsky 1993
EbCx-7	12 L/5	Rive gauche de la rivière Mingan, à 1,4 km de l'embouchure dans le Saint-Laurent	16 m	Mingan-Romaine	2,4 km au sud	préhistorique indéterminé	Au départ d'un portage reliant l'embouchure de la rivière Mingan et la première chute. Sondages et fouilles, 9 outils, dont herminette, plus de 4500 éclats	Chevrier et Castonguay 1976 Archéotec 1978 Somcynsky 1987

Code Borden	Feuillet 1 : 50 000	Localisation	Altitude	Secteur de l'étude de potentiel	Distance du corridor à l'étude	Période	Commentaire	Sources
EbCx-8	12 L/5	À 300 m à l'est de la rivière Apokussis sipis (L'Échouerie), à 300 m de la rive du Saint-Laurent	15 m	Mingan-Romaine	1,8 km au sud	préhistorique indéterminé	Récoltes de surface et sondages, 3 pointes de projectile et 135 éclats	Chevrier et Castonguay 1976 Somcynsky 1987
EbCx-9	12 L/5	Sur terrasse marine à 325 m de la rive du Saint-Laurent, à environ 4,5 km à l'est de l'embouchure de la rivière Mingan	15 m	Mingan-Romaine	1,7 km au sud	préhistorique indéterminé	Récoltes de surface et fouilles, 345 éclats, aucun outils, ossements.	Chevrier et Castonguay 1976 Somcynsky 1987
EbCx-10	12 L/5	Sur terrasse marine à environ 250 m au sud-est de EbCx-9, à 300 m de la rive du Saint-Laurent	8 m	Mingan-Romaine	2 km au sud	préhistorique indéterminé	Récoltes de surface, 61 éclats	Chevrier et Castonguay 1976 Somcynsky 1987
EbCx-11	12 L/5	Sur une levée de plage, à la pointe du Curé, à 6 km à l'est de l'embouchure de la rivière Mingan	6 m	Mingan-Romaine	2,5 km au sud	préhistorique indéterminé	Récoltes de surface et sondages, une ébauche taillée et 21 éclats	Chevrier et Castonguay 1976 Somcynsky 1987
EbCx-12	12 L/5	Sur une levée de plage à l'est de la pointe du Curé, à environ 250 m à l'est de EbCx-11	6 m	Mingan-Romaine	2,4 km au sud	préhistorique indéterminé	Récolte de surface, 10 éclats	Chevrier et Castonguay 1976 Somcynsky 1987
EbCx-13	12 L/5	Sur terrasse marine au sommet d'un affleurement rocheux (pointe Butler), à 1 km à l'est de EbCx-12	25 m	Mingan-Romaine	2,4 km au sud	préhistorique indéterminé	Récolte de surface, sondages négatifs, un couteau	Chevrier et Castonguay 1976
EbCx-14	12 L/5	De part et d'autre de la route 138 à 540 m à l'ouest de la rivière Lechasseur, à 750 m de la rive du Saint-Laurent	22 m	Mingan-Romaine	2,2 km au sud	préhistorique indéterminé	Récoltes de surface, sondages négatifs, 2 outils, 10 éclats	Chevrier et Castonguay 1976 Somcynsky 1987 Somcynsky 1993
EbCx-15	12 L/5	À environ 150 m au nord de EbCx-14, à 550 m à l'ouest de la rivière Lechasseur et à 870 m de la rive du Saint-Laurent	22 m	Mingan-Romaine	2 km au sud	préhistorique indéterminé	Récolte de surface, sondages négatifs, 24 éclats	Chevrier et Castonguay 1976 Somcynsky 1987
EbCx-16	12 L/5	À environ 350 m au nord de EbCx-15, à 425 m à l'ouest de la rivière Lechasseur et à 1,15 km de la rive du Saint-Laurent	22 m	Mingan-Romaine	1,7 km au sud	préhistorique indéterminé	Récoltes de surface et sondages, 26 éclats	Chevrier et Castonguay 1976 Somcynsky 1987
EbCx-17	12 L/5	Rive gauche de la rivière Mingan, à 1 km de son embouchure dans le Saint-Laurent	12 m	Mingan-Romaine	2,6 km au sud	préhistorique indéterminé	Fouilles, fosse avec ocre, 10 outils et près de 1200 éclats	Archéotec 1978 Somcynsky 1987

Code Borden	Feuillet 1 : 50 000	Localisation	Altitude	Secteur de l'étude de potentiel	Distance du corridor à l'étude	Période	Commentaire	Sources
EbCx-63	12 L/5	À l'embouchure de la rive droite de la rivière Apokusis sipis (L'Échouerie)	7 m	Mingan-Romaine	1,8 km au sud	préhistorique indéterminé	Récoltes de surface et sondages, 6 outils, 379 éclats et des ossements	Chevrier et Castonguay 1976 Somcynsky 1987
EbCx-64	12 L/5	Presque sur le bout de la Pointe Matsiteuw de Mingan (pointe Matsitew)	6 m	Mingan-Romaine	3,6 km au sud	Sylvicole inférieur	Sépultures et offrandes. Sondages et fouilles, parures, ocre, 475 outils, céramique. Les collections sont dispersées à différents endroits.	Somcynsky 1990b Somcynsky 1991 Somcynsky 1992c Clermont 1984
EbCx-65	12 L/5	À 3,1 km de la rive du Saint-Laurent et à 3 km au sud-est de la rivière Mingan	40 m	Mingan-Romaine	À l'intérieur du corridor, au sein de la zone 1.12.064	préhistorique indéterminé	Immense site intact. 11 zones, dont 3 furent fouillées en aires ouverte (zone 2, 3 et 9) pour un total de 138,75 m <sup>2</sup> , 651 outils, près de 227 000 éclats, et plus de 36 000 os. Plusieurs aménagements dont des foyers. Collections malheureusement manquantes!!!	Somcynsky 1990a Somcynsky 1992a Somcynsky 1992b Somcynsky 1993 Somcynsky 1994
EbCx-66	12 L/5	À 2,9 km de la rive du Saint-Laurent, à 2,5 au sud-est de la rivière Mingan.	45 m	Mingan-Romaine	À l'intérieur du corridor, au sein de la zone 1.12.054	préhistorique indéterminé	Site en partie intact, 3 zones, une fouille. Total de 19,75 m <sup>2</sup> , 24 outils, + de 22 500 éclats, 1 os	Somcynsky 1990a Somcynsky 1994
EbCx-70	12 L/5	À 3 km de la rive du Saint-Laurent, à 3 km au sud-est de la rivière Mingan.	40 m	Mingan-Romaine	À l'intérieur du corridor, au sein de la zone 1.12.054	préhistorique indéterminé	Récolte de surface, sondages négatifs, 45 éclats, 5 os	Somcynsky 1992b
EbCx-71	12 L/5	À 330 m de la rive gauche de la rivière Mingan, à 2,8 km de la rive du Saint-Laurent.	33 m	Mingan-Romaine	À l'intérieur du corridor, au sein de la zone 1.12.049	préhistorique indéterminé	Récolte de surface, sondages négatifs, 9 éclats	Somcynsky 1993
EbCx-72	12 L/5	À 2,6 km de la rive du Saint-Laurent, à 1,75 km au sud-est de la rivière Mingan	50 m	Mingan-Romaine	À l'intérieur du corridor, au sein de la zone 1.12.054	préhistorique indéterminé	3 petites aires, récolte de surface, sondages négatifs, 10 éclats	Somcynsky 1993
EbCw-1	12 L/5	Au fond de la baie entre les embouchures des rivières Levasseur et Romaine	20 m	Mingan-Romaine	2,1 km au sud	préhistorique indéterminé	Récolte de surface, 8 éclats	Chevrier et Castonguay 1976
EbCw-2	12 L/5	À 400 m de la rive du Saint-Laurent, à l'ouest de l'embouchure de la rivière Romaine	20 m	Mingan-Romaine	1,8 km au sud	préhistorique indéterminé	Récoltes de surface et sondages, 21 outils, près de 2400 éclats, ossements	Chevrier et Castonguay 1976 Somcynsky 1987

Code Borden	Feuillet 1 : 50 000	Localisation	Altitude	Secteur de l'étude de potentiel	Distance du corridor à l'étude	Période	Commentaire	Sources
EbCw-3	12 L/5	Entre la rivière Aisley et le Saint-Laurent, à 350 m de la rive de ce dernier.	20 m	Mingan-Romaine	3,4 km au sud	préhistorique indéterminé	Récoltes de surface et sondages, 8 outils, 841 éclats, ossements	Chevrier et Castonguay 1976 Archéotec 1978 Somcynsky 1987 Somcynsky 1992b Somcynsky 1993 Laforde 1989
EbCw-54	12 L/5	Rive droite de l'embouchure de la rivière Romaine	15 m	Mingan-Romaine	2,3 km au sud	préhistorique indéterminé	Récoltes de surface, 5 éclats	Somcynsky 1993 Somcynsky 1994
EcCt-1	12 L/6	Rive droite d'un petit ruisseau se déversant dans la rivière du Nord-Ouest	75-76 m	Romaine	à 70 m à l'est, près de la zone 1.16.058	amérindien historique récent	Campement de 15 à 20 ans, 2 patshuianitshuap, poêles, objets	Archéotec 2002
EcCt-2	12 L/6	Rive droite de la rivière Romaine, kilomètre 52,5, face à la Grande Chute	58 m	Romaine	À l'intérieur du corridor, à l'emplacement de la centrale RO1	amérindien historique récent	Campement d'environ 10 ans 1 patshuianitshuap, poêle, objets	Archéotec 2002
EcCt-3	12 L/6	Rive sud d'une île sur la rivière Romaine, kilomètre 60,6	± 84 m	Romaine	À l'intérieur du corridor, sur le vecteur continu de la Romaine	préhistorique indéterminé	Concentration d'os blanchis dans un sondage.	Archéotec 2006a
EdCt-1	12 L/11	Rive gauche de la rivière Romaine, dans le bassin des Murailles, à l'embouchure de la rivière Romaine Sud-Est	± 90 m	Romaine	À 1 km au nord-est	préhistorique indéterminé	Quatre sondages positifs, 1 burin, 14 éclats	Archéotec 2002
EiCw-2	12 M/5	Rive droite de la rivière Romaine, confluence de la rivière Jérôme (rive gauche)	426 m	Petite Romaine	À 2,5 km au nord	Archaïque (3470 à 3700 av. auj.), amérindien historique	Campement de plusieurs patshuianitshuap, 4 sondages positifs, 1 outil, 1 éclat, os, foyer.	Archéotec 2000b Archéotec 2006b
EiCw-4	12 M/5	Rive droite de la rivière Petite Romaine juste avant son embouchure dans la Romaine	427 m	Petite Romaine	à 2,5 km au nord-est	amérindien historique	Structure de support et quelques objets en surface	Archéotec 2000c
EiCw-6	12 M/5	Rive gauche de la rivière Petite Romaine, à 1 km de son embouchure dans la Romaine	433 m	Petite Romaine	à 1,5 km au nord-est	amérindien historique	Campement en aval du dernier rapide de la Petite Romaine	Archéotec 2000c
EiCw-7	12 M/5	Rive droite de la rivière Romaine, à 350 m en amont de l'embouchure de la rivière Petite Romaine	433 m	Petite Romaine	à 2,2 km au nord-est	amérindien historique	Campement du XXe siècle.	Archéotec 2000c
EiCw-8	12 M/5	Rive sud d'un petit lac au sud de la rivière Romaine	433 m	Petite Romaine	à 1,7 km au nord-est	préhistorique indéterminé	1 sondage positif, 7 éclats	Archéotec 2006b
EiCw-9	12 M/5	Près de la rive sud d'un petit lac à l'ouest de la rivière Romaine	435 m	Petite Romaine	à 2,5 km à l'est	préhistorique indéterminé	2 sondages positifs, 1 outil, 3 éclats, 2 podzols superposés	Archéotec 2006b

secteurs de la baie de Sept-Îles, de la rivière Matamec, de la rivière au Bouleaux, entre les rivières au Tonnerre et Jupitagon et enfin à la rivière Magpie. Or la majorité des sites connus se situent justement à moins de 1 kilomètre de la côte. C'est d'ailleurs dans ces tronçons du corridor les plus proches du littoral que l'on retrouve presque tous les sites du tableau 2, des sites retrouvés lors d'interventions archéologiques qui ne pénétraient que peu souvent à l'intérieur.

On pourrait arguer que les nombreux inventaires archéologiques qui n'ont pas relevé l'existence de sites archéologiques appuient également un impact minime par le tracé du corridor sud. Certes, il y a eu sur la côte entre Sept-Îles et Havre Saint-Pierre un très grand nombre d'inventaires archéologiques (nous avons dénombré 27 mandats qui se répartissent sur des centaines de zones) dont la majorité n'a pas permis la découverte de nouveaux sites; cependant la très grande majorité de ces interventions se sont déroulées au sud du corridor, entre celui-ci et la rive. Signalons qu'une bonne proportion de ces inventaires ont été conduits pour le Ministère des Transport dans le cadre de travaux liés à la route 138, qui n'intercepte le corridor qu'en de rares occasions et sur de courtes distances. Les zones d'inventaire qui chevauchent le corridor sud sont au nombre de 43 et ont été effectuées lors de 7 mandats différents (elles ont été reportées sur les cartes de notre étude). Dans presque tous les cas il s'agit de zones fort petites (moins grandes que le laisse suggérer les tracés reportés sur les cartes à 1 : 50 000 de l'I.S.A.Q. que nous avons utilisé et reproduit sur nos cartes). Il faut également noter que, de toute évidence, les informations cartographiques de l'inventaire de Chevrier et Castonguay de 1976, qui comporte les zones recoupant le plus substantiellement le corridor sud à l'étude, ne sont pas fiables. Les zones de cet inventaire reportées sur les cartes de l'I.S.A.Q. couvrent des espaces tellement grands, qu'ils recouvrent parfois des pans de secteurs entiers où nous avons identifié plusieurs zones (voir par exemple celui de la rivière au Tonnerre qui englobe pas moins de 25 de nos zones!). De plus ces zones incluent régulièrement des espaces à peu près impossible à inventorier, comme des escarpements ou des tourbières. Il nous paraît impossible que de si grands espaces aient été systématiquement inventoriés, et malheureusement, les indications cartographiques de cet inventaire sont si vagues qu'elles ne sont d'aucune utilité.

À l'inverse, un des inventaires qui chevauche le corridor a conduit à l'évaluation de 12 espaces situés le long de la ligne de transport électrique #1619 à 161 kV au nord-est de Mingan, a permis d'évaluer des espaces de trouvailles fortuites et de découvrir de nouveaux sites (Somcynsky 1993). Un total de cinq sites ont été répertoriés le long de cette ligne, et fait intéressant, ils se situent à une moyenne de 3 kilomètres de la rive du golfe du Saint-Laurent. Cet exemple suggère de façon assez éloquente que le portrait actuel de la distribution spatiale des ressources archéologiques dans la région est vraisemblablement plus représentatif des contraintes spatiales que sont les limites d'emprise des mandats de recherches archéologiques que de la réalité des schèmes d'établissements humains du passé. Le tracé du corridor sud, bien que situé hors de la concentration de sites connus de la région côtière, ne peut pas être considéré *a priori* comme détenant peu de

potentiel archéologique amérindien, spécialement si l'on considère l'évolution diachronique du paysage. Un éventuel inventaire dans ce corridor permettra d'élargir l'échantillon des types d'environnement en explorant des endroits peu visités par les archéologues à ce jour.

On retiendra de la région côtière qu'elle a fait l'objet de beaucoup d'inventaires archéologiques ayant mené à la découverte de beaucoup de sites. La très grande majorité de ces inventaires se situent toutefois à proximité de la rive du Saint-Laurent et ne croisent qu'à quelques occasions seulement le corridor à l'étude qui passe un peu plus à l'intérieur. Or, à l'une de ces occasions, les résultats ont été très profitables et ont conduit à la découverte de cinq sites, malgré la distance au fleuve. En somme, on ne peut se fier à la distribution géographique actuelle des sites côtiers pour minimiser le potentiel archéologique du corridor sud.

En ce qui concerne le corridor nord, il est également vrai que le peu de recherches archéologiques qui ont été conduites dans la région intérieure ne permet pas de statuer sur sa richesse archéologique. Si la région côtière souffre d'un biais lié aux contraintes spatiales imposées aux interventions archéologiques, la région intérieure souffre tout simplement de la quasi-absence de recherches. Contrairement au corridor sud qui longe la côte et qui traverse les rivières juste en amont de leurs embouchures, le tracé du corridor nord ne fait, le plus souvent, que traverser perpendiculairement des axes de cours d'eau à des endroits qui ne sont pas nécessairement des lieux de convergence de vecteurs comme ils le sont sur la côte. Il est donc évident que ce corridor offre moins d'espaces intéressants pour y reconnaître des zones à potentiel. Cela dit, même s'il y en a moins, ils sont loin d'être absents. Ce corridor est disposé dans un axe qui permettra d'échantillonner de façon sporadique de nombreux abords de cours d'eau et de lacs. Nous savons que les territoires d'exploitation des populations amérindiennes de cette partie de la péninsule du Québec-Labrador s'orientent, de façon générale, dans un axe nord-sud durant un cycle de mobilité annuelle. Le corridor nord pourrait ainsi traverser le territoire de plus d'un groupe. Par conséquent, il s'agit là d'une occasion d'obtenir un portrait archéologique représentatif de moments précis d'un cycle annuel, peut-être de groupes différents, à l'opposé de l'inventaire d'un territoire orienté dans l'axe général des rivières sur lequel le même groupe sera représenté à différents moments du cycle de mobilité.

Nous avons également examiné les feuillets topographiques qui couvrent la grande aire géographique entre les corridors sud et nord afin d'obtenir une image plus complète de la situation archéologique de l'intérieur. On peut ainsi constater que tout ce vaste territoire est dénué de sites connus. Une seule exception existe à la décharge du lac Magpie, sur le feuillet 22 1/10, où une pointe foliacée fut retrouvée sur le roc vers 1929. Cette trouvaille porte le code Borden temporaire de EeDb-a (Wintemberg s.d.), et l'objet est resté en possession du découvreur, un Américain du Connecticut.

En somme, l'arrière pays de la Moyenne Côte-Nord est fort peu connu au point de vue archéologique. Toutefois, les travaux archéologiques effectués dans le cadre des projet d'aménagement des rivières Sainte-Marguerite et Romaine, de part et d'autre du territoire à l'étude, nous offrent un échantillon non négligeable de l'occupation amérindienne passée de l'intérieur des terres. La rivière Romaine et ses environs immédiats ont été inventoriés à quelques reprises, d'abord très brièvement en 1979 (Samson 1979), puis plus intensément à partir de 1999 (Archéotec 2000b, 2000c, 2003, 2006a, 2006b), menant à la découverte de nombreux sites amérindiens historiques et préhistoriques. Seuls quelques-uns de ces sites, à savoir ceux qui sont localisés à moins de 5 km du territoire de la présente étude ont été mentionnés dans le tableau 2. Puis, du côté ouest, la rivière Sainte-Marguerite a fait l'objet d'un programme de recherche archéologique qui a permis de mettre au jour 93 sites archéologiques amérindiens, dont 23 préhistoriques (Cérane 2000). Ces sites étant tous localisés à l'extérieur du territoire de la présente étude, ils n'apparaissent pas dans le tableau 2.

## **2.2.2 Histoire de l'occupation amérindienne**

### **Le peuplement initial**

La Côte-Nord a été initialement peuplée par des groupes humains depuis un peu plus de 8000 ans avant aujourd'hui (Pintal 1998: 35-41). Cette grande ancienneté est attestée dans la région du détroit de Belle-Isle, en Basse Côte-Nord, à près de 500 km à l'est de notre territoire à l'étude. Ce sont ces occupations qui forment l'amorce de la séquence chronologique de l'Archaïque Maritime, un ensemble culturel caractéristique de la région de Terre-Neuve, des Maritimes et du Labrador, qui évoluera sur plusieurs millénaires dans la région (McGhee et Tuck 1975; Tuck 1975). Il est possible, bien que non prouvé, que ce peuplement ait pour origine les populations paléoindiennes présentes depuis environ 10 500 ans en Nouvelle-Écosse et que celles-ci se seraient adaptées très tôt à l'environnement du golfe du Saint-Laurent (Keenlyside 1985, 1991). Ces premiers habitants de la Basse Côte-Nord semblent pratiquer un mode de subsistance généraliste mais ils intégreront assez tôt des habitudes spécialisées. Ils étaient également fort mobiles, vraisemblablement en raison de la répartition géographique encore changeante des ressources dans un paysage qui évoluait rapidement après la déglaciation.

À l'autre extrémité de la Côte-Nord, à l'embouchure du Saguenay, on a retrouvé d'autres indices d'occupations humaines anciennes, possiblement associées à la période paléoindienne récente. Cependant, contrairement à la situation dans le détroit de Belle-Isle, l'occupation initiale de la région de l'embouchure du Saguenay n'est pas appuyée par des datations et l'âge présumé de ces anciens sites repose essentiellement sur leur altitude élevée dans le paysage et la typologie de l'outillage (Archambault 1998).

Il y a quelques années toutefois, de nouvelles données sont venues alimenter le corpus d'indices anciens du côté de la Haute Côte-Nord, liant même ceux-ci avec

une tradition de l'Archaïque ancien présente dans le golfe du Maine. À Cap-de-Bon-Désir, à l'est des Grandes-Bergeronnes (Plourde 2000) et à Baie-Comeau (Pintal 2001), on a retrouvé des sites sur des terrasses élevées où l'industrie lithique est fortement orientée sur la fabrication d'outils en quartz. Dans ces deux cas, des datations radiométriques placent les occupations dans une fourchette de temps entre 7200 et 7500 ans avant aujourd'hui et la faune associée suggère une exploitation des ressources marines.

### **L'occupation complète du territoire**

Les plus anciennes occupations humaines en Moyenne Côte-Nord sont plus récentes que celles de la Basse ou de la Haute Côte-Nord, ce qui peut laisser croire que cette portion de la côte a été peuplée plus tardivement (Chevrier 1996: 94). Bien qu'elles ne soient pas appuyées de datations radiométriques, les sites EbDj-4 et EbDj-3 ont été attribués de façon arbitraire à des périodes respectives de 6000 à 5000 ans avant aujourd'hui et 5500 à 4500 ans avant aujourd'hui, essentiellement sur la base de l'altitude, la distance actuelle aux cours d'eau, le profil pédologique et l'intensité des processus taphonomiques rencontrés (Chevrier 1977: 88 et 96). Ces sites ont malheureusement été détruits et il est donc aujourd'hui difficile d'améliorer l'évaluation de leur âge. La prédominance des pointes et bifaces de formes foliacées dans la collection EbDj-4 pourrait appuyer une date ancienne pour ce site, notamment en raison des similitudes typologiques avec le complexe Sandy Cove du Labrador, daté de 5200 à 4500 avant aujourd'hui (Chevrier 1977: 115). La proximité et la similarité de contexte environnemental pour EbDj-3, le rapproche vraisemblablement, sur le plan chronologique, du site précédent : ce que confirment les ressemblances avec le complexe Rattlers Bight, également du Labrador, daté de 4100 à 3800 avant aujourd'hui (Chevrier 1997: 115). Ces deux sites concernent directement cette étude puisqu'ils sont situés à l'intérieur des limites du corridor sud, sur de hautes terrasses (de 90 à 98 m) de la rive droite de l'embouchure de la rivière au Bouleau. Ils deviendront sans aucun doute des sites de référence pour d'éventuelles trouvailles sur de hautes altitudes dans le corridor sud.

Plus à l'ouest, entre 5000 et 5500 ans avant aujourd'hui, des groupes occupent la région de l'embouchure des rivières Manicouagan et aux Outardes. On a proposé que ces sites ont été produit par de populations locales dont le territoire d'exploitation incluait également l'intérieur des terres où d'autres sites non datés ont été repérés (Chevrier 1996a:92-93). Parallèlement, il semble que ce soit des groupes de la phase Vergennes de la tradition de l'Archaïque Laurentien qui se soient aventurés jusqu'aux Grandes-Bergeronnes vers 5500 ans avant aujourd'hui pour, entre autres, y exploiter le phoque (Plumet *et al.* 1993). Bien qu'il soit clair que des populations occupent à ce moment de façon définitive l'ensemble de la Haute-Côte-Nord, ils continueront néanmoins d'entretenir des liens avec les traditions archaïques Laurentiennes et Post-laurentiennes de plus haut sur le Saint-Laurent jusqu'à environ 3000 ans avant aujourd'hui, après quoi ils orienteront leurs relations plus souvent vers le nord-est (Plourde 1993: 45-46).

Du côté de la Basse-Côte-Nord, entre 6500 et 5000 ans avant aujourd'hui, on assiste à une augmentation du nombre de sites et le matériel archéologique s'homogénéise sur l'ensemble du territoire. Des changements s'effectuent au chapitre de la typologie de l'outillage lithique taillé alors que l'industrie lithique polie devient commune. Des matériaux lithiques exotiques font également leur apparition dans les collections (Pintal 1998: 77-79). Toutefois, les liens entre la Basse-Côte-Nord et le reste de la Côte-Nord sont difficiles à établir, et il semble que la région du détroit de Belle-Isle procède à une évolution culturelle plus en relation avec Terre-Neuve et le Labrador qu'avec le Saint-Laurent. Entre 5000 et 3500 ans avant aujourd'hui, les sites deviennent moins nombreux en même temps que d'importantes variations régionales se perçoivent dans le matériel archéologique. Dans certains cas, on sent l'émergence de régionalismes, dans d'autres, on voit plutôt l'introduction de technologies nouvelles par contacts avec d'autres groupes ou carrément par immigration d'une nouvelle population (Pintal 1998: 105-109). Des liens sont encore existants avec Terre-Neuve où, à ce moment, les populations archaïques installent le cimetière de Port au Choix (Tuck 1976). L'intérieur des terres est maintenant occupé comme le confirme les recherches effectuées au Labrador et au Mushuau Nipi (Fitzhugh 1972; Samson 1978).

En Moyenne-Côte-Nord, comme on l'a vu, peu de sites de l'intérieur des terres ont été retrouvés à ce jour. Or il s'avère que parmi les quelques sites préhistoriques retrouvés le long de la rivière Romaine, deux ont pu être datés à la période Archaïque. D'abord, il y a le site EkCw-4, situé à environ 30 kilomètres au nord du corridor nord (feuille 12 M/13), à l'endroit d'un portage de 300 m qui franchit un petit rapide sur la rive droite de la Romaine. On y a découvert quatre composantes amérindiennes, deux historiques et deux préhistoriques. Un échantillon de charbon de bois prélevé dans un foyer à 35 cm de profondeur a été daté entre 3700 et 4000 ans avant aujourd'hui (Archéotec 2000b: 21-29). Ensuite, il y a le site EiCw-2, situé à seulement 2,5 km au nord du corridor nord (feuille 12 M/5) à la confluence de la rivière Jérôme et de la Romaine. Ce site comporte une composante historique ainsi qu'une composante préhistorique. Une datation provenant d'un sondage présentant une fosse charbonneuse situe une occupation du site entre 3700 et 3500 ans avant aujourd'hui (Archéotec 2006b: 53-54). Malheureusement, ces deux sites n'ont fait l'objet que de sondages et les datations ne sont pas directement associées à des artefacts. Néanmoins, ils témoignent de façon fort éloquente d'une ancienneté d'occupation de près de 4 millénaires à l'intérieur des terres dans la partie est du territoire à l'étude. Dans le bassin de la rivière Sainte-Marguerite, on fait reculer la plus ancienne occupation du site EeDq-1 à environ 4000 ans, un âge déterminé à partir de la typologie de trois pointes de projectile à pédoncule divergent (Cérane 2000: 21-25). Ce site se trouve à environ 75 kilomètres au nord de l'embouchure de la rivière Sainte-Marguerite dans le Saint-Laurent. Sur la côte, au moins trois autres composantes de la période Archaïque ont été retrouvées entre Sept-Îles et Mingan, contribuant au témoignage de l'occupation humaine dans la région immédiate du projet durant la période Archaïque (EbDa-4, EbDI-1 et EbCv-25).

## La préhistoire récente

À partir de 3000 ans avant aujourd'hui, la Côte-Nord subit un refroidissement général du climat et les conditions de vie s'en trouvent modifiées. Une régionalisation plus marquée affecte les groupes et on assiste à de nouveaux mouvements de populations. Tout l'intérieur du territoire québécois est maintenant occupé. Les groupes Paléoesquimaux, en provenance de l'Arctique occidental, atteignent les littoraux de l'Atlantique et descendent le long de la côte du Labrador. Plus au sud, la technologie céramique fait son apparition dans le Nord-Est au même moment qu'un réseau d'interactions fortement influent, l'épisode Meadowood, couvrira la région de l'est des Grands Lacs et du Saint-Laurent durant quelques siècles. Cette influence se fera même sentir à quelques occasions jusqu'à la Côte-Nord. Par exemple, à la première chute sur la rivière aux Outardes, à près de 200 km à l'ouest de Sept-Îles, on a trouvé des vestiges lithiques diagnostiques (pointes et grattoirs) de la tradition Meadowood (Chevrier 1996a: 98-99; Clermont 1990:8). Plus à l'est, à seulement 3,6 km au sud du corridor sud de la présente étude, le site EbCx-64, sur le bout de la pointe Matsiteuw de Mingan à l'embouchure de la rivière, a livré des sépultures humaines avec des offrandes de l'épisode Middlesex, un phénomène culturel de courte durée qui suit de près l'influence Meadowood et qui met un terme au Sylvicole inférieur, vers 2400 ans avant aujourd'hui (Clermont 1990: 12-15; Somcynsky 1990b, 1991 et 1992c).

Cette présence étrangère très diagnostique du début du Sylvicole en Haute et Moyenne-Côte-Nord n'est toutefois que très ponctuelle, et cache une réalité locale certainement plus abondante mais également plus difficile à repérer et qui reste à ce jour encore mal comprise (Chevrier 1996a:98-101; Plourde 1993). Au même moment vers la Basse-Côte-Nord, les liens avec Terre-Neuve et le Labrador restent dominants, mais il y a des différences technologiques avec ce qui prévalait auparavant. Les grands réseaux d'échange de l'Archaïque disparaissent durant cette époque, les sites sont plus petits et l'exploitation devient de plus en plus spécialisée et orientée vers le littoral. C'est le complexe Ruisseau Manius, qui dure de 3500 à 2500 ans avant aujourd'hui dans la région de Blanc-Sablon (Pintal 1998: 122-125). Dans ce même secteur, entre 2800 et 1500 ans avant aujourd'hui, se succéderont sur la côte deux vagues d'occupation de populations arctiques: les Paléoesquimaux de tradition Groswater puis, dans une moindre mesure, les Dorsétiens. Il est vraisemblable que les relations entre ces groupes et les Amérindiens préhistoriques du complexe Ruisseau Manius aient été de nature compétitive, surtout sur la frange littorale, et il n'existe pas d'indice que des échanges ont eu lieu.

Entre 2500 et 1000 ans avant aujourd'hui, les archéologues commencent à reconnaître graduellement des antécédents avec les populations amérindiennes vivant actuellement dans la région. À l'est, plusieurs phases successives mènent à la dernière en liste, la série des complexes Little-Passage (au Labrador) / Anse Morel (au détroit de Belle-Isle) / Point Revenge (à Terre-Neuve), identifiée aux ancêtres directs des Montagnais/Béothuks. À ce moment, des liens semblent

maintenant s'effectuer entre cette région orientale et la Moyenne-Côte-Nord, bien que les données ne soient pas très abondantes. Les groupes de la Moyenne-Côte-Nord exploitent à cette époque de vastes territoires qui vont de la côte jusqu'aux grands lacs loin à l'intérieur, dans la région centrale et orientale de la péninsule du Québec-Labrador, où les troupeaux de caribou règnent en abondance. Ceux de la Haute-Côte-Nord circulent dans des territoires plus restreints et orientent vraisemblablement leur subsistance sur des ressources plus variées (Chevrier 1996b: 114-115).

### **La présence de céramique**

Les données archéologiques de la même époque nous montrent aussi des pénétrations occasionnelles de personnes ou d'influences étrangères dans la région (Chevrier 1996b: 107). L'une des manifestations les plus éloquentes de ces importations est la présence de céramique dans certains sites de cette période. Elle est relativement abondante en Haute-Côte-Nord et diminue en densité vers l'est jusqu'à être quasiment absente dans le détroit de Belle-Isle. Des vases typiques du Sylvicole moyen ancien sont les plus fréquents mais cette présence se poursuit au cours du Sylvicole moyen tardif et du début du Sylvicole supérieur. À partir du mitan du Sylvicole supérieur, on retrouve de la céramique plus facilement identifiable à une culture, et ce jusqu'à la fin de la préhistoire. Sur la Côte-Nord, la presque totalité des trouvailles de céramique provient de sites littoraux. Les seuls exemples provenant de l'intérieur des terres dont nous ayons pris connaissance sont les quelques tessons du Sylvicole moyen ancien découverts au site DdEh-7, à moins de 10 km de la côte, sur la rivière Portneuf en Haute-Côte-Nord (Plourde 1993 : 47-49). Cette répartition géographique presque uniquement côtière de la céramique dans la région de la Côte-Nord semble indiquer que cette technologie est étrangère à la région. La présence de vases en céramique serait alors due à des introductions par des groupes étrangers qui longent l'axe laurentien et qui ne pénètrent pas, ou sinon très peu, à l'intérieur des terres. L'association culturelle logique de cette production se fait avec les groupes de la vallée du Saint-Laurent, c'est-à-dire les Iroquoiens du Saint-Laurent et leurs populations ancestrales du Sylvicole moyen, et c'est celle qui est la plus souvent évoquée (Plourde 1993: 48-49; Chevrier 1996b: 107-111). On a parfois émis l'hypothèse qu'une production locale ait pu être en vigueur au cours du Sylvicole supérieur (Plourde 1993:49; Chapdelaine 1984), mais pour l'instant, les preuves d'une tradition céramique propre à la région sont absentes bien qu'il semble qu'on ait produit des vases de façon occasionnelle (Tremblay 1998: 92-93 et 116). Une autre source qui aurait pu contribuer à la présence de matériel céramique sur la Côte-Nord est celle des groupes de langues algonquiennes de la Péninsule maritime, dont on a des indices de fréquentation de la rive nord du Saint-Laurent au début de la période historique.

Dans le territoire à l'étude, seuls quelques sites contiennent des vestiges céramiques et la plupart sont concentrés dans le secteur de Mingan. L'un de ces sites, situé sur l'île du Havre (EbCx-1) a même produit une collection de vases iroquoiens datant de la phase Saguenay (850 à 650 avant aujourd'hui) de la tradition

des Iroquoiens du Saint-Laurent (Chapdelaine 1984; Tremblay 1998: 119). La plupart des autres contiennent plutôt des spécimens typiques du Sylvicole moyen.

### **L'arrivée des Européens et la traite des fourrures**

C'est dès le début des années 1500 que le littoral de la Côte-Nord sera visité par les explorateurs puis les pêcheurs et baleiniers européens. Ces derniers concentrent d'abord leurs opérations dans le secteur du détroit de Belle-Isle, mais ils fréquentent néanmoins les côtes plus à l'ouest. C'est dans ce contexte que la traite des fourrures prendra naissance au début du XVI<sup>e</sup> siècle. Les habitants de la Côte-Nord, ceux que les Français regrouperont sous le vocable de « Montagnais » mais qui se nomment eux-mêmes Innus, participeront dès lors activement à cette activité commerciale. Subtilement, un processus de changement de mode de vie s'amorce au contact avec les produits européens, et il prendra de l'ampleur, éventuellement, en fonction du lieu d'établissement des postes de traite. Parmi les nombreux groupes qui composent l'ethnonyme Montagnais, ceux qui habitent dans la région à l'étude sont les Oumamiois. Ils occupent les bassins hydrographiques de la Moisie, de la Romaine, de la Natasquan, de l'Olomane et de la Petit-Mécatina. Ils privilégient la chasse au caribou et la pêche et leur présence sur la côte semble sporadique (Chevrier 1996b: 124; Niellon 1996: 144).

Lorsqu'ils le font, c'est souvent en empruntant la voie de circulation qu'est la rivière Saint-Jean, nommée Opimishai Shibu (Niellon 1996:142-143). Cette observation sera corroborée plus tard en juillet 1866 quand le père Oblat Louis Babel accompagnera une équipée montagnaise vers l'intérieur en empruntant ce chemin (Tremblay 1977), et encore au début du XX<sup>e</sup> siècle par les chasseurs de Mingan tel que relaté par Mathieu Mestokosho (Bouchard 2004). Dans ces deux derniers cas toutefois, on se rend compte que, si l'itinéraire suit effectivement la rivière Saint-Jean pour le tronçon côtier, il bifurque un peu plus haut pour emprunter une série de portages qui l'amène sur le cours moyen de la rivière Romaine (Olumen Shibu), par la voie de la Petite Romaine (Naskauekan Shibu). Trois sites amérindiens historiques ont d'ailleurs été trouvés à la confluence de la Petite Romaine et de la Romaine à environ 2 km du corridor nord de la présente étude (EiCw-4, 6 et 7, voir tableau 2). Les chroniqueurs du XIX<sup>e</sup> siècle observent que tout le bassin des rivières Saint-Jean et la Romaine est exploité par différentes familles, et si le cours de la Romaine ne permet pas de déplacements sur toute sa longueur, ses abords sont néanmoins fréquentés. De plus, la région des lacs Brûlé et Atikonak apparaît comme particulièrement importante pour la chasse au caribou et permet de joindre d'autres bassins hydrographiques (Archéotec 1979: 26-27).

Les Oumamiois de la région intérieure se rassembleront de plus en plus l'été à Mingan après l'installation d'un poste à cet endroit. Les quartiers généraux de la seigneurie de l'Isle-aux-Œufs, concédée à François Bissot de la Rivière en 1661, se trouvent à Mingan (Frenette 1986: 20). Ce poste sera continuellement en opération, passant de mains en mains pour enfin aboutir dans celles de la Baie d'Hudson en 1822. À partir du milieu du XIX<sup>e</sup> siècle, des petits villages de pêcheurs s'installent

sur la côte. Dorénavant, les Innus auront des contacts plus fréquents avec la population blanche, mais leur mode de vie reste traditionnel et leurs schèmes d'établissement impliquent toujours une très grande mobilité annuelle. Ils exploitent entre autre le territoire qu'ils nomment Chisedec, situé à l'ouest jusqu'à la rivière Moisie et les mariages entre les gens fréquentant Mingan et ceux fréquentant Moisie sont choses communes vers l'an 1800 (Niellon 1996: 143). Or, il semble que moins d'un siècle plus tard, les familles de Mingan n'entretiennent plus de communication avec celles de Sept-Îles. On notera qu'au point de vue linguistique, c'est justement entre ces deux régions que passe la ligne de démarcation entre les deux grandes aires dialectales existant dans le territoire innu (Mailhot 1993: 40).

Le cycle annuel des Innus au XIX<sup>e</sup> siècle mettait en scène un itinéraire entre la côte et l'intérieur, comme nous le démontre l'exemple des gens de Mingan. Au printemps, les groupes de chasse, composés d'une ou deux familles, reviennent au poste entre la fin-mars et la mi-mai pour y échanger leurs fourrures contre des denrées et du matériel. En attendant le retour de toutes les autres familles, on pratique alors la chasse aux petits mammifères et au gibier à plumes dans les régions proches ou encore la chasse au phoque sur le littoral, spécialement dans les îles de Mingan (Frenette 1986: 31-32). Au mois de juin, quand toutes les familles sont enfin réunies, on organise de grandes expéditions de chasse au phoque, et on va souvent la faire à l'île d'Anticosti. À la mi-juillet, on revenait à Mingan pour y transformer la graisse de phoque en huile et ainsi traiter à nouveau pour d'autres biens. Cette chasse spécialisée au phoque a d'ailleurs augmenté en importance au cours du XIX<sup>e</sup> siècle, au détriment de petites chasses estivales plus diverses. À partir de la mi-juillet, les familles recommençaient à se diriger vers l'intérieur des terres, et ces départs pouvaient s'échelonner jusqu'en décembre. Les familles qui exploitaient les territoires les plus éloignés avaient intérêt à partir tôt afin de profiter de la plus grande période d'utilisation du canot. Lorsque les neiges arrivaient, il fallait remiser les canots et continuer en raquettes. Au cours de la période entre la fin août et la mi-novembre, on s'adonnait à la chasse d'automne. Les familles au territoire peu éloigné pouvaient revenir vendre leurs produits avant l'hiver, mais celles qui montaient loin à l'intérieur devaient les transporter ou encore les entreposer avant de poursuivre. L'hiver venu, on se concentrait sur la chasse au caribou et sur le piégeage d'animaux à fourrure. On amorçait le retour au printemps, de façon à récupérer les canots au moment opportun. (Frenette 1986: 28-45).

Au début du XX<sup>e</sup> siècle, les Innus utilisent de façon quotidienne des denrées et des biens manufacturés européens. Ils chassent au fusil, et utilisent des pièges en métal. Les tentes de prospecteur (*patshuianitshuap*) remplacent de plus en plus les habitations traditionnelles (*kanitshuap* et *shaputuan*). La toile remplace l'écorce sur les canots. Ils s'habillent à l'européenne, boivent du thé et mangent de la farine et du lard en plus des produits de leurs chasses et pêches. Parallèlement, les ressources fauniques montrent des signes d'épuisement. Les populations blanches, maintenant plus nombreuses, exercent aussi une pression sur les animaux à fourrure. Au cours de la Seconde Guerre Mondiale, le prix des fourrures diminua tellement que les Amérindiens ont dû avoir recours à l'aide directe du gouvernement fédéral afin

d'assurer leur survie. À partir des années 1950, le gouvernement fédéral a conduit une politique de sédentarisation des groupes au mode de vie jusque-là encore nomade, tout en encourageant la dépossession de leurs territoires traditionnels en favorisant les grandes entreprises d'exploitation minières et forestières (Archéotec 2000a: 2-3). Malgré ces changements et ces pressions, l'exploitation des territoires intérieurs par les Innus n'a pas cessé et continue encore aujourd'hui.

## 2.3 DÉRIVATION ARCHÉOLOGIQUE

### Les régions et les secteurs

L'aire d'étude a été séparée en deux corridors, le corridor sud (1) et le corridor nord (2). Suite à la dérivation archéologique, ces régions ont été subdivisées en secteurs. Encore une fois, les appellations ont été inspirées de l'hydronymie, même si les limites entre secteurs ont été inspirées par le graphe topologique et les amalgames de zones à potentiel archéologique déjà trouvées. Le tableau 3 nous en donne la liste.

**Tableau 3 : Liste des secteurs**

#### CORRIDOR SUD (1)

Secteur	Nom	Nombre de zones	Zones en continu (numérotation provisoire)	Numérotation finale des zones
01	HALL	10	1 à 10	1.01.001 à 1.01.010
02	RAPIDES	5	11 à 15	1.02.001 à 1.02.005
03	MOISIE	58	16 à 73 + H2	1.03.001 à 1.03.058
04	BOULEAUX	24	74 à 96	1.04.001 à 1.04.024
05	TORTUE	17	97 à 113	1.05.001 à 1.05.017
06	MANITOU	15	114 à 128	1.06.001 à 1.06.015
07	CHALOUPE	42	129 à 170	1.07.001 à 1.07.042
08	SHELDRAKE	33	171 à 203	1.08.001 à 1.08.033
09	TONNERRE	76	204 à 279	1.09.001 à 1.09.076
10	MAGPIE	10	280 à 289	1.10.001 à 1.10.010
11	SAINT-JEAN	12	290 à 301	1.11.001 à 1.11.012
12	MINGAN-ROMAINE	106	302 à 407	1.12.001 à 1.12.106
13	ALLARD	49	408 à 456	1.13.001 à 1.13.049
14	PUYJALON	41	457 à 497	1.14.001 à 1.14.041
15	PERUGIA-RO2	75	498 à 572.	1.15.001 à 1.15.075
16	ROMAINE	131	573 à 703	1.16.001 à 1.16.131

#### CORRIDOR NORD (2)

Secteur	Nom	Nombre de zones	Zones en continu (numérotation provisoire)	Numérotation finale des zones
01	WACOUNO	26	1 à 26	2.01.001 à 2.01.026
02	ÉRIC	18	27 à 44	2.02.001 à 2.02.018
03	ASSIGNY	33	45 à 77	2.03.001 à 2.03.033
04	FLEUR-DE-MAY	36	78 à 113	2.04.001 à 2.04.036
05	BASTARD	9	113a à 120	2.05.001 à 2.05.009
06	VIEUX-PONT	53	121 à 171b	2.06.001 à 2.06.053
07	BELLANCA	7	171c à 177	2.07.001 à 2.07.007
08	KUEKUAN	19	178 à 196	2.08.001 à 2.08.019
09	MISTA UUAHK	42	197 à 237a	2.09.001 à 2.09.042
10	KANEHKUEMISKAU	19	238 à 255a	2.10.001 à 2.10.019

Secteur	Nom	Nombre de zones	Zones en continu (numérotation provisoire)	Numérotation finale des zones
11	PETITE ROMAINE	10	256 à 265	2.11.001 à 2.11.010
12	BAUBERT	6	266 à 271	2.12.001 à 2.12.006
13	GLAPION	12	272 à 283	2.13.001 à 2.13.012
14	MISTA	33	284 à 316	2.14.001 à 2.14.033

## Le pré-inventaire

Le pré-inventaire a guidé la perception du paysage de ce vaste territoire, mais il a également permis d'ajouter quelques zones à potentiel archéologique amérindien dans le corridor nord et permis de statuer sur les zones à potentiel archéologique euro-québécois dans le corridor sud.

Ainsi, la superficie de la zone 2.04.004, qui existait déjà, a été agrandie. La capacité horizontale d'accueil de cet esker a été jugée acceptable sur toute sa longueur (Photo 15). Les zones 2.05.001 et 2.05.002 ont été ajoutées à cause du fait que la couverture de photographies aériennes ne couvrait pas cet espace (photo 16). Les zones 2.06.52 et 2.06.53 ont été considérées comme des rivages de lac intéressants, revus au retour sur photographies aériennes. La zone 2.07.001 a été choisie globalement au pré-inventaire, en précisant un élagage à l'inventaire à cause de nombreux paléo-chenaux (photo 3). La zone 2.09.42 a également été choisie dans le même contexte que la 2.07.001, mais cette fois, à cause d'un environnement fini-glaciaire relativement complexe qui obligera une discrimination à l'inventaire (Photo 17). Et finalement, la zone 2.10.019 s'est ajoutée à la banque (Photo 18).

Pour l'archéologie historique il s'agissait de voir si, à l'endroit de la zone amérindienne 1.03.021 et sur la zone 1.03.5, existait la possibilité de retrouver des vestiges d'un ancien camp de pêche également sur la rive opposée. Le talus sur la rive droite de la Moisie est tellement abrupt à cet endroit que la seule zone possible demeure la rive gauche (Photo 19).



**Photo 15**  
**Zone 2.04.004. Partie d'un esker de 2 kilomètres de long, dont la ligne d'interfluve n'est pas trop marquée. Vers l'ouest-nord-ouest.**



**Photo 16 :** Zones 2.05.001 et 2.05.002 au centre des lacs Belmont. Belle capacité horizontale d'accueil. Vers le nord-nord-ouest.



**Photo 17 :** Zone 2.09.042 qui présente un environnement de formes de décrépitude. Au premier plan, la pointe qui s'avance dans le lac s'associe à un esker. Vers le sud-est.



**Photo 18 :** Zone 2.10.019. Terrasse fluviale dont la pointe donne sur un lac sans nom. Vers le nord.



**Photo 19 :** Zone 1.03.021. Sur la rive gauche de la rivière Moisie, à potentiel préhistorique et historique. Vers le sud-sud-est.

## Les tableaux 4A et 4B et la cartographie

La numérotation des zones se fait de gauche à droite, donc du feuillet 9 au feuillet 1 et finalement au feuillet Romaine 1 – ligne à 161 kV (feuillet 1A) pour le corridor sud (carte 1) et du feuillet 6 au feuillet 1 pour le corridor nord (carte 2). L'étude de potentiel totalise 704 zones pour la région 1 et 323 zones pour la région 2 (316 en numérotation continue + 7 nouvelles zones découvertes au pré-inventaire). Sur les feuillets 2 et 1 de la carte 1, la rive gauche de la rivière Romaine est exclue de l'analyse dans la mesure où cette petite bande de territoire ne subira aucune modification eu égard aux travaux d'Hydro-Québec. De même est exclu tout l'espace couvert par les futurs réservoirs de la Romaine.

En ce qui concerne les repères hydrographiques, il a été impossible de trouver l'hydronymie de nombreux lacs et de nombreuses rivières pour la région nord. L'altitude des zones a été calculée à partir des données fournies sur les cartes à 1 : 20 000; elle n'est qu'approximative. La colonne *graphe topologique* nous indique la place de la zone par rapport au graphe. L'intégrité de la zone a été jugée par l'observation des photographies aériennes. Elle est donc tributaire de l'année de ces photos et n'a pas été corrigée sur le terrain.

La cartographie des sites connus a été colligée d'abord à partir des informations visuelles contenues sur les **cartes topographiques à 1 : 50 000 de l'I.S.A.Q.**, auxquelles nous avons confronté, à certaines occasions, des informations supplémentaires incluses dans les rapports déposés au Ministère de la Culture et des Communications du Québec. Nous n'avons pas cherché à valider la correspondance entre les positions obtenues visuellement sur les cartes et les positions qui découlent des données informatisées et colligées dans les **fiches de sites de l'I.S.A.Q.** qui sont déterminées par les systèmes de coordonnées de latitude/longitude ou encore UTM. Or, nous nous sommes rendu compte que la cartographie des sites connus utilisée par Hydro-Québec se base sur les coordonnées des fiches de sites. Ces deux sources d'information provenant de l'I.S.A.Q. au M.C.C.Q. offrent des différences de positionnement des sites. En effet, la banque de données de l'I.S.A.Q. contient régulièrement des erreurs de coordonnées aux origines diverses (erreurs ou approximations contenues dans les anciens rapports, erreurs ou approximations de la transcription, erreurs sur la version du système de référence géodésique [NAD27 ou NAD83], etc.), et il arrive que les données indiquées sur les cartes de l'I.S.A.Q. soient également erronées. Suite à ce constat de différence, nous avons passé en revue la position de chacun des sites cartographiés et nous leur avons attribué la position qui nous semblait la plus exacte selon les informations que nous avons en main au moment de faire cette étude. En raison de la dimension des sites, de la résolution cartographique et de la qualité des informations que nous avons consultées, il est possible que certaines positions ne soient pas exactes, mais la marge d'erreur ne nous semble pas significative.



**Tableau 4A : Zones à potentiel archéologique préhistorique et historique, corridor sud**

N° de ZONE	EN CONTINU	FEUILLET 1/20 000	COUPLE STÉRÉOSCOPIQUE	REPÈRE HYDROGRAPHIQUE	BASSIN HYDROGRAPHIQUE	ALTITUDE (m)	GÉOMORPHOLOGIE	GRAPHE TOPOLOGIQUE	INTÉGRITÉ EN 2004
1.01.001	P1	9 Sud	HQ42000/17-18	Rivière Hall	Secondaire 1	40	Terrasse fluviale	Vecteur moyennement continu	En partie boisée, traversée par ligne existante et voie ferrée
1.01.002	P2	9 Sud	HQ42000/18-19	Rivière Hall	Secondaire 1	40	Terrasse fluviale	Vecteur Moyennement continu	Boisée
1.01.003	P3	9 Sud	HQ42000/18-19	Rivière Hall	Secondaire 1	35	Terrasse fluviale	Vecteur moyennement continu	Boisée
1.01.004	P4	9 Sud	HQ42000/10-11	Rivière Hall	Secondaire 1	30	Terrasse fluviale	Espace périphérique	Boisée, traversée par ligne existante
1.01.005	P5	9 Sud	HQ42000/10-11	Rivière Hall	Secondaire 1	30	Terrasse fluviale	Espace périphérique	Boisée
1.01.006	P6	9 Sud	HQ42000/9-10	Rivière Hall	Secondaire 1	40	Terrasse fluviale, replat bosselé	Vecteur moyennement continu	Boisée
1.01.007	P7	9 Sud	HQ42000/20-21	Ruisseau Clet	Secondaire 1	60	Terrasse marine	Vecteur discontinu	Boisée
1.01.008	P8	9 Sud	HQ42000/20-21	Ruisseau Clet	Secondaire 1	55-60	Terrasse marine	Vecteur discontinu	Boisée
1.01.009	P9	9 Sud	HQ42000/20-21	Ruisseau Clet	Secondaire 1	30	Terrasse marine	Espace annexe	Boisée
1.01.010	P10	9 Sud	HQ42000/20-21	Ruisseau Clet	Secondaire 1	30	Terrasse marine	Espace annexe	Boisée
1.02.001	P11	9 Sud	HQ42000/141-142	Rivière des Rapides	Secondaire 1	30	Terrasse marine, légèrement bosselée	Espace périphérique	Boisée
1.02.002	P12	9 Sud	HQ42000/141-142	Rivière des Rapides	Rivière des Rapides	30	Terrasse fluviale et marine, légèrement bosselée	Espace périphérique	Récemment déboisée
1.02.003	P13	9 Sud	HQ42000/142-143	Rivière des Rapides	Rivière des Rapides	30	Terrasse fluviale	Espace périphérique	Boisée
1.02.004	P14	9 Sud	HQ42000/142-143	Rivière des Rapides	Rivière des Rapides	30	Terrasse fluviale	Espace périphérique	Récemment déboisée
1.02.005	P15	9 Sud	HQ42000/142-143	Rivière des Rapides	Rivière des Rapides	30	Terrasse fluviale	Espace périphérique	Récemment déboisée
1.03.001	P16	9 Sud	HQ42000/144-145	Mer de Goldthwait	Secondaire 2	35	Terrasse marine	Vecteur continu en diachronie	Traversée par deux routes et une ligne à 161 kV
1.03.002	P17	9 Sud	HQ42000/145-146	Rivière au Foin	Secondaire 2	35	Terrasse marine	Vecteur discontinu	Boisée
1.03.003	P18	9 Sud	HQ42000/145-146	Rivière au Foin	Secondaire 2	35	Terrasse marine	Vecteur discontinu	Boisée

N° de ZONE	EN CONTINU	FEUILLET 1/20 000	COUPLE STÉRÉOSCOPIQUE	REPÈRE HYDROGRAPHIQUE	BASSIN HYDROGRAPHIQUE	ALTITUDE (m)	GÉOMORPHOLOGIE	GRAPHE TOPOLOGIQUE	INTÉGRITÉ EN 2004
1.03.004	P19	9 Sud	HQ42000/148-149	Mer de Goldthwait	Secondaire 2	80	Terrasse marine	Vecteur continu en diachronie	La surface a été décapée, sauf dans le coin sud-est
1.03.005	P20	9 Sud	HQ42000/149-150	Mer de Goldthwait	Secondaire 2	80	Terrasse marine. La surface est légèrement bosselée par des cordons pré-littoraux	Vecteur continu en diachronie	En grande partie déboisée
1.03-006	P21	9 Sud	HQ42000/126-127	Mer de Goldthwait	Secondaire 2	120	Terrasse marine. Replat d'un delta-sandur	Vecteur continu en diachronie	Traversée par les lignes existantes et déboisée
1.03-007	P22	9 Sud	HQ42000/148-149	Mer de Goldthwait	Secondaire 2	120	Terrasse marine. Replat d'un delta-sandur	Vecteur discontinu	Rebord de terrasse abîmé par des infrastructures
1.03-008	P23	9 Sud	HQ42000/149-150	Mer de Goldthwait	Secondaire 2	120	Terrasse marine. Replat d'un delta-sandur	Vecteur discontinu	En grande partie déboisée
1.03-009	P24	9 Sud	HQ42000/149-150	Mer de Goldthwait	Secondaire 2	120	Terrasse marine. Replat d'un delta-sandur	Vecteur continu en diachronie	En grande partie déboisée
1.03-010	P25	9 Sud	HQ42000/122-123	Lac Daigle	Rivière Moisie	125	Pointe sableuse. Roche en place près de la surface	Vecteur discontinu	Occupée par des chalets. Site EbDn-a en proximité indéterminée
1.03-011	P26	9 Sud	HQ42000/122-123	Lac Daigle	Rivière Moisie	125	Pointe sableuse. Roche en place près de la surface	Vecteur discontinu	Occupée par des chalets. Site EbDn-a en proximité indéterminée
1.03-012	P27	9 Sud	HQ42000/120-121	Mer de Goldthwait	Rivière Moisie	120	Terrasse marine. Replat d'un delta-sandur	Vecteur continu en diachronie	Déboisée
1.03-013	P28	9 Sud	HQ42000/119-120	Mer de Goldthwait	Rivière Moisie	120	Terrasse marine. Replat d'un delta-sandur	Vecteur continu en diachronie	Boisée
1.03-014	P29	9 Sud	HQ42000/119-120	Rivière Moisie	Rivière Moisie	110	Présence de buttons rocheux dans une haute terrasse fluviale	Espace central en diachronie	Boisée
1.03-015	P30	9 Sud	HQ42000/118-119	Rivière Moisie	Rivière Moisie	100-110	Présence de buttons rocheux dans une haute terrasse fluviale	Espace central en diachronie	Boisée, traversée par la voie ferrée
1.03-016	P31	9 Sud	HQ42000/118-119	Rivière Moisie	Rivière Moisie	100-110	Présence de buttons rocheux dans une haute terrasse fluviale	Espace central en diachronie	En partie boisée
1.03-017	P32	9 Sud	HQ42000/118-119	Rivière Moisie	Rivière Moisie	85-90	Haute terrasse fluviale	Espace central en diachronie	En partie boisée
1.03-018	P33	9 Sud	HQ42000/118-119	Rivière Moisie	Rivière Moisie	55-60	Haute terrasse fluviale	Vecteur continu	Récemment déboisée
1.03-019	P34	9 Sud	HQ42000/118-119	Rivière Moisie	Rivière Moisie	10	Basse terrasse fluviale, rive droite de la rivière	Espace central en diachronie	Boisée avec chalet

N° de ZONE	EN CONTINU	FEUILLET 1/20 000	COUPLE STÉRÉOSCOPIQUE	REPÈRE HYDROGRAPHIQUE	BASSIN HYDROGRAPHIQUE	ALTITUDE (m)	GÉOMORPHOLOGIE	GRAPHE TOPOLOGIQUE	INTÉGRITÉ EN 2004
1.03-020	P35	9 Sud	HQ42000/118-119	Rivière Moisie	Rivière Moisie	10	Basse terrasse fluviale, rive droite de la rivière	Espace central en diachronie	Boisée avec chalet
1.03-021	P36-H1	9 Sud	HQ42000/118-119	Rivière Moisie	Rivière Moisie	10	Basse terrasse fluviale, rive gauche de la rivière	Espace central en diachronie	Boisée avec chalets. Comporte également un potentiel euro-québécois
1.03-022	P37	9 Sud	HQ42000/117-118	Rivière Moisie	Rivière Moisie	60	Haute terrasse fluviale	Espace central en diachronie	Boisée
1.03-023	P38	9 Sud	HQ42000/117-118	Rivière Moisie	Rivière Moisie	60	Haute terrasse fluviale	Vecteur continu	Boisée
1.03-024	P39	8 Sud	HQ42000/43-44	Lac Mercier	Rivière Moisie	65	Terrasse fluviale sur le rivage du lac Mercier	Vecteur discontinu	Boisée
1.03-025	P40	8 Sud	HQ42000/43-44	Lac Mercier	Rivière Moisie	65	Terrasse fluviale sur le rivage du lac Mercier	Vecteur discontinu	Occupée par deux chalets
1.03-026	P41	8 Sud	HQ42000/113-114	Petite rivière à la Truite	Rivière Moisie	65	Haute terrasse fluviale	Vecteur discontinu	Boisée. Traversée par la ligne à 161 kV et longée par un chemin
1.03-027	P42	8 Sud	HQ42000/113-114	Petite rivière à la Truite	Rivière Moisie	50	Terrasse fluviale; rive gauche	Vecteur discontinu	Boisée
1.03-028	P43	8 Sud	HQ42000/113-114	Petite rivière à la Truite	Rivière Moisie	50	Terrasse fluviale; rive droite	Vecteur discontinu	Boisée
1.03-029	P44	8 Sud	HQ42000/113-114	Petite rivière à la Truite	Rivière Moisie	60	Haute terrasse fluviale	Vecteur discontinu	Boisée
1.03-030	P45	8 Sud	HQ42000/113-114	Petite rivière à la Truite	Rivière Moisie	55	Haute terrasse fluviale	Vecteur discontinu	Boisée
1.03-031	P46	8 Sud	HQ42000/113-114	Petite rivière à la Truite	Rivière Moisie	52	Haute terrasse fluviale	Vecteur discontinu	Boisée
1.03-032	P47	8 Sud	HQ42000/47-48	Rivière aux Rats Musqués	Rivière Matamec	45	Terrasse fluviale; rive gauche. La surface est bosselée par les talwegs de paléo-méandres.	Vecteur discontinu	Boisée
1.03-033	P48	8 Sud	HQ42000/47-48	Rivière aux Rats Musqués	Rivière Matamec	45	Terrasse fluviale; rive gauche.	Vecteur discontinu	Boisée
1.03-034	P49	8 Sud	HQ42000/47-48	Rivière aux Rats Musqués	Rivière Matamec	45	Terrasse fluviale; rive droite.	Vecteur discontinu	Boisée
1.03-035	P50	8 Sud	HQ42000/47-48	Rivière aux Rats Musqués	Rivière Matamec	45	Terrasse fluviale; rive droite.	Vecteur discontinu	Boisée
1.03-036	P51	8 Sud	HQ42000/47-48	Rivière aux Rats Musqués	Rivière Matamec	45	Terrasse fluviale; rive gauche.	Vecteur discontinu	Boisée
1.03-037	P52	8 Sud	HQ42000/47-48	Rivière aux Rats Musqués	Rivière Matamec	45	Terrasse fluviale; rive droite.	Vecteur discontinu	Boisée
1.03-038	P53	8 Sud	HQ42000/47-48	Rivière aux Rats Musqués	Rivière Matamec	45	Terrasse fluviale; rive gauche.	Vecteur discontinu	Boisée

N° de ZONE	EN CONTINU	FEUILLET 1/20 000	COUPLE STÉRÉOSCOPIQUE	REPÈRE HYDROGRAPHIQUE	BASSIN HYDROGRAPHIQUE	ALTITUDE (m)	GÉOMORPHOLOGIE	GRAPHE TOPOLOGIQUE	INTÉGRITÉ EN 2004
1.03-039	P54	8 Sud	HQ42000/110-111	Rivière aux Rats Musqués	Rivière Matamec	45	Terrasse fluviale; rive droite.	Vecteur discontinu	Boisée. Traversée par la ligne à 161 kV et par un chemin
1.03-040	P55	8 Sud	HQ42000/110-111	Rivière aux Rats Musqués	Rivière Matamec	45	Terrasse fluviale; rive gauche.	Vecteur discontinu	Un boisé clairsemé
1.03-041	P56	8 Sud	HQ42000/110-111	Rivière aux Rats Musqués	Rivière Matamec	45	Terrasse fluviale; rive droite.	Vecteur discontinu	Déboisée
1.03-042	P57	8 Sud	HQ42000/106-107	Rivière aux Rats Musqués	Rivière Matamec	40	Haute terrasse fluviale; rive droite. Correspond également à l'arrière d'une terrasse marine	Vecteur discontinu	Déboisée
1.03-043	P58	8 Sud	HQ42000/106-107	Rivière aux Rats Musqués, rivière Matamec et mer de Goldthwait	Rivière Matamec	35	Sur ce replat de terrasse marine, on distingue des cordons pré-littoraux	Espace périphérique	Déboisée
1.03-044	P59	8 Sud	HQ42000/106-107	Rivière aux Rats Musqués et rivière Matamec	Rivière Matamec	20	Terrasse fluviale; surface bombée. L'arrière de cette terrasse a été occupé par un paléo-méandre	Espace annexe	Boisée
1.03-045	P60	8 Sud	HQ42000/106-107	Rivière aux Rats Musqués et rivière Matamec	Rivière Matamec	20	Terrasse fluviale	Espace annexe	Boisée
1.03-046	P61	8 Sud	HQ42000/51-52	Rivière Matamec	Rivière Matamec	30-35	Terrasse fluviale; rive gauche	Vecteur moyennement continu	Boisée
1.03-047	P62	8 Sud	HQ42000/105-106	Rivière Matamec	Rivière Matamec	30	Terrasse fluviale; rive gauche	Espace annexe	Déboisée
1.03-048	P63	8 Sud	HQ42000/56-57	Ruisseau Saint-Charles Ouest	Secondaire 4	75	Terrasse fluviale; rive droite	Vecteur discontinu	Boisée
1.03-049	P64	8 Sud	HQ42000/100-101	Ruisseau Saint-Charles Ouest	Secondaire 4	50	Terrasse fluviale; rive gauche	Vecteur discontinu	Boisée
1.03-050	P65	8 Sud	HQ42000/100-101	Ruisseau Saint-Charles Ouest	Secondaire 4	50	Terrasse fluviale; rive gauche	Vecteur discontinu	Boisée
1.03-051	P66	8 Sud	HQ42000/63-64	Rivière aux Loups Marins	Rivière aux Loups Marins	105	Terrasse fluviale; rive gauche. Surface balafnée par des traces récentes de paléo-méandres	Vecteur discontinu	Boisée
1.03-052	P67	8 Sud	HQ42000/63-64	Rivière aux Loups Marins	Rivière aux Loups Marins	105	Terrasse fluviale; rive gauche. Surface balafnée par des traces récentes de paléo-méandres	Vecteur discontinu	Boisée
1.03-053	P68	8 Sud	HQ42000/63-64	Rivière aux Loups Marins	Rivière aux Loups Marins	110	Haute terrasse fluviale; rive droite.	Vecteur discontinu	Boisée

N° de ZONE	EN CONTINU	FEUILLET 1/20 000	COUPLE STÉRÉOSCOPIQUE	REPÈRE HYDROGRAPHIQUE	BASSIN HYDROGRAPHIQUE	ALTITUDE (m)	GÉOMORPHOLOGIE	GRAPHE TOPOLOGIQUE	INTÉGRITÉ EN 2004
1.03-054	P69	8 Sud	HQ42000/63-64	Rivière aux Loups Marins	Rivière aux Loups Marins	100-110	Haute terrasse fluviale; rive droite. Magnifique surface d'accueil	Vecteur discontinu	Boisée
1.03-055	P70	8 Sud	HQ42000/63-64	Rivière aux Loups Marins	Rivière aux Loups Marins	85	Terrasse fluviale; rive gauche	Vecteur discontinu	Boisée
1.03-056	P71	8 Sud	HQ42000/93-94	Rivière aux Loups Marins	Rivière aux Loups Marins	35	Terrasse fluviale; rive droite	Vecteur discontinu	Boisée
1.03-057	P72	8 Sud	HQ42000/93-94	Rivière aux Loups Marins	Rivière aux Loups Marins	35	Terrasse fluviale; rive droite	Vecteur discontinu	Boisée
1.03-058	H2	9 Sud	HQ42000/118-119	Rivière Moisie	Rivière Moisie	10 à 20	Terrasse fluviale; rive gauche.	Vecteur continu	Boisée avec chalets, seule zone à potentiel archéologique uniquement euro-québécoise
1.04-001	P73	7 Sud	HQ42000/186-187	Rivière Pigou	Rivière Pigou	50	Terrasse fluviale; rive gauche	Vecteur discontinu	Boisée
1.04-002	P74	7 Sud	HQ42000/186-187	Rivière Pigou	Rivière Pigou	42	Terrasse fluviale; rive gauche	Vecteur discontinu	Boisée
1.04-003	P75	7 Sud	HQ42000/186-187	Rivière Pigou	Rivière Pigou	42	Terrasse fluviale; rive droite	Vecteur discontinu	Boisée
1.04-004	P76	7 Sud	HQ42000/186-187	Rivière Pigou	Rivière Pigou	42	Terrasse fluviale; rive gauche	Vecteur discontinu	Boisée
1.04-005	P77	7 Sud	HQ42000/67-68	Rivière Pigou	Rivière Pigou	38-45	Terrasse fluviale; rive gauche. Surface parfois bosselée par un ruisseau et des paléo-méandres	Vecteur discontinu	Boisée
1.04-006	P78	7 Sud	HQ42000/67-68	Rivières Pigou et Pigou Est	Rivière Pigou	42	Terrasse fluviale à la rencontre de deux rivières. Rivage de la Pigou occupé par un petit esker	Vecteur discontinu	Boisée
1.04-007	P79	7 Sud	HQ42000/67-68	Rivière Pigou	Rivière Pigou	42	Terrasse fluviale; rive droite. Belle surface d'accueil	Vecteur discontinu	Boisée
1.04-008	P80	7 Sud	HQ42000/67-68	Rivière Pigou	Rivière Pigou	40	Terrasse fluviale; rive droite. Partie arrière d'une surface deltaïque	Vecteur discontinu	Majeure partie de la surface occupée par un banc d'emprunt
1.04-009	P81	7 Sud	HQ42000/187-188	Rivière Pigou Est	Rivière Pigou	70	Terrasse fluviale; rive gauche	Vecteur discontinu	Boisée
1.04-010	P82	7 Sud	HQ42000/187-188	Rivière Pigou Est	Rivière Pigou	70	Terrasse fluviale; rive droite	Vecteur discontinu	Boisée
1.04-011	P83	7 Sud	HQ42000/187-188	Rivière Pigou Est	Rivière Pigou	90	Haute terrasse fluviale; rive droite. Surface bosselée domine une dentelle de paléo-méandres	Vecteur discontinu	Boisée
1.04-012	P84	7 Sud	HQ42000/193-194	Rivière au Bouleau	Rivière au Bouleau	75	Terrasse fluviale; rive gauche	Vecteur moyennement continu	Boisée

N° de ZONE	EN CONTINU	FEUILLET 1/20 000	COUPLE STÉRÉOSCOPIQUE	REPÈRE HYDROGRAPHIQUE	BASSIN HYDROGRAPHIQUE	ALTITUDE (m)	GÉOMORPHOLOGIE	GRAPHE TOPOLOGIQUE	INTÉGRITÉ EN 2004
1.04-013	P85	7 Sud	HQ42000/72-73	Mer de Goldthwait	Secondaire 6	110	Terrasse marine. Replat d'un delta-sandur	Vecteur continu en diachronie	Boisée
1.04-014	P86	7 Sud	HQ42000/84-85	Mer de Goldthwait	Secondaire 6	100-110	Terrasse marine. Replat d'un delta-sandur. La partie est de la zone communique avec la partie en contrebas par une rampe	Espace périphérique en diachronie	En partie déboisée
1.04-015	P87	7 Sud	HQ42000/74-75	Mer de Goldthwait	Rivière au Bouleau	105-110	Terrasse marine. Replat d'un delta-sandur	Espace périphérique	Boisée
1.04-016	P88	7 Sud	HQ42000/194-195	Lacs à Bernier	Secondaire 7	140	Rivage lacustre. Petite ligne d'interfluve en roche en place	Vecteur discontinu	En partie déboisée
1.04-017	P89	7 Sud	HQ42000/76-77	Ruisseau de l'île Jésus	Secondaire 7	105	Terrasse fluviale; rive droite	Vecteur discontinu	Boisée
1.04-018	P90	7 Sud	HQ42000/76-77	Mer de Goldthwait	Secondaire 7	40	Partie arrière du replat d'une terrasse marine.	Espace annexe	Boisée
1.04-019	P91	7 Sud	Q99311/5-6	Rivière du Sault Plat	Rivière du Sault Plat	130	Terrasse fluviale; rive gauche	Vecteur discontinu	Boisée
1.04-020	P92	7 Sud	Q99311/5-6	Rivière du Sault Plat	Rivière du Sault Plat	125	Terrasse fluviale; rive droite	Vecteur discontinu	Boisée
1.04-021	P93	7 Sud	Q99311/5-6	Rivière du Sault Plat	Rivière du Sault Plat	125	Terrasse fluviale; rive gauche. Belle surface d'accueil	Vecteur discontinu	Boisée
1.04-022	P94	7 Sud	Q99310/256-257	Rivière du Sault Plat	Rivière du Sault Plat	120	Terrasse fluviale; rive gauche	Vecteur discontinu	Boisée
1.04-023	P95	7 Sud	Q99310/256-257	Rivière du Sault Plat	Rivière du Sault Plat	120	Terrasse fluviale; rive droite	Vecteur discontinu	Boisée
1.04-024	P96	7 Sud	Q99310/256-257	Rivière du Sault Plat	Rivière du Sault Plat	105	Terrasse fluviale; rive droite	Espace annexe	Boisée
1.05.001	P97	7 Sud	Q99311/8-9	Rivière Tortue	Rivière Tortue	80	Terrasse fluviale; rive droite. Traces de paléo-méandres	Vecteur moyennement continu	Boisée
1.05.002	P98	7 Sud	Q99311/8-9	Rivière Tortue	Rivière Tortue	80	Terrasse fluviale; rive droite. Bande étroite le long de la rive associée à un léger bombement	Vecteur moyennement continu	Boisée
1.05.003	P99	7 Sud	Q99311/8-9	Rivière Tortue	Rivière Tortue	80	Terrasse fluviale; rive droite.	Vecteur moyennement continu	Boisée
1.05.004	P100	7 Sud	Q99311/8-9	Rivière Tortue	Rivière Tortue	80	Île au Renard.	Vecteur moyennement continu	En partie déboisée
1.05.005	P101	7 Sud	Q99311/8-9	Rivière Tortue	Rivière Tortue	80	Terrasse fluviale; rive gauche. En forme de petit amphithéâtre	Vecteur moyennement continu	Boisée

N° de ZONE	EN CONTINU	FEUILLET 1/20 000	COUPLE STÉRÉOSCOPIQUE	REPÈRE HYDROGRAPHIQUE	BASSIN HYDROGRAPHIQUE	ALTITUDE (m)	GÉOMORPHOLOGIE	GRAPHE TOPOLOGIQUE	INTÉGRITÉ EN 2004
1.05.006	P102	7 Sud	Q99310/254-255	Mer de Goldthwait	Secondaire 8	110	Terrasse marine associée à un delta-sandur	Espace périphérique en diachronie	Boisée
1.05.007	P103	7 Sud	Q99310/253-254	Mer de Goldthwait et rivière Tortue	Rivière Tortue	100	Terrasse marine et terrasse fluviale. Rive droite	Espace périphérique en diachronie	Boisée
1.05.008	P104	7 Sud	Q99310/253-254	Mer de Goldthwait et rivière Tortue	Rivière Tortue	100	Terrasse marine et terrasse fluviale. Rive droite	Espace périphérique	Boisée
1.05.009	P105	7 Sud	Q99310/253-254	Mer de Goldthwait et rivière Tortue	Rivière Tortue	90	Terrasse marine et terrasse fluviale. Rive gauche; vient s'appuyer sur un cran rocheux.	Espace périphérique	Boisée
1.05.010	P106	7 Sud	Q99310/252-253	Mer de Goldthwait	Rivière Tortue	100	Terrasse marine associée à un delta-sandur	Espace périphérique	Boisée; banc d'emprunt à l'extrémité est.
1.05.011	P107	7 Sud	Q99311/10-11	Mer de Goldthwait et rivière du Sault Blanc	Secondaire 9	110	Terrasse marine associée à un delta-sandur; la zone est légèrement bombée et l'arrière est marécageux	Vecteur discontinu	Boisée
1.05.012	P108	7 Sud	Q99311/10-11	Rivière du Sault Blanc	Secondaire 9	110	Terrasse fluviale; rive droite; en association chronologique avec la zone 1.05.011	Vecteur discontinu	Boisée
1.05.013	P109	7 Sud	Q99311/13-14	Mer de Goldthwait	Secondaire 9	110	Terrasse marine associée à un delta-sandur	Vecteur discontinu	Boisée
1.05.014	P110	7 Sud	Q99311/12-13	Ruisseau à Moïse	Secondaire 9	110	Terrasse fluviale; rive droite. Légèrement ondulée	Vecteur discontinu	Boisée
1.05.015	P111	7 Sud	Q99311/12-13	Ruisseau à Moïse	Secondaire 9	100	Terrasse fluviale; rive gauche. Belle surface d'accueil.	Vecteur discontinu	Boisée
1.05.016	P112	7 Sud	Q99311/13-14	Ruisseau à Moïse	Secondaire 9	100	Terrasse fluviale; rive droite	Vecteur discontinu	Boisée; traversée par la ligne à 161 kV
1.05.017	P113	7 Sud	Q99311/12-13	Ruisseau à Moïse	Secondaire 9	100-110	Terrasse fluviale; rive gauche	Vecteur discontinu	Boisée; traversée par la ligne à 161 kV
1.06.001	P114	7 Sud	Q99311/13-14	Mer de Goldthwait et ruisseau à Marcel	Rivière Manitou	110	Terrasse marine associée à un delta-sandur	Vecteur discontinu	Boisée
1.06.002	P115	7 Sud	Q99311/14-15	Mer de Goldthwait et ruisseau à Marcel	Rivière Manitou	110	Terrasse marine associée à un delta-sandur	Vecteur discontinu	Boisée
1.06.003	P116	7 Sud	Q99311/14-15	Mer de Goldthwait et ruisseau à Marcel	Rivière Manitou	110	Terrasse marine associée à un delta-sandur; du côté ouest terrasse marine et du côté est, terrasse fluviale	Vecteur discontinu	Boisée

N° de ZONE	EN CONTINU	FEUILLET 1/20 000	COUPLE STÉRÉOSCOPIQUE	REPÈRE HYDROGRAPHIQUE	BASSIN HYDROGRAPHIQUE	ALTITUDE (m)	GÉOMORPHOLOGIE	GRAPHE TOPOLOGIQUE	INTÉGRITÉ EN 2004
1.06.004	P117	7 Sud	Q99311/14-15	Mer de Goldthwait	Rivière Manitou	110	Terrasse marine associée à un delta-sandur	Vecteur discontinu	Boisée
1.06.005	P118	6 Sud	Q99311/16-17	Rivière Manitou	Rivière Manitou	85	Terrasse fluviale; rive droite. Appuyée au cran rocheux; le talus a été sculpté par un paléo-méandre	Vecteur moyennement continu	Boisée
1.06.006	P119	6 Sud	Q99311/16-17	Rivière Manitou	Rivière Manitou	85	Terrasse fluviale; rive droite	Vecteur moyennement continu	Boisée
1.06.007	P120	6 Sud	Q99311/16-17	Rivière Manitou	Rivière Manitou	85	Terrasse fluviale; rive gauche	Vecteur moyennement continu	Boisée
1.06.008	P121	6 Sud	Q99311/16-17	Rivière Manitou	Rivière Manitou	80	Basse terrasse fluviale; rive gauche	Vecteur moyennement continu	En partie déboisée; présence d'un chalet
1.06.009	P122	6 Sud	Q99311/16-17	Rivière Manitou	Rivière Manitou	85	Terrasse fluviale; rive gauche. Le talus a été érodé par un paléo-méandre.	Vecteur moyennement continu	Boisée
1.06.010	P123	6 Sud	Q99311/16-17	Mer de Goldthwait et rivière Manitou	Rivière Manitou	110	Terrasse marine et haute terrasse fluviale; rive droite	Espace périphérique en diachronie	Boisée
1.06.011	P124	6 Sud	Q99311/16-17	Mer de Goldthwait et rivière Manitou	Rivière Manitou	110	Terrasse marine et haute terrasse fluviale; rive droite	Espace périphérique en diachronie	Boisée
1.06.012	P125	6 Sud	Q99311/16-17	Mer de Goldthwait et rivière Manitou	Rivière Manitou	100	Terrasse marine et haute terrasse fluviale; rive droite	Espace périphérique en diachronie	Boisée
1.06.013	P126	6 Sud	Q99311/16-17	Mer de Goldthwait et rivière Manitou	Rivière Manitou	110	Terrasse marine et haute terrasse fluviale; rive droite	Espace périphérique en diachronie	Boisée; traversée par la ligne à 161 kV
1.06.014	P127	6 Sud	Q99310/242-243	Rivière aux Graines	Secondaire 10	85	Terrasse fluviale; rive gauche	Vecteur discontinu	Boisée
1.06.015	P128	6 Sud	Q99310/242-243	Rivière aux Graines	Secondaire 10	85	Terrasse fluviale; rive gauche	Vecteur discontinu	Boisée; traversée par la ligne à 161 kV
1.07.001	P129	6 Sud	Q99311/26-27	Rivière à la Chaloupe	Rivière à la Chaloupe	95	Terrasse fluviale; rive gauche	Espace annexe	Boisée
1.07.002	P130	6 Sud	Q99311/25-26	Rivière à la Chaloupe	Rivière à la Chaloupe	90	Basse terrasse fluviale; rive droite	Vecteur moyennement continu	En partie boisée
1.07.003	P131	6 Sud	Q99311/25-26	Rivière à la Chaloupe	Rivière à la Chaloupe	95	Terrasse fluviale; rive droite	Vecteur moyennement continu	Boisée

N° de ZONE	EN CONTINU	FEUILLET 1/20 000	COUPLE STÉRÉOSCOPIQUE	REPÈRE HYDROGRAPHIQUE	BASSIN HYDROGRAPHIQUE	ALTITUDE (m)	GÉOMORPHOLOGIE	GRAPHE TOPOLOGIQUE	INTÉGRITÉ EN 2004
1.07.004	P132	6 Sud	Q99311/25-26	Rivière à la Chaloupe	Rivière à la Chaloupe	95	Terrasse fluviale; rive gauche	Vecteur moyennement continu	Boisée
1.07.005	P133	6 Sud	Q99311/25-26	Rivière à la Chaloupe	Rivière à la Chaloupe	90	Basse terrasse fluviale; rive gauche	Vecteur moyennement continu	Boisée
1.07.006	P134	6 Sud	Q99311/25-26	Rivière à la Chaloupe	Rivière à la Chaloupe	85	Basse terrasse fluviale; rive gauche	Vecteur moyennement continu	En partie boisée
1.07.007	P135	6 Sud	Q99311/25-26	Rivière à la Chaloupe	Rivière à la Chaloupe	100	Terrasse fluviale; rive droite	Vecteur moyennement continu	En partie boisée
1.07.008	P136	6 Sud	Q99311/25-26	Rivière à la Chaloupe	Rivière à la Chaloupe	85	Basse terrasse fluviale; rive gauche	Vecteur moyennement continu	En partie boisée
1.07.009	P137	6 Sud	Q99311/25-26	Rivière à la Chaloupe	Rivière à la Chaloupe	85	Basse terrasse fluviale; rive gauche	Vecteur moyennement continu	En partie boisée
1.07.010	P138	6 Sud	Q99311/24-25	Rivière à la Chaloupe	Rivière à la Chaloupe	80	Basse terrasse fluviale; rive droite. Espace d'accueil étroit, mais à la rencontre d'un ruisseau non retenu par le graphe	Vecteur moyennement continu	En partie boisée; présence d'un camp
1.07.011	P139	6 Sud	Q99311/24-25	Rivière à la Chaloupe et mer de Goldthwait	Rivière à la Chaloupe	95	Haute terrasse fluviale, rive gauche et terrasse marine. Replat légèrement bosselé	Espace périphérique en diachronie	Boisée
1.07.012	P140	6 Sud	Q99311/24-25	Rivière à la Chaloupe	Rivière à la Chaloupe	80	Terrasse fluviale; rive gauche	Vecteur moyennement continu	Boisée
1.07.013	P141	6 Sud	Q99311/23-24	Rivière à la Chaloupe	Rivière à la Chaloupe	100	Haute terrasse fluviale; rive droite	Espace périphérique en diachronie	Boisée
1.07.014	P142	6 Sud	Q99311/23-24	Rivière à la Chaloupe et mer de Goldthwait	Rivière à la Chaloupe	100	Haute terrasse fluviale, rive droite et terrasse marine. Belle surface d'accueil, immense	Espace périphérique en diachronie	Boisée
1.07.015	P143	6 Sud	Q99310/238-239	Rivière à la Chaloupe et mer de Goldthwait	Rivière à la Chaloupe	95	Haute terrasse fluviale, rive gauche et terrasse marine	Espace périphérique en diachronie	Boisée
1.07.016	P144	6 Sud	Q99310/238-239	Rivière à la Chaloupe et mer de Goldthwait	Rivière à la Chaloupe	95	Haute terrasse fluviale; rive gauche et terrasse marine. Bande étroite	Espace périphérique en diachronie	Boisée

N° de ZONE	EN CONTINU	FEUILLET 1/20 000	COUPLE STÉRÉOSCOPIQUE	REPÈRE HYDROGRAPHIQUE	BASSIN HYDROGRAPHIQUE	ALTITUDE (m)	GÉOMORPHOLOGIE	GRAPHE TOPOLOGIQUE	INTÉGRITÉ EN 2004
1.07.017	P145	6 Sud	Q99310/238-239	Rivière à la Chaloupe	Rivière à la Chaloupe	85	Terrasse fluviale; rive gauche	Vecteur moyennement continu	Boisée
1.07.018	P146	6 Sud	Q99310/238-239	Rivière à la Chaloupe	Rivière à la Chaloupe	75	Basse terrasse fluviale; rive gauche	Vecteur moyennement continu	Boisée
1.07.019	P147	6 Sud	Q99310/238-239	Rivière à la Chaloupe	Rivière à la Chaloupe	75	Basse terrasse fluviale; rive gauche	Vecteur moyennement continu	Boisée
1.07.020	P148	6 Sud	Q99310/238-239	Rivière à la Chaloupe	Rivière à la Chaloupe	75	Basse terrasse fluviale; rive gauche	Vecteur moyennement continu	Boisée
1.07.021	P149	6 Sud	Q99310/239-240	Rivière à la Chaloupe	Rivière à la Chaloupe	70	Basse terrasse fluviale; rive gauche	Vecteur moyennement continu	Boisée
1.07.022	P150	6 Sud	Q99310/238 à 240	Mer de Goldthwait et rivière à la Chaloupe	Rivière à la Chaloupe	75	Terrasse marine et haute terrasse fluviale. Magnifique espace extensif	Espace périphérique en diachronie	Boisée; traversée par la ligne à 161 kV
1.07.023	P151	6 Sud	Q99310/239-240	Rivière à la Chaloupe	Rivière à la Chaloupe	65	Terrasse fluviale; rive gauche	Vecteur moyennement continu	Boisée
1.07.024	P152	6 Sud	Q99310/239-240	Rivière à la Chaloupe	Rivière à la Chaloupe	65	Basse terrasse fluviale; rive droite	Vecteur moyennement continu	Déboisée
1.07.025	P153	6 Sud	Q99310/239-240	Mer de Goldthwait et rivière à la Chaloupe	Rivière à la Chaloupe	80	Terrasse marine et haute terrasse fluviale.	Espace périphérique en diachronie	Boisée
1.07.026	P154	6 Sud	Q99310/240-241	Rivière à la Chaloupe	Rivière à la Chaloupe	45	Basse terrasse fluviale; rive gauche	Vecteur moyennement continu	Déboisée
1.07.027	P155	6 Sud	Q99310/240-241	Rivière à la Chaloupe	Rivière à la Chaloupe	45	Basse terrasse fluviale; rive droite	Vecteur moyennement continu	Déboisée
1.07.028	P156	6 Sud	Q99310/240-241	Rivière à la Chaloupe	Rivière à la Chaloupe	50	Terrasse fluviale; rive gauche. Surface d'accueil bosselée	Vecteur moyennement continu	Boisée; traversée par la ligne à 161 kV
1.07.029	P157	6 Sud	Q99310/240-241	Rivière à la Chaloupe	Rivière à la Chaloupe	40	Terrasse fluviale; rive droite	Vecteur moyennement continu	Boisée

N° de ZONE	EN CONTINU	FEUILLET 1/20 000	COUPLE STÉRÉOSCOPIQUE	REPÈRE HYDROGRAPHIQUE	BASSIN HYDROGRAPHIQUE	ALTITUDE (m)	GÉOMORPHOLOGIE	GRAPHE TOPOLOGIQUE	INTÉGRITÉ EN 2004
1.07.030	P158	6 Sud	Q99302/21-22	Mer de Goldthwait	Secondaire 11	95	Terrasse marine	Espace périphérique en diachronie	Boisée; traversée par la ligne à 161 kV
1.07.031	P159	6 Sud	Q99302/22-23	Mer de Goldthwait	Secondaire 11	95	Terrasse marine	Vecteur continu en diachronie	Boisée
1.07.032	P160	6 Sud	Q99302/23-24	Mer de Goldthwait	Secondaire 11	95	Terrasse marine	Vecteur continu en diachronie	Boisée; traversée par la ligne à 161 kV
1.07.033	P161	6 Sud	Q99302/23-24	Mer de Goldthwait	Secondaire 11	95	Terrasse marine	Vecteur continu en diachronie	Boisée
1.07.034	P162	6 Sud	Q99302/23-24	Mer de Goldthwait	Secondaire 11	85	Terrasse marine	Vecteur continu en diachronie	Boisée
1.07.035	P163	6 Sud	Q99307/108-109	Ruisseau de l'Anse Verte	Secondaire 11	100	Terrasse fluviale; rive droite	Vecteur discontinu	Boisée
1.07.036	P164	6 Sud	Q99307/107-108	Ruisseau de l'Anse Verte	Secondaire 11	95	Terrasse fluviale; rive droite	Vecteur discontinu	Boisée
1.07.037	P165	6 Sud	Q99307/107-108	Ruisseau de l'Anse Verte	Secondaire 11	95	Terrasse fluviale; rive droite	Vecteur discontinu	Boisée
1.07.038	P166	6 Sud	Q99307/107-108	Ruisseau de l'Anse Verte	Secondaire 11	95	Terrasse fluviale; rive gauche	Vecteur discontinu	Boisée
1.07.039	P167	6 Sud	Q99307/107-108	Ruisseau de l'Anse Verte	Secondaire 11	95	Terrasse fluviale; rive gauche. La surface est bosselée	Vecteur discontinu	Boisée
1.07.040	P168	6 Sud	Q99307/107-108	Ruisseau de l'Anse Verte	Secondaire 11	90	Terrasse fluviale; rive gauche	Vecteur discontinu	Boisée
1.07.041	P169	6 Sud	Q99307/107-108	Ruisseau de l'Anse Verte	Secondaire 11	90	Terrasse fluviale; rive droite	Vecteur discontinu	Boisée
1.07.042	P170	6 Sud	Q99302/24-25	Ruisseau de l'Anse Verte	Secondaire 11	60	Terrasse fluviale; rive gauche	Vecteur discontinu	Boisée
1.08.001	P171	6 Sud	Q99311/29-30	Mer de Goldthwait	Secondaire 11	105	Terrasse marine	Espace central en diachronie	Boisée
1.08.002	P172	6 Sud	Q99311/29-30	Mer de Goldthwait	Rivière Sheldrake	105	Terrasse marine	Espace central en diachronie	Boisée
1.08.003	P173	6 Sud	Q99311/30-31	Mer de Goldthwait et rivière Sheldrake	Rivière Sheldrake	110	Terrasse marine et haute terrasse fluviale. Situation particulièrement intéressante	Espace central en diachronie	Boisée
1.08.004	P174	6 Sud	Q99311/30-31	Rivière Sheldrake	Rivière Sheldrake	80	Terrasse fluviale; rive gauche	Espace annexe	Boisée
1.08.005	P175	6 Sud	Q99311/30-31	Rivière Sheldrake	Rivière Sheldrake	75	Basse terrasse fluviale; rive gauche	Espace annexe	Boisée

N° de ZONE	EN CONTINU	FEUILLET 1/20 000	COUPLE STÉRÉOSCOPIQUE	REPÈRE HYDROGRAPHIQUE	BASSIN HYDROGRAPHIQUE	ALTITUDE (m)	GÉOMORPHOLOGIE	GRAPHE TOPOLOGIQUE	INTÉGRITÉ EN 2004
1.08.006	P176	6 Sud	Q99311/30-31	Rivière Sheldrake	Rivière Sheldrake	75	Basse terrasse fluviale; rive droite	Espace annexe	Boisée
1.08.007	P177	6 Sud	Q99311/30-31	Rivière Sheldrake	Rivière Sheldrake	80	Terrasse fluviale; une bande étroite se dégage sur le rivièrè et le long d'un paléo-méandre, excluant l'intérieur qui est marécageux	Espace annexe	Boisée
1.08.008	P178	6 Sud	Q99311/30-31	Rivière Sheldrake	Rivière Sheldrake	90	Haute terrasse fluviale; rive droite	Espace central en diachronie	Boisée
1.08.009	P179	6 Sud	Q99307/104-105	Rivière Sheldrake	Rivière Sheldrake	90	Haute terrasse fluviale; rive gauche	Espace central en diachronie	Boisée
1.08.010	P180	6 Sud	Q99307/104-105	Rivière Sheldrake	Rivière Sheldrake	70	Basse terrasse fluviale; rive gauche	Vecteur continu	En partie déboisée
1.08.011	P181	6 Sud	Q99307/104-105	Rivière Sheldrake	Rivière Sheldrake	70	Basse terrasse fluviale; rive gauche	Vecteur continu	En partie déboisée
1.08.012	P182	6 Sud	Q99307/103-104	Rivière Sheldrake	Rivière Sheldrake	70	Basse terrasse fluviale; rive gauche	Vecteur continu	Boisée
1.08.013	P183	6 Sud	Q99307/103-104	Mer de Goldthwait et rivière Sheldrake	Rivière Sheldrake	90	Haute terrasse fluviale; rive droite. Correspond à un ancien haut de plage. Fin d'une seconde série de cordons pré-littoraux	Vecteur continu	En partie déboisée
1.08.014	P184	6 Sud	Q99307/103-104	Rivière Sheldrake	Rivière Sheldrake	80	Terrasse fluviale; rive droite	Vecteur continu	Boisée
1.08.015	P185	6 Sud	Q99307/103-104	Rivière Sheldrake	Rivière Sheldrake	80	Terrasse fluviale; rive droite	Vecteur continu	Boisée
1.08.016	P186	6 Sud	Q99307/102-103	Rivière Sheldrake	Rivière Sheldrake	70	Terrasse fluviale; rive droite	Vecteur continu	Boisée
1.08.017	P187	6 Sud	Q99307/102-103	Rivière Sheldrake	Rivière Sheldrake	65	Basse terrasse fluviale; rive droite	Espace annexe	En partie déboisée
1.08.018	P188	6 Sud	Q99307/102-103	Rivière Sheldrake	Rivière Sheldrake	70	Terrasse fluviale; rive droite	Espace annexe	Boisée
1.08.019	P189	6 Sud	Q99307/102-103	Rivière Sheldrake	Rivière Sheldrake	70	Terrasse fluviale; rive gauche	Espace annexe	Boisée
1.08.020	P190	6 Sud	Q99307/102-103	Rivière Sheldrake	Rivière Sheldrake	65	Basse terrasse fluviale; rive droite	Espace annexe	En partie déboisée
1.08.021	P191	6 Sud	Q99311/32-33	Lac Touzel	Rivière Sheldrake	65	Rivage lacustre	Vecteur discontinu	Boisée
1.08.022	P192	6 Sud	Q99311/32-33	Lac Touzel	Rivière Sheldrake	65	Paléo-rivage lacustre	Vecteur discontinu	Boisée
1.08.023	P193	6 Sud	Q99311/34-35	Rivière d'Épinettes	Rivière Sheldrake	35	Basse terrasse fluviale; rive droite	Vecteur discontinu	Boisée

N° de ZONE	EN CONTINU	FEUILLET 1/20 000	COUPLE STÉRÉOSCOPIQUE	REPÈRE HYDROGRAPHIQUE	BASSIN HYDROGRAPHIQUE	ALTITUDE (m)	GÉOMORPHOLOGIE	GRAPHE TOPOLOGIQUE	INTÉGRITÉ EN 2004
1.08.024	P194	6 Sud	Q99307/101-102	Rivière d'Épinettes	Rivière Sheldrake	25	Basse terrasse fluviale; rive droite	Vecteur discontinu	Boisée
1.08.025	P195	6 Sud	Q99307/101-102	Rivière d'Épinettes	Rivière Sheldrake	25	Basse terrasse fluviale; rive gauche	Vecteur discontinu	Boisée
1.08.026	P196	6 Sud	Q99307/101-102	Rivière Sheldrake et rivière d'Épinettes	Rivière Sheldrake	7	Basse terrasse fluviale; domine un bassin, au pied d'une chute	Espace annexe	Boisée
1.08.027	P197	6 Sud	Q99302/30-31	Rivière Sheldrake	Rivière Sheldrake	40	Haute terrasse fluviale; rive droite	Espace central	Boisée. Chevauchement avec inventaire de Chevrier et Castonguay (1976)
1.08.028	P198	6 Sud	Q99302/30-31	Rivière Sheldrake	Rivière Sheldrake	30	Terrasse fluviale; rive droite	Espace central	Boisée; traversée par la ligne à 161 kV. Chevauchement avec inventaire de Chevrier et Castonguay (1976)
1.08.029	P199	6 Sud	Q99302/29-30	Mer de Goldthwait et rivière Sheldrake	Rivière Sheldrake	40	Haute terrasse fluviale; rive droite. Correspond à un ancien haut de plage. Fin d'une première série de cordons pré-littoraux.	Espace central	En grande partie déboisée. Chevauchement avec inventaire de Chevrier et Castonguay (1976)
1.08.030	P200	6 Sud	Q99307/98-99	Rivière Couture	Secondaire 12	70	Basse terrasse fluviale; rive gauche. La surface est bosselée par la présence de roche en place non loin de la surface.	Vecteur discontinu	Boisée
1.08.031	P201	6 Sud	Q99307/98-99	Rivière Couture	Secondaire 12	70	Basse terrasse fluviale; rive droite. Surface bosselée	Vecteur discontinu	Boisée
1.08.032	P202	6 Sud	Q99307/99-100	Rivière Couture	Secondaire 12	50	Basse terrasse fluviale; rive droite. Surface bosselée	Vecteur discontinu	Boisée
1.08.033	P203	6 Sud	Q99307/99-100	Rivière Couture	Secondaire 12	40	Basse terrasse fluviale; rive gauche. Surface bosselée	Vecteur discontinu	Boisée
1.09.001	P204	6 Sud et 5 Sud	Q99307/94-95	Mer de Goldthwait	Rivière au Tonnerre	90	Terrasse marine	Vecteur discontinu	Boisée, limitée au nord par un banc d'emprunt à investiguer au pré-inventaire
1.09.002	P205	5 Sud	Q99311/42-43	Rivière au Tonnerre	Rivière au Tonnerre	80	Basse terrasse fluviale; île	Vecteur moyennement continu	En partie déboisée
1.09.003	P206	5 Sud	Q99311/42-43	Rivière au Tonnerre	Rivière au Tonnerre	80	Basse terrasse fluviale; rive droite	Vecteur moyennement continu	Boisée
1.09.004	P207	5 Sud	Q99311/42-43	Rivière au Tonnerre	Rivière au Tonnerre	75	Basse terrasse fluviale; rive droite	Vecteur moyennement continu	Boisée

N° de ZONE	EN CONTINU	FEUILLET 1/20 000	COUPLE STÉRÉOSCOPIQUE	REPÈRE HYDROGRAPHIQUE	BASSIN HYDROGRAPHIQUE	ALTITUDE (m)	GÉOMORPHOLOGIE	GRAPHE TOPOLOGIQUE	INTÉGRITÉ EN 2004
1.09.005	P208	5 Sud	Q99311/42-43	Rivière au Tonnerre	Rivière au Tonnerre	75	Basse terrasse fluviale; rive droite	Vecteur moyennement continu	Boisée
1.09.006	P209	5 Sud	Q99311/42-43	Rivière au Tonnerre	Rivière au Tonnerre	75	Basse terrasse fluviale; forme une grande pointe sur la rive gauche de la rivière	Vecteur moyennement continu	En partie déboisée
1.09.007	P210	5 Sud	Q99311/42-43	Rivière au Tonnerre et mer de Goldthwait	Rivière au Tonnerre	90	Haute terrasse fluviale; rive droite. Formait déjà une terrasse lorsque la mer était à 80 mètres	Espace périphérique en diachronie	Boisée
1.09.008	P211	5 Sud	Q99311/42-43	Rivière au Tonnerre et mer de Goldthwait	Rivière au Tonnerre	90	Haute terrasse fluviale; rive droite. Formait déjà une terrasse lorsque la mer était à 80 mètres	Espace périphérique en diachronie	En partie déboisée
1.09.009	P212	5 Sud	Q99311/42-43	Rivière au Tonnerre et mer de Goldthwait	Rivière au Tonnerre	90	Haute terrasse fluviale; rive droite. Formait déjà une terrasse lorsque la mer était à 80 mètres	Espace périphérique en diachronie	En partie déboisée
1.09.010	P213	5 Sud	Q99311/42-43	Rivière au Tonnerre et mer de Goldthwait	Rivière au Tonnerre	90	Haute terrasse fluviale; rive droite. Formait déjà une terrasse lorsque la mer était à 80 mètres	Espace périphérique en diachronie	Boisée
1.09.011	P214	5 Sud	Q99311/42-43	Rivière au Tonnerre	Rivière au Tonnerre	80	Basse terrasse fluviale; rive droite de la rivière au Tonnerre et rive gauche d'un ancien talweg	Vecteur moyennement continu	Boisée
1.09.012	P215	5 Sud	Q99311/42-43	Rivière au Tonnerre	Rivière au Tonnerre	80	Basse terrasse fluviale; rive droite d'un ancien talweg	Vecteur moyennement continu	En partie déboisée
1.09.013	P216	5 Sud	Q99311/42-43	Rivière au Tonnerre	Rivière au Tonnerre	80	Basse terrasse fluviale; rive gauche d'un ancien talweg	Vecteur moyennement continu	En partie déboisée
1.09.014	P217	5 Sud	Q99311/42-43	Rivière au Tonnerre et mer de Goldthwait	Rivière au Tonnerre	90	Îlot au centre d'une ancienne baie, lorsque la mer était à 80 mètres. Haute terrasse fluviale, rive gauche d'un ancien talweg.	Espace périphérique en diachronie	Boisée
1.09.015	P218	5 Sud	Q99311/42-43	Rivière au Tonnerre et mer de Goldthwait	Rivière au Tonnerre	90	Îlot au centre d'une ancienne baie, lorsque la mer était à 80 mètres. Haute terrasse fluviale, rive gauche d'un ancien talweg.	Espace périphérique en diachronie	En partie déboisée

N° de ZONE	EN CONTINU	FEUILLET 1/20 000	COUPLE STÉRÉOSCOPIQUE	REPÈRE HYDROGRAPHIQUE	BASSIN HYDROGRAPHIQUE	ALTITUDE (m)	GÉOMORPHOLOGIE	GRAPHE TOPOLOGIQUE	INTÉGRITÉ EN 2004
1.09.016	P219	5 Sud	Q99311/42-43	Rivière au Tonnerre et mer de Goldthwait	Rivière au Tonnerre	90	Îlot au centre d'une ancienne baie, lorsque la mer était à 80 mètres. Haute terrasse fluviale, rive droite de la rivière principale.	Espace périphérique en diachronie	En partie déboisée
1.09.017	P220	5 Sud	Q99311/42-43	Rivière au Tonnerre	Rivière au Tonnerre	75	Basse terrasse fluviale; rive droite	Vecteur moyennement continu	Boisée
1.09.018	P221	5 Sud	Q99311/42-43	Rivière au Tonnerre	Rivière au Tonnerre	80	Basse terrasse fluviale; forme une grande pointe sur la rive gauche de la rivière	Vecteur moyennement continu	Boisée
1.09.019	P222	5 Sud	Q99311/42-43	Rivière au Tonnerre	Rivière au Tonnerre	75	Basse terrasse fluviale; forme une longue bande sur la rive droite	Vecteur moyennement continu	Boisée
1.09.020	P223	5 Sud	Q99307/92-93	Rivière au Tonnerre	Rivière au Tonnerre	75	Basse terrasse fluviale; forme une longue bande sur la rive gauche	Vecteur moyennement continu	Boisée
1.09.021	P224	5 Sud	Q99307/92-93	Rivière au Tonnerre et mer de Goldthwait	Rivière au Tonnerre	90	Haute terrasse fluviale et terrasse marine	Espace périphérique en diachronie	Boisée
1.09.022	P225	5 Sud	Q99307/92-93	Rivière au Tonnerre et mer de Goldthwait	Rivière au Tonnerre	90	Haute terrasse fluviale et terrasse marine	Espace périphérique en diachronie	Boisée
1.09.023	P226	5 Sud	Q99307/91-92	Mer de Goldthwait	Secondaire 13	90	Terrasse marine; ligne de rivage à l'est	Espace périphérique en diachronie	Boisée
1.09.024	P227	5 Sud	Q99307/92-93	Rivière au Tonnerre	Rivière au Tonnerre	75	Basse terrasse fluviale; rive droite	Vecteur moyennement continu	Boisée
1.09.025	P228	5 Sud	Q99307/92-93	Rivière au Tonnerre	Rivière au Tonnerre	75	Basse terrasse fluviale; rive droite. Très bariolée par des traces de paléo-méandres	Vecteur moyennement continu	Boisée
1.09.026	P229	5 Sud	Q99307/92-93	Rivière au Tonnerre	Rivière au Tonnerre	80	Terrasse fluviale; rive droite	Vecteur moyennement continu	Boisée; la partie ouest est déboisée. Chevauchement partiel avec inventaire de Chevrier et Castonguay (1976)
1.09.027	P230	5 Sud	Q99307/92-93	Rivière au Tonnerre	Rivière au Tonnerre	75	Basse terrasse fluviale; rive gauche. Très bariolée par des traces de paléo-méandres	Vecteur moyennement continu	Boisée. Chevauchement avec inventaire de Chevrier et Castonguay (1976)
1.09.028	P231	5 Sud	Q99307/92-93	Rivière au Tonnerre	Rivière au Tonnerre	75	Basse terrasse fluviale; à l'intérieur d'une boucle de paléo-méandre	Vecteur moyennement continu	Boisée. Chevauchement avec inventaire de Chevrier et Castonguay (1976)

N° de ZONE	EN CONTINU	FEUILLET 1/20 000	COUPLE STÉRÉOSCOPIQUE	REPÈRE HYDROGRAPHIQUE	BASSIN HYDROGRAPHIQUE	ALTITUDE (m)	GÉOMORPHOLOGIE	GRAPHE TOPOLOGIQUE	INTÉGRITÉ EN 2004
1.09.029	P232	5 Sud	Q99307/92-93	Rivière au Tonnerre	Rivière au Tonnerre	75	Basse terrasse fluviale; rive gauche d'un paléo-méandre	Vecteur moyennement continu	Boisée. Chevauchement avec inventaire de Chevrier et Castonguay (1976)
1.09.030	P233	5 Sud	Q99307/92-93	Rivière au Tonnerre	Rivière au Tonnerre	75	Basse terrasse fluviale; tout l'intérieur d'une boucle de paléo-méandre	Vecteur moyennement continu	Boisée. Chevauchement avec inventaire de Chevrier et Castonguay (1976)
1.09.031	P234	5 Sud	Q99307/92-93	Rivière au Tonnerre	Rivière au Tonnerre	90	Haute terrasse fluviale; rive gauche	Espace périphérique en diachronie	Boisée. Chevauchement avec inventaire de Chevrier et Castonguay (1976)
1.09.032	P235	5 Sud	Q99307/92-93 et Q99302/38-39	Mer de Goldthwait et rivière au Tonnerre	Rivière au Tonnerre	80	Haute terrasse fluviale et terrasse marine. Immense surface d'accueil	Espace périphérique en diachronie	Boisée. Chevauchement avec inventaire de Chevrier et Castonguay (1976)
1.09.033	P236	5 Sud	Q99307/92-93	Mer de Goldthwait et rivière au Tonnerre	Rivière au Tonnerre	80	Haute terrasse fluviale et terrasse marine. Sur le côté droit de la rivière, en face de la zone 1.09.032	Espace périphérique en diachronie	Boisée. Chevauchement avec inventaire de Chevrier et Castonguay (1976)
1.09.034	P237	5 Sud	Q99307/93-94	Mer de Goldthwait et rivière au Tonnerre	Rivière au Tonnerre	90	Haute terrasse fluviale et terrasse marine. Séparée de la P238 par un petit ressaut	Espace périphérique en diachronie	Boisée. Chevauchement avec inventaire de Chevrier et Castonguay (1976)
1.09.035	P238	5 Sud	Q99307/93-94	Mer de Goldthwait et rivière au Tonnerre	Rivière au Tonnerre	80	Haute terrasse fluviale et terrasse marine.	Espace périphérique en diachronie	Boisée. Chevauchement avec inventaire de Chevrier et Castonguay (1976)
1.09.036	P239	5 Sud	Q99307/93-94	Mer de Goldthwait et rivière au Tonnerre	Rivière au Tonnerre	90	Haute terrasse fluviale et terrasse marine.	Espace périphérique en diachronie	Déboisée. Chevauchement avec inventaire de Chevrier et Castonguay (1976)
1.09.037	P240	5 Sud	Q99307/94-95	Mer de Goldthwait et rivière au Tonnerre	Rivière au Tonnerre	90	Haute terrasse fluviale et terrasse marine.	Espace périphérique en diachronie	Boisée; Longée au nord et à l'ouest par deux chemins. Chevauchement avec inventaire de Chevrier et Castonguay (1976)
1.09.038	P241	5 Sud	Q99302/38-39	Rivière au Tonnerre	Rivière au Tonnerre	50	Haute terrasse fluviale; rive gauche	Espace périphérique en diachronie	Boisée. Chevauchement avec inventaire de Chevrier et Castonguay (1976)
1.09.039	P242	5 Sud	Q99307/94-95	Rivière au Tonnerre	Rivière au Tonnerre	40	Haute terrasse fluviale; rive droite. La surface porte des empreintes de cordons pré-littoraux	Vecteur moyennement continu	Déboisée. Chevauchement avec inventaire de Chevrier et Castonguay (1976)
1.09.040	P243	5 Sud	Q99307/94-95	Rivière au Tonnerre	Rivière au Tonnerre	40	Haute terrasse fluviale; rive droite. La surface porte des empreintes de cordons pré-littoraux	Vecteur moyennement continu	Déboisée. Chevauchement avec inventaire de Chevrier et Castonguay (1976)

N° de ZONE	EN CONTINU	FEUILLET 1/20 000	COUPLE STÉRÉOSCOPIQUE	REPÈRE HYDROGRAPHIQUE	BASSIN HYDROGRAPHIQUE	ALTITUDE (m)	GÉOMORPHOLOGIE	GRAPHE TOPOLOGIQUE	INTÉGRITÉ EN 2004
1.09.041	P244	5 Sud	Q99307/93-94	Rivière au Tonnerre	Rivière au Tonnerre	25	Basse terrasse fluviale; rive droite. Surface parcourue de traces de paléo-méandres	Vecteur moyennement continu	En partie déboisée. Chevauchement avec inventaire de Chevrier et Castonguay (1976)
1.09.042	P245	5 Sud	Q99307/94-95	Rivière au Tonnerre	Rivière au Tonnerre	25	Basse terrasse fluviale; rive gauche. Longue bande étroite	Vecteur moyennement continu	Boisée. Chevauchement avec inventaire de Chevrier et Castonguay (1976)
1.09.043	P246	5 Sud	Q99307/94-95	Rivière au Tonnerre	Rivière au Tonnerre	25	Basse terrasse fluviale; rive droite	Vecteur moyennement continu	Boisée. Chevauchement avec inventaire de Chevrier et Castonguay (1976)
1.09.044	P247	5 Sud	Q99302/37-38	Rivière au Tonnerre	Rivière au Tonnerre	28	Terrasse fluviale; rive droite	Vecteur moyennement continu	Boisée. Chevauchement avec inventaire de Chevrier et Castonguay (1976)
1.09.045	P248	5 Sud	Q99302/37-38	Rivière au Tonnerre	Rivière au Tonnerre	40	Haute terrasse fluviale; rive gauche	Vecteur moyennement continu	Boisée. Chevauchement avec inventaire de Chevrier et Castonguay (1976)
1.09.046	P249	5 Sud	Q99302/37-38	Rivière au Tonnerre	Rivière au Tonnerre	40	Haute terrasse fluviale; rive droite	Vecteur moyennement continu	En partie déboisée. Chevauchement avec inventaire de Chevrier et Castonguay (1976)
1.09.047	P250	5 Sud	Q99302/37-38	Mer de Goldthwait	Rivière au Tonnerre	45	Terrasse marine	Espace périphérique en diachronie	En partie déboisée. Chevauchement avec inventaire de Chevrier et Castonguay (1976)
1.09.048	P251	5 Sud	Q99302/38-39	Mer de Goldthwait	Rivière au Tonnerre	50	Terrasse marine	Espace périphérique en diachronie	Boisée. Chevauchement avec inventaire de Chevrier et Castonguay (1976)
1.09.049	P252	5 Sud	Q99302/38-39	Mer de Goldthwait	Secondaire 13	50	Terrasse marine	Espace périphérique en diachronie	Boisée. Chevauchement avec inventaire de Chevrier et Castonguay (1976)
1.09.050	P253	5 Sud	Q99307/93-94	Rivière au Tonnerre	Rivière au Tonnerre	75	Basse terrasse fluviale; rive droite	Vecteur moyennement continu	En partie déboisée. Chevauchement avec inventaire de Chevrier et Castonguay (1976)
1.09.051	P254	5 Sud	Q99302/39-40	Mer de Goldthwait	Secondaire 13	80	Terrasse marine; rebord d'un replat occupé par des tourbières	Vecteur continu en diachronie	Boisée. Chevauchement avec inventaire de Chevrier et Castonguay (1976)
1.09.052	P255	5 Sud	Q99302/39-40	Mer de Goldthwait	Secondaire 13	80	Terrasse marine; rebord d'un replat occupé par des tourbières	Vecteur continu en diachronie	Boisée. Chevauchement avec inventaire de Chevrier et Castonguay (1976)

N° de ZONE	EN CONTINU	FEUILLET 1/20 000	COUPLE STÉRÉOSCOPIQUE	REPÈRE HYDROGRAPHIQUE	BASSIN HYDROGRAPHIQUE	ALTITUDE (m)	GÉOMORPHOLOGIE	GRAPHE TOPOLOGIQUE	INTÉGRITÉ EN 2004
1.09.053	P256	5 Sud	Q99302/39-40	Mer de Goldthwait	Secondaire 13	80	Terrasse marine; rebord d'un replat occupé par des tourbières	Vecteur continu en diachronie	Boisée. Chevauchement partiel avec inventaire de Chevrier et Castonguay (1976)
1.09.054	P257	5 Sud	Q99302/39-40	Mer de Goldthwait	Secondaire 13	80	Terrasse marine; rebord d'un replat occupé par des tourbières	Vecteur continu en diachronie	Boisée
1.09.055	P258	5 Sud	Q99302/40-41	Mer de Goldthwait	Secondaire 13	80	Terrasse marine; rebord d'un replat occupé par des tourbières	Vecteur continu en diachronie	Boisée
1.09.056	P259	5 Sud	Q99302/41-42	Mer de Goldthwait	Secondaire 13	70	Terrasse marine; rebord d'un replat occupé par des tourbières	Vecteur continu en diachronie	Boisée
1.09.057	P260	5 Sud	Q99302/41-42	Mer de Goldthwait	Secondaire 13	70	Terrasse marine; rebord d'un replat occupé par des tourbières	Vecteur continu en diachronie	Boisée
1.09.058	P261	5 Sud	Q99302/41-42	Mer de Goldthwait	Secondaire 13	70	Terrasse marine; rebord d'un replat occupé par des tourbières	Vecteur continu en diachronie	Boisée
1.09.059	P262	5 Sud	Q99302/42-43	Mer de Goldthwait	Secondaire 13	60	Terrasse marine; rebord d'un replat occupé par des tourbières	Vecteur continu en diachronie	Boisée
1.09.060	P263	5 Sud	Q99302/42-43	Mer de Goldthwait	Secondaire 13	60	Terrasse marine; rebord d'un replat occupé par des tourbières	Vecteur continu en diachronie	Boisée
1.09.061	P264	5 Sud	Q99302/43-44	Mer de Goldthwait	Secondaire 13	60	Terrasse marine; rebord d'un replat occupé par des tourbières. Sur toute la longueur, on observe des cordons pré-littoraux, à la perpendiculaire du talus	Vecteur continu en diachronie	En partie déboisée
1.09.062	P265	5 Sud	Q99302/44-45	Mer de Goldthwait	Secondaire 13	50	Terrasse marine; rebord d'un replat occupé par des tourbières. Sur toute la longueur, on observe des cordons pré-littoraux, à la perpendiculaire du talus	Vecteur continu en diachronie	En partie déboisée
1.09.063	P266	5 Sud	Q99302/41-42	Mer de Goldthwait	Secondaire 13	25	Replat d'une terrasse marine; la surface est parcourue par des cordons pré-littoraux parallèles au talus	Vecteur continu en diachronie	Boisée; traversée par la ligne à 161 kV
1.09.064	P267	5 Sud	Q99311/44-45	Mer de Goldthwait et rivière au Tonnerre	Rivière au Tonnerre	100	Haute terrasse fluviale et terrasse marine. Belle surface d'accueil reliée à un ruisseau	Espace périphérique en diachronie	Boisée

N° de ZONE	EN CONTINU	FEUILLET 1/20 000	COUPLE STÉRÉOSCOPIQUE	REPÈRE HYDROGRAPHIQUE	BASSIN HYDROGRAPHIQUE	ALTITUDE (m)	GÉOMORPHOLOGIE	GRAPHE TOPOLOGIQUE	INTÉGRITÉ EN 2004
1.09.065	P268	5 Sud	Q99311/46-47	Ruisseau sans nom (lac Maloney)	Rivière Jupitagon	75	Basse terrasse fluviale; rive droite. Au pied d'une petite chute	Vecteur discontinu	Boisée, longée par un chemin
1.09.066	P269	5 Sud	Q99311/46-47	Ruisseau sans nom (lac Maloney)	Rivière Jupitagon	75	Basse terrasse fluviale; rive droite	Vecteur discontinu	Boisée, longée par un chemin
1.09.067	P270	5 Sud	Q99311/46-47	Ruisseau sans nom (lac Maloney)	Rivière Jupitagon	75	Basse terrasse fluviale; rive droite	Vecteur discontinu	Boisée, longée par un chemin
1.09.068	P271	5 Sud	Q99311/47-48	Ruisseau sans nom (lac Maloney)	Rivière Jupitagon	65	Basse terrasse fluviale; rive droite	Vecteur discontinu	Boisée, longée par un chemin
1.09.069	P272	5 Sud	Q99307/88-89	Ruisseau sans nom (lac Maloney) et mer de Goldthwait	Rivière Jupitagon	75	Terrasse fluviale; rive droite et terrasse marine. La surface est parcourue par des cordons pré-littoraux parallèles au talus	Vecteur discontinu	Déboisée, longée par un chemin
1.09.070	P273	5 Sud	Q99311/49-50	Rivière Jupitagon	Rivière Jupitagon	50	Basse terrasse fluviale; rive droite	Vecteur discontinu	Boisée
1.09.071	P274	5 Sud	Q99311/49-50	Rivière Jupitagon	Rivière Jupitagon	50	Basse terrasse fluviale; rive gauche. Bande étroite bosselée	Vecteur discontinu	En partie déboisée
1.09.072	P275	5 Sud	Q99311/49-50	Rivière Jupitagon	Rivière Jupitagon	50	Basse terrasse fluviale; rive droite	Vecteur discontinu	En partie déboisée
1.09.073	P276	5 Sud	Q99311/49-50	Rivière Jupitagon	Rivière Jupitagon	50	Basse terrasse fluviale; rive droite. Mince bande le long de la rivière	Vecteur discontinu	Boisée
1.09.074	P277	5 Sud	Q99307/85-86	Rivière Jupitagon	Rivière Jupitagon	50	Basse terrasse fluviale; rive gauche. Le centre est bosselé par la roche en place.	Vecteur discontinu	Boisée
1.09.075	P278	5 Sud	Q99307/85-86	Rivière Jupitagon	Rivière Jupitagon	50	Basse terrasse fluviale; rive gauche	Vecteur discontinu	Boisée
1.09.076	P279	5 Sud	Q99307/84-85	Rivière Jupitagon	Rivière Jupitagon	40	Terrasse fluviale; rive gauche	Vecteur discontinu	Boisée. Chevauchement avec inventaire de Chevrier et Castonguay (1976)
1.10.001	P280	5 Sud	Q99311/56-57	Mer de Goldthwait et rivière Magpie	Rivière Magpie	40	Haute terrasse fluviale et terrasse marine	Espace périphérique	En partie déboisée. Chevauchement avec inventaire de Chevrier et Castonguay (1976)
1.10.002	P281	5 Sud	Q99311/56-57	Mer de Goldthwait et rivière Magpie	Rivière Magpie	30	Terrasse fluviale et terrasse marine; légèrement en contrebas de la zone 1.10.001	Espace périphérique	En partie déboisée. Chevauchement avec inventaire de Chevrier et Castonguay (1976)

N° de ZONE	EN CONTINU	FEUILLET 1/20 000	COUPLE STÉRÉOSCOPIQUE	REPÈRE HYDROGRAPHIQUE	BASSIN HYDROGRAPHIQUE	ALTITUDE (m)	GÉOMORPHOLOGIE	GRAPHE TOPOLOGIQUE	INTÉGRITÉ EN 2004
1.10.003	P282	5 Sud	Q99311/57-58	Mer de Goldthwait et rivière Magpie	Rivière Magpie	40	Haute terrasse fluviale et terrasse marine	Espace périphérique	Boisée; traversée par la ligne à 161 kV. Chevauchement avec inventaire de Chevrier et Castonguay (1976)
1.10.004	P283	5 Sud	Q99311/57-58	Mer de Goldthwait et rivière Magpie	Rivière Magpie	30	Terrasse fluviale et terrasse marine; légèrement en contrebas de la zone 1.10.003	Espace périphérique	Boisée; traversée par la ligne à 161 kV. Chevauchement avec inventaire de Chevrier et Castonguay (1976)
1.10.005	P284	5 Sud	Q99311/57-58	Mer de Goldthwait et rivière Magpie	Rivière Magpie	30	Terrasse fluviale et terrasse marine; légèrement en contrebas de la zone 1.10.003	Espace périphérique	Boisée; traversée par la ligne à 161 kV. Chevauchement avec inventaire de Chevrier et Castonguay (1976)
1.10.006	P285	5 Sud	Q99311/57-58	Mer de Goldthwait et rivière Magpie	Rivière Magpie	50	Terrasse marine et haute terrasse fluviale. On distingue, juste au pied du talus, une série de cordons pré-littoraux	Espace périphérique en diachronie	En partie boisée et traversée par la ligne à 161 kV. Chevauchement partiel avec inventaire de Chevrier et Castonguay (1976)
1.10.007	P286	5 Sud	Q99311/58-59	Mer de Goldthwait et rivière Magpie	Rivière Magpie	70	Terrasse marine et haute terrasse fluviale	Espace périphérique en diachronie	Boisée. Chevauchement partiel avec inventaire de Chevrier et Castonguay (1976)
1.10.008	P287	5 Sud	Q99311/58-59	Mer de Goldthwait et rivière Magpie	Rivière Magpie	80	Haute terrasse marine et haute terrasse fluviale. La surface d'accueil est exceptionnelle.	Espace périphérique en diachronie	En partie boisée
1.10.009	P288	5 Sud	Q99311/59-60	Mer de Goldthwait	Secondaire 15	80	Terrasse marine. La surface d'accueil est exceptionnelle.	Vecteur continu en diachronie	Déboisée et traversée par la ligne à 161 kV
1.10.010	P289	5 Sud	Q99311/59-60	Mer de Goldthwait	Secondaire 15	80	Terrasse marine. La surface d'accueil est exceptionnelle.	Vecteur continu en diachronie	Déboisée et traversée par la ligne à 161 kV
1.11.001	P290	4 Sud	Q99301/64-65	Rivière Saint-Jean	Rivière Saint-Jean	50	Haute terrasse fluviale; rive droite. Petite surface d'accueil	Vecteur continu	En partie boisée
1.11.002	P291	4 Sud	Q99301/64-65	Rivière Saint-Jean	Rivière Saint-Jean	60	Haute terrasse fluviale; rive droite. La partie arrière présente un espace gisant.	Vecteur continu	Boisée
1.11.003	P292	4 Sud	Q99301/64-65	Rivière Saint-Jean	Rivière Saint-Jean	20	Terrasse fluviale; rive droite	Vecteur continu	En partie boisée
1.11.004	P293	4 Sud	Q99301/64-65	Rivière Saint-Jean	Rivière Saint-Jean	10	Basse terrasse fluviale; rive droite	Vecteur continu	En partie boisée
1.11.005	P294	4 Sud	Q99301/64-65	Rivière Saint-Jean	Rivière Saint-Jean	5	Basse terrasse fluviale; rive droite. Surface rugueuse	Vecteur continu	Déboisée
1.11.006	P295	4 Sud	Q99301/64-65	Rivière Saint-Jean	Rivière Saint-Jean	10	Basse terrasse fluviale; rive gauche. Surface bosselée	Vecteur continu	En partie boisée

N° de ZONE	EN CONTINU	FEUILLET 1/20 000	COUPLE STÉRÉOSCOPIQUE	REPÈRE HYDROGRAPHIQUE	BASSIN HYDROGRAPHIQUE	ALTITUDE (m)	GÉOMORPHOLOGIE	GRAPHE TOPOLOGIQUE	INTÉGRITÉ EN 2004
1.11.007	P296	4 Sud	Q99301/64-65	Rivière Saint-Jean	Rivière Saint-Jean	50	Haute terrasse fluviale; rive gauche. Petite surface résiduelle	Vecteur continu	Boisée
1.11.008	P297	4 Sud	Q99311/68-69	Rivière Saint-Jean	Rivière Saint-Jean	40	Haute terrasse fluviale; rive droite. Séparée de 1.11.009 par un petit talus	Vecteur continu	En partie boisée et traversée par la ligne à 161 kV
1.11.009	P298	4 Sud	Q99311/68-69	Rivière Saint-Jean	Rivière Saint-Jean	35	Terrasse fluviale; rive droite. En contrebas de 1.11.008	Vecteur continu	Déboisée et traversée par la ligne à 161 kV et par un chemin
1.11.010	P299	4 Sud	Q99311/68-69	Rivière Saint-Jean	Rivière Saint-Jean	10	Basse terrasse fluviale; rive droite	Vecteur continu	En partie boisée et traversée par la ligne à 161 kV
1.11.011	P300	4 Sud	Q99311/68-69	Rivière Saint-Jean	Rivière Saint-Jean	10	Basse terrasse fluviale; rive gauche. Un léger bombement suit la berge.	Vecteur continu	En partie boisée
1.11.012	P301	4 Sud	Q99311/68-69	Rivière Saint-Jean	Rivière Saint-Jean	50	Haute terrasse fluviale; rive gauche. L'extrémité nord d'une plus grande surface	Vecteur continu	Déboisée
1.12.001	P302	4 Sud	Q99301/60-61	Mer de Goldthwait	Rivière Mingan	60	Haut de paléo-plage limité au sud par un petit talus. Limite nord d'une série de cordons pré-littoraux	Vecteur continu en diachronie	Boisée
1.12.002	P303	4 Sud	Q99301/59 à 61	Mer de Goldthwait et rivière Manitou Nord-Ouest	Rivière Mingan	60	Haut de paléo-plage limité au sud par un petit talus. Limite nord d'une série de cordons pré-littoraux. L'extrémité est est coupé par la rivière.	Vecteur continu en diachronie et vecteur discontinu	En partie boisée
1.12.003	P304	4 Sud	Q99301/59-60	Rivière Manitou Nord-Ouest	Rivière Mingan	70	Basse terrasse fluviale; rive droite	Vecteur discontinu	En partie boisée, traversée par un chemin
1.12.004	P305	4 Sud	Q99301/59-60	Rivière Manitou Nord-Ouest	Rivière Mingan	70	Basse terrasse fluviale; rive gauche	Vecteur discontinu	Boisée
1.12.005	P306	4 Sud	Q99301/59-60	Rivière Manitou Nord-Ouest	Rivière Mingan	70	Basse terrasse fluviale; rive droite	Vecteur discontinu	Boisée
1.12.006	P307	4 Sud	Q99301/59-60	Rivière Manitou Nord-Ouest	Rivière Mingan	65	Basse terrasse fluviale; rive droite	Vecteur discontinu	Boisée. Chevauchement avec inventaire de Chevrier et Castonguay (1976)
1.12.007	P308	4 Sud	Q99301/59-60	Rivière Manitou Nord-Ouest	Rivière Mingan	65	Basse terrasse fluviale; rive gauche	Vecteur discontinu	Boisée. Chevauchement avec inventaire de Chevrier et Castonguay (1976)

N° de ZONE	EN CONTINU	FEUILLET 1/20 000	COUPLE STÉRÉOSCOPIQUE	REPÈRE HYDROGRAPHIQUE	BASSIN HYDROGRAPHIQUE	ALTITUDE (m)	GÉOMORPHOLOGIE	GRAPHE TOPOLOGIQUE	INTÉGRITÉ EN 2004
1.12.008	P309	4 Sud	Q99301/59-60	Rivière Manitou Nord-Ouest	Rivière Mingan	65	Basse terrasse fluviale; rive droite	Vecteur discontinu	Déboisée; camp sur une des pointes. Chevauchement avec inventaire de Chevrier et Castonguay (1976)
1.12.009	P310	4 Sud	Q99301/59-60	Rivière Manitou Nord-Ouest	Rivière Mingan	65	Basse terrasse fluviale; rive droite	Vecteur discontinu	Déboisée; camp sur la pointe. Chevauchement avec inventaire de Chevrier et Castonguay (1976)
1.12.010	P311	4 Sud	Q99301/59-60	Rivière Manitou Nord-Ouest	Rivière Mingan	60	Basse terrasse fluviale; rive droite	Vecteur discontinu	Boisée et traversée par un chemin. Chevauchement avec inventaire de Chevrier et Castonguay (1976)
1.12.011	P312	4 Sud	Q99301/59-60	Rivière Manitou Nord-Ouest	Rivière Mingan	60	Basse terrasse fluviale; rive gauche	Vecteur discontinu	Boisée. Chevauchement avec inventaire de Chevrier et Castonguay (1976)
1.12.012	P313	4 Sud	Q99301/58-59	Mer de Goldthwait et rivière Manitou Nord-Ouest	Rivière Mingan	70	Terrasse marine et haute terrasse fluviale	Vecteur continu en diachronie et vecteur discontinu	Boisée. Chevauchement avec inventaire de Chevrier et Castonguay (1976)
1.12.013	P314	4 Sud	Q99311/74-75	Mer de Goldthwait et rivière Manitou Nord-Ouest	Rivière Mingan	25	Terrasse marine et haute terrasse fluviale	Vecteur continu en diachronie et vecteur discontinu	En partie boisée et traversée par la ligne à 161 kV. Chevauchement avec inventaire de Chevrier et Castonguay (1976)
1.12.014	P315	4 Sud	Q99311/74-75	Rivière Manitou Nord-Ouest	Rivière Mingan	20	Basse terrasse fluviale; rive droite	Vecteur discontinu	Boisée. Chevauchement avec inventaire de Chevrier et Castonguay (1976)
1.12.015	P316	4 Sud	Q99311/75-76	Rivière Manitou Nord-Ouest	Rivière Mingan	15	Basse terrasse fluviale; rive gauche	Vecteur discontinu	Boisée. Chevauchement avec inventaire de Chevrier et Castonguay (1976)
1.12.016	P317	4 Sud	Q99311/75-76	Rivière Manitou Nord-Ouest	Rivière Mingan	15	Basse terrasse fluviale; rive gauche	Vecteur discontinu	Boisée. Chevauchement avec inventaire de Chevrier et Castonguay (1976)
1.12.017	P318	4 Sud	Q99311/75-76	Rivière Manitou Nord-Ouest	Rivière Mingan	15	Basse terrasse fluviale; rive droite	Vecteur discontinu	Déboisée et traversée par un chemin. Chevauchement avec inventaire de Chevrier et Castonguay (1976)
1.12.018	P319	4 Sud	Q99300/81-82	Ruisseau sans nom relié au lac Washao	Rivière Mingan	90	Haute terrasse fluviale; rive gauche. Très beau replat	Vecteur discontinu	Boisée
1.12.019	P320	4 Sud	Q99300/83-84	Rivière Manitou	Rivière Mingan	110	Haute terrasse fluviale; rive droite. Le replat s'appuie sur un petit dôme en roche en place, en son centre.	Vecteur moyennement continu	Déboisée

N° de ZONE	EN CONTINU	FEUILLET 1/20 000	COUPLE STÉRÉOSCOPIQUE	REPÈRE HYDROGRAPHIQUE	BASSIN HYDROGRAPHIQUE	ALTITUDE (m)	GÉOMORPHOLOGIE	GRAPHE TOPOLOGIQUE	INTÉGRITÉ EN 2004
1.12.020	P321	4 Sud	Q99300/83-84	Rivière Manitou	Rivière Mingan	110	Haute terrasse fluviale; rive droite. Bande très étroite séparée de 1.12.021 par un petit talus	Vecteur moyennement continu	Déboisée
1.12.021	P322	4 Sud	Q99300/83-84	Rivière Manitou	Rivière Mingan	100	Terrasse fluviale; rive droite	Vecteur moyennement continu	Déboisée
1.12.022	P323	4 Sud	Q99300/83-84	Rivière Manitou	Rivière Mingan	100	Basse terrasse fluviale; rive gauche	Vecteur moyennement continu	Boisée
1.12.023	P324	4 Sud	Q99300/83-84	Rivière Manitou	Rivière Mingan	110	Haute terrasse fluviale; rive gauche. Belle surface d'accueil	Vecteur moyennement continu	Déboisée
1.12.024	P325	4 Sud	Q99300/83-84	Rivière Manitou	Rivière Mingan	95	Basse terrasse fluviale; rive gauche	Vecteur moyennement continu	Boisée en partie
1.12.025	P326	4 Sud	Q99300/83-84	Rivière Manitou	Rivière Mingan	100	Haute terrasse fluviale; rive gauche	Vecteur moyennement continu	Déboisée
1.12.026	P327	4 Sud	Q99300/83-84	Rivière Manitou	Rivière Mingan	90	Basse terrasse fluviale; rive gauche	Vecteur moyennement continu	Déboisée
1.12.027	P328	4 Sud	Q99300/83-84	Rivière Manitou	Rivière Mingan	100	Haute terrasse fluviale; rive droite. Voisine d'une cuvette de culot de glace morte	Vecteur moyennement continu	Déboisée
1.12.028	P329	4 Sud	Q99300/83-84	Rivière Manitou	Rivière Mingan	85	Basse terrasse fluviale; rive droite	Vecteur moyennement continu	En partie déboisée
1.12.029	P330	4 Sud	Q99300/83-84	Rivière Manitou	Rivière Mingan	85	Basse terrasse fluviale; rive droite. Île	Vecteur moyennement continu	En partie déboisée
1.12.030	P331	4 Sud	Q99300/82-83	Rivière Manitou	Rivière Mingan	100	Haute terrasse fluviale; rive droite	Vecteur moyennement continu	Déboisée
1.12.031	P332	4 Sud	Q99300/82-83	Rivière Manitou	Rivière Mingan	90	Basse terrasse fluviale; rive gauche	Vecteur moyennement continu	En partie déboisée
1.12.032	P333	4 Sud	Q99300/82-83	Rivière Manitou	Rivière Mingan	90	Basse terrasse fluviale; rive droite	Vecteur moyennement continu	En partie déboisée

N° de ZONE	EN CONTINU	FEUILLET 1/20 000	COUPLE STÉRÉOSCOPIQUE	REPÈRE HYDROGRAPHIQUE	BASSIN HYDROGRAPHIQUE	ALTITUDE (m)	GÉOMORPHOLOGIE	GRAPHE TOPOLOGIQUE	INTÉGRITÉ EN 2004
1.12.033	P334	4 Sud	Q99301/53-54	Rivière Manitou	Rivière Mingan	65	Basse terrasse fluviale; rive droite. Au pied de la chute Kastjekawt	Espace annexe	Boisée
1.12.034	P335	4 Sud	Q99301/53-54	Rivière Manitou	Rivière Mingan	65	Basse terrasse fluviale; rive droite	Espace annexe	Boisée
1.12.035	P336	4 Sud	Q99301/46-47	Rivière Mingan	Rivière Mingan	60	Terrasse fluviale; rive gauche. Traversée en son centre par un talweg	Vecteur continu	Boisée
1.12.036	P337	4 Sud	Q99301/46-47	Rivière Mingan et mer de Goldthwait	Rivière Mingan	80	Terrasse marine dominant l'aval de la rivière	Espace central en diachronie	Déboisée et rejointe par un chemin
1.12.037	P338	4 Sud	Q99301/46-47	Rivière Mingan	Rivière Mingan	25	Basse terrasse fluviale; rive gauche. Un peu en retrait du talweg principal	Vecteur continu	Boisée
1.12.038	P339	4 Sud	Q99301/46-47	Rivière Mingan	Rivière Mingan	25	Basse terrasse fluviale; rive gauche. Un peu en retrait du talweg principal. Île dessinée par un paléo-méandre.	Vecteur continu	Boisée
1.12.039	P340	4 Sud	Q99301/46-47	Rivière Mingan	Rivière Mingan	25	Basse terrasse fluviale; rive gauche. Un peu en retrait du talweg principal. Île dessinée par un paléo-méandre.	Vecteur continu	Boisée
1.12.040	P341	4 Sud	Q99301/46-47	Rivière Mingan	Rivière Mingan	25	Basse terrasse fluviale; rive gauche. Un peu en retrait du talweg principal	Vecteur continu	Boisée
1.12.041	P342	4 Sud	Q99301/47-48	Rivière Mingan et mer de Goldthwait	Rivière Mingan	60	Haute terrasse fluviale et terrasse marine	Espace central en diachronie	En partie déboisée
1.12.042	P343	4 Sud	Q99311/85-86	Rivière Mingan	Rivière Mingan	50	Haute terrasse fluviale; rive gauche	Vecteur continu	Boisée
1.12.043	P344	4 Sud	Q99301/47-48	Rivière Mingan	Rivière Mingan	20	Basse terrasse fluviale; rive droite	Vecteur continu	Boisée
1.12.044	P345	4 Sud	Q99311/84-85	Rivière Mingan	Rivière Mingan	35	Haute terrasse fluviale; rive gauche	Vecteur continu	Boisée. Un chemin traverse la partie sud
1.12.045	P346	4 Sud	Q99311/84-85	Rivière Mingan	Rivière Mingan	20	Basse terrasse fluviale; rive droite. Légèrement bosselée par un paléo-méandre	Vecteur continu	Boisée
1.12.046	P347	4 Sud	Q99311/84-85	Rivière Mingan	Rivière Mingan	20	Basse terrasse fluviale; rive gauche. Petit amphithéâtre	Vecteur continu	Boisée

N° de ZONE	EN CONTINU	FEUILLET 1/20 000	COUPLE STÉRÉOSCOPIQUE	REPÈRE HYDROGRAPHIQUE	BASSIN HYDROGRAPHIQUE	ALTITUDE (m)	GÉOMORPHOLOGIE	GRAPHE TOPOLOGIQUE	INTÉGRITÉ EN 2004
1.12.047	P348	4 Sud	Q99311/83-84	Rivière Mingan	Rivière Mingan	20	Basse terrasse fluviale; rive gauche. Espace d'accueil très étroit et en pente légère vers la rivière	Vecteur continu	Boisée
1.12.048	P349	4 Sud	Q99311/83-84	Rivière Mingan	Rivière Mingan	20	Basse terrasse fluviale; rive gauche. Légère pente vers la rivière, adjacent à une petite chute	Vecteur continu	En partie boisée et traversée. Chevauchement avec inventaire de Somcynsky (1993)
1.12.049	P350	4 Sud	Q99311/83-84	Rivière Mingan	Rivière Mingan	30	Haute terrasse fluviale; rive gauche	Vecteur continu	En partie boisée et traversée par la ligne à 161 kV. Contient le site EbCx-71. Chevauchement avec inventaire de Somcynsky (1993)
1.12.050	P351	4 Sud	Q99311/83-84	Rivière Mingan	Rivière Mingan	20	Basse terrasse fluviale; rive droite	Vecteur continu	Boisée
1.12.051	P352	4 Sud	Q99311/83-84	Rivière Mingan	Rivière Mingan	20	Basse terrasse fluviale; rive gauche	Vecteur continu	Boisée
1.12.052	P353	4 Sud	Q99311/84-85	Mer de Goldthwait	Rivière Mingan	35-40	Terrasse marine	Espace central en diachronie	Déboisée et suivie par un chemin. Chevauchement partiel avec inventaire de Somcynsky (1993)
1.12.053	P354	4 Sud	Q99311/85-86	Mer de Goldthwait	Secondaire 17	40	Terrasse marine appuyée aux deux extrémités sur des crans rocheux	Espace central en diachronie	Déboisée. Chevauchement partiel avec inventaire de Somcynsky (1993)
1.12.054	P355	4 Sud	Q99311/86-87	Mer de Goldthwait	Secondaire 17	45-50	Terrasse marine; le talus longe en bonne partie le chemin, mais à certains endroits, des talus d'éboulis sont intégrés dans la zone	Espace central en diachronie	Déboisée et traversée par la ligne à 161 kV. Contient les sites EbCx-66, EbCx-70 et EbCx-72. Chevauchement partiel avec inventaire de Somcynsky (1993)
1.12.055	P356	4 Sud	Q99311/87-88	Mer de Goldthwait et bras ouest du ruisseau Kamenakapeu	Secondaire 17	75	Terrasse marine et terrasse fluviale, rive droite	En dehors du graphe topologique	Déboisée
1.12.056	P357	4 Sud	Q99311/86-87	Mer de Goldthwait	Secondaire 17	70	Terrasse marine	Espace central en diachronie	Déboisée
1.12.057	P358	4 Sud	Q99311/87-88	Bras ouest du ruisseau Kamenakapeu	Secondaire 17	75	Terrasse fluviale, rive gauche	En dehors du graphe topologique	Déboisée
1.12.058	P359	4 Sud	Q99311/87-88	Mer de Goldthwait et bras ouest du ruisseau Kamenakapeu	Secondaire 17	75	Terrasse marine et terrasse fluviale, rive droite	En dehors du graphe topologique	Déboisée

N° de ZONE	EN CONTINU	FEUILLET 1/20 000	COUPLE STÉRÉOSCOPIQUE	REPÈRE HYDROGRAPHIQUE	BASSIN HYDROGRAPHIQUE	ALTITUDE (m)	GÉOMORPHOLOGIE	GRAPHE TOPOLOGIQUE	INTÉGRITÉ EN 2004
1.12.059	P360	4 Sud	Q99311/87-88	Mer de Goldthwait et bras ouest du ruisseau Kamenakapeu	Secondaire 17	70	Terrasse marine et terrasse fluviale, rive gauche	En dehors du graphe topologique	Déboisée
1.12.060	P361	4 Sud	Q99311/87-88	Mer de Goldthwait et bras ouest du ruisseau Kamenakapeu	Secondaire 17	70	Terrasse marine et terrasse fluviale, rive droite	En dehors du graphe topologique	Déboisée
1.12.061	P362	4 Sud	Q99311/87 à-89	Mer de Goldthwait et ruisseau Kamenakapeu	Secondaire 17	55-60	Terrasse marine et terrasse fluviale, rive droite	Espace annexe en diachronie	Déboisée
1.12.062	P363	4 Sud	Q99311/87-88	Mer de Goldthwait et bras ouest du ruisseau Kamenakapeu	Secondaire 17	45-50	Terrasse marine et terrasse fluviale, rive gauche	En dehors du graphe topologique	Déboisée. Chevauchement partiel avec inventaire de Somcynsky (1993)
1.12.063	P364	4 Sud	Q99311/87-88	Mer de Goldthwait et bras ouest du ruisseau Kamenakapeu	Secondaire 17	45	Terrasse marine et terrasse fluviale, rive droite	En dehors du graphe topologique	Déboisée et traversée par la ligne à 161 kV.. Chevauchement partiel avec inventaire de Somcynsky (1993)
1.12.064	P365	4 Sud	Q99311/87-88	Mer de Goldthwait et bras ouest du ruisseau Kamenakapeu	Secondaire 17	45	Terrasse marine et terrasse fluviale, rive droite	En dehors du graphe topologique	Déboisée et traversée par la ligne à 161 kV. Contient le site EbCx-65.
1.12.065	P366	4 Sud	Q99311/87-88	Mer de Goldthwait et bras ouest du ruisseau Kamenakapeu	Secondaire 17	30	Terrasse marine et terrasse fluviale, rive droite	En dehors du graphe topologique	Déboisée
1.12.066	P367	4 Sud	Q99311/87-88	Mer de Goldthwait et bras ouest du ruisseau Kamenakapeu	Secondaire 17	25	Terrasse marine et terrasse fluviale, rive droite	En dehors du graphe topologique	Déboisée
1.12.067	P368	4 Sud	Q99311/88-89	Mer de Goldthwait et ruisseau Kamenakapeu	Secondaire 17	25	Terrasse marine et terrasse fluviale, rive droite	Espace annexe en diachronie	Déboisée
1.12.068	P369	4 Sud	Q99301/45-46	Ruisseau Kamenakapeu	Secondaire 17	75	Basse terrasse fluviale; rive gauche. À la convergence de deux cours d'eau	Vecteur discontinu	Boisée
1.12.069	P370	4 Sud	Q99301/45-46	Ruisseau Kamenakapeu	Secondaire 17	75	Basse terrasse fluviale; rive droite. À la convergence de deux cours d'eau	Vecteur discontinu	Boisée
1.12.070	P371	4 Sud	Q99301/45-46	Ruisseau Kamenakapeu	Secondaire 17	75	Basse terrasse fluviale; rive gauche. Appuyée sur un cran rocheux	Vecteur discontinu	Déboisée
1.12.071	P372	4 Sud	Q99301/45-46	Ruisseau Kamenakapeu	Secondaire 17	75	Basse terrasse fluviale; rive gauche. Appuyée sur un cran rocheux	Vecteur discontinu	Déboisée
1.12.072	P373	4 Sud	Q99301/45-46	Ruisseau Kamenakapeu	Secondaire 17	75	Basse terrasse fluviale; rive droite. Surface sablonneuse	Vecteur discontinu	Déboisée

N° de ZONE	EN CONTINU	FEUILLET 1/20 000	COUPLE STÉRÉOSCOPIQUE	REPÈRE HYDROGRAPHIQUE	BASSIN HYDROGRAPHIQUE	ALTITUDE (m)	GÉOMORPHOLOGIE	GRAPHE TOPOLOGIQUE	INTÉGRITÉ EN 2004
1.12.073	P374	4 Sud	Q99311/88-89	Ruisseau Kamenakapeu	Secondaire 17	55-60	Terrasse fluviale; rive droite. Légère pente du sud vers le nord. Adjacente à une petite chute.	Vecteur discontinu	Déboisée
1.12.074	P375	4 Sud	Q99311/88-89	Mer de Goldthwait et ruisseau Kamenakapeu	Secondaire 17	70	Terrasse marine et terrasse fluviale, rive gauche	Espace annexe en diachronie	Déboisée
1.12.075	P376	4 Sud	Q99311/88-89	Mer de Goldthwait et ruisseau Kamenakapeu	Secondaire 17	70	Terrasse marine et terrasse fluviale, rive gauche	Espace annexe en diachronie	Déboisée
1.12.076	P377	4 Sud	Q99311/89-90	Mer de Goldthwait	Secondaire 17	70	Terrasse marine; petit espace sablonneux coincé entre deux crans rocheux.	Espace annexe en diachronie	Déboisée
1.12.077	P378	4 Sud	Q99311/88-89	Mer de Goldthwait	Secondaire 17	55-60	Terrasse marine; le replat est moins gisant que celui du stade à 70 m.	Espace annexe en diachronie	Déboisée
1.12.078	P379	4 Sud	Q99311/88-89	Mer de Goldthwait	Secondaire 17	55-60	Terrasse marine; le replat est moins gisant que celui du stade à 70 m.	Espace annexe en diachronie	Déboisée
1.12.079	P380	4 Sud	Q99311/88-89	Mer de Goldthwait et ruisseau Kamenakapeu	Secondaire 17	50	Terrasse marine et terrasse fluviale, rive gauche. Petit espace bosselé.	Espace annexe en diachronie	Déboisée
1.12.080	P381	4 Sud	Q99311/88-89	Ruisseau Kamenakapeu et mer de Goldthwait	Secondaire 17	35	Terrasse fluviale; rive droite. La surface est bariolée par des cordons pré-littoraux	Espace annexe en diachronie	Déboisée
1.12.081	P382	4 Sud	Q99311/88-89	Mer de Goldthwait et ruisseau Kamenakapeu	Secondaire 17	30-35	Terrasse marine et terrasse fluviale, rive gauche. La surface est particulièrement bosselée.	Espace annexe en diachronie	Déboisée. Chevauchement partiel avec inventaire de Somcynsky (1993)
1.12.082	P383	4 Sud	Q99311/88-89	Mer de Goldthwait et ruisseau Kamenakapeu	Secondaire 17	25	Terrasse marine et terrasse fluviale, rive droite. La surface est traversée par une ligne d'interfluve en son centre. À l'ouest de la zone, le rivage d'une ancienne baie et à l'est, l'amont d'une chute.	Espace annexe en diachronie	Déboisée
1.12.083	P384	3 Sud	Q99311/90-91	Rivière Lechasseur	Secondaire 17	65	Terrasse fluviale; rive droite.	En dehors du graphe topologique	Sans arbres et traversée par un chemin.
1.12.084	P385	3 Sud	Q99311/90-91	Rivière Lechasseur	Secondaire 17	65	Terrasse fluviale; rive gauche. À la convergence de deux petits cours d'eau	En dehors du graphe topologique	Sans arbres et traversée par un chemin.

N° de ZONE	EN CONTINU	FEUILLET 1/20 000	COUPLE STÉRÉOSCOPIQUE	REPÈRE HYDROGRAPHIQUE	BASSIN HYDROGRAPHIQUE	ALTITUDE (m)	GÉOMORPHOLOGIE	GRAPHE TOPOLOGIQUE	INTÉGRITÉ EN 2004
1.12.085	P386	3 Sud	Q99311/90-91	Mer de Goldthwait et rivière Lechasseur	Secondaire 17	25-30	Terrasse marine et terrasse fluviale, rive gauche	Espace annexe en diachronie	Sans arbres et traversée par la ligne à 161 kV. Chevauchement partiel avec inventaire de Somcynsky (1993)
1.12.086	P387	3 Sud	Q99311/90-91	Mer de Goldthwait et rivière Lechasseur	Secondaire 17	22	Lambeau d'une terrasse marine et terrasse fluviale, rive droite	Espace annexe en diachronie	Sans arbres
1.12.087	P388	3 Sud	Q99311/91-92	Rivière Maleck	Rivière Romaine	65	Terrasse fluviale; rive droite.	Vecteur discontinu	Sans arbres
1.12.088	P389	3 Sud	Q99311/91-92	Rivière Maleck	Rivière Romaine	65	Terrasse fluviale; rive droite. Petite anse coincée entre deux crans rocheux.	Vecteur discontinu	Sans arbres
1.12.089	P390	3 Sud	Q99311/91-92	Mer de Goldthwait et rivière Maleck	Rivière Romaine	60	Terrasse marine et terrasse fluviale, rive gauche. La surface est bosselée par des cordons pré-littoraux.	Espace annexe en diachronie	Sans arbres
1.12.090	P391	3 Sud	Q99311/91-92	Mer de Goldthwait et rivière Maleck	Rivière Romaine	60	Terrasse marine et terrasse fluviale, rive droite. La surface est très irrégulière.	Espace annexe en diachronie	Sans arbres
1.12.091	P392	3 Sud	Q99311/91-92	Rivière Maleck	Rivière Romaine	55	Terrasse fluviale; rive gauche. La surface est bosselée par des cordons pré-littoraux.	Vecteur discontinu	Sans arbres et traversée par la ligne à 161 kV. Chevauchement partiel avec inventaire de Somcynsky (1993)
1.12.092	P393	3 Sud	Q99311/91-92	Mer de Goldthwait et rivière Maleck	Rivière Romaine	50-55	Terrasse marine et terrasse fluviale, rive droite.	Espace annexe en diachronie	Sans arbres et traversée par la ligne à 161 kV. Chevauchement partiel avec inventaire de Somcynsky (1993)
1.12.093	P394	3 Sud	Q99311/91-92	Mer de Goldthwait et rivière Maleck	Rivière Romaine	55	Terrasse marine et terrasse fluviale, rive gauche. La surface est très étroite.	Espace annexe en diachronie	Sans arbres
1.12.094	P395	3 Sud	Q99300/95-96	Lacs Kauikuiauatshitest	Rivière Romaine	80	Replat rocheux légèrement en croupe	Vecteur discontinu	Boisée
1.12.095	P396	3 Sud	Q99311/94-95	Ruisseau Uakuaneuetshuahk	Rivière Romaine	50	Terrasse fluviale; rive droite.	Vecteur discontinu	En partie boisée
1.12.096	P397	3 Sud	Q99311/94-95	Ruisseau Uakuaneuetshuahk	Rivière Romaine	50	Terrasse fluviale; rive gauche.	Vecteur discontinu	En partie boisée
1.12.097	P398	3 Sud	Q99311/94-95	Mer de Goldthwait et ruisseau Uakuaneuetshuahk	Rivière Romaine	45	Terrasse marine et terrasse fluviale, rive gauche. La surface est bosselée.	Espace annexe en diachronie	Sans arbres

N° de ZONE	EN CONTINU	FEUILLET 1/20 000	COUPLE STÉRÉOSCOPIQUE	REPÈRE HYDROGRAPHIQUE	BASSIN HYDROGRAPHIQUE	ALTITUDE (m)	GÉOMORPHOLOGIE	GRAPHE TOPOLOGIQUE	INTÉGRITÉ EN 2004
1.12.098	P399	3 Sud	Q99311/94-95	Mer de Goldthwait et ruisseau Uakuaneuetshuahk	Rivière Romaine	45	Terrasse marine et terrasse fluviale, rive droite. La surface est bosselée.	Espace annexe en diachronie	Sans arbres et traversée par la ligne à 161 kV.
1.12.099	P400	3 Sud	Q99311/94-95	Mer de Goldthwait	Rivière Romaine	45-50	Terrasse marine et terrasse fluviale, rive droite. Lambeau de la surface de 1.12.098, individualisée par un petit ruisseau.	Espace annexe en diachronie	Sans arbres et traversée par la ligne à 161 kV.
1.12.100	P401	3 Sud	Q99311/92-93	Mer de Goldthwait	Rivière Romaine	50	Terrasse marine; haut de plage	Espace annexe en diachronie	Sans arbres
1.12.101	P402	3 Sud	Q99311/93-94	Mer de Goldthwait	Rivière Romaine	50	Terrasse marine; haut de plage	Espace annexe en diachronie	Sans arbres et traversée par la ligne à 161 kV.
1.12.102	P403	3 Sud	Q99311/93-94	Mer de Goldthwait	Rivière Romaine	45	Terrasse marine	Espace annexe en diachronie	Sans arbres et traversée par la ligne à 161 kV.
1.12.103	P404	3 Sud	Q99311/93-94	Mer de Goldthwait	Rivière Romaine	30-35	Terrasse marine	Espace annexe en diachronie	Sans arbres
1.12.104	P405	3 Sud	Q99311/94-95	Rivière Romaine	Rivière Romaine	20	Terrasse fluviale; rive droite.	Vecteur continu	Sans arbres
1.12.105	P406	3 Sud	Q99311/94-95	Rivière Romaine	Rivière Romaine	20	Terrasse fluviale; rive droite.	Vecteur continu	Sans arbres
1.12.106	P407	3 Sud	Q99311/95-96	Rivière Romaine	Rivière Romaine	30-35	Terrasse fluviale; rive droite. La surface est bosselée par des cordons pré-littoraux.	Espace annexe	Sans arbres et traversée sur toute la longueur par la ligne à 161 kV.
1.13.001	P408	3 Sud	Q99815/168-169	Rivière Bat-le-Diable	Rivière Romaine	110	Terrasse fluviale à la rencontre de deux petits cours d'eau. La surface rocheuse présente quand même des replats accueillants.	Vecteur discontinu	En partie boisée
1.13.002	P409	3 Sud	Q99815/168-169	Rivière Bat-le-Diable	Rivière Romaine	110	Terrasse fluviale; rive gauche. Rencontre de deux petits cours d'eau.	Vecteur discontinu	En partie boisée
1.13.003	P410	3 Sud	Q99300/100-101	Rivière Bat-le-Diable	Rivière Romaine	65	Terrasse fluviale; rive droite	Vecteur discontinu	Boisée
1.13.004	P411	3 Sud	Q99300/100-101	Rivière Bat-le-Diable	Rivière Romaine	70	Terrasse fluviale; rive gauche	Vecteur discontinu	Sans arbres
1.13.005	P412	3 Sud	Q99300/100-101	Rivière Bat-le-Diable	Rivière Romaine	55	Terrasse fluviale; rive droite	Vecteur discontinu	Boisée
1.13.006	P413	3 Sud	Q99300/100-101	Rivière Bat-le-Diable	Rivière Romaine	55	Terrasse fluviale; rive gauche	Vecteur discontinu	Boisée
1.13.007	P414	3 Sud	Q99300/100-101	Rivière Bat-le-Diable	Rivière Romaine	55	Terrasse fluviale; rive gauche	Vecteur discontinu	Boisée
1.13.008	P415	3 Sud	Q99300/100-101	Rivière Bat-le-Diable	Rivière Romaine	55	Terrasse fluviale; rive gauche	Vecteur discontinu	Boisée
1.13.009	P416	3 Sud	Q99300/100-101	Rivière Bat-le-Diable	Rivière Romaine	55	Terrasse fluviale; rive gauche	Vecteur discontinu	Boisée

N° de ZONE	EN CONTINU	FEUILLET 1/20 000	COUPLE STÉRÉOSCOPIQUE	REPÈRE HYDROGRAPHIQUE	BASSIN HYDROGRAPHIQUE	ALTITUDE (m)	GÉOMORPHOLOGIE	GRAPHE TOPOLOGIQUE	INTÉGRITÉ EN 2004
1.13.010	P417	3 Sud	Q99301/34-35	Rivière Bat-le-Diable	Rivière Romaine	55	Terrasse fluviale; rive gauche. Mince couche de limon sur roche en place.	Vecteur discontinu	Boisée
1.13.011	P418	3 Sud	Q99301/34-35	Rivière Bat-le-Diable	Rivière Romaine	55	Terrasse fluviale; rive gauche. Surface en roche en place.	Vecteur discontinu	En partie boisée
1.13.012	P419	3 Sud	Q99311/99-100	Rivière Puyjalon et rivière Bat-le-Diable	Rivière Romaine	20	Terrasse fluviale; rive droite. À la rencontre de deux cours d'eau.	Espace annexe	Boisée
1.13.013	P420	3 Sud	Q99311/99-100	Rivière Puyjalon	Rivière Romaine	20	Terrasse fluviale; rive droite	Espace annexe	Boisée
1.13.014	P421	3 Sud	Q99311/99-100	Rivière Puyjalon	Rivière Romaine	15	Basse terrasse fluviale; rive droite	Espace annexe	Boisée
1.13.015	P422	3 Sud	Q99311/99-100	Rivière Puyjalon	Rivière Romaine	15	Basse terrasse fluviale; rive gauche. Surface intéressante, en face de la rivière Bat-le-Diable.	Espace annexe	Boisée
1.13.016	P423	3 Sud	Q99311/99-100	Rivière Puyjalon et rivière Bat-le-Diable	Rivière Romaine	15	Basse terrasse fluviale; rive droite. À la rencontre de deux cours d'eau.	Espace annexe	Boisée
1.13.017	P424	3 Sud	Q99311/99-100	Rivière Puyjalon et rivière Bat-le-Diable	Rivière Romaine	20	Terrasse fluviale; rive droite. À la rencontre de deux cours d'eau. Le talus en est un d'érosion fluviale.	Espace annexe	Boisée
1.13.018	P425	3 Sud	Q99311/100-101	Rivière Puyjalon	Rivière Romaine	15	Basse terrasse fluviale; rive gauche	Vecteur moyennement continu	Boisée
1.13.019	P426	3 Sud	Q99311/100-101	Rivière Puyjalon	Rivière Romaine	15	Basse terrasse fluviale; rive droite	Vecteur moyennement continu	Boisée
1.13.020	P427	3 Sud	Q99311/100-101	Rivière Puyjalon	Rivière Romaine	20	Basse terrasse fluviale; rive droite. En amont d'une chute.	Vecteur moyennement continu	Boisée
1.13.021	P428	3 Sud	Q99311/100-101	Rivière Puyjalon	Rivière Romaine	25	Terrasse fluviale; rive droite. En amont et en aval d'une chute. Peut être un portage.	Vecteur moyennement continu	Boisée
1.13.022	P429	3 Sud	Q99311/100-101	Rivière Puyjalon	Rivière Romaine	25	Terrasse fluviale; rive gauche. Correspondait à un îlot en amont d'une chute.	Vecteur moyennement continu	Boisée
1.13.023	P430	3 Sud	Q99816/44-45	Lac Kapmaiht Uhakamiskum	Rivière Romaine	125	Replat légèrement bosselé en roche en place	En dehors du graphe topologique	Sans arbres

N° de ZONE	EN CONTINU	FEUILLET 1/20 000	COUPLE STÉRÉOSCOPIQUE	REPÈRE HYDROGRAPHIQUE	BASSIN HYDROGRAPHIQUE	ALTITUDE (m)	GÉOMORPHOLOGIE	GRAPHE TOPOLOGIQUE	INTÉGRITÉ EN 2004
1.13.024	P431	3 Sud	Q99820/197-198	Ruisseau Costand	Rivière Romaine	125-130	Basse terrasse fluviale, rive gauche. Magnifique replat. La partie sud de la zone est coincée entre deux petits lacs.	Vecteur discontinu	En partie boisée
1.13.025	P432	3 Sud	Q99820/197-198	Ruisseau Costand	Rivière Romaine	125	Basse terrasse fluviale, rive droite	Vecteur discontinu	En partie boisée
1.13.026	P433	3 Sud	Q99816/46-47	Ruisseau Costand	Rivière Romaine	125-130	Basse terrasse fluviale, rive gauche. Ce replat est séparé de la zone 1.13.023 par un petit talweg.	Vecteur discontinu	En partie boisée
1.13.027	P434	3 Sud	Q99816/46-47	Ruisseau Costand	Rivière Romaine	125-130	Petit esker à pentes douces sur la rive droite du ruisseau	Vecteur discontinu	En partie boisée
1.13.028	P435	3 Sud	Q99816/46-47	Ruisseau Costand	Rivière Romaine	120	Terrasse fluviale, rive droite. Cette zone ainsi que les trois suivantes, témoignent du passage d'un courant fluvioglacière dans un col, par des traces de petits chenaux en surface.	Vecteur discontinu	En partie boisée
1.13.029	P436	3 Sud	Q99816/46-47	Ruisseau Costand	Rivière Romaine	120	Terrasse fluviale, rive droite	Vecteur discontinu	Sans arbres
1.13.030	P437	3 Sud	Q99816/46-47	Ruisseau Costand	Rivière Romaine	120	Terrasse fluviale, rive droite	Vecteur discontinu	Sans arbres
1.13.031	P438	3 Sud	Q99816/46-47	Ruisseau Costand	Rivière Romaine	118	Basse terrasse fluviale, rive gauche	Vecteur discontinu	Sans arbres
1.13.032	P439	3 Sud	Q99816/46-47	Ruisseau Costand	Rivière Romaine	115	Terrasse fluviale, rive gauche	Vecteur discontinu	Sans arbres
1.13.033	P440	3 Sud	Q99816/46-47	Ruisseau Costand	Rivière Romaine	110	Basse terrasse fluviale, rive droite. Limite d'une tourbière réticulée.	Vecteur discontinu	Sans arbres
1.13.034	P441	3 Sud	Q99816/46-47	Ruisseau Costand	Rivière Romaine	110	Basse terrasse fluviale, rive gauche	Vecteur discontinu	Sans arbres
1.13.035	P442	3 Sud	Q99815/172-173	Ruisseau Costand	Rivière Romaine	110	Basse terrasse fluviale, rive droite	Vecteur discontinu	Sans arbres
1.13.036	P443	3 Sud	Q99815/172-173	Ruisseau Costand	Rivière Romaine	115	Terrasse fluviale, rive gauche	Vecteur discontinu	Boisée
1.13.037	P444	3 Sud	Q99815/172-173	Ruisseau Costand	Rivière Romaine	110	Basse terrasse fluviale, rive gauche	Vecteur discontinu	En partie boisée
1.13.038	P445	3 Sud	Q99815/172-173	Ruisseau Costand	Rivière Romaine	110	Basse terrasse fluviale, rive gauche	Vecteur discontinu	En partie boisée
1.13.039	P446	3 Sud	Q99815/172-173	Ruisseau Costand	Rivière Romaine	100	Basse terrasse fluviale, rive gauche	Vecteur discontinu	En partie boisée

N° de ZONE	EN CONTINU	FEUILLET 1/20 000	COUPLE STÉRÉOSCOPIQUE	REPÈRE HYDROGRAPHIQUE	BASSIN HYDROGRAPHIQUE	ALTITUDE (m)	GÉOMORPHOLOGIE	GRAPHE TOPOLOGIQUE	INTÉGRITÉ EN 2004
1.13.040	P447	3 Sud	Q99815/172-173	Ruisseau Costand	Rivière Romaine	90	Basse terrasse fluviale, rive droite	Espace annexe	En partie boisée
1.13.041	P448	3 Sud	Q99815/173-174	Rivière Allard et ruisseau Costand	Rivière Romaine	90	Basse terrasse fluviale, rive droite	Espace annexe	En partie boisée
1.13.042	P449	3 Sud	Q99815/173-174	Rivière Allard et ruisseau Costand	Rivière Romaine	90	Basse terrasse fluviale, rive droite	Espace annexe	En partie boisée
1.13.043	P450	3 Sud	Q99815/173-174	Rivière Allard et ruisseau Costand	Rivière Romaine	90	Basse terrasse fluviale, rive gauche	Espace annexe	En partie boisée
1.13.044	P451	3 Sud	Q99301/30-31	Rivière Allard et rivière Puyjalon	Rivière Romaine	30	Terrasse fluviale, rive droite	Espace annexe	Boisée
1.13.045	P452	3 Sud	Q99301/30-31	Rivière Allard et rivière Puyjalon	Rivière Romaine	30	Terrasse fluviale, rive gauche	Espace annexe	Boisée
1.13.046	P453	3 Sud	Q99816/47-48	Rivière Allard	Rivière Romaine	100	Basse terrasse fluviale, rive droite	Vecteur moyennement continu	Boisée
1.13.047	P454	3 Sud	Q99816/47-48	Rivière Allard	Rivière Romaine	100	Basse terrasse fluviale, rive gauche	Vecteur moyennement continu	En partie boisée
1.13.048	P455	3 Sud	Q99816/47-48	Rivière Allard	Rivière Romaine	105	Terrasse fluviale, rive gauche	Vecteur moyennement continu	Sans arbres
1.13.049	P456	3 Sud	Q99816/47-48	Rivière Allard	Rivière Romaine	100	Basse terrasse fluviale, rive gauche. En amont d'une zone de rapides.	Vecteur moyennement continu	Boisée
1.14.001	P457	2 Sud	Q99816/174-175	Lac Anne	Rivière Romaine	130	Plongée d'une ligne d'interfluve; contrôle un col emprunté par le lac.	Vecteur discontinu	Boisée
1.14.002	P458	2 Sud	Q99816/174-175	Lac Anne	Rivière Romaine	125	Terrasse lacustre; le replat en roche en place est relativement uniforme.	Vecteur discontinu	Boisée; présence d'un chalet.
1.14.003	P459	2 Sud	Q99831/173-174	Lac Anne	Rivière Romaine	125	Terrasse lacustre; le replat en roche en place est légèrement bosselé.	Vecteur discontinu	Boisée
1.14.004	P460	2 Sud	Q99827/23-24	Rivière Puyjalon	Rivière Romaine	55	Terrasse fluviale, rive gauche	Espace annexe	Boisée
1.14.005	P461	2 Sud	Q99827/23-24	Rivière Puyjalon	Rivière Romaine	55	Terrasse fluviale, rive gauche	Vecteur moyennement continu	Boisée

N° de ZONE	EN CONTINU	FEUILLET 1/20 000	COUPLE STÉRÉOSCOPIQUE	REPÈRE HYDROGRAPHIQUE	BASSIN HYDROGRAPHIQUE	ALTITUDE (m)	GÉOMORPHOLOGIE	GRAPHE TOPOLOGIQUE	INTÉGRITÉ EN 2004
1.14.006	P462	2 Sud	Q99827/23-24	Rivière Puyjalon	Rivière Romaine	55	Îlot	Vecteur moyennement continu	Boisée
1.14.007	P463	2 Sud	Q99827/23-24	Rivière Puyjalon	Rivière Romaine	55	Petite terrasse fluviale, rive droite	Vecteur moyennement continu	Boisée
1.14.008	P464	2 Sud	Q99820/204-205	Rivière Puyjalon	Rivière Romaine	55	Terrasse fluviale, rive gauche	Vecteur moyennement continu	Boisée
1.14.009	P465	2 Sud	Q99820/204-205	Rivière Puyjalon	Rivière Romaine	55	Terrasse fluviale, rive droite	Vecteur moyennement continu	Boisée
1.14.010	P466	2 Sud	Q99820/204-205	Rivière Puyjalon	Rivière Romaine	55	Terrasse fluviale, rive gauche	Vecteur moyennement continu	Boisée
1.14.011	P467	2 Sud	Q99813/147 et Q99827/25	Rivière Puyjalon et lac Puyjalon	Rivière Romaine	110-115	Terrasse d'obturation latérale; très grande surface d'accueil.	Espace annexe	Boisée
1.14.012	P468	2 Sud	Q99827/23-24	Rivière Puyjalon	Rivière Romaine	50	Basse terrasse fluviale, rive droite	Espace annexe	En partie boisée
1.14.013	P469	2 Sud	Q99827/23-24	Rivière Puyjalon	Rivière Romaine	55	Terrasse fluviale, rive gauche	Vecteur moyennement continu	Boisée
1.14.014	P470	2 Sud	Q99831/171-172	Rivière Puyjalon	Rivière Romaine	55	Terrasse fluviale, rive droite	Vecteur moyennement continu	Boisée
1.14.015	P471	2 Sud	Q99831/171-172	Rivière Puyjalon	Rivière Romaine	50	Basse terrasse fluviale, rive droite	Vecteur moyennement continu	Boisée
1.14.016	P472	2 Sud	Q99831/171-172	Rivière Puyjalon	Rivière Romaine	55	Terrasse fluviale, rive droite	Vecteur moyennement continu	Boisée
1.14.017	P473	2 Sud	Q99831/171-172	Rivière Puyjalon	Rivière Romaine	60	Terrasse fluviale, rive gauche	Vecteur moyennement continu	Boisée
1.14.018	P474	2 Sud	Q99831/171-172	Rivière Puyjalon	Rivière Romaine	60	Terrasse fluviale, rive gauche	Vecteur moyennement continu	Boisée
1.14.019	P475	2 Sud	Q99831/171-172	Rivière Puyjalon	Rivière Romaine	70	Terrasse fluviale, rive droite	Vecteur moyennement continu	Boisée

N° de ZONE	EN CONTINU	FEUILLET 1/20 000	COUPLE STÉRÉOSCOPIQUE	REPÈRE HYDROGRAPHIQUE	BASSIN HYDROGRAPHIQUE	ALTITUDE (m)	GÉOMORPHOLOGIE	GRAPHE TOPOLOGIQUE	INTÉGRITÉ EN 2004
1.14.020	P476	2 Sud	Q99815/88-89	Ruisseau sans nom	Rivière Romaine	130	Terrasse fluviale, rive droite	Vecteur discontinu	Boisée
1.14.021	P477	2 Sud	Q99816/177-178	Ruisseau sans nom et lac Puyjalou	Rivière Romaine	110	Terrasse fluviale, rive droite	Vecteur discontinu	Boisée
1.14.022	P478	2 Sud	Q99831/133-134	Lac de la Panthère	Rivière Romaine	120	Terrasse lacustre; belle surface plane en roche en place	En dehors du graphe topologique	Boisée
1.14.023	P479	2 Sud	Q99831/133-134	Entre le lac de la Panthère et le lac Têtu	Rivière Romaine	120	Plongée d'une ligne d'interfluve, adjacente à des rapides.	En dehors du graphe topologique	Boisée
1.14.024	P480	2 Sud	Q99831/133-134	Entre le lac de la Panthère et le lac Têtu	Rivière Romaine	120	Plongée d'une ligne d'interfluve	En dehors du graphe topologique	Boisée
1.14.025	481	2 Sud	Q99815/86-87	Baie Fermi du lac Puyjalou	Rivière Romaine	110	Terrasses fluviales; rives droite et gauche d'un ruisseau qui se jette dans le fond de la baie.	Vecteur moyennement continu	Boisée
1.14.026	482	2 Sud	Q99815/86-87	Baie Fermi du lac Puyjalou	Rivière Romaine	110	Terrasse lacustre; mince dépôt sur belle surface plane en roche en place	Vecteur moyennement continu	Boisée
1.14.027	483	2 Sud	Q99815/87-88	Baie Fermi du lac Puyjalou	Rivière Romaine	110-115	Surface sableuse qui fait office de petit tombolo	Vecteur moyennement continu	Boisée
1.14.028	484	2 Sud	Q99816/177-178	Lac Puyjalou	Rivière Romaine	110	Col; la roche en place est tout près de la surface	Vecteur moyennement continu	Boisée
1.14.029	485	2 Sud	Q99816/177-178	Lac Puyjalou	Rivière Romaine	110	Terrasse lacustre; mince bande surélevée	Vecteur moyennement continu	Boisée
1.14.030	486	2 Sud	Q99813/147 et Q99827/25	Lac Puyjalou	Rivière Romaine	110	Petites terrasses fluviales au fond d'une petite baie	Vecteur moyennement continu	Boisée
1.14.031	487	2 Sud	Q99813/147 et Q99827/25	Lac Puyjalou	Rivière Romaine	110-115	Terrasse d'obturation latérale; très grande surface d'accueil.	Vecteur moyennement continu	Boisée
1.14.032	488	2 Sud	Q99813/147 et Q99827/25	Rivière Puyjalou et lac Puyjalou	Rivière Romaine	110-115	Terrasse d'obturation latérale; cuvette de culot de glace morte près du talus donnant sur la rivière.	Vecteur moyennement continu	Boisée
1.14.033	489	2 Sud	Q99820/204-205	Rivière Puyjalou	Rivière Romaine	52	Terrasse fluviale, rive droite	Espace annexe	Boisée
1.14.034	490	2 Sud	Q99820/204-205	Rivière Puyjalou	Rivière Romaine	52	Terrasse fluviale, rive droite	Espace annexe	Boisée
1.14.035	491	2 Sud	Q99820/204-205	Rivière Puyjalou	Rivière Romaine	45-52	Terrasse fluviale, rive gauche; belle grande surface d'accueil	Espace annexe	Boisée

N° de ZONE	EN CONTINU	FEUILLET 1/20 000	COUPLE STÉRÉOSCOPIQUE	REPÈRE HYDROGRAPHIQUE	BASSIN HYDROGRAPHIQUE	ALTITUDE (m)	GÉOMORPHOLOGIE	GRAPHE TOPOLOGIQUE	INTÉGRITÉ EN 2004
1.14.036	492	2 Sud	Q99820/204-205	Rivière Puyjalon	Rivière Romaine	45	Terrasse fluviale, rive droite; bande très étroite qui a la forme d'un esker	Espace annexe	Boisée
1.14.037	493	2 Sud	Q99820/204-205	Rivière Puyjalon	Rivière Romaine	45	Terrasse fluviale, rive droite	Vecteur moyennement continu	Boisée
1.14.038	494	2 Sud	Q99820/204-205	Rivière Puyjalon	Rivière Romaine	45	Terrasse fluviale, rive gauche	Vecteur moyennement continu	Boisée
1.14.039	495	2 Sud	Q99820/204-205	Rivière Puyjalon	Rivière Romaine	45	Terrasse fluviale, rive gauche	Vecteur moyennement continu	Boisée
1.14.040	496	2 Sud	Q99820/204-205	Rivière Puyjalon	Rivière Romaine	45	Terrasse fluviale, rive droite	Vecteur moyennement continu	Boisée
1.14.041	497	2 Sud	Q99820/204-205	Rivière Puyjalon	Rivière Romaine	45	Terrasse fluviale, rive gauche	Vecteur moyennement continu	Boisée
1.15.001	498	2 Sud	Q99815/25-26	Rivière Octave	Rivière Romaine	150	Terrasse fluviale, rive gauche	Vecteur discontinu	En partie boisée
1.15.002	499	2 Sud	Q99815/25-26	Rivière Octave	Rivière Romaine	150	Terrasse fluviale, rive droite	Vecteur discontinu	En partie boisée
1.15.003	500	2 Sud	Q99831/136-137	Rivière Octave	Rivière Romaine	150	Terrasse fluviale, rive gauche	Vecteur discontinu	Boisée
1.15.004	501	2 Sud	Q99831/136-137	Rivière Octave	Rivière Romaine	150	Terrasse fluviale, rive droite. Belle surface d'accueil.	Vecteur discontinu	Boisée
1.15.005	502	2 Sud	HQ03-003/61-62	Rivière Porugia	Rivière Romaine	180	Basse terrasse fluviale, rive droite. L'arrière de la zone est appuyé sur une butte.	Vecteur moyennement continu	Boisée
1.15.006	503	2 Sud	HQ03-003/61-62	Rivière Porugia	Rivière Romaine	180	Basse terrasse fluviale, rive gauche. Les deux abrupts qui l'encadrent forment un abri exceptionnel	Vecteur moyennement continu	Boisée
1.15.007	504	2 Sud	HQ03-003/61-62	Rivière Porugia	Rivière Romaine	180	Basse terrasse fluviale, rive gauche. Très belle surface d'accueil.	Vecteur moyennement continu	En partie boisée
1.15.008	505	2 Sud	HQ03-003/61-62	Rivière Porugia	Rivière Romaine	175-180	Basse terrasse fluviale, rive droite	Vecteur moyennement continu	Boisée
1.15.009	506	2 Sud	HQ03-003/62-63	Rivière Porugia	Rivière Romaine	175	Basse terrasse fluviale, rive gauche	Vecteur moyennement continu	Boisée

N° de ZONE	EN CONTINU	FEUILLET 1/20 000	COUPLE STÉRÉOSCOPIQUE	REPÈRE HYDROGRAPHIQUE	BASSIN HYDROGRAPHIQUE	ALTITUDE (m)	GÉOMORPHOLOGIE	GRAPHE TOPOLOGIQUE	INTÉGRITÉ EN 2004
1.15.010	507	2 Sud	HQ03-003/62-63	Rivière Porugia	Rivière Romaine	175	Basse terrasse fluviale, rive droite	Vecteur moyennement continu	Boisée
1.15.011	508	2 Sud	HQ03-003/63-64	Rivière Porugia	Rivière Romaine	170	Basse terrasse fluviale, rive droite. Espace étroit légèrement bosselé.	Espace annexe	Boisée
1.15.012	509	2 Sud	HQ03-003/63-64	Rivière Porugia	Rivière Romaine	170	Basse terrasse fluviale, rive gauche. Belle surface d'accueil.	Espace annexe	Boisée
1.15.013	510	2 Sud	HQ03-003/63-64	Rivière Porugia	Rivière Romaine	165-170	Basse terrasse fluviale, rive gauche	Espace annexe	Boisée
1.15.014	511	2 Sud	Q99826/91-92	Rivière Porugia	Rivière Romaine	115-120	Terrasse fluviale, rive gauche. Les zones 1.15.014 à 1.15.051 font toutes partie d'un complexe de paléo-méandres.	Espace annexe	Boisée
1.15.015	512	2 Sud	Q99826/91-92	Rivière Porugia	Rivière Romaine	110	Terrasse fluviale, rive gauche	Espace annexe	Boisée
1.15.016	513	2 Sud	Q99826/91-92	Rivière Porugia	Rivière Romaine	105	Basse terrasse fluviale, rive gauche	Espace annexe	Boisée
1.15.017	514	2 Sud	Q99826/91-92	Rivière Porugia	Rivière Romaine	105	Basse terrasse fluviale, rive droite	Espace annexe	Boisée
1.15.018	515	2 Sud	Q99826/91-92	Rivière Porugia	Rivière Romaine	110	Terrasse fluviale, rive droite	Espace annexe	Boisée
1.15.019	516	2 Sud	Q99826/90-91	Rivière Porugia	Rivière Romaine	105	Basse terrasse fluviale, rive droite	Vecteur moyennement continu	Boisée
1.15.020	517	2 Sud	Q99826/90-91	Rivière Porugia	Rivière Romaine	110	Terrasse fluviale, rive droite	Vecteur moyennement continu	Boisée
1.15.021	518	2 Sud	Q99826/90-91	Rivière Porugia	Rivière Romaine	110	Terrasse fluviale, rive gauche. Magnifique surface d'accueil	Vecteur moyennement continu	Boisée
1.15.022	519	2 Sud	Q99826/90-91	Rivière Porugia	Rivière Romaine	105	Basse terrasse fluviale, rive droite	Vecteur moyennement continu	Boisée
1.15.023	520	2 Sud	Q99826/90-91	Rivière Porugia	Rivière Romaine	105	Basse terrasse fluviale, rive gauche	Vecteur moyennement continu	Boisée
1.15.024	521	2 Sud	Q99826/90-91	Rivière Porugia	Rivière Romaine	105	Basse terrasse fluviale, rive gauche	Vecteur moyennement continu	Boisée

N° de ZONE	EN CONTINU	FEUILLET 1/20 000	COUPLE STÉRÉOSCOPIQUE	REPÈRE HYDROGRAPHIQUE	BASSIN HYDROGRAPHIQUE	ALTITUDE (m)	GÉOMORPHOLOGIE	GRAPHE TOPOLOGIQUE	INTÉGRITÉ EN 2004
1.15.025	522	2 Sud	Q99826/90-91	Rivière Porugia	Rivière Romaine	110	Terrasse fluviale, rive gauche. Surface d'accueil bosselée.	Vecteur moyennement continu	Boisée
1.15.026	523	2 Sud	Q99826/90-91	Rivière Porugia	Rivière Romaine	105	Basse terrasse fluviale, rive gauche	Vecteur moyennement continu	Boisée
1.15.027	524	2 Sud	Q99826/90-91	Rivière Porugia	Rivière Romaine	102	Basse terrasse fluviale, rive gauche	Vecteur moyennement continu	Boisée
1.15.028	525	2 Sud	Q99826/90-91	Rivière Porugia	Rivière Romaine	105	Basse terrasse fluviale, rive droite	Vecteur moyennement continu	Boisée
1.15.029	526	2 Sud	Q99826/90-91	Rivière Porugia	Rivière Romaine	105	Basse terrasse fluviale, rive gauche	Vecteur moyennement continu	Boisée
1.15.030	527	2 Sud	Q99815/27-28	Rivière Porugia	Rivière Romaine	110	Terrasse fluviale, rive gauche	Vecteur moyennement continu	Boisée
1.15.031	528	2 Sud	Q99826/90-91	Rivière Porugia	Rivière Romaine	105	Basse terrasse fluviale, rive gauche	Vecteur moyennement continu	Boisée
1.15.032	529	2 Sud	Q99815/27-28	Rivière Porugia	Rivière Romaine	102	Basse terrasse fluviale, rive gauche	Vecteur moyennement continu	Boisée
1.15.033	530	2 Sud	Q99815/27-28	Rivière Porugia	Rivière Romaine	105	Basse terrasse fluviale, rive droite	Vecteur moyennement continu	Boisée
1.15.034	531	2 Sud	Q99815/27-28	Rivière Porugia	Rivière Romaine	102	Basse terrasse fluviale, rive gauche	Vecteur moyennement continu	Boisée
1.15.035	532	2 Sud	Q99815/27-28	Rivière Porugia	Rivière Romaine	110	Terrasse fluviale, rive gauche	Vecteur moyennement continu	Boisée
1.15.036	533	2 Sud	Q99815/27-28	Rivière Porugia	Rivière Romaine	110	Terrasse fluviale, rive gauche	Vecteur moyennement continu	Boisée
1.15.037	534	2 Sud	Q99815/27-28	Rivière Porugia	Rivière Romaine	110	Terrasse fluviale, rive gauche	Espace annexe	Boisée
1.15.038	535	2 Sud	Q99826/90-91	Rivière Porugia	Rivière Romaine	105	Basse terrasse fluviale, rive gauche	Vecteur moyennement continu	Boisée

N° de ZONE	EN CONTINU	FEUILLET 1/20 000	COUPLE STÉRÉOSCOPIQUE	REPÈRE HYDROGRAPHIQUE	BASSIN HYDROGRAPHIQUE	ALTITUDE (m)	GÉOMORPHOLOGIE	GRAPHE TOPOLOGIQUE	INTÉGRITÉ EN 2004
1.15.039	536	2 Sud	Q99826/90-91	Rivière Porugia	Rivière Romaine	105	Basse terrasse fluviale, rive gauche	Vecteur moyennement continu	Boisée
1.15.040	537	2 Sud	Q99815/27-28	Rivière Porugia	Rivière Romaine	102	Basse terrasse fluviale, rive gauche	Vecteur moyennement continu	Boisée
1.15.041	538	2 Sud	Q99815/27-28	Rivière Porugia	Rivière Romaine	102	Basse terrasse fluviale, rive gauche	Vecteur moyennement continu	Boisée
1.15.042	539	2 Sud	Q99815/27-28	Rivière Porugia	Rivière Romaine	102	Basse terrasse fluviale, rive gauche	Vecteur moyennement continu	Boisée
1.15.043	540	2 Sud	Q99815/27-28	Rivière Porugia	Rivière Romaine	102-105	Basse terrasse fluviale, rive gauche. La surface est bosselée par des petits talwegs de paléo-méandres.	Espace annexe	Boisée
1.15.044	541	2 Sud	Q99815/27-28	Rivière Porugia	Rivière Romaine	102	Basse terrasse fluviale, rive droite	Espace annexe	Boisée
1.15.045	542	2 Sud	Q99815/27-28	Rivière Porugia	Rivière Romaine	105	Basse terrasse fluviale, rive gauche	Espace annexe	Boisée
1.15.046	543	2 Sud	Q99815/27-28	Rivière Porugia	Rivière Romaine	105	Basse terrasse fluviale, rive droite	Espace annexe	Boisée
1.15.047	544	2 Sud	Q99815/27-28	Rivière Porugia	Rivière Romaine	102	Basse terrasse fluviale, rive droite	Espace annexe	Boisée
1.15.048	545	2 Sud	Q99815/27-28	Rivière Porugia	Rivière Romaine	102	Basse terrasse fluviale, rive gauche	Espace annexe	Boisée
1.15.049	546	2 Sud	Q99815/27-28	Rivière Porugia	Rivière Romaine	105	Basse terrasse fluviale, rive gauche	Espace annexe	Boisée
1.15.050	547	2 Sud	Q99815/27-28	Rivière Porugia	Rivière Romaine	102	Basse terrasse fluviale, rive droite	Espace annexe	Boisée
1.15.051	548	2 Sud	Q99815/27-28	Rivière Porugia	Rivière Romaine	102	Basse terrasse fluviale, rive droite	Espace annexe	Boisée
1.15.052	549	2 Sud	HQ03-003/71-72	Ruisseau sans nom	Rivière Romaine	175	Basse terrasse fluviale, rive gauche. Les zones 1.15.052 à 1.15.054 occupent le fond d'une vallée très encaissée.	Vecteur discontinu	Boisée
1.15.053	550	2 Sud	HQ03-003/71-72	Ruisseau sans nom	Rivière Romaine	175	Basse terrasse fluviale, rive droite. La magnifique surface d'accueil est appuyée sur une butte.	Vecteur discontinu	Boisée

N° de ZONE	EN CONTINU	FEUILLET 1/20 000	COUPLE STÉRÉOSCOPIQUE	REPÈRE HYDROGRAPHIQUE	BASSIN HYDROGRAPHIQUE	ALTITUDE (m)	GÉOMORPHOLOGIE	GRAPHE TOPOLOGIQUE	INTÉGRITÉ EN 2004
1.15.054	551	2 Sud	HQ03-003/71-72	Ruisseau sans nom	Rivière Romaine	175	Basse terrasse fluviale, rive droite	Vecteur discontinu	Boisée
1.15.055	552	2 Sud	HQ03-003/69-70	Lac sans nom	Rivière Romaine	95	Petit delta fluvio-glaciaire en aval d'un petit esker	En dehors du graphe topologique	Boisée
1.15.056	553	2 Sud	HQ03-003/69-70	Lac sans nom	Rivière Romaine	95	Terrasse lacustre en bande très étroite.	En dehors du graphe topologique	Boisée
1.15.057	554	2 Sud	HQ03-003/69-70	Ruisseau sans nom	Rivière Romaine	95	Basse terrasse fluviale, rive gauche	En dehors du graphe topologique	Boisée
1.15.058	555	2 Sud	HQ03-003/69-70	Ruisseau sans nom	Rivière Romaine	95	Basse terrasse fluviale, rive droite	En dehors du graphe topologique	Boisée
1.15.059	556	2 Sud	HQ03-003/69-70	Ruisseau sans nom	Rivière Romaine	95	Basse terrasse fluviale, rive droite	En dehors du graphe topologique	Boisée
1.15.060	557	2 Sud	Q99826/91-92	Ruisseau sans nom	Rivière Romaine	120	Terrasse fluviale, rive droite	Vecteur discontinu	Boisée
1.15.061	558	2 Sud	Q99826/91-92	Ruisseau sans nom	Rivière Romaine	115	Terrasse fluviale, rive droite	Vecteur discontinu	Boisée
1.15.062	559	2 Sud	Q99826/91-92	Lacs sans nom	Rivière Romaine	120	Plongée d'une ligne d'interfluve en roche en place entre deux petits lacs. Surface un peu bombée, mais très habitable.	Vecteur discontinu	Boisée
1.15.063	560	2 Sud	HQ03-003/65-66	Lac sans nom	Rivière Romaine	115-120	Terrasse lacustre; belle surface d'accueil, appuyée sur un abrupt.	Vecteur discontinu	Boisée
1.15.064	561	2 Sud	HQ03-003/65-66	Lac sans nom et ruisseau sans nom	Rivière Romaine	115	Terrasse lacustre et terrasse fluviale, rive gauche; encaissée dans une vallée dissymétrique.	Vecteur discontinu	Boisée
1.15.065	562	2 Sud	HQ03-003/65-66	Ruisseau sans nom	Rivière Romaine	115	Terrasse fluviale, rive droite. Les zones 1.15.069 à 1.15.072 sont petites et coincées dans le fond d'une vallée encaissée.	Vecteur discontinu	Boisée
1.15.066	563	2 Sud	HQ03-003/65-66	Ruisseau sans nom	Rivière Romaine	115	Terrasse fluviale, rive gauche	Vecteur discontinu	Boisée
1.15.067	564	2 Sud	HQ03-003/65-66	Ruisseau sans nom	Rivière Romaine	115	Terrasse fluviale, rive gauche	Vecteur discontinu	Boisée
1.15.068	565	2 Sud	HQ03-003/65-66	Ruisseau sans nom	Rivière Romaine	115	Terrasse fluviale, rive droite	Vecteur discontinu	Boisée
1.15.069	566	2 Sud	Q99815/27-28	Rivière Porugia	Rivière Romaine	105	Basse terrasse fluviale, rive droite	Espace annexe	Boisée
1.15.070	567	2 Sud	Q99815/27-28	Rivière Porugia	Rivière Romaine	105	Basse terrasse fluviale, rive droite	Espace annexe	Boisée
1.15.071	568	2 Sud	Q99815/27-28	Rivière Porugia	Rivière Romaine	105	Basse terrasse fluviale, rive droite	Espace annexe	Boisée

N° de ZONE	EN CONTINU	FEUILLET 1/20 000	COUPLE STÉRÉOSCOPIQUE	REPÈRE HYDROGRAPHIQUE	BASSIN HYDROGRAPHIQUE	ALTITUDE (m)	GÉOMORPHOLOGIE	GRAPHE TOPOLOGIQUE	INTÉGRITÉ EN 2004
1.15.072	569	2 Sud	Q99815/27-28	Rivière Porugia	Rivière Romaine	112-118	Terrasse fluviale, rive droite	Espace annexe	Boisée
1.15.073	570	2 Sud	Q99831/137-138	Lac Puyjalon	Rivière Romaine	110	Terrasse lacustre; la partie est dessine une pointe dans le lac	Vecteur moyennement continu	Boisée
1.15.074	571	2 Sud	Q99831/136-137	Lac Puyjalon	Rivière Romaine	110	Terrasse lacustre; surface plutôt irrégulière avec une petite plage sableuse	Vecteur moyennement continu	Boisée
1.15.075	572	2 Sud	Q99831/136-137	Lac Puyjalon et chutes Kauhtshuahk	Rivière Romaine	110	Terrasse lacustre en bande étroite	Espace annexe	En partie boisée
1.16.001	573	2 Sud	HQ01-004/106-107	Ruisseau sans nom	Rivière Romaine	120	Terrasse fluviale, rive gauche. Petite surface à la convergence du ruisseau qui mène au lac Puyjalon et du ruisseau qui vient du lac Mahkuatuk	Vecteur discontinu	Boisée
1.16.002	574	2 Sud	HQ01-004/139-140	Ruisseau sans nom	Rivière Romaine	105-110	La partie la plus à l'ouest de la zone ressemble à un verrou avec une mince couche de sable qui le camoufle. La partie bombée est quand même retenue, ainsi que la partie est qui forme un replat.	Vecteur discontinu	En partie boisée
1.16.003	575	2 Sud	HQ01-004/139-140	Ruisseau sans nom	Rivière Romaine	105	Terrasse fluviale entourée de quatre côtés par des abrupts	Vecteur discontinu	Sans arbres
1.16.004	576	2 Sud	HQ01-004/138-139	Ruisseau sans nom	Rivière Romaine	110	Lambeau de plaine d'épandage fluvio-glaciaire. L'écoulement se dirige vers l'ouest.	Vecteur discontinu	En partie boisée
1.16.005	577	2 Sud	HQ01-004/138-139	Aucun	Rivière Romaine	110	Lambeau de plaine d'épandage fluvio-glaciaire au centre d'un espace en marécages.	Vecteur discontinu	En partie boisée
1.16.006	578	2 Sud	HQ01-004/138-139	Aucun	Rivière Romaine	110	Lambeau de plaine d'épandage fluvio-glaciaire.	Vecteur discontinu	En partie boisée
1.16.007	579	2 Sud	HQ01-004/138-139	Aucun	Rivière Romaine	110	Lambeau de plaine d'épandage fluvio-glaciaire.	Vecteur discontinu	En partie boisée
1.16.008	580	2 Sud	HQ01-004/139-140	Ruisseau sans nom	Rivière Romaine	110	Terrasse d'obturation latérale	Vecteur discontinu	Boisée
1.16.009	581	2 Sud	HQ01-004/140-141	Ruisseau sans nom	Rivière Romaine	110	Terrasse d'obturation latérale	Vecteur discontinu	Boisée
1.16.010	582	2 Sud	HQ01-004/27-28	Ruisseau sans nom	Rivière Romaine	135	Terrasse fluviale, rive droite	En dehors du graphe topologique	Boisée

N° de ZONE	EN CONTINU	FEUILLET 1/20 000	COUPLE STÉRÉOSCOPIQUE	REPÈRE HYDROGRAPHIQUE	BASSIN HYDROGRAPHIQUE	ALTITUDE (m)	GÉOMORPHOLOGIE	GRAPHE TOPOLOGIQUE	INTÉGRITÉ EN 2004
1.16.011	583	2 Sud	HQ01-004/25-26	Petit lac Kaumitshistukuaneu	Rivière Romaine	105	Rivage lacustre; surface légèrement bombée.	Vecteur discontinu	En partie boisée
1.16.012	584	2 Sud	HQ01-004/25-26	Petit lac Kaumitshistukuaneu	Rivière Romaine	105	Petit tombolo (par extension)	Vecteur discontinu	En partie boisée
1.16.013	585	2 Sud	HQ01-004/25-26	Petit lac Kaumitshistukuaneu	Rivière Romaine	110	Terrasse lacustre en bande étroite	Vecteur discontinu	Boisée
1.16.014	586	2 Sud	HQ01-004/133-134	Rivière Romaine	Rivière Romaine	120	Terrasse d'obturation latérale. Belle surface d'accueil.	Vecteur continu	Boisée
1.16.015	587	2 Sud	HQ01-004/132-133	Rivière Romaine	Rivière Romaine	110	Terrasse d'obturation latérale légèrement en contrebas de 1.16.014.	Vecteur continu	Boisée
1.16.016	588	2 Sud	HQ01-004/132-133	Rivière Romaine	Rivière Romaine	110-115	Haute terrasse fluviale; n'est retenue dans la partie plus haute, qu'une bande près de la rupture de pente : l'arrière de cette zone est en tourbière.	Vecteur continu	Boisée
1.16.017	589	1 Sud	HQ01-004/132-133	Rivière Romaine	Rivière Romaine	120	Terrasse d'obturation latérale. En continuité avec la zone 1.16.014.	Vecteur continu	Boisée
1.16.018	590	1 Sud et 2Sud	HQ01-004/80-81	Rivière Romaine	Rivière Romaine	120	Terrasse d'obturation latérale. Belle surface d'accueil.	Vecteur continu	Boisée
1.16.019	591	2 Sud	HQ01-004/80-81	Rivière Romaine	Rivière Romaine	110	Terrasse d'obturation latérale. Belle surface d'accueil un peu en contrebas de la zone 1.16.018.	Espace annexe	Boisée
1.16.020	592	2 Sud	HQ01-004/80-81	Rivière Romaine	Rivière Romaine	100	Terrasse d'obturation latérale. Belle surface d'accueil un peu en contrebas de la zone 1.16.019.	Espace annexe	Boisée
1.16.021	593	2 Sud	HQ01-004/80-81	Rivière Romaine	Rivière Romaine	120	Terrasse d'obturation latérale. Belle surface d'accueil.	Espace annexe	Boisée
1.16.022	594	2 Sud	HQ01-004/80-81	Rivière Romaine	Rivière Romaine	100	Terrasse fluviale, rive droite	Espace annexe	Boisée
1.16.023	595	2 Sud	HQ01-004/79-80	Rivière Romaine	Rivière Romaine	95-100	Terrasse fluviale, rive droite	Espace annexe	En partie boisée
1.16.024	596	2 Sud	HQ01-004/79-80	Rivière Romaine	Rivière Romaine	95	Terrasse fluviale, rive droite	Vecteur continu	En partie boisée
1.16.025	597	2 Sud	HQ01-004/78-79	Rivière Romaine	Rivière Romaine	95	Terrasse fluviale, rive droite	Vecteur continu	En partie boisée
1.16.026	598	2 Sud	HQ01-004/139-140	Rivière Romaine	Rivière Romaine	95	Terrasse fluviale, rive droite	Vecteur continu	Boisée
1.16.027	599	2 Sud	HQ01-004/140-141	Rivière Romaine	Rivière Romaine	90	Terrasse fluviale, rive droite	Espace annexe	Boisée

N° de ZONE	EN CONTINU	FEUILLET 1/20 000	COUPLE STÉRÉOSCOPIQUE	REPÈRE HYDROGRAPHIQUE	BASSIN HYDROGRAPHIQUE	ALTITUDE (m)	GÉOMORPHOLOGIE	GRAPHE TOPOLOGIQUE	INTÉGRITÉ EN 2004
1.16.028	600	2 Sud	HQ01-004/140-141	Rivière Romaine	Rivière Romaine	90	Terrasse fluviale, rive droite	Espace annexe	Boisée
1.16.029	601	2 Sud	HQ01-004/36-37	Rivière Romaine	Rivière Romaine	100	Terrasse fluviale, rive droite	Vecteur continu	Boisée
1.16.030	602	2 Sud	HQ01-004/24-25	Petit lac Kaumitshistukuaneu	Rivière Romaine	110	Col; possède une petite surface gisante.	Vecteur discontinu	Boisée
1.16.031	603	1 Sud	HQ01-004/22-23	Lacs Kaumutshistukuaneu	Rivière Romaine	105	Terrasse lacustre; la surface plane est tout près de la roche en place.	Vecteur discontinu	Boisée
1.16.032	604	1 Sud	HQ01-004/38-39	Rivière Romaine	Rivière Romaine	100	Terrasse d'obturation latérale, rive droite	Vecteur continu	En partie boisée
1.16.033	605	1 Sud	HQ01-004/38-39	Rivière Romaine	Rivière Romaine	80	Terrasse fluviale, rive droite. En aval d'une surface bombée, parallèle à la rivière.	Vecteur continu	En partie boisée
1.16.034	606	1 Sud	HQ01-004/39-40	Rivière Romaine	Rivière Romaine	90	Terrasse fluviale, rive droite	Espace annexe	Boisée
1.16.035	607	1 Sud	HQ01-004/40- 41	Rivière Romaine	Rivière Romaine	80	Terrasse fluviale, rive droite	Vecteur continu	En partie boisée
1.16.036	608	1 Sud	HQ01-004/40- 41	Rivière Romaine	Rivière Romaine	80	Terrasse fluviale, rive droite	Vecteur continu	En partie boisée
1.16.037	609	1 Sud	HQ01-004/41- 42	Petit lac sans nom et rivière Romaine	Rivière Romaine	90	Terrasse lacustre. En communication avec la rivière (500 m) par un petit cours d'eau.	Vecteur continu	En partie boisée
1.16.038	610	1 Sud	HQ01-004/41- 42	Rivière Romaine	Rivière Romaine	90	Terrasse fluviale, rive droite. Surface bosselée.	Vecteur continu	Boisée
1.16.039	611	1 Sud	HQ01-004/69-70	Rivière Romaine	Rivière Romaine	90	Terrasse d'obturation latérale, rive droite. Rebord sableux d'un replat qui a subi une déflation éolienne importante.	Espace annexe	Boisée. Chevauchement partiel avec inventaire de Archéotec (2002b)
1.16.040	612	1 Sud	HQ01-004/69-70	Rivière Romaine	Rivière Romaine	90	Terrasse d'obturation latérale, rive droite. Rebord sableux d'un replat qui a subi une déflation éolienne importante.	Vecteur continu	Boisée
1.16.041	613	1 Sud	HQ01-004/68-69	Rivière Romaine	Rivière Romaine	80	Terrasse d'obturation latérale, rive droite. Rebord sableux d'un replat qui a subi une déflation éolienne importante.	Vecteur continu	Boisée
1.16.042	614	1 Sud	HQ01-004/68-69	Rivière Romaine	Rivière Romaine	90	Terrasse d'obturation latérale, rive droite. Rebord sableux d'un replat qui a subi une déflation éolienne importante.	Vecteur continu	Boisée

N° de ZONE	EN CONTINU	FEUILLET 1/20 000	COUPLE STÉRÉOSCOPIQUE	REPÈRE HYDROGRAPHIQUE	BASSIN HYDROGRAPHIQUE	ALTITUDE (m)	GÉOMORPHOLOGIE	GRAPHE TOPOLOGIQUE	INTÉGRITÉ EN 2004
1.16.043	615	1 Sud	HQ01-004/68-69	Rivière Romaine	Rivière Romaine	90	Terrasse d'obturation latérale, rive droite. Rebord sableux d'un replat qui a subi une déflation éolienne importante.	Vecteur continu	Boisée. Chevauchement partiel avec inventaire de Archéotec (2002b)
1.16.044	616	1 Sud	HQ01-004/68-69	Rivière Romaine	Rivière Romaine	90	Terrasse d'obturation latérale, rive droite. Rebord sableux d'un replat qui a subi une déflation éolienne importante.	Vecteur continu	Boisée
1.16.045	617	161 kV	HQ01-004/62-63	Rivière Romaine et mer de Goldthwait	Rivière Romaine	70	Haute terrasse fluviale et haute terrasse marine	Vecteur continu	Boisée
1.16.046	618	161 kV	HQ01-004/62-63	Rivière Romaine et mer de Goldthwait	Rivière Romaine	65	Terrasse fluviale et terrasse marine.	Vecteur continu	Boisée
1.16.047	619	161 kV	HQ01-004/61-62	Rivière Romaine et mer de Goldthwait	Rivière Romaine	65	Terrasse fluviale et terrasse marine. Mince bourrelet entre deux tourbières	Vecteur continu	Boisée
1.16.048	620	161 kV	HQ01-004/60 à 62	Rivière Romaine et mer de Goldthwait	Rivière Romaine	70	Haute terrasse fluviale et haute terrasse marine	Espace central en diachronie	Boisée
1.16.049	621	161 kV	HQ01-004/87-88	Mer de Goldthwait	Rivière Romaine	70	Haute terrasse marine	Vecteur continu en diachronie	Boisée au centre, quelques arbres à l'ouest et sans arbres à l'est. Chevauchement partiel avec inventaire de Archéotec (2002b)
1.16.050	622	161 kV	HQ01-004/59-60	Mer de Goldthwait	Rivière Romaine	60-65	Terrasse marine	Espace central en diachronie	Boisée. Chevauchement partiel avec inventaire de Archéotec (2002b)
1.16.051	623	161 kV	HQ01-004/58-59	Mer de Goldthwait	Rivière Romaine	45-50	Terrasse marine; une forte éolisation est responsable d'immenses dunes dans la partie est de la zone	Espace central en diachronie	Sans arbres
1.16.052	624	2 Sud	Q99831/137-138	Lac Puyjalou	Rivière Romaine	110-115	Terrasse lacustre inscrite sur le côté sud de la passe Kauapauakah; belle surface sableuse	Vecteur moyennement continu	Boisée
1.16.053	625	2 Sud	Q99831/137-138	Lac Puyjalou	Rivière Romaine	110	Terrasse lacustre; correspond à l'extrémité nord d'un petit col	Espace annexe	Boisée
1.16.054	626	2 Sud	Q99815/84-85	Lac Puyjalou	Rivière Romaine	110-115	Terrasse lacustre; belle surface d'accueil en relation avec le lac Aline par un ruisseau et délimitée, à l'est, par un abrupt remarquable	Vecteur moyennement continu	Boisée

N° de ZONE	EN CONTINU	FEUILLET 1/20 000	COUPLE STÉRÉOSCOPIQUE	REPÈRE HYDROGRAPHIQUE	BASSIN HYDROGRAPHIQUE	ALTITUDE (m)	GÉOMORPHOLOGIE	GRAPHE TOPOLOGIQUE	INTÉGRITÉ EN 2004
1.16.055	627	2 Sud	Q99815/85-86	Lac Puyjalon	Rivière Romaine	110-120	Terrasse lacustre; mince plaquage de sable. S'appuie sur une croupe en roche en place	Vecteur moyennement continu	Boisée
1.16.056	628	2 Sud	Q99816/179-180	Lac Puyjalon	Rivière Romaine	120	Terrasse lacustre; surface d'accueil légèrement surélevée, en aval d'un amphithéâtre	Vecteur moyennement continu	Boisée
1.16.057	629	2 Sud	Q99816/179-180	Lac Puyjalon	Rivière Romaine	110	Terrasse lacustre; petite surface d'accueil dans le fond d'une baie	Vecteur moyennement continu	Boisée
1.16.058	630	2 Sud	Q99816/178-179	Lac Puyjalon	Rivière Romaine	110	Terrasse lacustre; représente l'ensemble d'un col, avec la plus belle surface d'accueil au nord	Vecteur moyennement continu	Boisée
1.16.059	631	2 Sud	Q99831/137-138	Lac Puyjalon et ruisseau sans nom	Rivière Romaine	110	Terrasse lacustre et terrasse fluviale rive droite; les dépôts fluvio-glaciaires donnent à cette terrasse, une surface très irrégulière (eskers, cuvettes de culot de glace morte...)	Espace annexe	Boisée
1.16.060	632	2 Sud	Q99831/137-138	Lac Puyjalon et ruisseau sans nom	Rivière Romaine	110	Terrasse lacustre et terrasse fluviale rive gauche; la surface est beaucoup plus horizontale que dans la zone précédente	Espace annexe	Boisée
1.16.061	633	2 Sud	Q99831/137-138	Ruisseau sans nom	Rivière Romaine	110	Terrasse fluviale rive droite; la surface est identique à celle de la zone 1.16.060	Espace annexe	Boisée
1.16.062	634	2 Sud	Q99815/83-84	Lac Gilles	Rivière Romaine	120	Terrasse lacustre; surface sub-horizontale en roche en place	Vecteur discontinu	Boisée
1.16.063	635	2 Sud	Q99815/83-84	Lac Gilles	Rivière Romaine	120	Terrasse lacustre; belle surface d'accueil	Vecteur discontinu	Boisée
1.16.064	636	2 Sud	Q99815/83-84	Lac Gilles	Rivière Romaine	130	Terrasse lacustre; mince pellicule de dépôts fluvio-glaciaires qui occupent une pointe et le contrôle d'un col	Vecteur discontinu	Boisée
1.16.065	637	2 Sud	Q99816/180-181	Lac Gilles	Rivière Romaine	120	Terrasse lacustre; pointe avec dépôts fluvio-glaciaires	Vecteur discontinu	Boisée
1.16.066	638	2 Sud	Q99816/180-181	Lac Gilles	Rivière Romaine	115	Terrasse lacustre; ligne d'interfluve d'un petit esker	Vecteur discontinu	Boisée
1.16.067	639	2 Sud	Q99816/180-181	Lac sans nom	Rivière Romaine	115	Terrasse lacustre; espace en pointe dans le fond d'une baie	Vecteur discontinu	Boisée

N° de ZONE	EN CONTINU	FEUILLET 1/20 000	COUPLE STÉRÉOSCOPIQUE	REPÈRE HYDROGRAPHIQUE	BASSIN HYDROGRAPHIQUE	ALTITUDE (m)	GÉOMORPHOLOGIE	GRAPHE TOPOLOGIQUE	INTÉGRITÉ EN 2004
1.16.068	640	2 Sud	Q99816/180-181	Lac sans nom	Rivière Romaine	115	Terrasse lacustre	Vecteur discontinu	Boisée
1.16.069	641	2 Sud	Q99816/76-77	Lac sans nom	Rivière Romaine	115	Terrasse lacustre	Vecteur discontinu	Boisée
1.16.070	642	2 Sud	Q99816/76-77	Lac sans nom	Rivière Romaine	115	Terrasse lacustre; belle pointe en surface bosselée	Vecteur discontinu	Boisée
1.16.071	643	2 Sud	Q99816/76-77	Lac sans nom	Rivière Romaine	120	Terrasse lacustre; petite surface bosselée dans le fond d'une baie	Vecteur discontinu	Boisée
1.16.072	644	2 Sud	Q99816/180-181	Lac sans nom	Rivière Romaine	115	Terrasse lacustre; surface irrégulière en roche en place	Vecteur discontinu	En partie boisée; occupée par un chalet
1.16.073	645	2 Sud	Q99816/180-181	Lac sans nom	Rivière Romaine	115	Terrasse lacustre	Vecteur discontinu	Boisée
1.16.074	646	2 Sud	Q99816/180-181	Lac sans nom	Rivière Romaine	115	Terrasse lacustre	Vecteur discontinu	Boisée
1.16.075	647	2 Sud	Q99816/180-181	Lac sans nom	Rivière Romaine	115	Terrasse lacustre; belle surface isodiamétrique	Vecteur discontinu	Boisée
1.16.076	648	2 Sud	Q99816/76-77	Lac sans nom	Rivière Romaine	115	Terrasse lacustre; côté ouest d'un isthme	Vecteur discontinu	Boisée
1.16.077	649	2 Sud	Q99816/76-77	Lac sans nom	Rivière Romaine	115	Terrasse lacustre; côté est d'un isthme	Vecteur discontinu	Boisée
1.16.078	650	2 Sud	Q99816/76-77	Lac sans nom	Rivière Romaine	115	Terrasse lacustre; surface irrégulière en grande partie en roche en place	Vecteur discontinu	Boisée
1.16.079	651	2 Sud	Q99816/76-77	Lac sans nom	Rivière Romaine	115	Terrasse lacustre	Vecteur discontinu	En partie boisée
1.16.080	652	2 Sud	Q99816/76-77	Lac sans nom	Rivière Romaine	120	Terrasse lacustre	Vecteur discontinu	Boisée
1.16.081	653	2 Sud	Q99816/76-77	Lac sans nom	Rivière Romaine	120	Terrasse lacustre; extrémité sud d'une île	Vecteur discontinu	Boisée
1.16.082	654	2 Sud	Q99816/76-77	Lac sans nom	Rivière Romaine	115	Terrasse lacustre	Vecteur discontinu	Boisée
1.16.083	655	2 Sud	Q99816/76-77	Lac sans nom	Rivière Romaine	115	Terrasse lacustre; à la décharge du lac	Vecteur discontinu	Boisée
1.16.084	656	2 Sud	Q99816/76-77	Lac sans nom	Rivière Romaine	115	Terrasse lacustre; à la décharge du lac	Vecteur discontinu	Boisée
1.16.085	657	2 Sud	Q99813/145-146	Lac sans nom	Rivière Romaine	95	Terrasse lacustre	En dehors du graphe topologique	Sans arbres
1.16.086	658	2 Sud	Q99813/145-146	Lac sans nom	Rivière Romaine	100	Terrasse lacustre	En dehors du graphe topologique	Boisée
1.16.087	659	2 Sud	Q99813/145-146	Lac sans nom	Rivière Romaine	95	Terrasse lacustre	En dehors du graphe topologique	En partie boisée

N° de ZONE	EN CONTINU	FEUILLET 1/20 000	COUPLE STÉRÉOSCOPIQUE	REPÈRE HYDROGRAPHIQUE	BASSIN HYDROGRAPHIQUE	ALTITUDE (m)	GÉOMORPHOLOGIE	GRAPHE TOPOLOGIQUE	INTÉGRITÉ EN 2004
1.16.088	660	2 Sud	Q99813/145-146	Lac Quertier	Rivière Romaine	75-80	Terrasses fluviales et terrasse lacustre	Vecteur discontinu	Boisée
1.16.089	661	2 Sud	Q99813/145-146	Lac Quertier	Rivière Romaine	75-80	Terrasse fluviale rive gauche et terrasse lacustre	Vecteur discontinu	Boisée
1.16.090	662	2 Sud	Q99813/145-146	Lac Richard	Rivière Romaine	75	Terrasse lacustre; petite pointe rocheuse sub-horizontale	Vecteur discontinu	Boisée
1.16.091	663	2 Sud	Q99813/144-145	Lac Richard	Rivière Romaine	75	Terrasse lacustre	Vecteur discontinu	Boisée
1.16.092	664	2 Sud	Q99813/144-145	Lac Richard	Rivière Romaine	75-80	Terrasse fluviale, rive gauche	Vecteur discontinu	Boisée
1.16.093	665	2 Sud	Q99813/144-145	Lac Preverault	Rivière Romaine	100	Terrasse lacustre; pointe rocheuse présentant une surface très irrégulière.	Vecteur discontinu	Boisée
1.16.094	666	2 Sud	Q99813/144-145	Lac Preverault	Rivière Romaine	100	Terrasse lacustre; fond d'une baie près de la décharge du lac	Vecteur discontinu	Boisée
1.16.095	667	2 Sud	Q99813/144-145	Lac Preverault	Rivière Romaine	100	Terrasse lacustre; surface d'accueil très étroite	Vecteur discontinu	Boisée
1.16.096	668	2 Sud	Q99813/143-144	Lac Preverault	Rivière Romaine	100	Terrasse lacustre; comprend l'ensemble d'un col	Vecteur discontinu	Boisée
1.16.097	669	2 Sud	Q99813/143-144	Lac Preverault	Rivière Romaine	100	Terrasse lacustre; côté ouest d'un col	Vecteur discontinu	Boisée
1.16.098	670	2 Sud	Q99813/143-144	Lac Preverault	Rivière Romaine	100	Terrasse lacustre; côté est d'un col	Vecteur discontinu	Boisée
1.16.099	671	2 Sud	Q99813/143-144	Lac Preverault	Rivière Romaine	100	Terrasse lacustre; petite zone en roche en place entre une baie du lac Preverault et un petit lac circulaire	Vecteur discontinu	Boisée
1.16.100	672	2 Sud	Q99816/75-76	Lac sans nom	Rivière Romaine	110	Terrasse lacustre à la charge du lac	En dehors du graphe topologique	Boisée
1.16.101	673	2 Sud	Q99816/181-182	Lac sans nom	Rivière Romaine	155	Terrasse lacustre; replat bosselé en roche en place	En dehors du graphe topologique	Boisée
1.16.102	674	2 Sud	Q99816/181-182	Lac sans nom	Rivière Romaine	155	Terrasse lacustre; décharge du lac	En dehors du graphe topologique	Boisée
1.16.103	675	2 Sud	Q99816/182-183	Lac sans nom	Rivière Romaine	190	Terrasse lacustre; petite pointe rocheuse à la décharge du lac	En dehors du graphe topologique	En partie boisée
1.16.104	676	2 Sud	Q99816/182-183	Lac sans nom	Rivière Romaine	190	Terrasse lacustre; surface très bosselée en roche en place	En dehors du graphe topologique	En partie boisée
1.16.105	677	2 Sud	Q99816/182-183	Lac sans nom	Rivière Romaine	190	Terrasse lacustre; surface très bosselée en roche en place	En dehors du graphe topologique	En partie boisée

N° de ZONE	EN CONTINU	FEUILLET 1/20 000	COUPLE STÉRÉOSCOPIQUE	REPÈRE HYDROGRAPHIQUE	BASSIN HYDROGRAPHIQUE	ALTITUDE (m)	GÉOMORPHOLOGIE	GRAPHE TOPOLOGIQUE	INTÉGRITÉ EN 2004
1.16.106	678	2 Sud	Q99816/182-183	Lac sans nom	Rivière Romaine	190	Terrasse lacustre; surface assez régulière en roche en place	En dehors du graphe topologique	Boisée
1.16.107	679	2 Sud	Q99815/82-83	Lac sans nom	Rivière Romaine	190	Terrasse lacustre; pointe rocheuse	En dehors du graphe topologique	Boisée
1.16.108	680	2 Sud	Q99831/138-139	Lac Hélène	Rivière Romaine	150	Terrasse lacustre; étroite bande limitée par une petite falaise	En dehors du graphe topologique	Boisée
1.16.109	681	2 Sud	Q99831/138-139	Lac Hélène	Rivière Romaine	150	Terrasse lacustre; replat rocheux dans un contexte d'abrupts	En dehors du graphe topologique	Boisée
1.16.110	682	2 Sud	Q99816/74-75	Lac sans nom	Rivière Romaine	135	Terrasse lacustre; encercle une ligne d'interfluve	Vecteur discontinu	Boisée
1.16.111	683	2 Sud	Q99816/74-75	Lac sans nom	Rivière Romaine	135	Terrasse lacustre; fond d'une petite baie	Vecteur discontinu	Boisée
1.16.112	684	2 Sud	Q99816/74-75	Lac Lisigny	Rivière Romaine	105	Terrasse lacustre; petite baie entre deux pointes rocheuses	Vecteur discontinu	Boisée
1.16.113	685	2 Sud	Q99816/74-75	Lac Lisigny	Rivière Romaine	105	Terrasse lacustre	Vecteur discontinu	Boisée
1.16.114	686	2 Sud	Q99816/73-74	Lac Lisigny	Rivière Romaine	105	Terrasse lacustre; pointe qui domine le lac, du nord au sud	Vecteur discontinu	Boisée; occupée par des habitations temporaires
1.16.115	687	2 Sud	Q99816/73-74	Lac Lisigny	Rivière Romaine	105	Terrasse lacustre	Vecteur discontinu	En partie boisée
1.16.116	688	2 Sud	Q99816/73-74	Lac Lisigny	Rivière Romaine	105	Terrasse lacustre; côté ouest d'une passe	Vecteur discontinu	Boisée
1.16.117	689	2 Sud	Q99816/73-74	Lac Lisigny	Rivière Romaine	105	Terrasses fluviales et terrasse lacustre; embouchure d'un ruisseau	Vecteur discontinu	Boisée
1.16.118	690	2 Sud	Q99816/73-74	Lac Lisigny	Rivière Romaine	105	Col, coincé entre deux abrupts; localise des rapides ou une petite chute	Vecteur discontinu	Boisée
1.16.119	691	2 Sud	Q99816/73-74	Lac Lisigny	Rivière Romaine	105	Terrasse lacustre; surface bosselée en roche en place	Vecteur discontinu	Sans arbres
1.16.120	692	2 Sud	Q99816/73-74	Lac sans nom	Rivière Romaine	135	Terrasse lacustre; surface bosselée en roche en place	En dehors du graphe topologique	En partie boisée
1.16.121	693	2 Sud	Q99816/73-74	Lac sans nom	Rivière Romaine	135	Terrasse lacustre; entre un petit lac et une surface marécageuse	En dehors du graphe topologique	Boisée
1.16.122	694	2 Sud	Q99816/73-74	Lac Lisigny	Rivière Romaine	110	Terrasse lacustre; belle surface en rive ouest d'une passe	Vecteur discontinu	Boisée

N° de ZONE	EN CONTINU	FEUILLET 1/20 000	COUPLE STÉRÉOSCOPIQUE	REPÈRE HYDROGRAPHIQUE	BASSIN HYDROGRAPHIQUE	ALTITUDE (m)	GÉOMORPHOLOGIE	GRAPHE TOPOLOGIQUE	INTÉGRITÉ EN 2004
1.16.123	695	2 Sud	Q99816/183-184	Lac sans nom	Rivière Romaine	140	Terrasse lacustre; surface légèrement bosselée en roche en place	En dehors du graphe topologique	Boisée
1.16.124	696	2 Sud	Q99831/140-141	Lac sans nom	Rivière Romaine	165	Terrasse lacustre; surface relativement plane	En dehors du graphe topologique	Boisée
1.16.125	697	2 Sud	Q99831/140-141	Lac sans nom	Rivière Romaine	165	Terrasse lacustre; surface bosselée en roche en place	En dehors du graphe topologique	Boisée
1.16.126	698	2 Sud	Q99815/29-30	Lac Puyjalou	Rivière Romaine	115	Terrasse fluviale rive gauche et terrasse lacustre; dans le fond d'une grande baie	Espace annexe	Boisée
1.16.127	699	2 Sud	Q99815/29-30	Lac Puyjalou	Rivière Romaine	110	Terrasse fluviale de deux ruisseaux : un qui vient de l'est et l'autre du sud	Espace annexe	Boisée
1.16.128	700	2 Sud	Q99815/29-30	Lac Puyjalou	Rivière Romaine	110	Terrasse fluviale rive droite et terrasse lacustre; belle surface sableuse	Espace annexe	Boisée
1.16.129	701	2 Sud	Q99815/29-30	Lac Puyjalou	Rivière Romaine	110	Terrasse fluviale, rive droite	Espace annexe	Boisée
1.16.130	702	2 Sud	Q99815/29-30	Lac Puyjalou	Rivière Romaine	110	Terrasse fluviale de deux ruisseaux : un qui vient de l'est et l'autre du nord	Espace annexe	Boisée
1.16.131	703	2 Sud	Q99813/143-144	Lac Prevereault	Rivière Romaine	100	Terrasse lacustre; mince bande rocheuse	Vecteur discontinu	Boisée

**Tableau 4B : Zones à potentiel archéologique préhistorique et historique, corridor nord**

N° de ZONE	EN CONTINU	FEUILLET 1/20 000	COUPLE STÉRÉOSCOPIQUE	REPÈRE HYDROGRAPHIQUE	BASSIN HYDROGRAPHIQUE	ALTITUDE (m)	GÉOMORPHOLOGIE	GRAPHE TOPOLOGIQUE	INTÉGRITÉ EN 2004
2.01.001	1	6 Nord	HQ042002/76-77	Rivière Magpie Ouest	Rivière Magpie	600	Haute terrasse fluviale, rive gauche. Les zones reliées à la rivière Mapple Ouest, ont toutes subi une érosion éolienne à des degrés divers.	Vecteur moyennement continu	Sans arbres
2.01.002	2	6 Nord	HQ042002/76-77	Rivière Magpie Ouest	Rivière Magpie	600	Haute terrasse fluviale, rive gauche	Vecteur moyennement continu	Sans arbres; traversée par la ligne à 720 kV et par la route, à l'entrée du poste Montagnais. La partie sud de la zone semble moins perturbée.
2.01.003	3	6 Nord	HQ042001/125-126	Rivière Magpie Ouest	Rivière Magpie	600	Haute terrasse fluviale, rive gauche et replat dominant une série de cuvettes de culots de glace morte.	Vecteur moyennement continu	Sans arbres
2.01.004	4	6 Nord	HQ042001/125-126	Rivière Magpie Ouest	Rivière Magpie	600	Haute terrasse fluviale, rive gauche; extrémité d'une pointe isolée à l'est par un ravinement fluvio-glaciaire et à l'ouest par des cuvettes de culots de glace morte.	Espace annexe	Sans arbres; traversée par la ligne à 720 kV. Semble perturbée.
2.01.005	5	6 Nord	HQ042001/125-126	Rivière Magpie Ouest	Rivière Magpie	595	Terrasse fluviale, rive gauche	Espace annexe	Quelques arbres; coincée entre la zone 2.01.004 et un banc d'emprunt.
2.01.006	6	6 Nord	HQ042001/125-126	Rivière Magpie Ouest	Rivière Magpie	600	Haute terrasse fluviale, rive droite	Espace annexe	Sans arbres; traversée par la ligne à 720 kV. Bariolée par plusieurs petits chemins.
2.01.007	7	6 Nord	HQ042001/126-127	Rivière Magpie Ouest	Rivière Magpie	600	Haute terrasse fluviale, rive gauche. Le talus a subi une forte déflation et le replat a subi une forte érosion	Vecteur moyennement continu	Sans arbres; traversée par un petit chemin.
2.01.008	8	6 Nord	HQ042001/126-127	Rivière Magpie Ouest	Rivière Magpie	595	Terrasse fluviale, rive droite. Belle surface d'accueil.	Vecteur moyennement continu	Quelques arbres
2.01.009	9	6 Nord	HQ042001/126-127	Rivière Magpie Ouest	Rivière Magpie	590	Basse terrasse fluviale, rive gauche	Vecteur moyennement continu	Quelques arbres
2.01.010	10	6 Nord	HQ042001/126-127	Rivière Magpie Ouest	Rivière Magpie	592	Terrasse fluviale, rive gauche. La surface est très bosselée par une forte éolisation.	Vecteur moyennement continu	Sans arbres
2.01.011	11	6 Nord	HQ042001/126-127	Rivière Magpie Ouest	Rivière Magpie	600	Haute terrasse fluviale, rive gauche	Vecteur moyennement continu	Sans arbres

N° de ZONE	EN CONTINU	FEUILLET 1/20 000	COUPLE STÉRÉOSCOPIQUE	REPÈRE HYDROGRAPHIQUE	BASSIN HYDROGRAPHIQUE	ALTITUDE (m)	GÉOMORPHOLOGIE	GRAPHE TOPOLOGIQUE	INTÉGRITÉ EN 2004
2.01.012	12	6 Nord	HQ042001/127-128	Rivière Magpie Ouest	Rivière Magpie	595	Terrasse fluviale, rive droite	Vecteur moyennement continu	Quelques arbres
2.01.013	13	6 Nord	HQ042001/127-128	Rivière Magpie Ouest	Rivière Magpie	590	Basse terrasse fluviale, rive droite	Vecteur moyennement continu	Quelques arbres
2.01.014	14	6 Nord	HQ042001/127-128	Rivière Magpie Ouest	Rivière Magpie	595	Terrasse fluviale, rive droite	Vecteur moyennement continu	Quelques arbres
2.01.015	15	6 Nord	HQ042001/127-128	Rivière Magpie Ouest	Rivière Magpie	595	Terrasse fluviale, rive droite	Vecteur moyennement continu	Sans arbres
2.01.016	16	6 Nord	HQ042001/127-128	Rivière Magpie Ouest	Rivière Magpie	595	Terrasse fluviale, rive gauche	Vecteur moyennement continu	Sans arbres; traversée par un chemin
2.01.017	17	6 Nord	HQ042001/127-128	Rivière Magpie Ouest	Rivière Magpie	590	Basse terrasse fluviale, rive gauche	Vecteur moyennement continu	Sans arbres
2.01.018	18	6 Nord	HQ042001/127-128	Rivière Magpie Ouest	Rivière Magpie	590	Basse terrasse fluviale, rive droite	Vecteur moyennement continu	Sans arbres
2.01.019	19	6 Nord	HQ042001/127-128	Rivière Magpie Ouest	Rivière Magpie	595	Terrasse fluviale, rive droite	Vecteur moyennement continu	Sans arbres
2.01.020	20	6 Nord	HQ042001/127-128	Rivière Magpie Ouest	Rivière Magpie	595	Terrasse fluviale, rive droite	Vecteur moyennement continu	Sans arbres
2.01.021	21	6 Nord	HQ042001/127-128	Rivière Magpie Ouest	Rivière Magpie	590	Basse terrasse fluviale, rive gauche	Vecteur moyennement continu	Sans arbres
2.01.022	22	6 Nord	HQ042001/127-128	Rivière Magpie Ouest	Rivière Magpie	595	Terrasse fluviale, rive gauche	Vecteur moyennement continu	Sans arbres; longée par un chemin
2.01.023	23	6 Nord	HQ042001/128-129	Rivière Magpie Ouest	Rivière Magpie	590	Basse terrasse fluviale, rive gauche	Vecteur moyennement continu	Sans arbres
2.01.024	24	6 Nord	HQ042001/128-129	Rivière Magpie Ouest	Rivière Magpie	590	Basse terrasse fluviale, rive gauche	Vecteur moyennement continu	Sans arbres

N° de ZONE	EN CONTINU	FEUILLET 1/20 000	COUPLE STÉRÉOSCOPIQUE	REPÈRE HYDROGRAPHIQUE	BASSIN HYDROGRAPHIQUE	ALTITUDE (m)	GÉOMORPHOLOGIE	GRAPHE TOPOLOGIQUE	INTÉGRITÉ EN 2004
2.01.025	25	6 Nord	HQ042001/128-129	Rivière Magpie Ouest	Rivière Magpie	585	Basse terrasse fluviale, rive gauche	Vecteur moyennement continu	Quelques arbres
2.01.026	26	6 Nord	HQ042001/128-129	Rivière Magpie Ouest	Rivière Magpie	595	Terrasse fluviale, rive gauche	Vecteur moyennement continu	Sans arbres
2.02.001	27	6 Nord	HQ042002/71-72	Affluent de la rivière Magpie Ouest et décharge du lac Éric	Rivière Magpie	590	Terrasse fluviale, rive droite. Toutes les zones reliées à cet affluent ont subi une éolisation très importante, particulièrement sur la rive gauche.	Vecteur discontinu	Sans arbres
2.02.002	28	6 Nord	HQ042002/71-72	Affluent de la rivière Magpie Ouest et décharge du lac Éric	Rivière Magpie	590	Terrasse fluviale, rive droite	Vecteur discontinu	Sans arbres
2.02.003	29	6 Nord	HQ042002/71-72	Affluent de la rivière Magpie Ouest et décharge du lac Éric	Rivière Magpie	590	Terrasse fluviale, rive droite	Vecteur discontinu	Sans arbres
2.02.004	30	6 Nord	HQ042002/71-72	Affluent de la rivière Magpie Ouest et décharge du lac Éric	Rivière Magpie	590-600	Terrasse fluviale, rive gauche. Le talus et le replat ont subi une forte déflation.	Vecteur discontinu	Sans arbres
2.02.005	31	6 Nord	HQ042002/71-72	Affluent de la rivière Magpie Ouest et décharge du lac Éric	Rivière Magpie	590-600	Terrasse fluviale, rive gauche. De toutes les zones de cette rivière, c'est celle qui a subi la plus forte éolisation.	Vecteur discontinu	Sans arbres
2.02.006	32	6 Nord	HQ042001/130-131	Affluent de la rivière Magpie Ouest et décharge du lac Éric	Rivière Magpie	585-590	Terrasse fluviale, rive gauche	Vecteur discontinu	Sans arbres
2.02.007	33	6 Nord	HQ042001/130-131	Affluent de la rivière Magpie Ouest et décharge du lac Éric	Rivière Magpie	590	Terrasse fluviale, rive droite. C'est la plus belle zone de cet affluent. Évite, à l'ouest, une série de cuvettes de déflation.	Vecteur discontinu	Sans arbres
2.02.008	34	6 Nord	HQ042001/130-131	Affluent de la rivière Magpie Ouest et décharge du lac Éric	Rivière Magpie	585-590	Terrasse fluviale, rive droite. À cause de la déflation, le talus de cette zone est moins net que celui de la zone précédente.	Vecteur discontinu	Sans arbres
2.02.009	35	6 Nord	HQ042001/130-131	Affluent de la rivière Magpie Ouest et décharge du lac Éric	Rivière Magpie	585-590	Terrasse fluviale, rive gauche. Replat bosselé par le vent.	Vecteur discontinu	Sans arbres
2.02.010	36	6 Nord	HQ042001/130-131	Affluent de la rivière Magpie Ouest et décharge du lac Éric	Rivière Magpie	580	Basse terrasse fluviale, rive gauche. Représente, avec la zone suivante, les deux seules basses terrasses retenues de cet ensemble de paléo-méandres.	Vecteur discontinu	Sans arbres

N° de ZONE	EN CONTINU	FEUILLET 1/20 000	COUPLE STÉRÉOSCOPIQUE	REPÈRE HYDROGRAPHIQUE	BASSIN HYDROGRAPHIQUE	ALTITUDE (m)	GÉOMORPHOLOGIE	GRAPHE TOPOLOGIQUE	INTÉGRITÉ EN 2004
2.02.011	37	6 Nord	HQ042001/130-131	Affluent de la rivière Magpie Ouest et décharge du lac Éric	Rivière Magpie	580	Basse terrasse fluviale, rive gauche	Vecteur discontinu	Sans arbres
2.02.012	38	6 Nord	HQ042002/70-71	Lac sans nom	Rivière Magpie	590	Terrasse lacustre, côté est	Hors graphe	Boisée
2.02.013	39	6 Nord	HQ042002/70-71	Lac sans nom	Rivière Magpie	590	Terrasse lacustre, côté ouest	Hors graphe	Boisée
2.02.014	40	6 Nord	HQ042001/134-135	Lac sans nom	Rivière Magpie	595	Rivage lacustre, au sud	Vecteur discontinu	Sans arbres
2.02.015	41	6 Nord	HQ042001/134-135	Lac sans nom	Rivière Magpie	585	Rivage lacustre, au nord-est	Vecteur discontinu	Sans arbres
2.02.016	42	6 Nord	HQ042001/134-135	Lac sans nom	Rivière Magpie	585	Rivage lacustre, au nord-ouest	Vecteur discontinu	Sans arbres
2.02.017	43	6 Nord	HQ042001/134-135	Lac sans nom	Rivière Magpie	585	Terrasse lacustre, au sud-ouest	Vecteur discontinu	Quelques arbres
2.02.018	44	6 Nord	HQ042001/134-135	Lac sans nom	Rivière Magpie	585	Terrasse lacustre, au sud-est	Vecteur discontinu	Quelques arbres
2.03.001	45	6 Nord	HQ042002/64-65	Affluent de la rivière Magpie Ouest	Rivière Magpie	575	Haute terrasse fluviale, rive gauche. Talus sculpté par la déflation.	Vecteur moyennement continu	Sans arbres
2.03.002	46	6 Nord	HQ042002/64-65	Affluent de la rivière Magpie Ouest	Rivière Magpie	575	Haute terrasse fluviale, rive droite. Replat qui a subi une forte éolisation. Immense surface.	Espace annexe	Sans arbres
2.03.003	47	6 Nord	HQ042002/64-65	Affluent de la rivière Magpie Ouest	Rivière Magpie	565	Moyenne terrasse fluviale, rive droite. Des traces de paléo-méandres et une forte éolisation sont responsables d'une surface bosselée.	Espace annexe	Sans arbres
2.03.004	48	6 Nord	HQ042002/64-65	Affluent de la rivière Magpie Ouest	Rivière Magpie	575	Haute terrasse fluviale, rive droite. Isolée de la surface de la zone 2.03.002 par un petit vallon.	Espace annexe	Sans arbres
2.03.005	49	6 Nord	HQ042002/64-65	Affluent de la rivière Magpie Ouest	Rivière Magpie	575	Haute terrasse fluviale, rive gauche. Talus sculpté par des paléo-méandres et replat bosselé par une forte éolisation.	Espace annexe	Sans arbres
2.03.006	50	6 Nord	HQ042002/64-65	Affluent de la rivière Magpie Ouest	Rivière Magpie	560	Basse terrasse fluviale, rive gauche	Espace annexe	Quelques arbres
2.03.007	51	6 Nord	HQ042002/64-65	Affluent de la rivière Magpie Ouest	Rivière Magpie	575	Haute terrasse fluviale, rive gauche. Les talus sud et ouest ont été sculptés par la rivière, alors que le talus nord-est l'a été par un ruisseau	Espace annexe	Quelques arbres

N° de ZONE	EN CONTINU	FEUILLET 1/20 000	COUPLE STÉRÉOSCOPIQUE	REPÈRE HYDROGRAPHIQUE	BASSIN HYDROGRAPHIQUE	ALTITUDE (m)	GÉOMORPHOLOGIE	GRAPHE TOPOLOGIQUE	INTÉGRITÉ EN 2004
2.03.008	52	6 Nord	HQ042002/64-65	Affluent de la rivière Magpie Ouest	Rivière Magpie	575	Haute terrasse fluviale, rive gauche	Espace annexe	Sans arbres
2.03.009	53	6 Nord	HQ042002/64-65	Affluent de la rivière Magpie Ouest	Rivière Magpie	575	Haute terrasse fluviale, rive droite	Espace annexe	Sans arbres
2.03.010	54	6 Nord	HQ042002/64-65	Affluent de la rivière Magpie Ouest	Rivière Magpie	575	Haute terrasse fluviale, rive droite	Vecteur moyennement continu	Sans arbres
2.03.011	55	6 Nord	HQ042002/64-65	Affluent de la rivière Magpie Ouest	Rivière Magpie	575	Haute terrasse fluviale, rive droite	Vecteur moyennement continu	Sans arbres
2.03.012	56	6 Nord	HQ042002/64-65	Affluent de la rivière Magpie Ouest	Rivière Magpie	575	Haute terrasse fluviale, rive droite	Espace annexe	Sans arbres
2.03.013	57	6 Nord	HQ042002/64-65	Affluent de la rivière Magpie Ouest	Rivière Magpie	560	Basse terrasse fluviale, rive gauche. La surface est bariolée par des traces de paléo-méandres.	Espace annexe	Sans arbres
2.03.014	58	6 Nord	HQ042001/138-139	Affluent de la rivière Magpie Ouest	Rivière Magpie	560	Basse terrasse fluviale, rive droite	Espace annexe	Sans arbres
2.03.015	59	6 Nord	HQ042001/138-139	Affluent de la rivière Magpie Ouest	Rivière Magpie	562	Moyenne terrasse fluviale, rive gauche	Espace annexe	Sans arbres
2.03.016	60	6 Nord	HQ042002/63-64	Affluent de la rivière Magpie Ouest	Rivière Magpie	560	Basse terrasse fluviale, rive gauche. Îlot entouré par un paléo-méandre.	Espace annexe	Quelques arbres
2.03.017	61	6 Nord	HQ042001/138-139	Affluent de la rivière Magpie Ouest	Rivière Magpie	560	Basse terrasse fluviale, rive droite	Espace annexe	Sans arbres
2.03.018	62	6 Nord	HQ042001/138-139	Affluent de la rivière Magpie Ouest	Rivière Magpie	560	Basse terrasse fluviale, rive droite	Espace annexe	Sans arbres
2.03.019	63	6 Nord	HQ042001/138-139	Affluent de la rivière Magpie Ouest	Rivière Magpie	560	Basse terrasse fluviale, rive droite	Espace annexe	Sans arbres
2.03.020	64	6 Nord	HQ042002/63-64	Affluent de la rivière Magpie Ouest	Rivière Magpie	560	Basse terrasse fluviale, rive droite	Vecteur moyennement continu	Quelques arbres
2.03.021	65	6 Nord	HQ042002/63-64	Affluent de la rivière Magpie Ouest	Rivière Magpie	560	Basse terrasse fluviale, rive droite	Vecteur moyennement continu	Quelques arbres
2.03.022	66	6 Nord	HQ042002/63-64	Affluent de la rivière Magpie Ouest	Rivière Magpie	560	Moyenne terrasse fluviale, rive gauche	Vecteur moyennement continu	Quelques arbres

N° de ZONE	EN CONTINU	FEUILLET 1/20 000	COUPLE STÉRÉOSCOPIQUE	REPÈRE HYDROGRAPHIQUE	BASSIN HYDROGRAPHIQUE	ALTITUDE (m)	GÉOMORPHOLOGIE	GRAPHE TOPOLOGIQUE	INTÉGRITÉ EN 2004
2.03.023	67	6 Nord	HQ042002/63-64	Affluent de la rivière Magpie Ouest	Rivière Magpie	560	Basse terrasse fluviale, rive droite	Vecteur moyennement continu	Quelques arbres
2.03.024	68	6 Nord	HQ042001/138-139	Affluent de la rivière Magpie Ouest	Rivière Magpie	560	Basse terrasse fluviale, rive gauche	Vecteur moyennement continu	Quelques arbres
2.03.025	69	6 Nord	HQ042001/139-140	Affluent de la rivière Magpie Ouest	Rivière Magpie	560	Basse terrasse fluviale, rive droite	Vecteur moyennement continu	Quelques arbres
2.03.026	70	6 Nord	HQ042001/139-140	Affluent de la rivière Magpie Ouest	Rivière Magpie	560	Basse terrasse fluviale, rive droite	Vecteur moyennement continu	Quelques arbres
2.03.027	71	6 Nord	HQ042001/139-140	Affluent de la rivière Magpie Ouest	Rivière Magpie	565	Moyenne terrasse fluviale, rive gauche. La surface est légèrement en croupe.	Vecteur moyennement continu	Sans arbres
2.03.028	72	6 Nord	HQ042001/139-140	Affluent de la rivière Magpie Ouest	Rivière Magpie	560	Basse terrasse fluviale, rive droite. Appuyée sur un abrupt.	Vecteur moyennement continu	Sans arbres
2.03.029	73	6 Nord	HQ042001/139-140	Lac sans nom	Rivière Magpie	560	Rivage du lac en pointe et en baie	Vecteur moyennement continu	Sans arbres
2.03.030	74	6 Nord	HQ042001/140-141	Lac sans nom	Rivière Magpie	560	Rivage du lac en pointe	Vecteur moyennement continu	Sans arbres
2.03.031	75	6 Nord	HQ042001/140-141	Ruisseau sans nom	Rivière Magpie	570	Terrasse de kame	Vecteur discontinu	Sans arbres
2.03.032	76	6 Nord	HQ042001/140-141	Ruisseau sans nom	Rivière Magpie	570	Terrasse de kame	Vecteur discontinu	Sans arbres
2.03.033	77	6 Nord	HQ042001/140-141	Ruisseau sans nom	Rivière Magpie	570	Terrasse de kame	Vecteur discontinu	Sans arbres
2.04.001	78	5 Nord	HQ042002/58-59	Série de lacs et de rivières réunissant le lac Fleur-de-May au lac Pierres	Rivière Magpie	610	Terrasse d'obturation latérale dont le surface est très légèrement bosselée par les courants fini-glaciaires.	Vecteur moyennement continu	Sans arbres
2.04.002	79	5 Nord	HQ042002/58-59	Série de lacs et de rivières réunissant le lac Fleur-de-May au lac Pierres	Rivière Magpie	610	Terrasse d'obturation latérale dont le surface est fortement bosselée par les courants fini-glaciaires. Contourne une cuvette de culot de glace morte.	Vecteur moyennement continu	Sans arbres

N° de ZONE	EN CONTINU	FEUILLET 1/20 000	COUPLE STÉRÉOSCOPIQUE	REPÈRE HYDROGRAPHIQUE	BASSIN HYDROGRAPHIQUE	ALTITUDE (m)	GÉOMORPHOLOGIE	GRAPHE TOPOLOGIQUE	INTÉGRITÉ EN 2004
2.04.003	80	5 Nord	HQ042002/57-58	Série de lacs et de rivières réunissant le lac Fleur-de-May au lac Pierres	Rivière Magpie	605	Talweg entre deux eskers	Vecteur moyennement continu	Quelques arbres
2.04.004	81	5 Nord	HQ042002/57-58	Série de lacs et de rivières réunissant le lac Fleur-de-May au lac Pierres	Rivière Magpie	610	Partie plus horizontale d'un esker	Vecteur moyennement continu	Quelques arbres
2.04.005	82	5 Nord	HQ042002/57-58	Série de lacs et de rivières réunissant le lac Fleur-de-May au lac Pierres	Rivière Magpie	605	Partie plus horizontale d'un esker qui s'avance en pointe dans un lac sans nom.	Vecteur moyennement continu	Sans arbres
2.04.006	83	5 Nord	HQ042002/57-58	Série de lacs et de rivières réunissant le lac Fleur-de-May au lac Pierres	Rivière Magpie	610	Esker dont le bombement peut accueillir une installation humaine	Vecteur moyennement continu	Sans arbres
2.04.007	84	5 Nord	HQ042001/143-144	Série de lacs et de rivières réunissant le lac Fleur-de-May au lac Pierres	Rivière Magpie	605	Terrasse d'obturation latérale; belle surface d'accueil.	Vecteur moyennement continu	Sans arbres
2.04.008	85	5 Nord	HQ042001/143-144	Série de lacs et de rivières réunissant le lac Fleur-de-May au lac Pierres	Rivière Magpie	605	Terrasse d'obturation latérale	Vecteur moyennement continu	Sans arbres
2.04.009	86	5 Nord	HQ042001/143-144	Série de lacs et de rivières réunissant le lac Fleur-de-May au lac Pierres	Rivière Magpie	605	Terrasse d'obturation latérale	Vecteur moyennement continu	Quelques arbres
2.04.010	87	5 Nord	HQ042001/143-144	Série de lacs et de rivières réunissant le lac Fleur-de-May au lac Pierres	Rivière Magpie	605	Terrasse d'obturation latérale	Vecteur moyennement continu	Quelques arbres
2.04.011	88	5 Nord	HQ042001/146-147	Lac sans nom	Rivière Magpie	625	Rivage lacustre; surface bosselée	Vecteur discontinu	Boisée
2.04.012	89	5 Nord	HQ042001/146-147	Lac sans nom	Rivière Magpie	620	Rivage lacustre et terrasse fluviale, rive droite	Vecteur discontinu	Boisée
2.04.013	90	5 Nord	HQ042001/146-147	Lac sans nom	Rivière Magpie	625-630	Rivage lacustre; légers bossellements	Vecteur discontinu	Boisée
2.04.014	91	5 Nord	HQ042001/146-147	Lac sans nom	Rivière Magpie	625-630	Rivage lacustre; légère pente en glaciais, vers le lac	Vecteur discontinu	Boisée

N° de ZONE	EN CONTINU	FEUILLET 1/20 000	COUPLE STÉRÉOSCOPIQUE	REPÈRE HYDROGRAPHIQUE	BASSIN HYDROGRAPHIQUE	ALTITUDE (m)	GÉOMORPHOLOGIE	GRAPHE TOPOLOGIQUE	INTÉGRITÉ EN 2004
2.04.015	92	5 Nord	HQ042001/146-147	Lac sans nom	Rivière Magpie	625-630	Rivage lacustre; plongée périnclinale d'un cran rocheux vers l'est	Vecteur discontinu	Boisée
2.04.016	93	5 Nord	HQ042001/146-147	Petit lac sans nom	Rivière Magpie	630	Rivage lacustre	Vecteur discontinu	Boisée
2.04.017	94	5 Nord	HQ042001/146-147	Petit lac sans nom	Rivière Magpie	630	Rivage lacustre	Vecteur discontinu	Boisée
2.04.018	95	5 Nord	HQ042001/146-147	Petit lac sans nom	Rivière Magpie	630	Cordon; rivage lacustre à l'est et terrasse fluviale à l'ouest	Vecteur discontinu	Boisée
2.04.019	96	5 Nord	HQ042001/146-147	Petit lac sans nom	Rivière Magpie	630	Rivage lacustre	Vecteur discontinu	Boisée
2.04.020	97	5 Nord	HQ042001/146-147	Grand lac sans nom	Rivière Magpie	625	Rivage lacustre en forme de baie et de pointe	Vecteur discontinu	Boisée
2.04.021	98	5 Nord	HQ042002/54-55	Lac sans nom	Rivière Magpie	625	Rivage lacustre; plongée d'une ligne d'interfluve	Vecteur discontinu	Boisée
2.04.022	99	5 Nord	HQ042002/54-55	Lac sans nom	Rivière Magpie	625-630	Rivage lacustre; grand espace bosselé inscrit dans une plongée périnclinale	Vecteur discontinu	Boisée
2.04.023	100	5 Nord	HQ042002/53-54	Lac sans nom	Rivière Magpie	625	Rivage lacustre	Vecteur discontinu	Boisée
2.04.024	101	5 Nord	HQ042001/148-149	Lac sans nom	Rivière Magpie	625	Rivage lacustre; à l'extrémité sud-est d'une petite ligne d'interfluve en roche en place.	Vecteur discontinu	Boisée
2.04.025	102	5 Nord	HQ042001/148-149	Lac sans nom	Rivière Magpie	625	Rivage lacustre; surface gisante formant une petite pointe à la sortie du lac	Vecteur discontinu	Boisée
2.04.026	103	5 Nord	HQ042001/147-148	Lac sans nom	Rivière Magpie	625	Rivage lacustre; pente en glaciais vers le lac	Vecteur discontinu	Boisée
2.04.027	104	5 Nord	HQ042001/148-149	Lac sans nom	Rivière Magpie	625	Rivage lacustre; une petite ligne d'interfluve dessine cette zone sur toute sa longueur.	Vecteur discontinu	Boisée
2.04.028	105	5 Nord	HQ042001/150-151	Chaîne de lacs sans nom reliée au lac Cheron	Rivière Magpie	585	Terrasse de kame liée à la fonte d'une langue glaciaire qui occupait cette vallée.	Vecteur discontinu	Quelques arbres
2.04.029	106	5 Nord	HQ042001/150-151	Chaîne de lacs sans nom reliée au lac Cheron	Rivière Magpie	585	Terrasse de kame liée à la fonte d'une langue glaciaire qui occupait cette vallée.	Vecteur discontinu	Quelques arbres

N° de ZONE	EN CONTINU	FEUILLET 1/20 000	COUPLE STÉRÉOSCOPIQUE	REPÈRE HYDROGRAPHIQUE	BASSIN HYDROGRAPHIQUE	ALTITUDE (m)	GÉOMORPHOLOGIE	GRAPHE TOPOLOGIQUE	INTÉGRITÉ EN 2004
2.04.030	107	5 Nord	HQ042001/151-152	Chaîne de lacs sans nom reliée au lac Cheron	Rivière Magpie	580	Terrasse de kame liée à la fonte d'une langue glaciaire qui occupait cette vallée.	Vecteur discontinu	Quelques arbres
2.04.031	108	5 Nord	HQ042001/151-152	Chaîne de lacs sans nom reliée au lac Cheron	Rivière Magpie	580	Terrasse de kame liée à la fonte d'une langue glaciaire qui occupait cette vallée.	Vecteur discontinu	Quelques arbres
2.04.032	109	5 Nord	HQ042001/151-152	Chaîne de lacs sans nom reliée au lac Cheron	Rivière Magpie	580	Terrasse de kame liée à la fonte d'une langue glaciaire qui occupait cette vallée.	Vecteur discontinu	Quelques arbres
2.04.033	110	5 Nord	HQ042002/51-52	Vallée qui réunit le lac Bastard au lac Cheron	Rivière Magpie	605-610	Terrasse de kame liée à la fonte d'une langue glaciaire qui occupait cette vallée. Comprend la partie haute, en pointe et la partie basse en anse.	Vecteur discontinu	Boisée
2.04.034	111	5 Nord	HQ042002/51-52	Vallée qui réunit le lac Bastard au lac Cheron	Rivière Magpie	610	Terrasse de kame liée à la fonte d'une langue glaciaire qui occupait cette vallée.	Vecteur discontinu	Boisée
2.04.035	112	5 Nord	HQ042002/51-52	Vallée qui réunit le lac Bastard au lac Cheron	Rivière Magpie	610	Terrasse de kame liée à la fonte d'une langue glaciaire qui occupait cette vallée. Confluence d'un ruisseau en lien avec un lac en boutonnière.	Vecteur discontinu	Boisée
2.04.036	113	5 Nord	HQ042002/51-52	Lac sans nom	Rivière Magpie	685	Rivage lacustre qui permet un contrôle visuel de la vallée en contrebas.	En dehors du graphe	Quelques arbres
2.05.001	113a	5 Nord	Au survol; au nord de HQ042002/42-43	Lacs Belmont	Rivière Magpie	840	Rivage lacustre qui permet un passage entre deux étendues d'eau.	Vecteur moyennement continu	Quelques arbres
2.05.002	113b	5 Nord	Au survol; au nord de HQ042002/42-43	Lacs Belmont	Rivière Magpie	840	Rivage lacustre qui permet un passage entre deux étendues d'eau.	Vecteur moyennement continu	Quelques arbres
2.05.003	114	4 Nord	HQ042002/39-40	Rivière Magpie	Rivière Magpie	640	Terrasse fluviale, rive droite. Au pied d'une chute, au début de la montée sur le plateau, dans un magnifique paysage.	Vecteur moyennement continu	Boisée
2.05.004	115	4 Nord	HQ042002/39-40	Rivière Magpie	Rivière Magpie	640	Terrasse fluviale, rive gauche. Au pied d'une chute, au début de la montée sur le plateau, dans un magnifique paysage.	Vecteur moyennement continu	Boisée
2.05.005	116	4 Nord	HQ042002/38-39	Lac sans nom	Rivière Magpie	625	Presqu'île sableuse au centre du lac.	En dehors du graphe	Boisée

N° de ZONE	EN CONTINU	FEUILLET 1/20 000	COUPLE STÉRÉOSCOPIQUE	REPÈRE HYDROGRAPHIQUE	BASSIN HYDROGRAPHIQUE	ALTITUDE (m)	GÉOMORPHOLOGIE	GRAPHE TOPOLOGIQUE	INTÉGRITÉ EN 2004
2.05.006	117	4 Nord	HQ042001/162-163	Rivière Magpie	Rivière Magpie	620	Terrasse fluviale, rive droite. Confluent d'un petit ruisseau.	Vecteur moyennement continu	Quelques arbres
2.05.007	118	4 Nord	HQ042001/162-163	Rivière Magpie	Rivière Magpie	620	Terrasse fluviale, rive droite. Confluent d'un petit ruisseau. La construction de cette terrasse semble plus associée au ruisseau qu'à la rivière.	Vecteur moyennement continu	Quelques arbres
2.05.008	119	4 Nord	HQ042001/162-163	Rivière Magpie	Rivière Magpie	615	Terrasse fluviale, rive gauche	Vecteur moyennement continu	Quelques arbres
2.05.009	120	4 Nord	HQ042001/162-163	Rivière Magpie	Rivière Magpie	615	Terrasse fluviale, rive gauche. Surface légèrement bombée.	Vecteur moyennement continu	Quelques arbres
2.06.001	121	4 Nord	HQ042002/34-35	Rivière Magpie Est	Rivière Magpie	572	Basse terrasse fluviale, rive droite	Vecteur moyennement continu	Quelques arbres
2.06.002	122	4 Nord	HQ042002/34-35	Rivière Magpie Est	Rivière Magpie	572	Basse terrasse fluviale, rive gauche	Vecteur moyennement continu	Quelques arbres
2.06.003	123	4 Nord	HQ042002/34-35	Rivière Magpie Est	Rivière Magpie	578-582	Haute terrasse fluviale, rive gauche. Belle surface d'accueil légèrement bosselée (petite cuvette au nord), en pente régulière (rampe) du nord vers le sud.	Vecteur moyennement continu	Sans arbres
2.06.004	124	4 Nord	HQ042002/34-35	Rivière Magpie Est	Rivière Magpie	572	Basse terrasse fluviale, rive gauche	Vecteur moyennement continu	Quelques arbres
2.06.005	125	4 Nord	HQ042002/34-35	Rivière Magpie Est	Rivière Magpie	575	Moyenne terrasse fluviale, rive gauche	Vecteur moyennement continu	Sans arbres
2.06.006	126	4 Nord	HQ042002/34-35	Rivière Magpie Est	Rivière Magpie	582	Haute terrasse fluviale, rive gauche. Séparée de la zone 2.06.003 par un ravin, mais quand même conservée parce qu'elle s'appuie sur un abrupt.	Vecteur moyennement continu	Sans arbres
2.06.007	127	4 Nord	HQ042002/34-35	Rivière Magpie Est	Rivière Magpie	575-580	Moyenne terrasse fluviale, rive gauche. Séparée de la zone 2.06.008 par un ravin, mais quand même conservée parce qu'elle s'appuie sur le versant est de la vallée.	Vecteur moyennement continu	Sans arbres

N° de ZONE	EN CONTINU	FEUILLET 1/20 000	COUPLE STÉRÉOSCOPIQUE	REPÈRE HYDROGRAPHIQUE	BASSIN HYDROGRAPHIQUE	ALTITUDE (m)	GÉOMORPHOLOGIE	GRAPHE TOPOLOGIQUE	INTÉGRITÉ EN 2004
2.06.008	128	4 Nord	HQ042002/34-35	Rivière Magpie Est	Rivière Magpie	573-576	Moyenne terrasse fluviale, rive gauche. La surface est en rampe du nord vers le sud.	Vecteur moyennement continu	Sans arbres
2.06.009	129	4 Nord	HQ042002/34-35	Rivière Magpie Est	Rivière Magpie	575	Moyenne terrasse fluviale, rive droite	Vecteur moyennement continu	Sans arbres
2.06.010	130	4 Nord	HQ042002/34-35	Rivière Magpie Est	Rivière Magpie	580	Haute terrasse fluviale, rive droite. Appuyée sur un abrupt.	Vecteur moyennement continu	Sans arbres
2.06.011	131	4 Nord	HQ042002/34-35	Rivière Magpie Est	Rivière Magpie	575	Moyenne terrasse fluviale, rive droite. Appuyée sur un petit esker.	Vecteur moyennement continu	Sans arbres
2.06.012	132	4 Nord	HQ042002/34-35	Rivière Magpie Est	Rivière Magpie	572	Basse terrasse fluviale, rive droite	Vecteur moyennement continu	Sans arbres
2.06.013	133	4 Nord	HQ042001/167-168	Rivière Magpie Est	Rivière Magpie	575-580	Moyenne terrasse fluviale, rive gauche	Vecteur moyennement continu	Sans arbres
2.06.014	134	4 Nord	HQ042001/167-168	Rivière Magpie Est	Rivière Magpie	575	Moyenne terrasse fluviale, rive gauche. Exceptionnellement, cette zone en comprend plusieurs petites, délimitées par des traces de paléo-méandres.	Vecteur moyennement continu	Sans arbres. Ne conserver que les parties hautes de cette zone.
2.06.015	135	4 Nord	HQ042001/167-168	Rivière Magpie Est	Rivière Magpie	575	Basse terrasse fluviale, rive droite. Boucle de méandre	Vecteur moyennement continu	Quelques arbres
2.06.016	136	4 Nord	HQ042001/167-168	Rivière Magpie Est	Rivière Magpie	575	Moyenne terrasse fluviale, rive gauche. Grande surface bosselée par des ravins qui viennent de l'abrupt derrière et qui se dirigent vers leur niveau de base.	Vecteur moyennement continu	Sans arbres
2.06.017	137	4 Nord	HQ042001/167-168	Rivière Magpie Est	Rivière Magpie	578	Haute terrasse fluviale, rive droite	Vecteur moyennement continu	Sans arbres
2.06.018	138	4 Nord	HQ042001/167-168	Rivière Magpie Est	Rivière Magpie	575	Moyenne terrasse fluviale, rive droite	Vecteur moyennement continu	Sans arbres
2.06.019	139	4 Nord	HQ042001/167-168	Rivière Magpie Est	Rivière Magpie	572	Basse terrasse fluviale, rive droite	Vecteur moyennement continu	Quelques arbres

N° de ZONE	EN CONTINU	FEUILLET 1/20 000	COUPLE STÉRÉOSCOPIQUE	REPÈRE HYDROGRAPHIQUE	BASSIN HYDROGRAPHIQUE	ALTITUDE (m)	GÉOMORPHOLOGIE	GRAPHE TOPOLOGIQUE	INTÉGRITÉ EN 2004
2.06.020	140	4 Nord	HQ042001/167-168	Rivière Magpie Est	Rivière Magpie	572	Basse terrasse fluviale, rive droite. Boucle de méandre	Vecteur moyennement continu	Boisée
2.06.021	141	4 Nord	HQ042001/167-168	Rivière Magpie Est	Rivière Magpie	575	Moyenne terrasse fluviale, rive droite	Vecteur moyennement continu	Sans arbres
2.06.022	142	4 Nord	HQ042001/167-168	Rivière Magpie Est	Rivière Magpie	575	Moyenne terrasse fluviale, rive droite	Vecteur moyennement continu	Sans arbres
2.06.023	143	4 Nord	HQ042001/167-168	Rivière Magpie Est	Rivière Magpie	572	Basse terrasse fluviale, rive droite	Vecteur moyennement continu	Quelques arbres
2.06.024	144	4 Nord	HQ042001/167-168	Rivière Magpie Est	Rivière Magpie	572	Basse terrasse fluviale, rive gauche	Vecteur moyennement continu	Quelques arbres
2.06.025	145	4 Nord	HQ042001/167-168	Rivière Magpie Est	Rivière Magpie	572	Basse terrasse fluviale, rive droite	Vecteur moyennement continu	Sans arbres
2.06.026	146	4 Nord	HQ042001/167-168	Rivière Magpie Est	Rivière Magpie	572	Basse terrasse fluviale, rive droite	Vecteur moyennement continu	Quelques arbres
2.06.027	147	4 Nord	HQ042001/167-168	Rivière Magpie Est	Rivière Magpie	575	Moyenne terrasse fluviale, rive gauche. Replat très étroit mais contigu à un ruisseau	Vecteur moyennement continu	Sans arbres
2.06.028	148	4 Nord	HQ042001/167-168	Rivière Magpie Est	Rivière Magpie	578	Haute terrasse fluviale, rive gauche	Vecteur moyennement continu	Sans arbres
2.06.029	149	4 Nord	HQ042001/167-168	Rivière Magpie Est	Rivière Magpie	575	Moyenne terrasse fluviale, rive gauche	Vecteur moyennement continu	Sans arbres
2.06.030	150	4 Nord	HQ042001/167-168	Rivière Magpie Est	Rivière Magpie	572	Basse terrasse fluviale, rive gauche	Vecteur moyennement continu	Quelques arbres
2.06.031	151	4 Nord	HQ042001/167-168	Rivière Magpie Est	Rivière Magpie	572	Basse terrasse fluviale, rive gauche	Vecteur moyennement continu	Quelques arbres. Présence d'une habitation.
2.06.032	152	4 Nord	HQ042001/167-168	Rivière Magpie Est	Rivière Magpie	575	Moyenne terrasse fluviale, rive droite. Surface très bosselée par les nombreux ravins qui la traversent.	Vecteur moyennement continu	Sans arbres

N° de ZONE	EN CONTINU	FEUILLET 1/20 000	COUPLE STÉRÉOSCOPIQUE	REPÈRE HYDROGRAPHIQUE	BASSIN HYDROGRAPHIQUE	ALTITUDE (m)	GÉOMORPHOLOGIE	GRAPHE TOPOLOGIQUE	INTÉGRITÉ EN 2004
2.06.033	153	4 Nord	HQ042001/167-168	Rivière Magpie Est	Rivière Magpie	575	Moyenne terrasse fluviale, rive droite	Vecteur moyennement continu	Sans arbres
2.06.034	154	4 Nord	HQ042001/167-168	Rivière Magpie Est	Rivière Magpie	572	Basse terrasse fluviale, rive droite	Vecteur moyennement continu	Quelques arbres
2.06.035	155	4 Nord	HQ042001/167-168	Rivière Magpie Est	Rivière Magpie	575	Moyenne terrasse fluviale, rive gauche	Vecteur moyennement continu	Sans arbres
2.06.036	156	4 Nord	HQ042001/167-168	Rivière Magpie Est	Rivière Magpie	575	Moyenne terrasse fluviale, rive gauche	Vecteur moyennement continu	Sans arbres
2.06.037	157	4 Nord	HQ042001/167-168	Rivière Magpie Est	Rivière Magpie	572	Basse terrasse fluviale, rive gauche	Vecteur moyennement continu	Boisée
2.06.038	158	4 Nord	HQ042001/167-168	Rivière Magpie Est	Rivière Magpie	575	Moyenne terrasse fluviale, rive gauche	Vecteur moyennement continu	Sans arbres
2.06.039	159	4 Nord	HQ042001/167-168	Rivière Magpie Est	Rivière Magpie	572	Basse terrasse fluviale, rive gauche	Vecteur moyennement continu	Boisée
2.06.040	160	4 Nord	HQ042002/31-32	Chaîne de lacs sans nom	Rivière Magpie	615-620	Rivage lacustre. Forme légèrement bombée. Nord du lac le plus au nord	Vecteur discontinu	Boisée
2.06.041	161	4 Nord	HQ042002/31-32	Chaîne de lacs sans nom	Rivière Magpie	615-620	Rivage lacustre. Bande étroite à l'est du lac le plus au nord; la pointe nord est particulièrement intéressante.	Vecteur discontinu	Boisée
2.06.042	162	4 Nord	HQ042001/170-171	Chaîne de lacs sans nom	Rivière Magpie	615-620	Rivage lacustre. Au sud-ouest du lac le plus au nord.	Vecteur discontinu	Boisée
2.06.043	163	4 Nord	HQ042001/170-171	Chaîne de lacs sans nom	Rivière Magpie	615	Rivage lacustre. Pointe au nord du lac le plus au sud.	Vecteur discontinu	Boisée
2.06.044	164	4 Nord	HQ042001/170-171	Chaîne de lacs sans nom	Rivière Magpie	615-620	Rivage lacustre. Appuyée au nord sur une moraine frontale qui traverse ce lac. Côté ouest du lac le plus au sud	Vecteur discontinu	Boisée
2.06.045	165	4 Nord	HQ042001/170-171	Chaîne de lacs sans nom	Rivière Magpie	615	Rivage lacustre. Côté ouest du lac le plus au sud	Vecteur discontinu	Quelques arbres
2.06.046	166	4 Nord	HQ042001/170-171	Chaîne de lacs sans nom	Rivière Magpie	615	Rivage lacustre. Côté ouest du lac le plus au sud	Vecteur discontinu	Quelques arbres

N° de ZONE	EN CONTINU	FEUILLET 1/20 000	COUPLE STÉRÉOSCOPIQUE	REPÈRE HYDROGRAPHIQUE	BASSIN HYDROGRAPHIQUE	ALTITUDE (m)	GÉOMORPHOLOGIE	GRAPHE TOPOLOGIQUE	INTÉGRITÉ EN 2004
2.06.047	167	4 Nord	HQ042001/170-171	Chaîne de lacs sans nom	Rivière Magpie	615	Rivage lacustre. Côté ouest du lac le plus au sud	Vecteur discontinu	Quelques arbres
2.06.048	168	4 Nord	HQ042001/170-171	Chaîne de lacs sans nom	Rivière Magpie	615	Rivage lacustre. Côté ouest du lac le plus au sud	Vecteur discontinu	Quelques arbres
2.06.049	169	4 Nord	HQ042001/172-173	Lac sans nom	Rivière Magpie	670	Rivage lacustre. Extrémité d'un esker sur le côté est du lac.	En dehors du graphe	Sans arbres
2.06.050	170	4 Nord	HQ042001/172-173	Lac sans nom	Rivière Magpie	670	Rivage lacustre. Terrasse d'obturation latérale sur le côté est du lac..	En dehors du graphe	Sans arbres
2.06.051	171	4 Nord	HQ042001/172-173	Lac sans nom	Rivière Magpie	670	Rivage lacustre. Sur le côté est du lac..	En dehors du graphe	Quelques arbres
2.06.052	171a	4 Nord	HQ042001/172-173	Lac sans nom	Rivière Magpie	670	Rivage lacustre. Sur le côté sud du lac. Zone qui a été ajoutée au pré-inventaire. Légèrement bosselée	En dehors du graphe	Quelques arbres
2.06.053	171b	4 Nord	HQ042001/172-173	Lac sans nom	Rivière Magpie	670	Rivage lacustre. Sur le côté sud du lac. Zone qui a été ajoutée au pré-inventaire. Légèrement bosselée	En dehors du graphe	Quelques arbres
2.07.001	171c	4 Nord	HQ042002/25-26	Rivière Fréchette	Rivière Magpie	660	Terrasse d'obturation latérale. L'érosion de plusieurs paléo-méandres rend difficile le choix plus précis qui devra être fait à l'inventaire. Rive droite et zone choisie au pré-inventaire.	Espace périphérique	Sans arbres
2.07.002	172	4 Nord	HQ042002/25-26	Rivière Fréchette	Rivière Magpie	660	Terrasse d'obturation latérale. Importante de par l'unicité d'un espace plat à l'intérieur d'un espace périphérique. Rive droite	Espace périphérique	Sans arbres
2.07.003	173	4 Nord	HQ042001/175-176	Rivière Fréchette	Rivière Magpie	640	Terrasse d'obturation latérale. À partir de cette surface plane partent de petits eskers, de part et d'autre. Rive gauche	Vecteur continu	Sans arbres
2.07.004	174	4 Nord	HQ042001/174-175	Rivière Fréchette	Rivière Magpie	650	Terrasse d'obturation latérale. Perchée en haut de la vallée, rive droite.	Vecteur continu	Sans arbres
2.07.005	175	4 Nord	HQ042001/176-177	Ruisseau sans nom	Rivière Magpie	720	Terrasse d'obturation latérale. Magnifique surface plane qui entoure une cuvette de culot de glace morte. Rive gauche	Vecteur moyennement continu	Sans arbres

N° de ZONE	EN CONTINU	FEUILLET 1/20 000	COUPLE STÉRÉOSCOPIQUE	REPÈRE HYDROGRAPHIQUE	BASSIN HYDROGRAPHIQUE	ALTITUDE (m)	GÉOMORPHOLOGIE	GRAPHE TOPOLOGIQUE	INTÉGRITÉ EN 2004
2.07.006	176	3 Nord	HQ042001/178-179	Ruisseau sans nom	Rivière Magpie	720	Terrasse d'obturation latérale, rive gauche	Vecteur moyennement continu	Sans arbres
2.07.007	177	3 Nord	HQ042001/178-179	Ruisseau sans nom	Rivière Magpie	710	Terrasse d'obturation latérale, rive gauche	Vecteur moyennement continu	Sans arbres
2.08.001	178	3 Nord	HQ042001/199-200	Lac sans nom	Rivière Magpie	710	Plongée d'un esker; surface d'accueil relativement plane.	En dehors du graphe	Sans arbres
2.08.002	179	3 Nord	HQ042001/199-200	Lac sans nom	Rivière Magpie	710	Plongée d'un esker; surface d'accueil relativement plane.	En dehors du graphe	Sans arbres
2.08.003	180	3 Nord	HQ042002/5-6	Lac sans nom	Rivière Saint-Jean	680	Kame. Élargissement d'un esker; présente une forme légèrement bombée.	Vecteur discontinu	Sans arbres
2.08.004	181	3 Nord	HQ042002/5-6	Lac sans nom	Rivière Saint-Jean	680	Kame. Élargissement d'un esker; belle surface d'accueil	Vecteur discontinu	Sans arbres
2.08.005	182	3 Nord	HQ042002/5-6	Lac sans nom	Rivière Saint-Jean	680	Kame. Élargissement d'un esker; se présente en deux niveaux	Vecteur discontinu	Sans arbres
2.08.006	183	3 Nord	HQ042002/4-5	Rivière Saint-Jean	Rivière Saint-Jean	620	Basse terrasse fluviale, rive droite	Espace annexe	Sans arbres
2.08.007	184	3 Nord	HQ042002/4-5	Rivière Saint-Jean	Rivière Saint-Jean	630	Haute terrasse fluviale, rive droite	Espace annexe	Sans arbres
2.08.008	185	3 Nord	HQ042002/4-5	Rivière Saint-Jean	Rivière Saint-Jean	620	Basse terrasse fluviale associée à un paléo-méandre, rive droite	Espace annexe	Quelques arbres
2.08.009	186	3 Nord	HQ042002/3-4	Rivière Saint-Jean	Rivière Saint-Jean	620	Basse terrasse fluviale associée à un paléo-méandre, rive droite	Vecteur continu	Sans arbres
2.08.010	187	3 Nord	HQ042002/3-4	Rivière Saint-Jean	Rivière Saint-Jean	615-620	Basse terrasse fluviale, rive droite	Vecteur continu	Sans arbres
2.08.011	188	3 Nord	HQ042002/2-3	Rivière Saint-Jean	Rivière Saint-Jean	605	Basse terrasse fluviale, rive droite	Vecteur continu	Quelques arbres dans les endroits plus humides
2.08.012	189	3 Nord	HQ042002/2-3	Rivière Saint-Jean	Rivière Saint-Jean	600	Basse terrasse fluviale, rive droite	Vecteur continu	Quelques arbres dans les endroits plus humides
2.08.013	190	3 Nord	HQ042002/1-2	Rivière Saint-Jean	Rivière Saint-Jean	600	Basse terrasse fluviale associée à un paléo-méandre, rive droite	Vecteur continu	Sans arbres
2.08.014	191	3 Nord	HQ042002/2-3	Rivière Saint-Jean	Rivière Saint-Jean	605	Basse terrasse fluviale associée à un paléo-méandre, rive droite	Vecteur continu	Sans arbres
2.08.015	192	3 Nord	HQ042002/1-2	Rivière Saint-Jean	Rivière Saint-Jean	605-610	Moyenne terrasse fluviale associée à un paléo-méandre; belle surface d'accueil. Rive droite	Vecteur continu	Sans arbres

N° de ZONE	EN CONTINU	FEUILLET 1/20 000	COUPLE STÉRÉOSCOPIQUE	REPÈRE HYDROGRAPHIQUE	BASSIN HYDROGRAPHIQUE	ALTITUDE (m)	GÉOMORPHOLOGIE	GRAPHE TOPOLOGIQUE	INTÉGRITÉ EN 2004
2.08.016	193	3 Nord	HQ042002/2-3	Rivière Saint-Jean	Rivière Saint-Jean	610	Haute terrasse fluviale associée à un paléo-méandre, rive droite	Vecteur continu	Sans arbres
2.08.017	194	3 Nord	HQ042002/2-3	Rivière Saint-Jean	Rivière Saint-Jean	620	Haute terrasse fluviale associée à un paléo-méandre, rive droite	Vecteur continu	Sans arbres
2.08.018	195	3 Nord	HQ99-221/37-38	Rivière Saint-Jean et ruisseau sans nom	Rivière Saint-Jean	595	Terrasse fluviale associée à un court-circuit entre la rivière Saint-Jean et un ruisseau sans nom	Vecteur continu et vecteur discontinu	Quelques arbres
2.08.019	196	3 Nord	HQ99-221/37-38	Rivière Saint-Jean	Rivière Saint-Jean	595	Terrasse fluviale associée à un paléo-méandre, rive droite	Vecteur continu	Quelques arbres
2.09.001	197	3 Nord	HQ99-212/113-114	Lac Mista Uauahk dans le prolongement de la rivière Saint-Jean	Rivière Saint-Jean	585	Rivage lacustre	Vecteur continu	Sans arbres
2.09.002	198	3 Nord	HQ99-212/113-114	Lac Mista Uauahk dans le prolongement de la rivière Saint-Jean	Rivière Saint-Jean	587	Rivage lacustre. La terrasse d'obturation latérale est un peu plus élevée que celle de la zone précédente.	Vecteur continu	Quelques arbres
2.09.003	199	3 Nord	HQ99-212/113-114	Chaîne de petits lacs sans nom	Rivière Saint-Jean	585	Terrasse d'obturation latérale dans un environnement de formes de décrépitude	En dehors du graphe	Quelques arbres
2.09.004	200	3 Nord	HQ99-212/114-115	Chaîne de petits lacs sans nom	Rivière Saint-Jean	585	Rivage lacustre. Terrasse d'obturation latérale dans un environnement de formes de décrépitude	En dehors du graphe	Quelques arbres
2.09.005	201	3 Nord	HQ99-212/114-115	Chaîne de petits lacs sans nom	Rivière Saint-Jean	585	Rivage lacustre. Terrasse d'obturation latérale dans un environnement de formes de décrépitude	En dehors du graphe	Quelques arbres
2.09.006	202	3 Nord	HQ99-213/226-227	Rivière Saint-Jean	Rivière Saint-Jean	580	Terrasse fluviale, rive gauche	Espace annexe	Quelques arbres
2.09.007	203	3 Nord	HQ99-213/226-227	Rivière Saint-Jean	Rivière Saint-Jean	580	Terrasse fluviale, rive gauche	Espace annexe	Quelques arbres
2.09.008	204	3 Nord	HQ99-213/226-227	Rivière Saint-Jean	Rivière Saint-Jean	575	Basse terrasse fluviale, rive gauche	Espace annexe	Quelques arbres
2.09.009	205	3 Nord	HQ99-213/226-227	Rivière Saint-Jean	Rivière Saint-Jean	575	Basse terrasse fluviale, rive droite	Espace annexe	Quelques arbres
2.09.010	206	3 Nord	HQ99-213/226-227	Rivière Saint-Jean	Rivière Saint-Jean	580	Terrasse fluviale, rive droite. Belle surface d'accueil	Espace annexe	Quelques arbres
2.09.011	207	3 Nord	HQ99-213/226-227	Rivière Saint-Jean	Rivière Saint-Jean	580-582	Terrasse fluviale, rive droite. Surface légèrement bosselée, appuyée sur une cuvette de culot de glace morte.	Espace annexe	Quelques arbres

N° de ZONE	EN CONTINU	FEUILLET 1/20 000	COUPLE STÉRÉOSCOPIQUE	REPÈRE HYDROGRAPHIQUE	BASSIN HYDROGRAPHIQUE	ALTITUDE (m)	GÉOMORPHOLOGIE	GRAPHE TOPOLOGIQUE	INTÉGRITÉ EN 2004
2.09.012	208	3 Nord	HQ99-213/226-227	Chaîne de lacs sans nom	Rivière Saint-Jean	590	Terrasse d'obturation latérale entourée de cuvettes de culots de glace morte	Vecteur discontinu	Quelques arbres
2.09.013	209	3 Nord	HQ99-213/226-227	Lac sans nom	Rivière Saint-Jean	585	Terrasse d'obturation latérale dans un environnement de formes de décrépitude	En dehors du graphe	Quelques arbres
2.09.014	210	3 Nord	HQ99-213/226-227	Lac sans nom	Rivière Saint-Jean	585	Terrasse d'obturation latérale dans un environnement de formes de décrépitude	En dehors du graphe	Quelques arbres
2.09.015	211	3 Nord	HQ99-213/226-227	Lac sans nom	Rivière Saint-Jean	585	Terrasse d'obturation latérale dans un environnement de formes de décrépitude	En dehors du graphe	Quelques arbres
2.09.016	212	3 Nord	HQ99-213/226-227	Lac sans nom	Rivière Saint-Jean	590	Terrasse d'obturation latérale dans un environnement de formes de décrépitude	En dehors du graphe	Quelques arbres
2.09.017	213	3 Nord	HQ99-213/225-226	Chaîne de lacs sans nom	Rivière Saint-Jean	585-590	Terrasse d'obturation latérale; le replat est accidenté par une encoche qui isole la pointe sud de la zone.	Vecteur discontinu	Quelques arbres
2.09.018	214	3 Nord	HQ99-213/225-226	Lac sans nom	Rivière Saint-Jean	575-580	Rivage lacustre sur la rive nord d'un lac sans nom	Vecteur discontinu	Quelques arbres
2.09.019	215	3 Nord	HQ99-213/224-225	Lac sans nom	Rivière Saint-Jean	575-580	Rivage lacustre sur la rive ouest d'un lac sans nom	Vecteur discontinu	Quelques arbres; au centre, espace complètement déboisé qui communique avec un autre par une petite route.
2.09.020	216	3 Nord	HQ99-213/224-225	Lac sans nom	Rivière Saint-Jean	575	Rivage lacustre sur la rive ouest d'un lac sans nom	Vecteur discontinu	Quelques arbres
2.09.021	217	3 Nord	HQ99-213/165-166	Rivière Saint-Jean	Rivière Saint-Jean	572	Terrasse fluviale, rive droite. À l'est, la trace d'un paléo-méandre.	Espace annexe	Sans arbres
2.09.022	218	3 Nord	HQ99-213/165-166	Rivière Saint-Jean	Rivière Saint-Jean	570	Basse terrasse fluviale, rive droite	Espace annexe	Sans arbres
2.09.023	219	3 Nord	HQ99-213/165-166	Rivière Saint-Jean	Rivière Saint-Jean	570	Basse terrasse fluviale, rive gauche	Espace annexe	Quelques arbres
2.09.024	220	3 Nord	HQ99-213/165-166	Rivière Saint-Jean	Rivière Saint-Jean	570	Basse terrasse fluviale, rive gauche; appuyée à l'est, sur un petit esker.	Espace annexe	Quelques arbres
2.09.025	221	3 Nord	HQ99-213/165-166	Rivière Saint-Jean	Rivière Saint-Jean	572	Terrasse fluviale, rive gauche	Vecteur continu	Quelques arbres
2.09.026	222	3 Nord	HQ99-213/166-167	Rivière Saint-Jean	Rivière Saint-Jean	560	Basse terrasse fluviale, rive droite	Vecteur continu	Sans arbres
2.09.027	223	3 Nord	HQ99-213/167-168	Rivière Saint-Jean	Rivière Saint-Jean	565	Terrasse fluviale, rive droite	Espace annexe	Sans arbres

N° de ZONE	EN CONTINU	FEUILLET 1/20 000	COUPLE STÉRÉOSCOPIQUE	REPÈRE HYDROGRAPHIQUE	BASSIN HYDROGRAPHIQUE	ALTITUDE (m)	GÉOMORPHOLOGIE	GRAPHE TOPOLOGIQUE	INTÉGRITÉ EN 2004
2.09.028	224	3 Nord	HQ99-213/167-168	Rivière Saint-Jean	Rivière Saint-Jean	565	Terrasse fluviale, rive droite; petite mais très belle surface d'accueil	Espace annexe	Sans arbres
2.09.029	225	3 Nord	HQ99-213/167-168	Rivière Saint-Jean	Rivière Saint-Jean	565	Terrasse fluviale, rive droite; située directement à la convergence des vecteurs	Espace annexe	Sans arbres
2.09.030	226	3 Nord	HQ99-213/167-168	Rivière Saint-Jean	Rivière Saint-Jean	565	Terrasse fluviale, rive droite; surface très bosselée par des traces de paléo-méandres	Espace annexe	Sans arbres
2.09.031	227	3 Nord	HQ99-213/167-168	Rivière Saint-Jean	Rivière Saint-Jean	568-570	Haute terrasse fluviale, rive gauche; sur la pointe, contrôle visuel intéressant	Vecteur continu	Sans arbres
2.09.032	228	3 Nord	HQ99-213/167-168	Rivière Saint-Jean	Rivière Saint-Jean	565	Terrasse fluviale, rive gauche; surface bosselée mais très grande	Espace annexe	Sans arbres
2.09.033	229	3 Nord	HQ99-213/167-168	Rivière Saint-Jean	Rivière Saint-Jean	565	Terrasse fluviale, rive gauche	Vecteur continu	Sans arbres
2.09.034	230	3 Nord	HQ99-213/167-168	Rivière Saint-Jean	Rivière Saint-Jean	565	Terrasse fluviale, rive gauche	Vecteur continu	Sans arbres
2.09.035	231	3 Nord	HQ99-213/167-168	Rivière Saint-Jean	Rivière Saint-Jean	565	Terrasse fluviale, rive droite	Vecteur continu	Sans arbres
2.09.036	232	3 Nord	HQ99-213/168-169	Rivière Saint-Jean	Rivière Saint-Jean	565	Terrasse fluviale, rive droite; belle grande surface d'accueil	Vecteur continu	Sans arbres
2.09.037	233	3 Nord	HQ99-213/167-168	Rivière Saint-Jean	Rivière Saint-Jean	560	Île, qui ne semble pas trop inondée	Vecteur continu	Sans arbres
2.09.038	234	3 Nord	HQ99-213/168-169	Rivière Saint-Jean	Rivière Saint-Jean	560	Basse terrasse fluviale, rive gauche; le sud est retravaillé par des paléo-méandres	Vecteur continu	Sans arbres
2.09.039	235	3 Nord	HQ99-213/168-169	Rivière Saint-Jean	Rivière Saint-Jean	565	Terrasse fluviale, rive gauche	Vecteur continu	Sans arbres
2.09.040	236	3 Nord	HQ99-213/168-169	Rivière Saint-Jean	Rivière Saint-Jean	565	Terrasse fluviale, rive gauche	Vecteur continu	Sans arbres; est balafée au centre par une piste d'atterrissage
2.09.041	237	3 Nord	HQ99-213/168-169	Rivière Saint-Jean	Rivière Saint-Jean	565	Terrasse d'obturation latérale	Vecteur continu	Sans arbres
2.09.042	237a	3 Nord	HQ99-213/226-227	Lac sans nom	Rivière Saint-Jean	585-590	Terrasse d'obturation latérale dans un environnement de formes de décrépitude. Zone choisie au survol. Discrimination à l'inventaire	En dehors du graphe	Quelques arbres
2.10.001	238	2 Nord	HQ99-214/95-96	Lac sans nom	Rivière Romaine	545	Rivage lacustre	En dehors du graphe	Sans arbres
2.10.002	239	2 Nord	HQ99-214/95-96	Lac sans nom	Rivière Romaine	540	Rivage lacustre	En dehors du graphe	Sans arbres

N° de ZONE	EN CONTINU	FEUILLET 1/20 000	COUPLE STÉRÉOSCOPIQUE	REPÈRE HYDROGRAPHIQUE	BASSIN HYDROGRAPHIQUE	ALTITUDE (m)	GÉOMORPHOLOGIE	GRAPHE TOPOLOGIQUE	INTÉGRITÉ EN 2004
2.10.003	240	2 Nord	HQ99-214/95-96	Lac sans nom	Rivière Romaine	540	Rivage lacustre	En dehors du graphe	Sans arbres
2.10.004	241	2 Nord	HQ99-214/95-96	Lac sans nom	Rivière Romaine	538	Rivage lacustre; belle pointe régulière	En dehors du graphe	Sans arbres
2.10.005	242	2 Nord	HQ99-221/257-258	Ruisseau sans nom	Rivière Romaine	475	Terrasse fluviale; la surface est très bosselée mais la zone est intéressante de par sa situation stratégique	Rencontre de deux vecteurs discontinus	Sans arbres
2.10.006	243	2 Nord	HQ99-221/257-258	Ruisseau sans nom	Rivière Romaine	470	Terrasse fluviale; la zone est intéressante de par sa situation stratégique	Rencontre de deux vecteurs discontinus	Sans arbres
2.10.007	244	2 Nord	HQ99-221/257-258	Ruisseau sans nom	Rivière Romaine	475	Terrasse fluviale; la surface est bosselée mais la zone est intéressante de par sa situation stratégique	Rencontre de deux vecteurs discontinus	Sans arbres
2.10.008	245	2 Nord	HQ99-221/257-258	Ruisseau sans nom	Rivière Romaine	475	Terrasse fluviale, rive droite	Vecteur discontinu	Sans arbres
2.10.009	246	2 Nord	HQ99-221/258-259	Ruisseau sans nom	Rivière Romaine	475	Terrasse fluviale, rive droite	Vecteur discontinu	Sans arbres
2.10.010	247	2 Nord	HQ99-221/258-259	Ruisseau sans nom	Rivière Romaine	490-510	Terrasse fluviale, rive gauche. Belle surface d'accueil, en pente d'ouest en est. Quelques traces de paléo-méandres	Vecteur discontinu	Sans arbres
2.10.011	248	2 Nord	HQ99-221/258-259	Ruisseau sans nom	Rivière Romaine	495-500	Terrasse fluviale, rive droite. Ne conserve que la partie haute	Vecteur discontinu	Sans arbres
2.10.012	249	2 Nord	HQ99-221/260-261	Ruisseau sans nom et lac sans nom	Rivière Romaine	540	Terrasse fluviale, rive gauche. Surface bombée	En dehors du graphe	Sans arbres
2.10.013	250	2 Nord	HQ99-221/260-261	Ruisseau sans nom et lac sans nom	Rivière Romaine	540	Terrasse fluviale, rive droite. Possède tous les attributs d'une terrasse d'obturation latérale	En dehors du graphe	Sans arbres
2.10.014	251	2 Nord	HQ99-221/260-261	Deux petits lacs sans nom	Rivière Romaine	540	Rivage qui permet le passage d'un lac à l'autre	En dehors du graphe	Sans arbres
2.10.015	252	2 Nord	HQ99-221/260-261	Lac sans nom	Rivière Romaine	540	Rivage en forme de petite pointe	En dehors du graphe	Sans arbres
2.10.016	253	2 Nord	HQ99-211/245-246	Ruisseau sans nom	Rivière Romaine	500	Terrasse fluviale, rive gauche. Surface étroite	Vecteur discontinu	Sans arbres
2.10.017	254	2 Nord	HQ99-211/245-246	Ruisseau sans nom	Rivière Romaine	500	Terrasse fluviale, rive droite	Vecteur discontinu	Sans arbres

N° de ZONE	EN CONTINU	FEUILLET 1/20 000	COUPLE STÉRÉOSCOPIQUE	REPÈRE HYDROGRAPHIQUE	BASSIN HYDROGRAPHIQUE	ALTITUDE (m)	GÉOMORPHOLOGIE	GRAPHE TOPOLOGIQUE	INTÉGRITÉ EN 2004
2.10.018	255	2 Nord	HQ99-211/245-246	Ruisseau sans nom et lac sans nom	Rivière Romaine	505	Terrasse fluviale, rive gauche et rivage lacustre	Vecteur discontinu	Sans arbres
2.10.019	255a	2 Nord	HQ99-211/245-246	Ruisseau sans nom et lac sans nom	Rivière Romaine	505	Terrasse fluviale, rive gauche et rivage lacustre. Légèrement bosselée, découverte au survol	Vecteur discontinu	Sans arbres
2.11.001	256	2 Nord	HQ99-211/192-193	Petite rivière Romaine	Rivière Romaine	460	Terrasse fluviale, rive droite. Possède tous les attributs d'une terrasse d'obturation latérale	Vecteur moyennement continu	Sans arbres
2.11.002	257	2 Nord	HQ99-211/192-193	Petite rivière Romaine	Rivière Romaine	460	Terrasse fluviale, rive droite. La surface est très bosselée	Vecteur moyennement continu	Sans arbres
2.11.003	258	2 Nord	HQ99-211/192-193	Petite rivière Romaine	Rivière Romaine	460	Terrasse fluviale, rive droite. La surface est bombée	Vecteur moyennement continu	Sans arbres
2.11.004	259	2 Nord	HQ99-211/192-193	Petite rivière Romaine	Rivière Romaine	460	Terrasse fluviale, rive gauche. Le bossellement est accentué par un petit ravin qui la sépare en deux.	Vecteur moyennement continu	Sans arbres
2.11.005	260	2 Nord	HQ99-211/193-194	Petite rivière Romaine	Rivière Romaine	465	Terrasse fluviale, rive gauche. Surface très irrégulière	Vecteur moyennement continu	Sans arbres
2.11.006	261	2 Nord	HQ99-211/193-194	Petite rivière Romaine	Rivière Romaine	470	Terrasse fluviale, rive gauche. Bosselée	Vecteur moyennement continu	Sans arbres
2.11.007	262	2 Nord	HQ99-211/193-194	Petite rivière Romaine	Rivière Romaine	470	Terrasse fluviale, rive gauche	Vecteur moyennement continu	Sans arbres
2.11.008	263	2 Nord	HQ99-211/25-26	Rivière Jérôme	Rivière Romaine	530	Terrasse fluviale, rive gauche	En dehors du graphe	Sans arbres
2.11.009	264	2 Nord	HQ99-211/25-26	Rivière Jérôme	Rivière Romaine	540	Terrasse d'obturation latérale adossée à des buttes rocheuses	En dehors du graphe	Sans arbres
2.11.010	265	2 Nord	HQ99-211/24-25	Lac Uauahk	Rivière Romaine	540	Terrasse d'obturation latérale qui forme rivage	Vecteur moyennement continu	Sans arbres
2.12.001	266	1 Nord	HQ99-216/118-119	Rivière Baubert	Rivière Romaine	480	Terrasse fluviale, rive gauche	Vecteur moyennement continu	Quelques arbres
2.12.002	267	1 Nord	HQ99-216/118-119	Rivière Baubert	Rivière Romaine	480	Terrasse fluviale, rive gauche. La zone la plus extensive sur cette rivière	Vecteur moyennement continu	Quelques arbres

N° de ZONE	EN CONTINU	FEUILLET 1/20 000	COUPLE STÉRÉOSCOPIQUE	REPÈRE HYDROGRAPHIQUE	BASSIN HYDROGRAPHIQUE	ALTITUDE (m)	GÉOMORPHOLOGIE	GRAPHE TOPOLOGIQUE	INTÉGRITÉ EN 2004
2.12.003	268	1 Nord	HQ99-216/118-119	Rivière Baubert	Rivière Romaine	475	Terrasse fluviale, rive droite	Vecteur moyennement continu	Quelques arbres
2.12.004	269	1 Nord	HQ99-220/229-230	Ruisseau sans nom	Rivière Romaine	505-510	Terrasse fluviale, rive gauche. La surface est légèrement en croupe, perpendiculaire au ruisseau.	Vecteur moyennement continu	Quelques arbres
2.12.005	270	1 Nord	HQ99-220/229-230	Lac sans nom	Rivière Romaine	515	Rivage lacustre sur la rive ouest du lac. Cette zone, ainsi que la suivante, borde le vecteur.	Vecteur moyennement continu	Quelques arbres
2.12.006	271	1 Nord	HQ99-220/229-230	Lac sans nom	Rivière Romaine	515	Rivage lacustre sur la rive ouest du lac. Cette zone, ainsi que la précédente, borde le vecteur.	Vecteur moyennement continu	Quelques arbres
2.13.001	272	1 Nord	HQ03-004/45-46	Lacs sans nom	Rivière Romaine	550	Rivage lacustre permettant le passage entre deux lacs; très légèrement bombé.	En dehors du graphe	Boisée
2.13.002	273	1 Nord	HQ03-004/46-47	Lac sans nom	Rivière Romaine	560	Rivage lacustre; la présence de la roche en place est responsable du bombement qui définit la pointe, mais l'ensemble correspond à une surface d'accueil.	En dehors du graphe	Boisée
2.13.003	274	1 Nord	HQ03-004/48-49	Lac sans nom	Rivière Romaine	545	Rivage lacustre à la sortie du lac	En dehors du graphe	Boisée
2.13.004	275	1 Nord	HQ03-004/34-35	Rivière Glapion	Rivière Romaine	430	Terrasse fluviale, rive gauche. La forme et le matériau suggèrent un petit esker à pentes très douces.	Vecteur discontinu	Quelques arbres
2.13.005	276	1 Nord	HQ03-004/34-35	Rivière Glapion	Rivière Romaine	430	Terrasse fluviale, rive gauche. La forme et le matériau suggèrent un petit esker à pentes très douces.	Vecteur discontinu	Quelques arbres
2.13.006	277	1 Nord	HQ03-004/34-35	Rivière Glapion	Rivière Romaine	430	Terrasse fluviale, rive droite. Le centre de la zone est traversé par un talweg résultant d'un paléo-méandre.	Vecteur discontinu	Quelques arbres
2.13.007	278	1 Nord	HQ03-004/139-140	Rivière Romaine	Rivière Romaine	370	Haute terrasse fluviale, rive droite. Surface un peu bombée	Vecteur continu	Quelques arbres
2.13.008	279	1 Nord	HQ03-004/178-179	Rivière Romaine et rivière Glapion	Rivière Romaine	380	Terrasse d'obturation latérale. Constitue, à la convergence de deux rivières, un contrôle visuel intéressant. Le talus est très raide, mais une rampe, sur le côté ouest, permet d'accéder aux rivières.	Espace annexe	Quelques arbres

N° de ZONE	EN CONTINU	FEUILLET 1/20 000	COUPLE STÉRÉOSCOPIQUE	REPÈRE HYDROGRAPHIQUE	BASSIN HYDROGRAPHIQUE	ALTITUDE (m)	GÉOMORPHOLOGIE	GRAPHE TOPOLOGIQUE	INTÉGRITÉ EN 2004
2.13.009	280	1 Nord	HQ03-004/178-179	Rivière Glapion	Rivière Romaine	370	Terrasse fluviale, rive gauche. Très belle surface d'accueil	Vecteur discontinu	Sans arbres
2.13.010	281	1 Nord	HQ03-004/178-179	Rivière Glapion	Rivière Romaine	375	Terrasse fluviale, rive droite	Vecteur discontinu	Sans arbres
2.13.011	282	1 Nord	HQ03-004/178-179	Ruisseau sans nom	Rivière Romaine	375	Terrasse fluviale, rive gauche	Vecteur discontinu	Sans arbres
2.13.012	283	1 Nord	HQ03-004/181-182	Ruisseaux sans nom	Rivière Romaine	480	Terrasse fluviale à la rencontre de deux ruisseaux, dans le fond d'un canyon.	Vecteur discontinu	Quelques arbres
2.14.001	284	1 Nord	HQ03-004/25-26	Lac sans nom	Rivière Romaine	575	Rivage lacustre; surface légèrement bosselée, qui semble sableuse.	Vecteur discontinu	Boisée
2.14.002	285	1 Nord	HQ03-004/25-26	Lac sans nom	Rivière Romaine	575	Rivage lacustre à la rencontre d'un petit ruisseau	Vecteur discontinu	Boisée
2.14.003	286	1 Nord	HQ03-004/24-25	Lacs sans nom	Rivière Romaine	575	Rivage lacustre; grande pointe qui sépare deux lacs. Surface d'accueil intéressante.	Vecteur discontinu	Quelques arbres
2.14.004	287	1 Nord	HQ03-004/24-25	Lac sans nom	Rivière Romaine	575	Rivage lacustre; côté est du lac	Vecteur discontinu	Quelques arbres
2.14.005	288	1 Nord	HQ03-004/20-21	Lac sans nom et ruisseaux sans nom	Rivière Romaine	500	Rivage lacustre et terrasse fluviale, rive gauche et droite. Belle surface d'accueil	Vecteur discontinu	Boisée
2.14.006	289	1 Nord	HQ03-004/22-23	Ruisseau sans nom	Rivière Romaine	530	Terrasse fluviale, rive gauche	Vecteur discontinu	Boisée
2.14.007	290	1 Nord	HQ03-004/21-22	Ruisseau sans nom	Rivière Romaine	520	Terrasse fluviale, rive droite	Vecteur discontinu	Boisée
2.14.008	291	1 Nord	HQ03-004/21-22	Ruisseau sans nom	Rivière Romaine	510	Terrasse fluviale, rive droite	Vecteur discontinu	Boisée
2.14.009	292	1 Nord	HQ03-004/60-61	Ruisseau sans nom	Rivière Romaine	445	Terrasse fluviale, rive gauche	Vecteur discontinu	Boisée
2.14.010	293	1 Nord	HQ03-004/60-61	Ruisseau sans nom	Rivière Romaine	445	Terrasse fluviale, rive droite	Vecteur discontinu	Boisée
2.14.011	294	1 Nord	HQ03-004/61-62	Ruisseau sans nom	Rivière Romaine	420-425	Terrasse fluviale, rive droite	Vecteur discontinu	Boisée
2.14.012	295	1 Nord	HQ03-004/18-19	Ruisseau sans nom	Rivière Romaine	410	Terrasse fluviale, rive droite	Vecteur discontinu	Boisée
2.14.013	296	1 Nord	HQ03-004/18-19	Ruisseau sans nom	Rivière Romaine	415	Terrasse fluviale, rive gauche	Vecteur discontinu	Boisée

N° de ZONE	EN CONTINU	FEUILLET 1/20 000	COUPLE STÉRÉOSCOPIQUE	REPÈRE HYDROGRAPHIQUE	BASSIN HYDROGRAPHIQUE	ALTITUDE (m)	GÉOMORPHOLOGIE	GRAPHE TOPOLOGIQUE	INTÉGRITÉ EN 2004
2.14.014	297	1 Nord	HQ03-004/18-19	Lac sans nom	Rivière Romaine	410	Rivage lacustre, côté nord du lac	Vecteur discontinu	Boisée; poste de ravitaillement pour hélicoptère
2.14.015	298	1 Nord	HQ03-004/18-19	Ruisseaux sans nom	Rivière Romaine	410	Terrasse fluviale à la rencontre de deux ruisseaux	Vecteurs discontinus	Boisée
2.14.016	299	1 Nord	HQ03-004/18-19	Lac sans nom	Rivière Romaine	405	Rivage lacustre en contrebas de la zone 2.14.014; côté nord du lac	Vecteur discontinu	Boisée
2.14.017	300	1 Nord	HQ03-004/63-64	Lac sans nom	Rivière Romaine	405	Rivage lacustre; mince bande du côté est du lac	Vecteur discontinu	Boisée
2.14.018	301	1 Nord	HQ03-004/63-64	Lac sans nom	Rivière Romaine	405	Rivage lacustre; l'arrière du replat est marécageux, reste une mince bande en rivage. Rive est du lac.	Vecteur discontinu	Boisée
2.14.019	302	1 Nord	HQ03-004/63-64	Lac sans nom	Rivière Romaine	405	Rivage lacustre traversé par un ruisseau qui s'alimente sur le sommet du plateau. Rive est du lac.	Vecteur discontinu	Boisée
2.14.020	303	1 Nord	HQ03-004/63-64	Lac sans nom	Rivière Romaine	405	Rivage lacustre; présente une petite pointe sur la rive ouest du lac.	Vecteur discontinu	Boisée
2.14.021	304	1 Nord	HQ03-004/63-64	Lac sans nom	Rivière Romaine	405	Rivage lacustre; mince bande en croupe sur la rive ouest du lac.	Vecteur discontinu	Boisée
2.14.022	305	1 Nord	HQ03-004/64-65	Lac sans nom	Rivière Romaine	405	Rivage lacustre; belle surface d'accueil qui forme presque un îlot à cause d'un paléo-méandre qui passe derrière.	Vecteur discontinu	Boisée
2.14.023	306	1 Nord	HQ03-004/64-65	Ruisseau sans nom	Rivière Romaine	405	Terrasse fluviale à la rencontre de deux ruisseaux, celui qui vient de l'ouest et le paléo-méandre qui découpe la zone précédente	Vecteur discontinu	Boisée
2.14.024	307	1 Nord	HQ03-004/64-65	Lac sans nom	Rivière Romaine	405	Rivage lacustre dont une des pointes barre la sortie du lac. Belle surface d'accueil	Vecteur discontinu	Boisée
2.14.025	308	1 Nord	HQ03-004/64-65	Ruisseau Mista	Rivière Romaine	405	Terrasse fluviale, rive gauche	Vecteur discontinu	Boisée
2.14.026	309	1 Nord	HQ03-004/64-65	Ruisseau Mista	Rivière Romaine	400	Terrasse fluviale, rive gauche. Belle grande surface d'accueil très légèrement bosselée.	Vecteur discontinu	Boisée
2.14.027	310	1 Nord	HQ03-004/64-65	Ruisseau Mista	Rivière Romaine	405	Terrasse fluviale, rive gauche, dans une boucle d'un paléo-méandre.	Vecteur discontinu	Boisée

N° de ZONE	EN CONTINU	FEUILLET 1/20 000	COUPLE STÉRÉOSCOPIQUE	REPÈRE HYDROGRAPHIQUE	BASSIN HYDROGRAPHIQUE	ALTITUDE (m)	GÉOMORPHOLOGIE	GRAPHE TOPOLOGIQUE	INTÉGRITÉ EN 2004
2.14.028	311	1 Nord	HQ03-004/13-14	Ruisseau Mista	Rivière Romaine	375-380	Terrasse fluviale, rive droite. Adjacente à une zone de rapides.	Vecteur discontinu	Boisée
2.14.029	312	1 Nord	HQ03-004/13-14	Ruisseau Mista	Rivière Romaine	375	Terrasse fluviale, rive gauche. Adjacente à une zone de rapides.	Vecteur discontinu	Boisée
2.14.030	313	1 Nord	HQ03-004/13-14	Ruisseau Mista	Rivière Romaine	370	Terrasse fluviale, rive gauche	Vecteur discontinu	Boisée
2.14.031	314	1 Nord	HQ03-004/13-14	Ruisseau Mista	Rivière Romaine	368-370	Terrasse fluviale, rive gauche	Vecteur discontinu	Boisée
2.14.032	315	1 Nord	HQ03-004/13-14	Ruisseau sans nom	Rivière Romaine	390	Terrasse fluviale, rive droite. Grande surface adjacente à de nombreux petits lacs	Vecteur discontinu	Boisée
2.14.033	316	1 Nord	HQ03-004/120-121	Rivière Romaine	Rivière Romaine	270	Terrasse fluviale, rive droite. Sauf par la rivière, semble très isolée, mais néanmoins présente une belle surface d'accueil.	Vecteur continu	Boisée



### 3. PÉRIODE HISTORIQUE EURO-QUÉBÉCOISE

#### 3.1 CADRE HISTORIQUE

La zone littorale qui s'étend de la baie des Sept-Îles à l'embouchure de la rivière Romaine, sur la côte nord du golfe Saint-Laurent, forme un territoire linéaire de près de 300 kilomètres de longueur. Relativement peu peuplés, les lieux d'établissements sont échelonnés le long des berges et aux embouchures des différents tributaires du golfe. Quoique l'aire d'étude soit connue des navigateurs et des pêcheurs européens depuis les premières décennies du XVI<sup>e</sup> siècle, elle demeura, et dans une certaine mesure elle demeure toujours, une terre essentiellement autochtone. Pendant plus de trois siècles, la présence européenne sur le territoire nord-côtier se limita à la zone littorale et fut exclusivement orientée sur l'exploitation des ressources côtières. Peu d'Européens, au cours de cette période, s'aventurèrent à l'intérieur de la péninsule du Labrador, qui demeura la chasse gardée des Amérindiens. De par la distance relative qui les sépare de la côte, il est peu probable que les corridors nord et sud de l'aire d'étude recèlent des traces d'une occupation européenne antérieure au XX<sup>e</sup> siècle. En effet, les résultats de la recherche documentaire effectuée dans le cadre du présent mandat, font ressortir que l'occupation européenne du territoire fut limitée, au cours des quatre derniers siècles, à la zone côtière immédiate, laissant l'arrière-pays pratiquement inexploité.

C'est au cours du XVI<sup>e</sup> siècle que furent exploités les premiers établissements saisonniers européens dans la région. Plusieurs groupes, majoritairement d'origine basque, installèrent en effet de petits établissements de chasse à la baleine dispersés en différents endroits le long de la côte. La présence de ces Basques, qui perdura dans la région jusqu'à la fin de la première moitié du XVII<sup>e</sup> siècle, touchait une vaste zone allant du détroit de Belle-Isle au fjord de la rivière Saguenay.

À partir de la seconde moitié du XVII<sup>e</sup> siècle, une partie du territoire de la Côte-Nord fut officiellement rattaché à la *Traite de Tadoussac*. D'abord grossièrement fixées en 1652 et incluant les deux rives du fleuve, ses frontières seront officiellement délimitées en 1733. Elles englobaient alors toute la rive nord du fleuve, depuis la pointe nord-est de l'île aux Coudres jusqu'à la pointe au Cormoran, située à quatre ou cinq lieues (25 km) au-dessous de la rivière Moisie (Dufour 1996 : 183-184).

Parallèlement à la création de la *Traite de Tadoussac* au cours de la seconde moitié du XVII<sup>e</sup> siècle, les autorités coloniales concédèrent en 1661 au sieur François Byssot de la Rivière, la seigneurie de l'île aux Œufs et de Mingan terre ferme. À cette concession, s'ajouta la seigneurie des *isles et les islets de Mingan*, qui fut octroyée conjointement à Louis Jolliet et à Jacques Lalande de Gayon en 1679. Ces derniers étaient respectivement le gendre et le deuxième époux de Marie Couillard, la veuve François Byssot de la Rivière (Niellon 1996 : 147). Avec la *Traite de Tadoussac*, ces deux seigneuries, qui avec l'île d'Anticosti forment la Minganie, sont

le principal cadre juridique et administratif qui régit le territoire à l'étude jusque dans la seconde moitié du XIX<sup>e</sup> siècle.

La Conquête n'entraînera aucun changement juridique quant à l'organisation formelle du territoire tel qu'hérité du Régime français. En effet, la *Traite de Tadoussac*, qui devient entre-temps les *King's Posts*, est maintenue dans ses limites de 1733 et le Régime seigneurial est perpétué par les autorités britanniques. Cependant, la partie de la côte à l'est du territoire de la traite, soit depuis le cap des Cormorans, passa sous l'autorité du gouverneur de Terre-Neuve. Il faut attendre l'année 1825 pour voir la juridiction de Terre-Neuve à l'ouest de la rivière Blanc-Sablon prendre définitivement fin (Niellon 1996 : 148-152).

À partir des années 1650, une série de postes de traite commencent à voir le jour sur les rivages nord-côtiers. Dès la décennie 1660, François Byssot de la Rivière exploite un poste de traite à la rivière du Poste sur la baie des Sept-Îles. Deux décennies plus tard, Louis Jolliet et Jacques Lalande de Gayon établissent un poste de traite à Mingan, qui fut détruit en 1690 par la flotte de Phips. En 1684, les gestionnaires de la *Traite de Tadoussac* établissent un modeste poste saisonnier dans les parages de la rivière Moisie. Jusqu'au tournant des années 1850, c'est principalement autour des postes de Sept-Îles et de Mingan que s'organisèrent le commerce des pelleteries et l'exploitation des ressources du littoral. En termes de population eurocanadienne présente dans ces postes, on parle ici d'une demi-douzaine d'hivernants avant 1700 et le double environ, au moment de la conquête (Niellon 1996 : 152). Un document de 1786 décrit ainsi les bâtiments présents au poste de Sept-Îles : une maison, une boulangerie, une tonnellerie, deux magasins, une étable, un hangar et une cave pour les huiles. L'écurie abrite un cheval, un bœuf et deux vaches (Dufour 1996 : 216)

Si le commerce des pelleteries demeure la principale activité de ces établissements au cours du XVII<sup>e</sup> siècle, les premières décennies du XVIII<sup>e</sup> siècle voient l'apparition d'une diversification des activités qui y sont pratiquées. Dès le début du XVIII<sup>e</sup> siècle, les directeurs de la *Traite de Tadoussac* commencent à exploiter la chasse aux marsouins et aux phoques pour la production d'huiles. Dans les postes de Moisie et de Sept-Îles, la chasse aux phoques se pratique au cours de l'automne et du printemps, le gel des anses la rendant impraticable pendant l'hiver. Les Amérindiens pratiquent cette chasse et transforment les graisses en huile puis en font ensuite la traite contre des marchandises européennes. Les Canadiens, quant à eux, pratiquent aussi, dans une moindre mesure, la chasse aux phoques en Minganie, où les engagés hivernants tuent les phoques au fusil alors qu'adultes et nouveau-nés se tiennent sur les glaces flottantes (Niellon 1996 : 163). Vers 1720, une timide exploitation du saumon s'ajoute au commerce des huiles. Toutefois, avant la Conquête, cette exploitation demeure secondaire, faute de débouchés. À la pêche aux saumons, se greffe aussi à partir de 1740, sur la rivière Mingan, une pêche à la truite qui s'effectue au filet (Niellon 1996 : 164-166). Après la Conquête, l'augmentation de la population du Bas-Canada créa un marché plus important pour

les produits de la pêche, dont le saumon, mais également le hareng, le maquereau, la truite saumonée et le homard. Sept-Îles et Moisie sont des lieux qui développent cette industrie (Dufour 1996 : 212-215).

Parallèlement à l'exploitation de ces ressources par des intérêts coloniaux, d'importantes pêcheries saisonnières, majoritairement exploitées par des équipages métropolitains, se maintiennent dans la région au cours des XVII<sup>e</sup>, XVIII<sup>e</sup> et XIX<sup>e</sup> siècles. Ce sont les morutiers français d'abord, qui sont remplacés, après la Conquête par des équipages anglais et américains. Une partie de ces pêcheurs, qui conservent la morue en la salant ne touche pratiquement jamais à terre mais, ceux qui pratiquent le séchage de la morue, créent de nombreux établissements sédentaires saisonniers. Durant la période française, c'est une moyenne de 1200 pêcheurs qui débarquaient chaque année. Néanmoins, ces pêcheries saisonnières étaient situées à l'est de la région à l'étude (Blanc-Sablon, Forteau, Anse-à-Loup) (Niellon 1996 : 156-157). Si les Canadiens pratiquent à une échelle moindre la pêche à la morue dans les eaux nord-côtières dès le XVIII<sup>e</sup> siècle, il faudra attendre les années 1850 pour les voir dominer ce secteur d'activité.

À l'aube du XIX<sup>e</sup> siècle, l'ensemble des seigneuries de la Côte-Nord, ainsi que le territoire des *King's Posts*, sont contrôlés par une poignée de grandes compagnies, qui dominent le commerce des pelleteries et l'exploitation des ressources du littoral. L'aire d'étude compte alors les deux mêmes postes de traite principaux qui sont établis depuis le XVII<sup>e</sup> siècle dans la baie des Sept-Îles et à Mingan. Un poste saisonnier pour la pêche aux saumons est aussi en exploitation sur la rivière Moisie. La pêche s'y pratique alors du mois de juin au mois de septembre. Finalement, un quatrième poste semble avoir été en exploitation au cap des Cormorans au cours des dernières décennies du XVIII<sup>e</sup> siècle. Ce dernier pourrait avoir été délibérément établi à la frontière entre la seigneurie de Mingan et les *King's Posts* par l'un ou l'autre des exploitants afin de drainer une partie du flux commercial de son concurrent. Ce poste ne semble pas être demeuré en activité longtemps. La seule mention connue de son existence se trouve à l'intérieur du bail qui lie en 1802 William Grant, Peter Stuart, John Gray et Peter Dunn, alors coseigneurs de Mingan, à un groupe de marchands issus de la Compagnie du Nord-Ouest, qui devint alors locataire de l'ensemble des postes de la Minganie (CMRNF 1883, I : 213).

Ce poste ne semblait plus être en exploitation en 1822 lorsque la Compagnie de la Baie d'Hudson reprit à son compte l'exploitation des postes qui appartenaient à la Compagnie du Nord-Ouest, devenant locataire des *King's Posts* et des seigneuries de l'île aux Œufs et de Mingan. Elle le demeure jusqu'à l'abolition des *King's Posts* en 1859. À partir de 1842, les privilèges liés au bail, soit la jouissance exclusive de l'exploitation des ressources, sont restreints au droit exclusif de faire la traite des pelleteries et la pêche aux phoques. Finalement, en 1859 les *King's Posts* sont abolis et son territoire est ouvert à la colonisation (Dufour 1996 : 191-193).

Dans la foulée de l'abolition des *King's Posts*, plusieurs groupes de pêcheurs gaspésiens et madelinots, de même qu'un certain nombre de compagnies de pêche de Jersey et de Guernesey qui engagent des pêcheurs saisonniers, commencent à fréquenter la côte nord pour exploiter les ressources de la mer. Au départ, l'occupation s'étale sur la côte dans des établissements temporaires qui dans certains lieux deviendront progressivement permanent. Au cours des années 1850, on compte une quinzaine de stations de pêche entre la rivière Moisie et Longue-Pointe-de-Mingan (Lepage 1996 : 241-242). Les premiers pêcheurs à s'établir à résidence s'installent, selon la tradition orale, aussi tôt qu'en 1849 pour les établissements de Magpie et de Longue-Pointe-de-Mingan (Roussy 1983, Loïselle 1992).

C'est ainsi qu'en Moyenne Côte-Nord deux types d'occupation se développent, celui lent et laborieux des résidents permanents et celui saisonnier des nombreux pêcheurs recrutés par des compagnies de pêche. Certains emplacements plus favorables, tel Magpie et Rivière-au-Tonnerre voient l'installation d'infrastructures importantes par les compagnies *Le Boutillier Brothers* et *Robin* (Lepage 1996 : 257-258). À titre d'exemple, de 1877 à 1900, la compagnie *Robin* emploie de 200 à 450 pêcheurs saisonniers selon les années, dans ses postes de Magpie, du Dock, de Ridge Point et de Rivière-Saint-Jean (Lepage 1996 : 260). Le régime d'exploitation de ces compagnies, fondé sur l'emploi massif de pêcheurs saisonniers originaires de la Gaspésie, va continuer de dominer l'économie régionale jusque vers 1930.

Les comptoirs de commerce des compagnies constituent le cœur des communautés de familles résidentes. C'est autour d'eux que le peuplement se consolide. Ainsi, avant l'installation de la *Le Boutillier & Brothers* à Ram's Cove en 1861, dans la partie ouest de ce qui allait devenir le village de Magpie, l'ensemble des habitations du hameau, de même que la chapelle du lieu étaient regroupés plus à l'est, près de l'embouchure de la rivière Magpie. Au cours des décennies qui suivirent l'arrivée de cette compagnie à Magpie, la majorité des habitations furent déplacées vers Ram's Cove, culminant en 1881 avec le transport de la chapelle et du cimetière de la partie est vers la partie ouest de l'agglomération (Roussy 1983 : 26-35).

Parallèlement à ces établissements formés par les pêcheurs d'origine gaspésienne, plus de 120 familles quittent les Îles de la Madeleine au cours des années 1850 pour s'installer sur la côte nord, principalement à Havre-Saint-Pierre, qui en 1881 compte plus de 1000 habitants, représentant plus de 80 % de la population de la Minganie (Lepage 1996 : 241).

La pêche aux saumons se poursuit aussi dans la majorité des rivières mais dans la région à l'étude le gouvernement établit un régime de concessions des bassins inférieurs sur la majorité des rivières de la Minganie, ce qui favorise leur accaparement par des intérêts privés étrangers qui seront même protégés par des gardes-pêches. De riches anglophones acquièrent également des droits exclusifs de

pêche sportive, tels ceux possédés sur les rivières Moisie et Mingan par des intérêts américains et britanniques au cours des années 1860. Ainsi, lorsque Henry Youle Hind remonte la rivière Moisie lors de son expédition à l'intérieur de la péninsule du Labrador en 1861, il remarque la présence d'un magnifique camp de pêche au saumon, situé deux milles sous la première chute de la rivière Moisie. Selon les Amérindiens qui l'accompagnent, ce camp de pêche, composé de près de dix bâtiments, est la propriété de deux riches Américains. Ces derniers ont déserté leur camp de pêche depuis le début de la guerre civile aux Etats-Unis (Hind 1863 : 23-24).

À partir de la dernière décennie du XIX<sup>e</sup> siècle, les pêcheries de la Côte-Nord entrent dans une période de marasme qui va se prolonger jusqu'au milieu du siècle suivant et qui oblige les habitants à se tourner vers d'autres sources de revenus comme l'industrie forestière. Cette industrie qui se développe d'abord en Haute Côte-Nord draine alors une partie de la population (Lepage 1996 : 276).

Pour le XIX<sup>e</sup> siècle, il est important de mentionner le projet d'exploitation des forges de Moisie-Est qui s'inscrit parmi les diverses tentatives de créer une sidérurgie québécoise. En 1867, la *Moisie Iron Company*, investit un million de dollars sur la rive est de l'embouchure de la rivière Moisie pour y construire 12 fourneaux à charbon, 8 fours catalans et une forge pour le lavage et la purification. Le procédé électrique « Larue » est utilisé pour purifier le minerai. Les installations ont une capacité quotidienne de 24 tonnes de fer, mais elles ne peuvent fonctionner que l'été, les réserves d'eau étant insuffisantes pendant l'hiver. Deux bateaux à vapeur assurent l'approvisionnement de l'usine en sable et en bois et le transport du fer vers les États-Unis. L'usine ferme ses portes en 1875, en raison de la hausse des tarifs douaniers américains qui passèrent de 7 \$ à 34,80 \$ la tonne de fer. Les équipements, les logements pour les employés et le magasin sont abandonnés. Le village, qui comptait jusqu'à 400 habitants, est complètement délaissé. L'église est même déménagée de l'autre côté de la rivière où sont déjà établis des pêcheurs. (Porlier-Bourdage 1978 : 28-48).

Avec le XX<sup>e</sup> siècle, et plus particulièrement au lendemain de la Deuxième Guerre mondiale, s'amorce sur la Côte-Nord une exploitation accrue des richesses naturelles qui prendra une ampleur sans précédent. Cinq grands projets miniers et hydroélectriques sont mis sur pied dans un arrière-pays pratiquement inexploité. La ville de Sept-îles profitera particulièrement de ce développement, passant, de 1950 à 1975, d'une population de moins de 2000 à plus de 30 000 habitants. L'évolution de Sept-îles est étroitement associée au développement de la mine de fer de Shefferville qui entraîne la construction d'un port maritime important et d'un chemin de fer reliant la ville à la mine. L'augmentation de la population entraîne aussi la construction d'infrastructures urbaines et la venue de services. Au début des années 1980, une crise dans l'industrie du fer amène une baisse de l'emploi qui oblige beaucoup de famille à quitter la région (Frenette 1996 : 495-497).

Plus à l'est, la mise en exploitation des gisements d'ilménite du lac Allard, près de Havre-Saint-Pierre, permet à cette localité de poursuivre sa croissance. Chef-lieu administratif de la Minganie, Havre-Saint-Pierre est responsable de près de 80 % de l'accroissement de la population de cette région depuis 1940. En effet, comme les mineurs étaient transportés chaque jour par train jusqu'à leur lieu de travail, ils continuent de résider au village. Le prolongement de la route, le classement des îles de Mingan par le gouvernement québécois en 1978, puis sa reconnaissance par Parcs Canada, conduisent à une plus grande affluence touristique (Frenette 1996 : 500-501).

En dehors de ces deux centres industriels que sont Sept-Îles et Havre-Saint-Pierre, les autres localités de notre aire d'étude connaissent une évolution lente inscrite dans la continuité et la poursuite des activités traditionnelles de pêche. Entre les décennies 1950 et 1980, les pêcheries connaissent une croissance soutenue, qui contribue à maintenir les populations préexistantes dans les villages de la côte. Cependant, le déclin de ces activités au cours des dernières décennies du XX<sup>e</sup> a sérieusement handicapé ces communautés.

### **3.2 RESSOURCES ARCHÉOLOGIQUES CONNUES**

L'Inventaire des sites archéologiques du Québec (ISAQ) ne révèle la présence d'aucun site archéologique, dont l'identité culturelle soit d'origine euro-québécoise, dans les limites de l'aire d'étude. Dix-neuf sites archéologiques euroquébécois sont toutefois répertoriés en périphérie immédiate de l'espace étudié (tableau 5). Majoritairement localisés dans la zone littoral du fleuve Saint-Laurent, ces dix-neuf sites sont représentatifs des différents modes d'appropriation de ce vaste territoire et des principaux types d'occupation humaine déjà identifiés dans la présentation du cadre historique.

Pour trois de ces sites, la période d'occupation initiale remonte au Régime français (1608-1759). Il s'agit premièrement du poste de Sept-îles (EbDo-1), dont l'emplacement fut d'abord occupé par une mission et un campement amérindien historique (période de contact). Deuxièmement du poste de Mingan-Terre ferme (EbDa-8), probablement opéré par François Byssot de la Rivière, seigneur de Mingan-Terre ferme à compter de 1661. Enfin, du poste de traite de l'île du Havre-de-Mingan (EbCx-1), exploité par Louis Jolliet, copropriétaire de la seigneurie des Isles et Islets de Mingan, concédée en 1679.

La période d'occupation initiale de douze autres sites correspond à 1800-1899. Les fonctions de ces sites peuvent être regroupées en quatre catégories principales : chasse et pêche, résidence permanente, poste de traite et industrie. Certains sites ne concernent qu'un seul type d'occupation. C'est le cas de EbCs-2 qui est associé à des activités de chasse et de EbDj-5 qui concerne l'aménagement d'un village de pêcheurs côtiers aménagé sur le littoral et abrité par l'île du Cormoran. Trois autres

sites sont des emplacements d'habitation, l'un temporaire (EbCv-28) localisé sur une île au milieu de la rivière Romaine et les deux autres permanents (EbDa-7 et EbDa-10). Le premier de ces deux sites constitue la résidence permanente du fondateur de Longue-Pointe-de-Mingan et le second englobe plusieurs maisons amérindiennes de la période historique à Mingan. D'autres sites regroupent par ailleurs plusieurs types de fonction qui se sont, soit côtoyées, soit succédées, sur un même emplacement. C'est le cas notamment des sites de poste de traite EbDa-9, EbDa-11, EbDj-6, EbDI-11, EbDo-2 et EbDo-3 où plusieurs types d'activités pouvaient se dérouler simultanément : chasse, pêche, trappe, commerce, lieu de rassemblement et d'hébergement, ou du site EbDa-4, où se sont succédées des activités liées à la pêche, à l'industrie métallurgique et à l'habitation.

Enfin, trois sites datent de la première moitié du XX<sup>e</sup> siècle (1900-1950) et un dernier (EbDo-6), qui est à la fois d'origine amérindienne préhistorique et euroquébécoise, couvre toute la période historique. Le site EbDo-6, qui particularise la réserve amérindienne de Uashat, recoupe probablement celui du vieux poste de traite de Sept-îles (EbDo-1) associé au Régime français. Quant aux trois sites de la période 1900-1950, l'un est associé à un village de pêcheurs situé à l'embouchure ouest de la rivière Moisie (EbDm-3), un second est une extension du poste de Sept-Îles occupé par une école et un magasin (EbDo-4) et le dernier (EbDp-1) concerne les vestiges de la pulperie de Clarke City localisés immédiatement à l'extérieur de la limite ouest de la présente aire d'étude.

La plupart des sites dont il est fait mention plus haut ont été découverts au cours d'une reconnaissance archéologique effectuée en 1979 par James V. Chism, en collaboration avec le ministère des Affaires culturelles du Québec. Quelques nouveaux sites à caractère historique ont été mis au jour depuis, mais la grande majorité des sites trouvés par Chism n'ont fait l'objet d'aucune autre intervention archéologique.

### **3.3 ZONES À POTENTIEL ARCHÉOLOGIQUE HISTORIQUE EUROQUÉBÉCOIS**

Étant donné les résultats combinés de la recherche historique et de l'examen des dossiers concernant les sites archéologiques connus en périphérie de l'aire d'étude, une seule zone à potentiel archéologique historique a été retenue. Toutefois, afin de respecter la dénomination quelque peu manichéenne nécessaire à la caractérisation des zones à potentiel, nous avons dû séparer cette zone en deux puisqu'il y a une superposition partielle avec une zone à potentiel amérindien.

Au nord, ce potentiel historique euroquébécois se superpose à la zone à potentiel amérindien 1.03.021, tandis qu'au sud, la zone 1.03.058 ne concerne que le potentiel euroquébécois. Ces deux zones contigües sont localisées sur la rive gauche de la rivière Moisie à environ 16 km de son embouchure et à 3,25 km en

**Tableau 5 : Sites euro-qubécois historiques connus en périphérie de l'aire d'étude**

Code Borden	Dénomination	Localisation et feuillet 1 :50 000	Identité culturelle	Auteur, date et source	Type d'intervention et promoteur	Commentaires
EbCs-2	Rivière du milieu	Sur la pointe est de l'embouchure de la rivière du Milieu, 21L/6	Euro-qubécois 1800-1899 1900-1950	Samson, Gilles, 1979, n° 527	Rapport de recherche archéologique dans le cadre de l'étude de localisation et d'impact sur l'environnement du prolongement de la route 138 entre Havre-Saint-Pierre et Baie-Johan-Beetz (Duplessis). MAC, rapport inédit, 20 p.	Le site EbCs-2 est associé à des activités de chasse saisonnière (printemps - automne). Il n'est pas représenté sur les cartes de la présente étude car il se trouve à l'est du tracé de la nouvelle ligne à 161 kV.
				Somcynsky, Pablo, 1989, n° 1584	Reconnaissance archéologique sur le corridor d'étude du prolongement de la route 138, entre Havre-St-Pierre et rivière Pashashibou. Conseil Attikamek-Montagnais, rapport inédit, 325 p.	
EbCv-28	Rivière Romaine	Sur la rive sud à la hauteur du premier méandre à l'est de la Chute de l'Église, 12L/5	Euro-qubécois 1800-1899	Somcynsky, Pablo, 1989, n° 1584	Reconnaissance archéologique sur le corridor d'étude du prolongement de la route 138, entre Havre-St-Pierre et rivière Pashashibou. Conseil Attikamek-Montagnais, rapport inédit, 325 p.	Les vestiges retrouvés sur le site EbCv-28 sont associés à la présence d'une habitation de surface et d'un dépotoir (fosse). Il est localisé au sud de l'espace représenté sur le feuillet 3 de 9 du corridor sud.
EbCx-1	Île du Havre de Mingan	Sur la pointe est de l'île du Havre de Mingan, à mi-chemin entre la côte nord et la côte sud, 12L/5	Euro-qubécois 1608-1759	Lévesque, René, 1966, n° 796	Rapport préliminaire de la mission archéologique de Mingan, été 1966. MAC, rapport inédit, 19 p.	Le site EbCx-1 comporte différents types d'occupation à fonction commerciale : lieu de rassemblement, marché et auberge. Il s'agit probablement de la maison de Louis Jolliet, seigneur des Isles et Islets de Mingan. Le site est représenté sur le feuillet 4 de 9 du corridor sud.
				Chism, James V., 1980a, n° 610	Reconnaissance des sites historiques de la Côte-Nord, 1979. MAC, rapport inédit, 177 p.	
				Fitzhugh, William W., 2001, n° 3138	The gateways project 2001 : Archaeological survey of the Québec Lower North Shore, Gulf of Saint-Lawrence, from Mingan to Blanc Sablon. Artic studies Center, Smithsonian Institution, Washington, rapport inédit, 16 p.	
				Crête, Serge-André, 1978, n° 134	Reconnaissance archéologique à l'archipel de Mingan, été 1978. MAC, rapport inédit, 56 p.	
				Somcynsky, Pablo, 1986, n° 1468	Reconnaissance archéologique sur l'archipel de Mingan, les sites amérindiens paléohistoriques et historiques. Parcs Canada, rapport inédit, 352 p.	
				Tremblay, Roland, 1998, n° 2880	Le site de l'anse à la Vache et le mitan du Sylvicole supérieur dans l'estuaire du Saint-Laurent. L'éveilleur et l'ambassadeur: essais archéologiques et ethnohistoriques en hommage à Charles A. Martijn (textes réunis sous la direction de Roland Tremblay), Recherches Amérindiennes au Québec, Montréal, Paléo-Québec 27, p. 91-125.	
Lévesque, René, 1971, n° 335	La seigneurie des îles et des îlets de Mingan. Éditions Leméac, Ottawa, 252 p.					

Code Borden	Dénomination	Localisation et feuillet 1 :50 000	Identité culturelle	Auteur, date et source	Type d'intervention et promoteur	Commentaires
<b>EbDa-7</b>	Maison du fondateur (Longue-Pointe-de-Mingan, 1849)	À 75 m de la rive de la baie de Mingan, du côté de Longue-Pointe, 221/8	Euro-québécois 1800-1899	Chism, James V., 1980a, n° 610	Reconnaissance des sites historiques de la Côte-Nord, 1979. MAC, rapport inédit, 177 p.	Le site EbDa-7 est un lieu de résidence permanente à fonction domestique. Il est illustré sur le feuillet 4 de 9 du corridor sud.
<b>EbDa-8</b>	Poste Mingan – Terre ferme (1662-1803)	Sur une série de plages sablonneuses surélevées, face au sud, donnant sur l'anse, partie du rivage du port de Mingan, 221/8	Euro-québécois 1608-1759 1760-1799 1800-1899	Lévesque, René, 1965, n° 329	Mission archéologique de Mingan 1965, seigneurie François Bissot, terre ferme. MAC, ms, 20 p.	Les vestiges retrouvés à l'emplacement du site EbDa-8 confirment la fonction commerciale des lieux : poste de traite, lieu de rassemblement, marché et auberge. Il est représenté sur le feuillet 4 de 9 du corridor sud.
				Chism, James V. 1980a, n° 610	Reconnaissance des sites historiques de la Côte-Nord, 1979. MAC, rapport inédit, 177 p.	
				Fortin, Jacques, 1978, n° 704	Les postes de traite de la Côte-Nord. MAC, rapport inédit, n. p.	
				Lacombe, Marthe, s.d., n° 852	Documentation sur le poste de Mingan terre ferme, EbDa-8. MAC, ms, n. p.	
<b>EbDa-9</b>	Poste 1 : Compagnie Baie d'Hudson (Mingan, 1821)	À l'abri de l'île du Havre, à 30 m de la rive du Saint-Laurent, 221/8	Euro-québécois 1800-1899	Chism, James V., 1980a, n° 610	Reconnaissance des sites historiques de la Côte-Nord, 1979. MAC, rapport inédit, 177 p.	Le site EbDa-9 a été occupé de façon permanente et les vestiges confirment sa fonction commerciale. Il est illustré sur le feuillet 4 de 9 du corridor sud.
<b>EbDa-10</b>	Habitations amérindiennes (historiques à Mingan)	Dans le village de Mingan, tout près de la rive du Havre de Mingan, 221/8	Euro-québécois 1800-1899 1900-1950	Chism, James V., 1980a, n° 610	Reconnaissance des sites historiques de la Côte-Nord, 1979. MAC, rapport inédit, 177 p.	Le site EbDa-10 est un lieu de résidence permanente à fonction domestique. Il est représenté sur le feuillet 4 de 9 du corridor sud.
<b>EbDa-11</b>	Poste 2 : Compagnie Baie d'Hudson (Mingan, 1821-1924)	Dans le village de Mingan, près de la rive sud de la rivière Mingan, 221/8	Euro-québécois 1800-1899 1900-1950	Chism, James V., 1980a, n° 610	Reconnaissance des sites historiques de la Côte-Nord, 1979. MAC, rapport inédit, 177 p.	Les vestiges retrouvés à l'emplacement du site EbDa-11 confirment sa fonction commerciale : poste de traite, lieu de rassemblement, marché et auberge. Son emplacement est illustré sur le feuillet 4 de 9 du corridor sud.
<b>EbDj-5</b>	Rivière Pigou (1854-1940)	Face à l'île du Cormoran, 221/5	Euro-québécois 1800-1899 1900-1950	Chism, James V., 1980a, n° 610	Reconnaissance des sites historiques de la Côte-Nord, 1979. MAC, rapport inédit, 177 p.	Le site EbDj-5 correspond à l'emplacement d'un ancien village de pêcheurs qui provenaient probablement des îles Jersey en Angleterre. Il est représenté sur le feuillet 7 de 9 du corridor sud.
<b>EbDj-6</b>	Poste Cormoran (1803)	Sur la pointe ouest de l'embouchure de la rivière au Bouleau, 221/5	Euro-québécois 1800-1899 1900-1950	Chism, James V., 1980a, n° 610	Reconnaissance des sites historiques de la Côte-Nord, 1979. MAC, rapport inédit, 177 p.	Deux hypothèses se posent au sujet du site EbDj-6. La première qu'il est l'une des nombreuses stations de pêche installée le long du littoral après 1854 et la seconde qu'il se trouve à l'emplacement du poste Cormoran (1803-1831). Le site est illustré sur le feuillet 7 de 9 du corridor sud.
<b>EbDI-11</b>	Poste Chisholm (1840-1876)	Sur la pointe est de l'embouchure de la rivière Matamec, 221/5	Euro-québécois 1800-1899	Chism, James V., 1980a, n° 610	Reconnaissance des sites historiques de la Côte-Nord, 1979. MAC, rapport inédit, 177 p.	Les vestiges retrouvés à l'emplacement du site EbDI-11 confirment sa fonction commerciale : poste de traite, lieu de rassemblement, marché et auberge, ainsi que des activités permanentes de chasse et de pêche. Le site est représenté sur le feuillet 8 de 9 du corridor sud.

Code Borden	Dénomination	Localisation et feuillet 1 :50 000	Identité culturelle	Auteur, date et source	Type d'intervention et promoteur	Commentaires
<b>EbDm-3</b>	Village de pêcheurs	Sur la pointe ouest de l'embouchure de la rivière Moisie, 22J/1	Euro-québécois 1900-1950	Chism, James V., 1980a, n° 610	Reconnaissance des sites historiques de la Côte-Nord, 1979. MAC, rapport inédit, 177 p.	Le site EbDm-3 correspond à l'emplacement d'un ancien village de pêcheurs probablement originaires des îles Jersey en Angleterre. Il est localisé au sud de l'espace représenté sur le feuillet 8 de 9 du corridor sud, du côté ouest de l'embouchure de la rivière Moisie
<b>EbDm-4</b>	Moisie-Est	Sur la pointe est de l'embouchure de la rivière Moisie, 22J/1	Euro-québécois 1800-1899	Chism, James V., 1980a, n° 610	Reconnaissance des sites historiques de la Côte-Nord, 1979. MAC, rapport inédit, 177 p.	Trois fonctions distinctes sont représentées sur le site EbDm-4. La plus ancienne est la pêche, pratiquée par les populations amérindiennes de façon occasionnelle. La seconde concerne les activités associées à l'exploitation des sables riches en minerai de fer : mine, forge, industrie sidérurgique et distillerie. Enfin, une vocation résidentielle qui persiste depuis la toute fin du XIX <sup>e</sup> siècle. Le site se trouve immédiatement au sud de l'espace illustré sur le feuillet 8 de 9 du corridor sud, du côté est de l'embouchure de la rivière Moisie.
<b>EbDo-1</b>	Vieux-Poste (Sept-Îles)	À l'embouchure de la rivière du Poste, rive sud, près de la route 15, 22J/1	Euro-québécois 1608-1759 1760-1799 1800-1899 1900-1950	Lévesque, René, 1981, n° 30	Les vieux comptoirs de Sept-Îles. Éditions Leméac, Ottawa, 188 p.	Site de campement amérindien, d'une mission, ainsi que d'une série de postes de traite des deux Régimes : français et anglais. Un cimetière est aussi associé aux postes de traite. Le site EbDo-1 est représenté sur le feuillet 9 de 9 du corridor sud.
				Laplante, Gérard, 1966, n° 304	Expédition archéologique, Moisie / Pentecôte, 1966. Bulletin de la Société d'archéologie de Québec, p. 3-8.	
				Gaumond, Michel, s.d., n° 397	Notes sur le poste de Sept-Îles, EbDo-1. MAC, ms, n. p.	
				MacLeod, Donald, 1968, n° 422	1968 field trip report. Musée national de l'Homme, Ottawa, ms, 9 p.	
				Chism, James V., 1980a, n° 610	Reconnaissance des sites historiques de la Côte-Nord, 1979. MAC, rapport inédit, 177 p.	
				Fortin, Jacques, 1978, n° 704	Les postes de traite de la Côte-Nord. MAC, rapport inédit, n. p.	
<b>EbDo-2</b>	Poste Compagnie de la Baie d'Hudson II (Sept-Îles, 1861-1936)	Partie de la réserve indienne de Uashat, à Sept-Îles, 22J/1	Euro-québécois 1800-1899 1900-1950	Chism, James V., 1980a, n° 610	Reconnaissance des sites historiques de la Côte-Nord, 1979. MAC, rapport inédit, 177 p.	Les vestiges retrouvés à l'emplacement du site EbDo-2 confirment la fonction commerciale des lieux : poste de traite, lieu de rassemblement, marché et auberge. Il est représenté sur le feuillet 9 de 9 du corridor sud.

Code Borden	Dénomination	Localisation et feuillet 1 :50 000	Identité culturelle	Auteur, date et source	Type d'intervention et promoteur	Commentaires
<b>EbDo-3</b>	Compagnie de la Baie d'Hudson (expansion sur le lot 27, 1896-1921)	Face au quai d'embarquement de la nouvelle ville, 22J/1	Euro-québécois 1800-1899 1900-1950	Chism, James V., 1980a, n° 610	Reconnaissance des sites historiques de la Côte-Nord, 1979. MAC, rapport inédit, 177 p.	Emplacement présumé d'un entrepôt du poste de traite, le site EbDo-3 est représenté sur le feuillet 9 de 9 du corridor sud.
<b>EbDo-4</b>	Compagnie de la Baie d'Hudson (expansion sur le lot 17? , 1917-1926)	Près des quais d'embarquement, côté nord-est de la rue Arnaud, 22J/1	Euro-québécois 1900-1950	Chism, James V., 1980a, n° 610	Reconnaissance des sites historiques de la Côte-Nord, 1979. MAC, rapport inédit, 177 p.	Emplacement présumé d'une école ou d'un magasin, les vestiges retrouvés sur le site EbDo-4 confirment sa fonction commerciale : poste de traite, lieu de rassemblement, marché et auberge. Le site EbDo-4 est représenté sur le feuillet 9 de 9 du corridor sud.
<b>EbDo-6</b>	Réserve de Uashat	À l'arrière des garages de la Ville de Sept-Îles sur le boulevard des Montagnais, 22J/1	Amérindien préhistorique  Euro-québécois	Dubreuil, Steve, 1997, n° 2570	Inventaire archéologique sur le territoire de la réserve innue de Uashat (Sept-Îles), été-automne 1997. Conseil de bande innu Takuaikan Uashat mak Mani-Utenam/MCCQ, rapport inédit, 45 p.	Le site EbDo-6 est délimité par l'emplacement de la réserve de Uashat et recoupe probablement des vestiges du site du vieux poste de Sept-Îles (EbDo-1). Le site EbDo-6 est représenté sur le feuillet 9 de 9 du corridor sud.
<b>EbDp-1</b>	Pulperie de Clarke City	Sur la rive est de la rivière Sainte-Marguerite, tout près du village de Clarke City, 22J/2	Euro-québécois 1900-1950	Pintal, Jean-Yves, 2001g, n° 3115	Projet d'optimisation de la production électrique. Centrale hydroélectrique SM-1, rivière Sainte-Marguerite, Sept-Îles (Clarke city). Relevés archéologiques. Hydrowatt SM-1, rapport inédit, 36 p.	Quatre vestiges à fonction technologique (première moitié du XX <sup>e</sup> siècle) ont permis d'identifier l'emplacement de la pulperie de Clarke City (EbDp-1). Le site se trouve immédiatement à l'ouest du feuillet 9 de 9 du corridor sud.

aval des chutes (Photo 19). Lorsque Henry Youle Hind remonte la rivière Moisie au cours de son expédition à l'intérieur de la péninsule du Labrador en 1861, il remarque la présence d'un magnifique camp de pêche au saumon, situé deux milles sous la première chute de la rivière Moisie. Selon les Amérindiens qui l'accompagnent, ce camp de pêche, composé de près de dix bâtiments, est la propriété de deux riches Américains. Ces derniers ont déserté leur camp de pêche depuis le début de la guerre civile aux Etats-Unis.

L'intérêt de ces deux zones à potentiel archéologique est de mettre en lumière l'importance de la pêche aux saumons pour la Côte-Nord qui est très peu documentée à ce jour. Plusieurs thèmes qui concernent cette activité tout au long de la période historique pourraient ainsi être exploités. La pêche aux saumons telle que pratiquée par les Amérindiens, les premiers Européens, les compagnies de traite, les compagnies de pêches commerciales, les individus et les clubs privés sont autant de pistes de recherches. Un inventaire archéologique précédé d'une recherche historique en archives devraient permettre d'identifier les différents occupants qui se sont succédés sur les lieux ainsi que de caractériser les modes d'exploitation de cette ressource propre à chacun de ces groupes.

## 4. CONCLUSION ET RECOMMANDATIONS

Nous avons identifié dans l'ensemble des deux corridors à l'étude un total de 1027 zones à potentiel archéologique. Dans le corridor nord, 323 zones à potentiel amérindien ont été relevées. Dans le corridor sud, on dénombre 704 zones à potentiel amérindien dont une zone à potentiel à la fois amérindien et euro-québécois et une dernière zone à potentiel euro-québécois. Ainsi, près de 70 % des zones identifiées concernent le corridor sud, un tracé qui fait environ 60 % de la longueur totale des deux corridors. La légère différence entre la proportion du nombre de zones et la proportion de la longueur du tracé souligne la situation presque littorale du corridor sud, un contexte qui favorise l'existence d'espaces de convergence plus propices aux établissements humains.

Le potentiel d'occupation humaine des deux corridors à l'étude est donc très grand, à la mesure de l'ampleur du territoire étudié. Il concerne surtout les occupations amérindiennes, qui peuvent reculer au moins jusqu'à 4000 ans avant aujourd'hui à l'intérieur des terres, et au moins jusqu'à 6000 ans avant aujourd'hui dans la plaine côtière. Ces occupations amérindiennes du territoire se poursuivent de façon continue jusqu'à aujourd'hui, tant à l'intérieur que sur la côte. En ce qui a trait à l'occupation euro-québécoise, elle reste très peu touchée par le tracé des corridors à l'étude. Le corridor nord nous apparaît dénué de potentiel euro-québécois alors que celui au sud, bien que près de la côte, ne croise qu'un seul endroit (séparé en deux zones) avec un tel potentiel.

Bien entendu, ce n'est qu'une partie de ces zones à potentiel qui seront touchées par le tracé définitif de la ligne et des travaux nécessaires à sa construction. Chacun des espaces identifiés pour les occupations amérindiennes et euro-québécoise constitue un secteur sensible dont le potentiel archéologique et patrimonial devra être pris en considération. Les connaissances archéologiques de l'occupation humaine de la Moyenne-Côte-Nord restent à ce jour peu nombreuses, tant à l'intérieur des terres (comme c'est le cas du corridor nord) ainsi qu'à une courte distance de la rive du Saint-Laurent (comme c'est le cas pour le corridor sud). Un inventaire archéologique devrait être effectué sur chacune des zones à potentiel croisée par le tracé des lignes de transport à 735kV, 315 kV et 161 kV, et également sur chacune des zones à potentiel affectée par les travaux de construction et les aménagements connexes à ces lignes.



## BIBLIOGRAPHIE

---

Archambault, Marie-France

1998 « Les pointes pentagonales de Tadoussac, indices d'une présence paléoindienne récente à l'embouchure du Saguenay? » in *L'éveilleur et l'ambassadeur, essais archéologiques et ethnohistoriques en hommage à Charles A. Martijn*, Roland Tremblay éd., Paléo-Québec, 27, pp.141-153, Recherches amérindiennes au Québec, Montréal.

Archambault, Sylvie

2002 *Région naturelle n°20 « Les hautes terres boréales laurentiennes »*. Synthèse des connaissances et analyse comparative de trois sites d'intérêt. Rivières Manitou, Magpie et Mingan. Rapport présenté au ministère du Patrimoine canadien, agence Parcs Canada.

Archéotec

1978 *Sauvetages archéologiques sur la Moyenne Côte-Nord du Saint-Laurent entre la Jupitagon et la Romaine, 1978*. Rapport présenté au Ministère des Affaires culturelles.

Archéotec

1979 *Étude de l'utilisation des ressources du territoire de la Romaine, de la période préhistorique à la période contemporaine*. Rapport présenté à la direction de l'environnement, Hydro-Québec.

Archéotec

2000a *Dérivation partielle de la rivière Romaine. Étude de faisabilité. Étude de potentiel archéologique*. Rapport présenté à Hydro-Québec.

Archéotec

2000b *Dérivation partielle de la rivière Romaine. Étude de faisabilité. Interventions archéologiques 1999 dans les secteurs des aménagements à l'étude*. Rapport présenté à Hydro-Québec.

Archéotec

2000c *Dérivation partielle de la rivière Romaine. Étude de faisabilité. Interventions archéologiques 1999 dans le bassin supérieur de la rivière Romaine*. Rapport présenté à Hydro-Québec.

Archéotec

2002 *Projet d'aménagement hydroélectrique Romaine 1. Réservoir Romaine et aires d'investigations géotechniques. Interventions archéologiques 2001*. Rapport de recherches présenté à Hydro-Québec.

Archéotec

2003 *Complexe Romaine, aménagements hydroélectriques Romaine 1, 2, 3, 4. Parcs à caburant et stations limnimétriques. Inventaire archéologique mai 2003*. Rapport présenté à Hydro-Québec

Archéotec

2006a *Complexe de la Romaine. Interventions archéologiques 2004. Rapport de recherches (version préliminaire)*. Rapport présenté à Hydro-Québec.

Archéotec

2006b *Projet du complexe de la rivière Romaine. Inventaire archéologique 2005*. Rapport présenté à Hydro-Québec.

Bélangier, René

1980 *Sept-Îles et son passé. Notes historiques*. Sept-Îles, Éditions du Musée des Sept-Îles Inc.

## BIBLIOGRAPHIE

---

Bouchard, Serge

2004 *Récits de Mathieu Mestokosho, chasseur innu*. Boréal, Montréal.

Castonguay, Dandenault et Associés inc.

2005 *Projet de raccordement du complexe de la Romaine au réseau de transport. Étude du milieu innu*. Rapport préliminaire présenté à Hydro-Québec.

Cérane inc.

2000 *Hydro-Québec. Administration de projet Sainte-Marguerite, Aménagement hydroélectrique de Sainte-Marguerite 3. Analyse et synthèse des interventions archéologiques*. Rapport présenté à Hydro-Québec.

Chapdelaine, Claude

1984 « Un campement de pêche iroquoien au royaume du Saguenay » *Recherches amérindiennes au Québec*, 14 (1), pp. 25-33.

Chapdelaine, C.,

1996 « Réflexion sur l'ancienneté du peuplement initial du Québec à partir de nouveaux indices matériels du paléoindien récent de la région de Rimouski, Québec » *in Géographie physique et Quaternaire*, Vol. 50, n° 3, pp. 271-286.

Charron, Denise et René Boudreault

1994 *Ekuantshiht, Mingan*. Institut culturel et éducatif montagnais (ICEM), Wendake.

Chevrier, Daniel

1972 *Reconnaissance archéologique, Moisie/Sheldrake, rapport préliminaire, été 1972*. Rapport présenté au Ministère des Affaires culturelles.

Chevrier, Daniel

1973a *Reconnaissance archéologique, Moisie - Sheldrake, Côte-Nord du Saint-Laurent, Québec, 1972*. Rapport présenté au ministère des Affaires culturelles.

Chevrier, Daniel

1973b *Recherches archéologiques dans la région de Moisie, Côte-Nord du Saint-Laurent, 1973*. Rapport préliminaire présenté au Ministère des Affaires culturelles, Québec.

Chevrier, Daniel

1974 *Recherches archéologique dans la région de Moisie, 1974*. Rapport préliminaire présenté au ministère des Affaires culturelles.

Chevrier, Daniel

1975 *Notes sur le site EbCx-3*. Rapport soumis au Ministère des Affaires culturelles, Québec.

Chevrier, Daniel

1977 *Préhistoire de la région de la Moisie*. Les Cahiers du Patrimoine 5, direction générale du Patrimoine, ministère des Affaires culturelles, Québec.

Chevrier, Daniel

1978 *Sauvetages archéologiques sur la Moyenne Côte-Nord du Saint-Laurent entre la Jupitagon et la Romaine 1978*. Rapport présenté au Ministère des Affaires culturelles, Québec.

## BIBLIOGRAPHIE

---

Chevrier, Daniel

1996a « Les premières populations humaines : 8500 à 2000 ans avant aujourd'hui » in *Histoire de la Côte-Nord*, Pierre Frenette éd., collection Les régions du Québec, 9, Institut québécois de recherche sur la culture, Sainte-Foy, pp. 73-104.

Chevrier, Daniel

1996b « Le partage des ressources du littoral : 2000 à 350 ans avant aujourd'hui » in *Histoire de la Côte-Nord*, Pierre Frenette éd., collection Les régions du Québec, 9, Institut québécois de recherche sur la culture, Sainte-Foy, pp. 105-134.

Chevrier, Daniel et Daniel Castonguay

1976 *Reconnaissances archéologiques sur la Haute et Moyenne Côte-Nord, été 1976*. Rapport présenté au ministère des Affaires culturelles.

Chism, James V.

1980 *Reconnaissance des sites historiques de la Côte-Nord, 1979*. Rapport présenté au Ministère des Affaires culturelles, Québec.

Clermont, Norman

1984 *Notes préliminaires sur un site Middlesex de la région de Mingan*. Rapport présenté au Ministère des Affaires culturelles, Québec.

Clermont, Norman

1990 « Le Sylvicole inférieur au Québec » in *Recherches amérindiennes au Québec*, 20 (1), pp. 5-17.

CMRNF

1883 *Collection de manuscrits contenant lettres, mémoires, et autres documents historiques relatifs à la Nouvelle-France, recueillis aux Archives de la province de Québec, ou copiés à l'étranger*, 4 volumes, Québec, Imprimerie A. Côté.

Dionne, J.C. et D.Coll

1995 « Le niveau marin relatif dans la région de Matane, Québec, de la déglaciation à nos jours » in *Géographie physique et Quaternaire*, Vol. 49, n° 3, pp. 363-380.

Dionne, J.C. et D.Coll

1996 « Aperçu du quaternaire à l'embouchure du Saguenay, Québec » in *Géographie physique et Quaternaire*, Vol. 50, n° 1, pp. 5-34.

Dionne, J.C.,

2002 « État des connaissances sur la ligne de rivage Micmac de J.W. Goldthwait (estuaire du Saint-Laurent) » in *Géographie physique et Quaternaire*, Vol. 56, n° 1, pp. 97-121.

Dominique, Richard

1989 *Le langage de la chasse. Récit autobiographique de Michel Grégoire, Montagnais de Natashquan*. Presses de l'Université du Québec, Sillery.

Dubois, Jean-Marie

1996 « Le milieu naturel » in *Histoire de la Côte-Nord*, Pierre Frenette éd., collection Les régions du Québec, 9, Institut québécois de recherche sur la culture, Sainte-Foy, pp. 23-72.

## BIBLIOGRAPHIE

---

Dubreuil, Steve

1997 *Inventaire archéologique sur le territoire de la réserve innue de Uashat (Sept-Îles), été-automne 1997*. Rapport présenté au Conseil de bande innu Takuaikan Uashat mak Mani-Utenam/MCCQ.

Dufour, Pierre

1996 « De la Traite de Tadoussac aux King's Posts : 1650-1830 » in *Histoire de la Côte-Nord*, Pierre Frenette éd., collection Les régions du Québec, 9, Institut québécois de recherche sur la culture, Sainte-Foy, pp. 179-225.

Dyke, A. S. et V. K. Prest

1989 *Paléogéographie de l'Amérique du Nord septentrionale entre 18 000 et 5 000 ans avant le présent*. Commission géologique du Canada, Carte 1703A, échelle de 1 : 12 500 000.

Dyke, A.S. et al.,

1996 « Marine molluscs as indicators of environmental change in glaciated North America and Greenland during the last 18 000 years » in *Géographie physique et Quaternaire*, Vol. 50, n° 2, pp. 125-184.

Ethnoscop

1993 Treizième ligne à 735 kV du réseau de transport – Tronçon Micoua-Saguenay, étude de potentiel archéologique et étude de l'utilisation du territoire par les autochtones, Hydro-Québec, Vice-présidence Environnement, volume 1 : Analyse, 326 p.

Fitzhugh, William W.

1972 *Environmental Archaeology and Cultural Systems in Hamilton Inlet, Labrador* Smithsonian Contribution to Archaeology 16, Washington.

Frenette, Jacques

1986 *Mingan au 19<sup>e</sup> siècle: Cycles annuels des Montagnais et politiques commerciales de la Compagnie de la Baie d'Hudson*. Collection Mercure, Service canadien d'Ethnologie, Dossier n° 106. Musées nationaux du Canada, Ottawa.

Frenette, Pierre (dir)

1996 *Histoire de la Côte-Nord*. Collection Les régions du Québec, 9, Institut québécois de recherche sur la culture, Les Presses de l'Université Laval, Sainte-Foy.

« Une société en voie d'urbanisation » in *Histoire de la Côte-Nord*, Pierre Frenette éd., collection Les régions du Québec, 9, Institut québécois de recherche sur la culture, Sainte-Foy, pp. 489-520.

Gaumond., Michel

s.d. *Notes sur le poste de Sept-Îles, EbDo-1*. Rapport présenté au Ministère des Affaires culturelles, Québec.

Hétu, B. et J.T. Gray,

2000 « Les étapes de la déglaciation dans le nord de la Gaspésie (Québec) : les marges glaciaires des Dryas ancien et récent » in *Géographie physique et Quaternaire*, Vol. 54, n° 1, pp. 5-40.

Hind, Henry Youle

1863 *Explorations in the interior of the Labrador peninsula. The country of the Montagnais and Nasquapee Indians*. London, Longman, Green, Longman, Roberts & Green, 2 volumes.

## BIBLIOGRAPHIE

---

Hydro-Québec TransÉnergie

2005 *Raccordement du complexe de la Romaine au réseau de transport d'Hydro-Québec. Étude de corridors. Évaluation environnementale.* Rapport préliminaire présenté par Nove Environnement inc. à Hydro-Québec.

Keenlyside, David

1985 « La période paléoindienne sur l'Île-du-Prince-Édouard » in *Recherches amérindiennes au Québec*, 15 (1-2), pp. 119-126.

Keenlyside, David

1991 « Paleoindian Occupations of the Maritimes Region of Canada » in Bonnicksen R. et K. L. Turnmire, éd., *Clovis, Origins and Adaptations*. Peopling of the Americas Publications, Center for the Study of the First Americans, Department of Anthropology, Oregon State University, Oregon, pp. 163-174.

Laforte, Esther

1989 *Inventaire archéologique, route 138, Rivière-au-Tonnerre à Havre-Saint-Pierre, été 1988.* Rapport présenté au Ministère des Transport, Québec.

Lagacé, Thésèse

1991 *Projet d'alimentation à 161 kV de l'aluminerie Alouette. Inventaire archéologique sur deux zones à potentiel.* Conseil des Atikamekw et des Montagnais. Rapport présenté à Hydro-Québec.

Laplante, Gérard

1966 « Expédition archéologique, Moisie-Pentecôte, 1966 » in *Bulletin de la Société d'archéologie de Québec*, pp. 3-8.

Lepage, André

1996 « Le peuplement maritime » in *Histoire de la Côte-Nord*, Pierre Frenette éd., collection Les régions du Québec, 9, Institut québécois de recherche sur la culture, Sainte-Foy, pp. 231-280.

Lévesque, René

1966 *Rapport préliminaire de la mission archéologique de Mingan, été 1966.* Rapport présenté au Ministère des Affaires culturelles, Québec.

Lévesque, René

1981 *Les vieux comptoirs de Sept-Îles.* Éditions Leméac, Ottawa.

Loiselle, Monique

1992 *Longue-Pointe-de-Mingan au temps du cométique 1892-1930.* Ottawa, Les Éditions Nord-Côtières, 149 pages.

MacLeod, Donald

1968 *1968 field trip report.* Rapport présenté au Musée national de l'Homme, Ottawa.

Mailhot, José

1993 *Au pays des Innus. Les gens de Sheshatshit.* Recherches amérindiennes au Québec, Montréal.

## BIBLIOGRAPHIE

---

Mailhot, José

1996 « La marginalisation des Montagnais » in *Histoire de la Côte-Nord*, Pierre Frenette éd., collection Les régions du Québec, 9, Institut québécois de recherche sur la culture, Sainte-Foy, pp. 321-357.

McGhee, Robert et James Tuck

1975 *An Archaic Sequence in the Strait of Belle Isle*. Collection Mercure 34, Musée national de l'Homme, Ottawa.

Niellon, Françoise

1996 « Du territoire autochtone au territoire partagé : le Labrador, 1650-1830 » in *Histoire de la Côte-Nord*, Pierre Frenette éd., collection Les régions du Québec, 9, Institut québécois de recherche sur la culture, Sainte-Foy, pp. 135-178.

Occhietti, S.

1989 « Géologie quaternaire de la sous-région de la vallée du Saint-Laurent et des Appalaches » in *Le Quaternaire du Canada et du Groenland*, chap. 4, sous la direction de R. J. Fulton, Commission géologique du Canada, pp. 374 à 418.

Occhietti, S. et P.J.H. Richard,

2003 « Effet réservoir sur les âges  $^{14}\text{C}$  de la mer de Champlain à la transition Pléistocène-Holocène : révision de la chronologie de la déglaciation au Québec méridional » in *Géographie physique et Quaternaire*, Vol. 57, n<sup>os</sup> 2-3, pp. 115-138.

Parent, M. et S. Occhietti

1988 « Late Wisconsinan Deglaciation and Champlain Sea Invasion in the Saint Lawrence Valley, Québec » in *Géographie physique et Quaternaire*, vol. 42, n<sup>o</sup> 3, pp. 215-246.

Parent, M. et al.,

1985 « Paléogéographie du Québec méridional entre 12 500 et 8 000 ans BP. » in *Recherches amérindiennes au Québec*, Vol. XV, nos. 1-2. pp. 17-37.

Pintal, Jean-Yves

1996b *Contrat no 3000-95-AD01, inventaire archéologique, directions (RA) 01-11-02-09-04, 1995*. Rapport présenté au Ministère des Transports, Québec.

Pintal, Jean-Yves

1998 *Aux frontières de la mer: La préhistoire de Blanc-Sablon*. Collection Patrimoines, Dossier 102, Ministère de la Culture et des Communications du Québec, Québec.

Pintal, Jean-Yves

2001 « La préhistoire de la région de Baie-Comeau et l'exploitation des ressources du littoral » in *Archéologiques*, 14, pp. 1-10.

Plourde, Michel

1993 *D'Escamines à Pletipishtuk. Perspectives sur la préhistoire amérindienne de la Haute-Côte-Nord du Saint-Laurent*. Collection Patrimoines, Dossier 80, Ministère de la Culture et des Communications du Québec, Québec.

Plourde, Michel

2000 « Une composante de l'Archaïque ancien au Cap-de-Bon-Désir, Grandes-Bergeronnes » in *Archéologiques*, 13, pp. 1-11.

## BIBLIOGRAPHIE

---

- Plumet, Patrick; Jean-François Moreau; H  l  ne Gauvin; Marie-France Archambault et Virginia Elliott  
1993 « Le site Lavoie (DbEj-11). L'Arch  ique aux Grandes Bergeronnes, Haute C  te-Nord du Saint-Laurent. » *in Pal  o-Qu  bec*, 20, Recherches am  rindiennes au Qu  bec, Montr  al.
- Poirier, J. et Gilles Ritchot  
1971 *Analyse g  omorphologique et g  otechnique de Sept-  les*, Minist  re des Affaires municipales, Relev   G  otechnique Champlain Lt  e,
- Porlier-Bourdages, Laure  
1978 *Les forges de Moisie-Est 1875-1975*. Sept-  les,   dition Mus  e des Sept-  les.
- Poly-G  o,  
2005a *Projet de complexe hydro  lectrique de la Romaine, photo-interpr  tation de 2<sup>  me</sup> niveau pour le tron  on Romaine-2 – poste Arnaud*, Hydro-Qu  bec, Direction principale – Projet de transport et construction, pp. 1-34.
- Poly-G  o,  
2005b *Projet de complexe hydro  lectrique de la Romaine, photo-interpr  tation de 2<sup>  me</sup> niveau pour le tron  on Romaine-1 – Romaine-2*, Hydro-Qu  bec, Direction principale – Projet de transport et construction, pp. 1-12.
- Poly-G  o,  
2005c *Projet de complexe hydro  lectrique de la Romaine, photo-interpr  tation de 2<sup>  me</sup> niveau pour le tron  on Romaine-3 – Romaine-4*, Hydro-Qu  bec, Direction principale – Projet de transport et construction, pp. 1-11.
- Poly-G  o,  
2006 *Projet de complexe hydro  lectrique de la Romaine, photo-interpr  tation de 2<sup>  me</sup> niveau pour le tron  on Romaine-4 – Poste des Montagnais*, Hydro-Qu  bec, Direction principale – Projet de transport et construction, pp. 1-24.
- Richard, P.J.H.,  
1985 « Couvert v  g  tal et pal  oenvironnements de Qu  bec entre 12 000 et 8 000 ans BP. L'habitabilit   dans un milieu changeant » *in Recherches am  rindiennes au Qu  bec*, Vol. XV, nos. 1-2. pp. 39-56.
- Richard, P.J.H.,  
1994 « Wisconsinan Late-glacial environmental change in Qu  bec : a regional synthesis » *in Journal of Quaternary Science*, Vol. 9, pp. 165-170.
- Richard, P.J.H.,  
1995 « Le couvert v  g  tal du Qu  bec-Labrador il y a 6 000 ans BP : essai » *in G  ographie physique et Quaternaire*, Vol. 49, n   1, pp. 117-140.
- Richard, P.J.H. et S. Occhietti,  
2005 « <sup>14</sup>C chronology for ice retreat and inception of Champlain Sea in the St. Lawrence Lowlands, Canada » *in Quaternary Research*, N   63, pp. 353-358.
- Ritchot, G. et al.,  
1971 *Rapport accompagnant les cartes g  omorphologiques et g  otechniques de la zone sp  ciale de Sept-  les*, Relev  s G  otechniques Champlain Lt  e, Qu  bec.

## BIBLIOGRAPHIE

---

Robitaille, A. et J.M.M. Dubois

1995 « Éléments d'identification des modelés fluvioglaciers issus des débâcles glaciaires » in *Géographie physique et Quaternaire*, Vol. 49, n° 3, pp. 435-457.

Roussy, Marie-Ange

1983 *Magpie, petit coin ignoré de la Côte-Nord*. Ottawa, Bibliothèque Nationale du Canada.

Sala, M. et B. Long,

1989 « Évolution des structures deltaïques du delta de la rivière Natashquan, Québec » in *Géographie physique et Quaternaire*, Vol. 43, n° 3, pp. 311-323.

Samson, Gilles

1978 « Preliminary Cultural Sequence and Palaeo-Environmental Reconstruction of the Indian House Lake Region, Nouveau-Québec » in *Arctic Anthropology*, 15 (2), pp. 186-205.

Samson, Gilles

1979 *Rapport de reconnaissance archéologique du territoire de chasse des Montagnais de Mingan (lacs Brûlé et Lozeau et rivière Romaine)* Rapport présenté au Ministère des Affaires culturelles, Québec.

Somcynsky, Pablo

1987 *Évaluation des sites préhistoriques de la région côtière (terre ferme) de Mingan, été 1984*. Rapport présenté à Hydro-Québec Environnement.

Somcynsky, Pablo

1990a *Expertises archéologiques sur quatre sites préhistoriques découverts dans la région de Mingan : EbCx-65, EbCx-66, EbDa-44, EbDa-45*. Rapport présenté au Conseil Atikamekw-Montagnais.

Somcynsky, Pablo

1990b *Évaluation d'un site préhistorique de sépulture middlesex sur la rive ouest de la rivière Mingan*. Rapport présenté au Ministère des Affaires culturelles, Québec.

Somcynsky, Pablo

1991 *Fouille sur le site EbCx-64 à Mingan*. Rapport présenté au Conseil Atikamekw-Montagnais.

Somcynsky, Pablo

1992a *Plan quinquennal d'intervention archéologique sur les traces de ligne électriques de la région de Mingan. Phase 1990-91 : Fouilles à EbCx-65 et autres expertises*. Conseil des Atikamekw et des Montagnais. Rapport présenté à Hydro-Québec.

Somcynsky, Pablo

1992b *Plan quinquennal d'intervention archéologique sur les traces de ligne électriques de la région de Mingan. Phase 1991-92 : Fouilles à EbCx-65 et à EbDa-45 et autres expertises*. Conseil des Atikamekw et des Montagnais. Rapport présenté à Hydro-Québec.

Somcynsky, Pablo

1992c *Fouille du site préhistorique de sépulture middlesex, EbCx-64, sur la rive ouest de la rivière Mingan, les dépressions C, F et G*. Rapport présenté au Ministère des Affaires culturelles, Québec.

## BIBLIOGRAPHIE

---

Somcynsky, Pablo

1993 *Plan quinquennal d'intervention archéologique sur les traces de ligne électriques de la région de Mingan. Phase 1992-93 : Reconnaissance en secteurs 2, 3 et 4.* Conseil des Atikamekw et des Montagnais. Rapport présenté à Hydro-Québec.

Somcynsky, Pablo

1994 *Plan quinquennal d'intervention archéologique sur les traces de ligne électriques de la région de Mingan. Phase 1993-94 : Fouilles à EbCx-65,9 et EbCx-66 et reconnaissance en secteurs 2, 3 et 4.* Conseil des Atikamekw et des Montagnais. Rapport présenté à Hydro-Québec.

Syvitski, J.P.M. et D.B. Praeg,

1990 « Quaternary sedimentation in the St. Lawrence estuary and adjoining areas, eastern Canada : an overview based on high resolution seismo-stratigraphy » in *Géographie physique et Quaternaire*, Vol. 43, n° 3, pp. 291-310.

Tremblay, Huguette

1977 *Journal des voyages de Louis Babel 1866-1868.* Collection Tekouerimat, Presses de l'Université du Québec, Montréal.

Tremblay, Roland

1998 « Le site de l'Anse-à-la-Vache et le mitan du Sylvicole supérieur dans l'estuaire du Saint-Laurent » in *L'éveilleur et l'ambassadeur, essais archéologiques et ethnohistoriques en hommage à Charles A. Martijn*, Roland Tremblay éd., Paléo-Québec, 27, p.91-125, Recherches amérindiennes au Québec, Montréal.

Tuck, James H.

1975 « The Northeastern Maritime Continuum : 8000 years of Cultural Development in the Far Northeast » in *Arctic Anthropology*, 12 (2), pp.139-147.

Tuck, James H.

1976 *Ancient People of Port-au-Choix.* Newfoundland Social and Economic Studies 17, Institute of Social and Economic Research, Memorial University of Newfoundland, St. John's.

Vincent, J.S.,

1989 « Le quaternaire du sud-est du bouclier canadien » in *Le quaternaire du Canada et du Groenland*, chap. 3, sous la direction de R.J. Fulton, Commission géologique du Canada, pp. 266-295.

Wintemberg, W.J.

s.d. *Notes archéologiques*, Musée National de l'Homme, Ottawa.